



“Des arbres dans les étoiles,  
des arbres dans les grains de lumière”

Xavier Viennot

LaBRI, CNRS, Bordeaux

avec

Institut Français, Vienne

mardi 17 juin 2014

Marcia Pig Lagos (textes)

Association Cont'Science

Gérard H.E. Duchamp (violon)

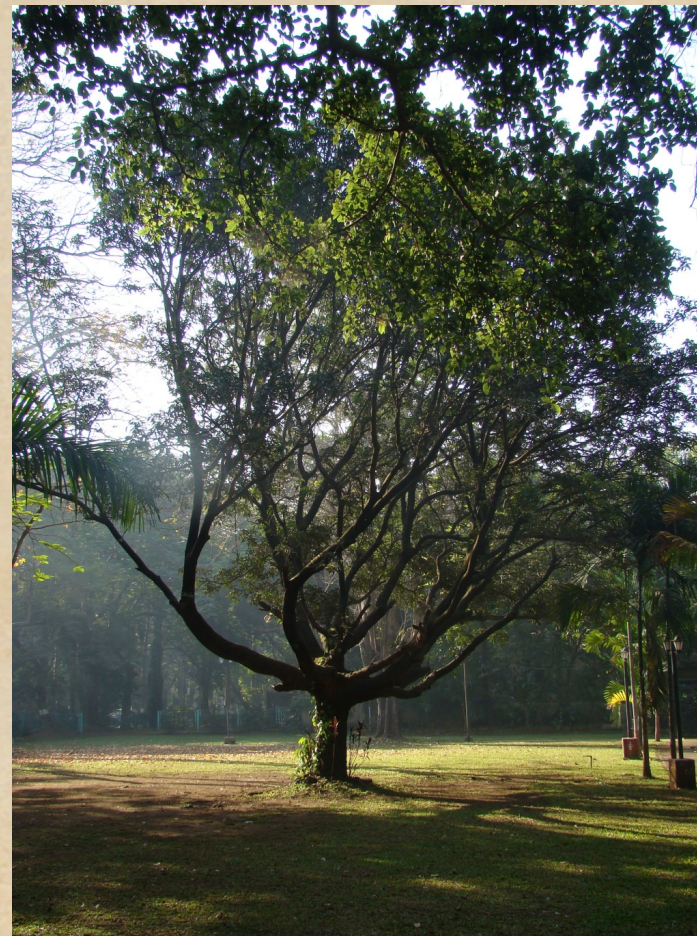
LIPN, Sorbonne Universités

Christian Krattenthaler (piano)

Université de Vienne

Arbres de la nature,  
des arbres .... partout

Bäume in der Natur,  
Bäume überall



















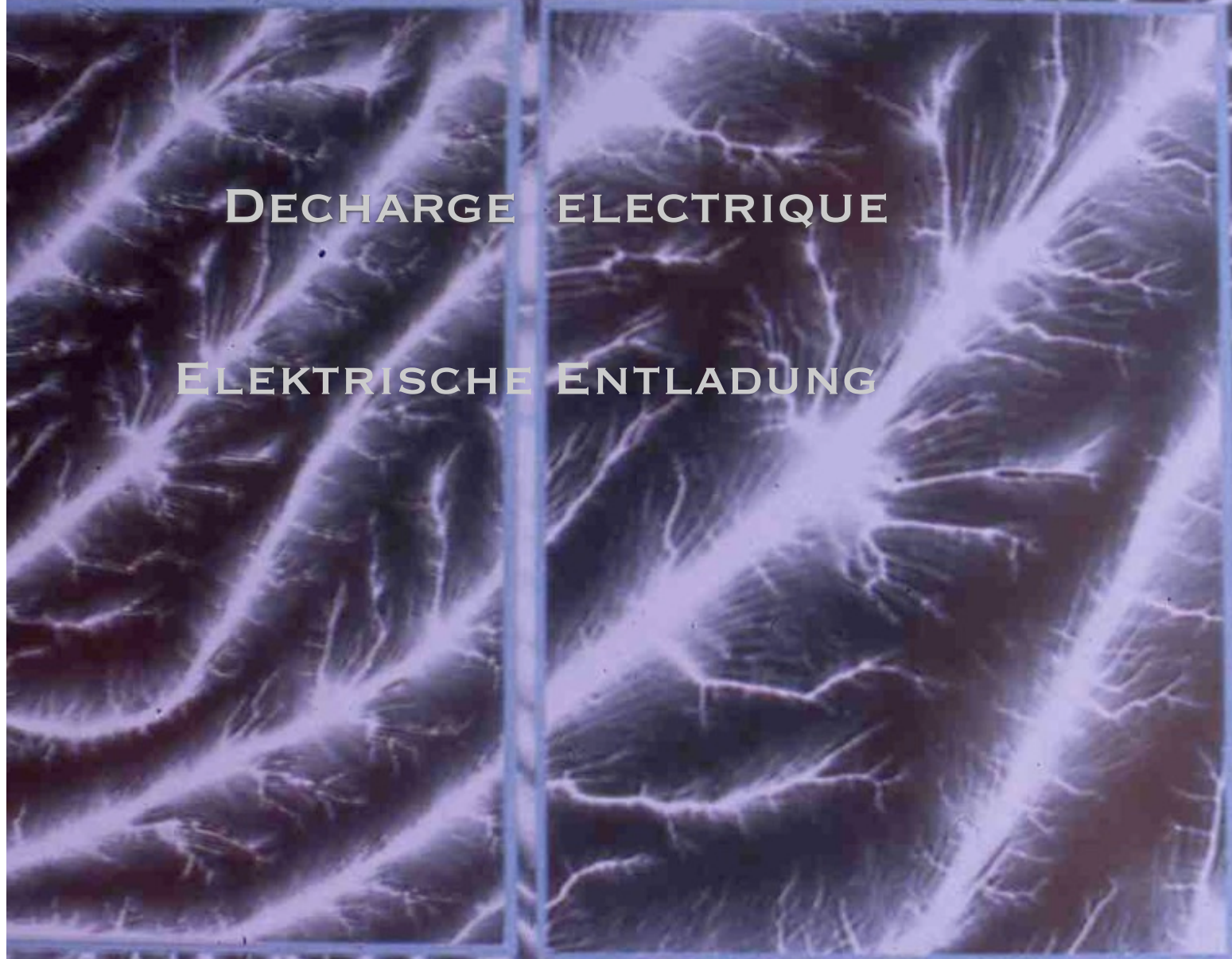




KORALLE

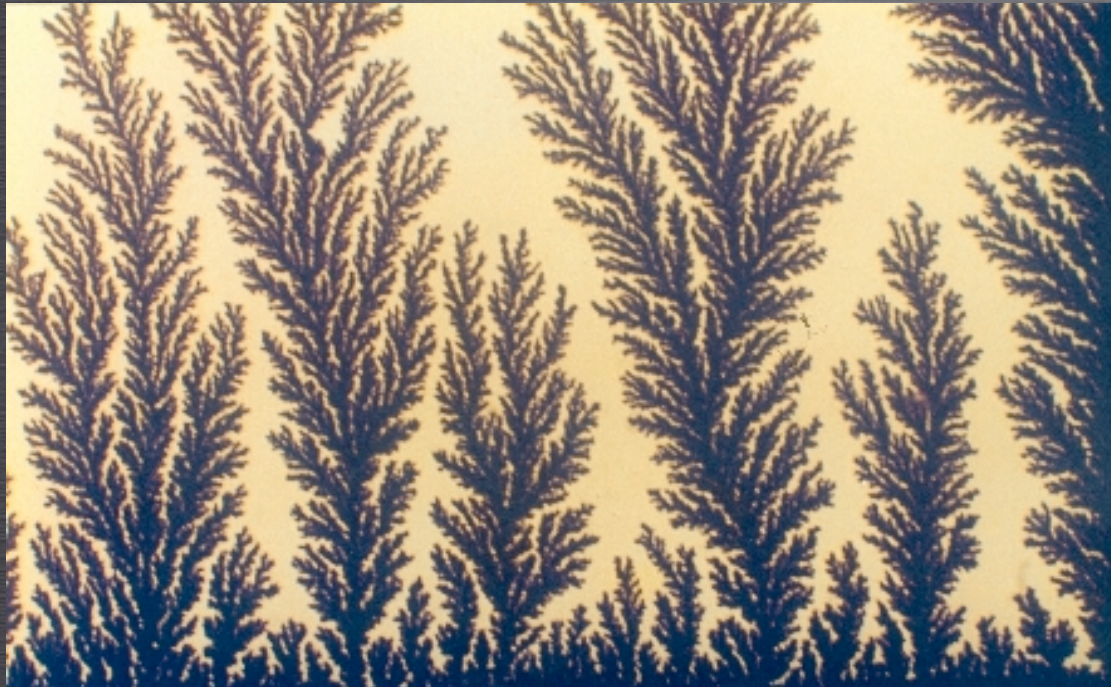
CORAIL





**DECHARGE ELECTRIQUE**

**ELEKTRISCHE ENTLADUNG**



VINCENT FLEURY

DEPOTS ELECTROLYTIQUES



ELEKTROLYTISCHE ABSCHIEDUNGEN

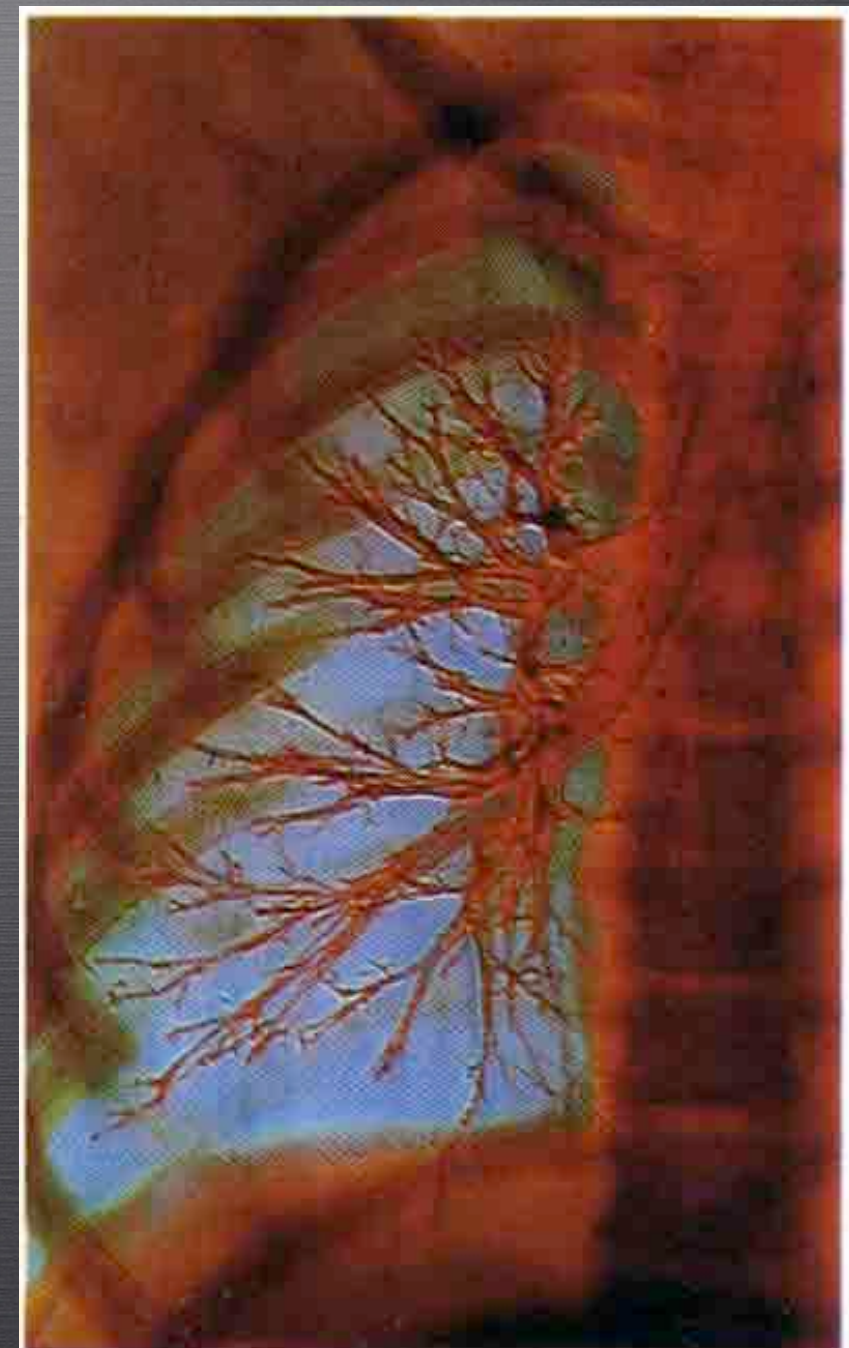
DIGITATION VISQUEUSE

VISKOSE FLÜSSIGKEITSFORMEN

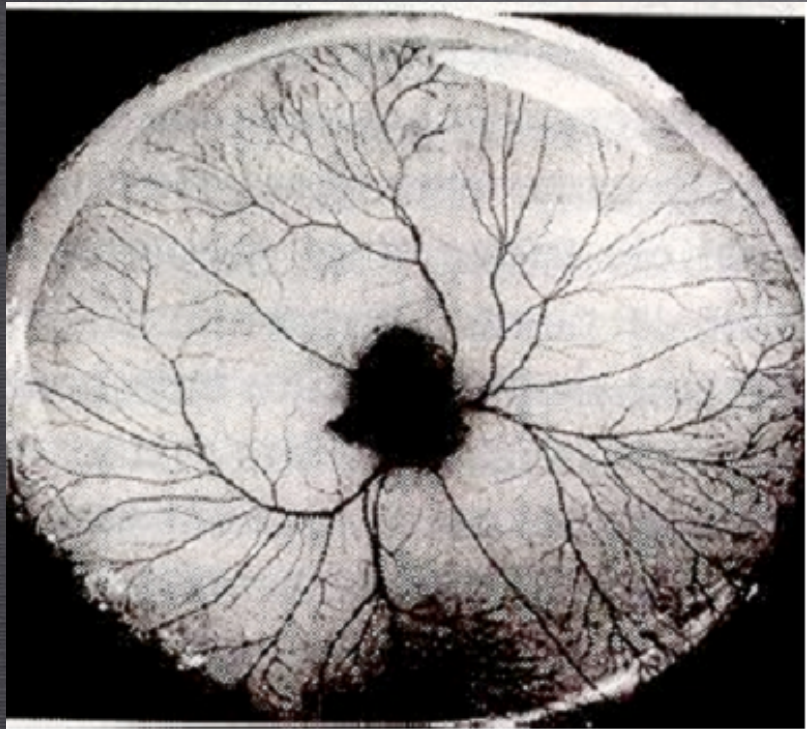
INJECTION D'HUILE ENTRE  
DEUX PLAQUES

ÖL ZWISCHEN ZWEI PLATTEN EINGESPRITZT

POUMON



OEUF



EI

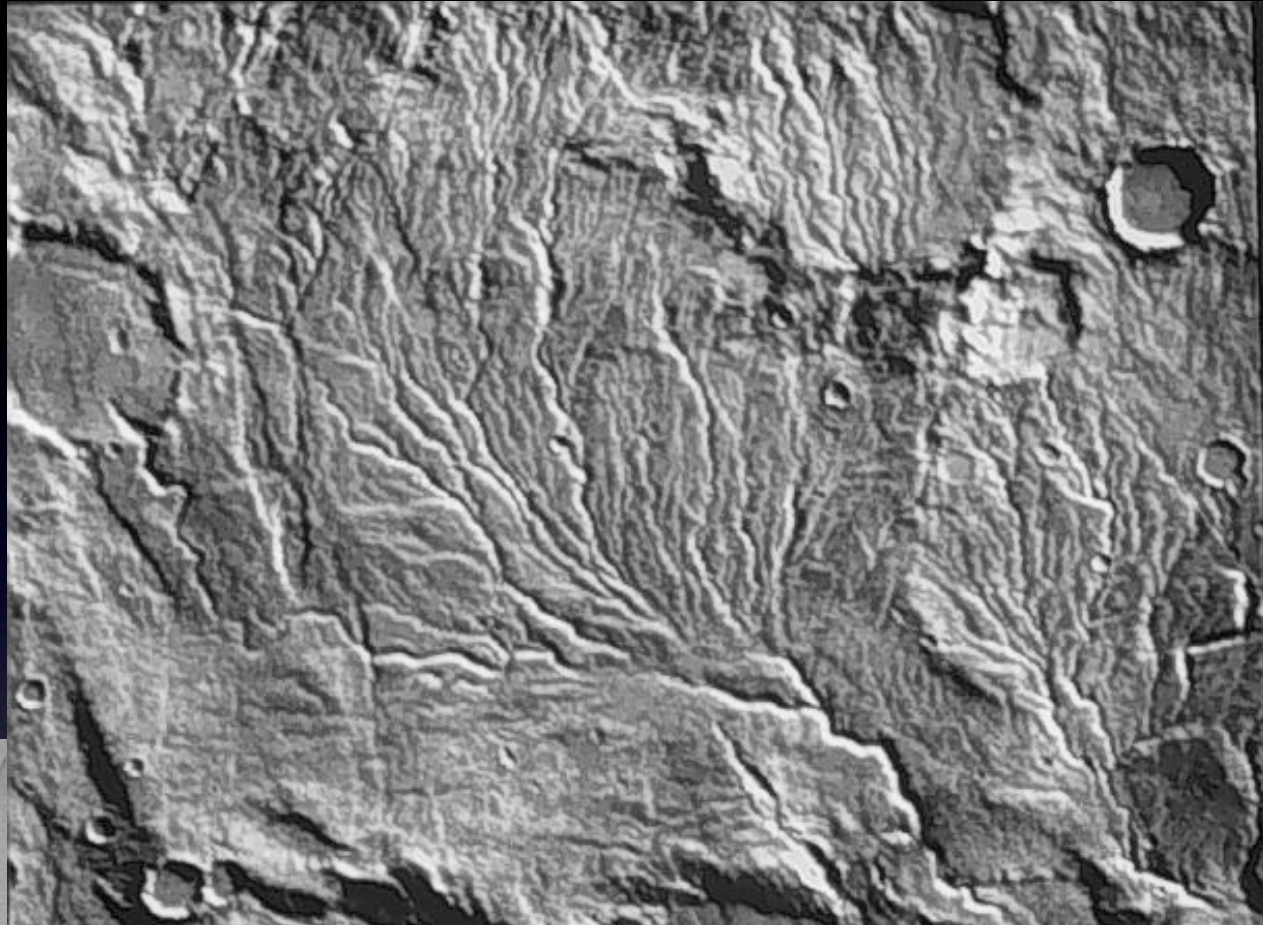
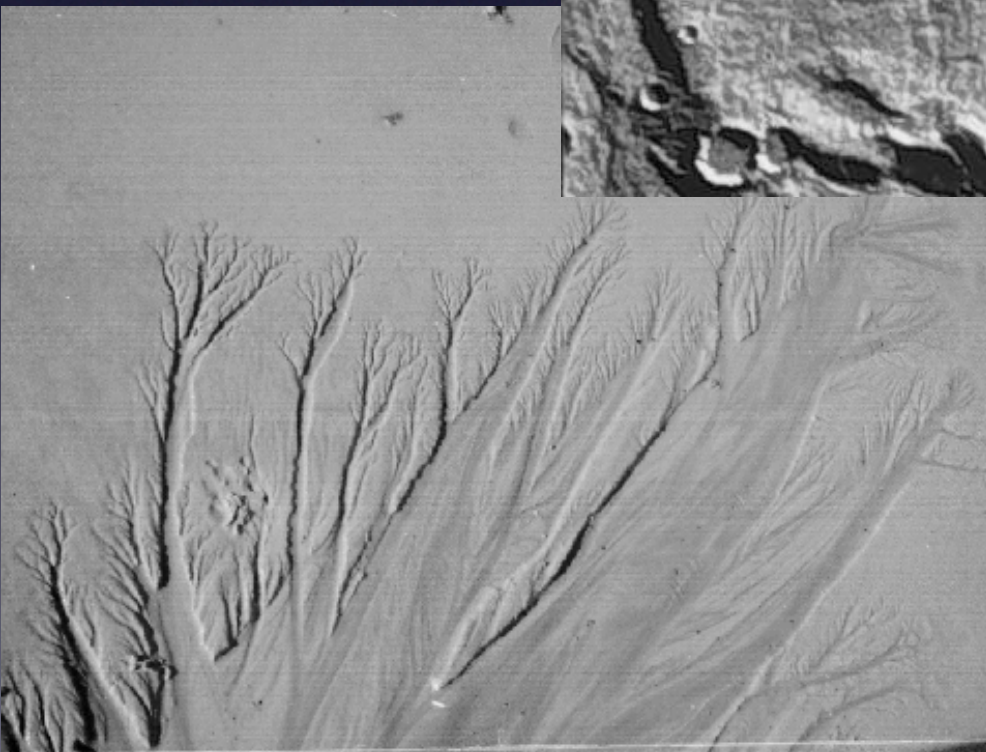
LUNGE



NATIONAL GEOGRAPHIC

**SUR MARS**

**AUF DEM MARS**



**AUF DER ERDE –  
AUF EINEM STRAND**

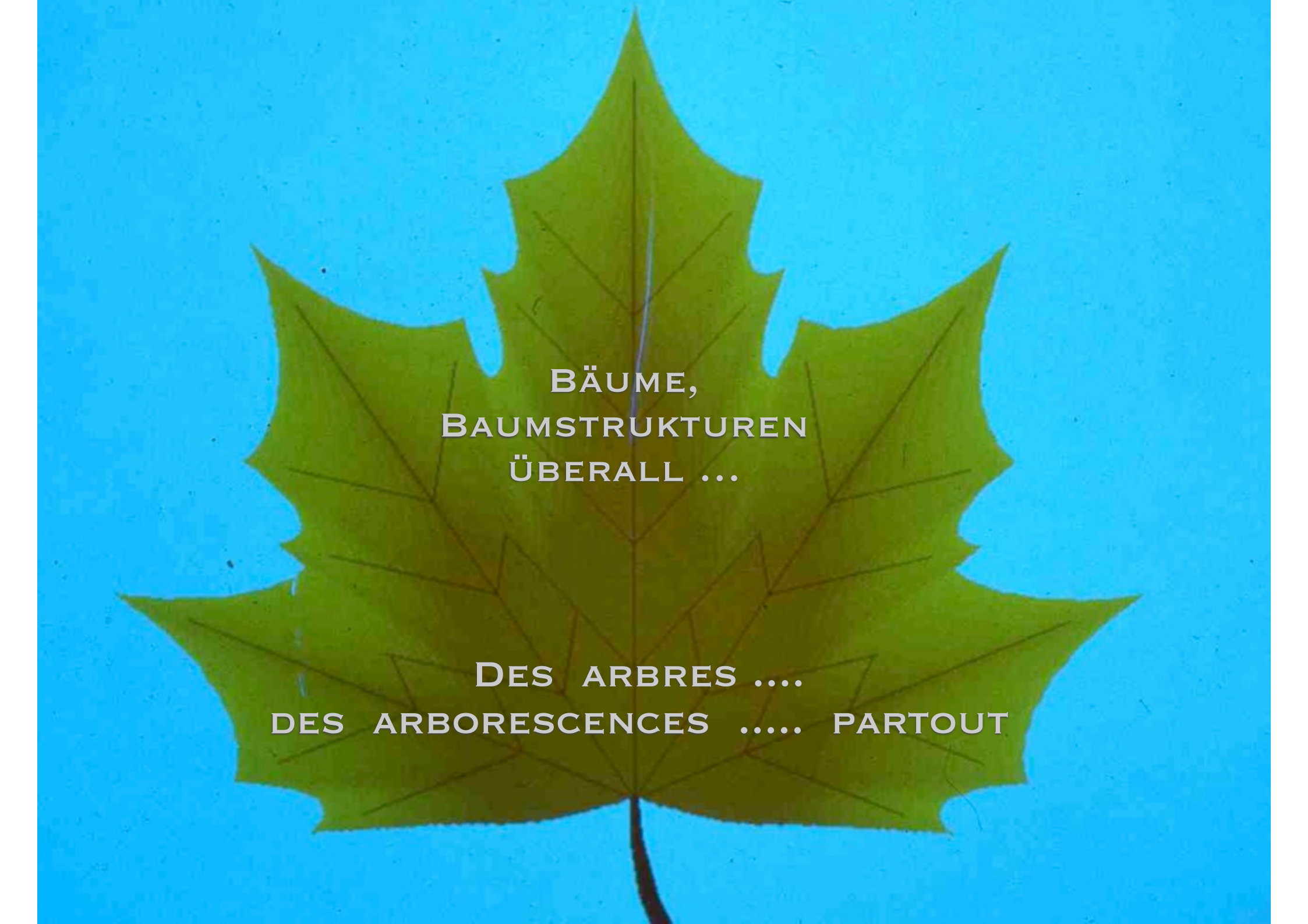
**SUR TERRE**

**SUR UNE PLAGUE**



BÄUME,  
BAUMSTRUKTUREN  
ÜBERALL ...

DES ARBRES ....  
DES ARBORESCENCES ..... PARTOUT

A large, vibrant green maple leaf is centered against a solid blue background. The leaf has five distinct lobes and prominent veins radiating from the central stem.

BÄUME,  
BAUMSTRUKTUREN  
ÜBERALL ...

DES ARBRES ....  
DES ARBORESCENCES ..... PARTOUT

BERNARD CLAVEL

“La beauté  
mathématiques  
des arbres”



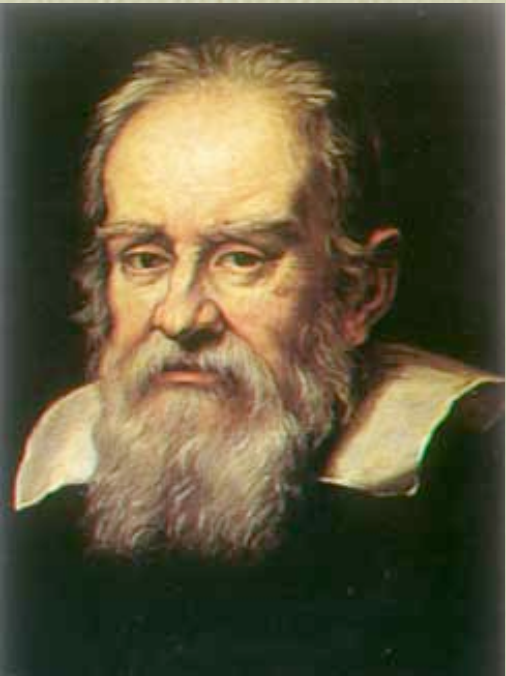
Des arbres dans les étoiles ?



# L'infinitum grand ...

Les étoiles, les planètes, les galaxies,  
l'univers, sa naissance et son histoire,  
espace, temps, matière ....

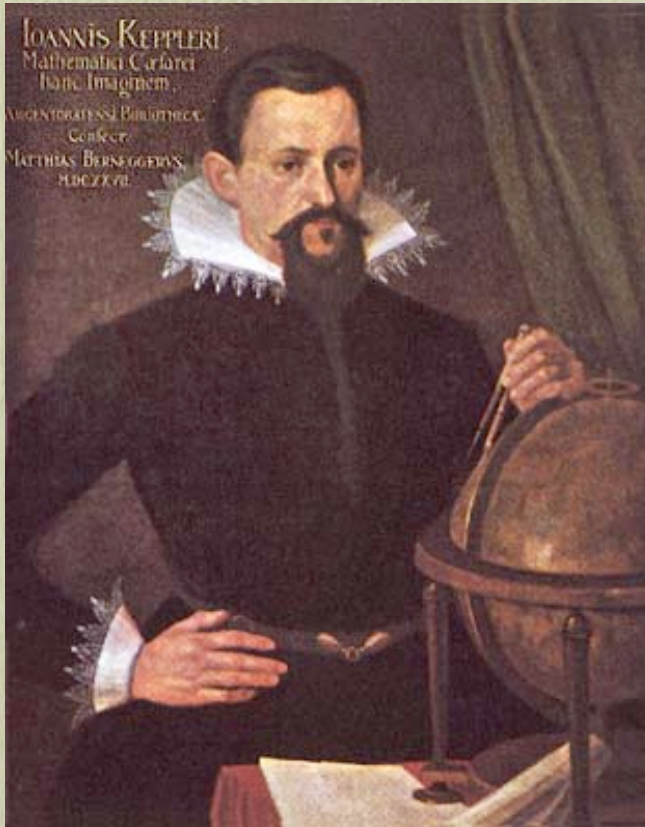
comprendre l'univers avec les mathématiques



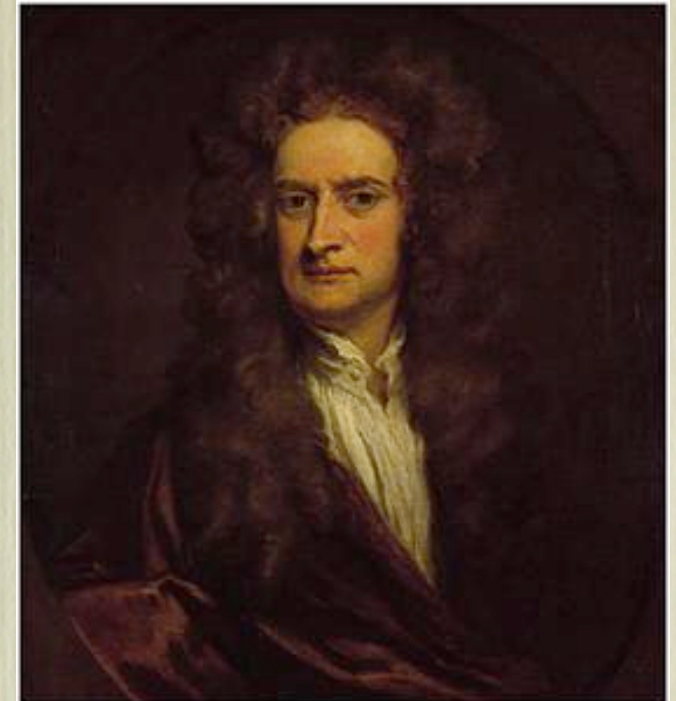
Galileo Galilei  
1564-1642

géométrie  
classique

la géométrie euclidienne

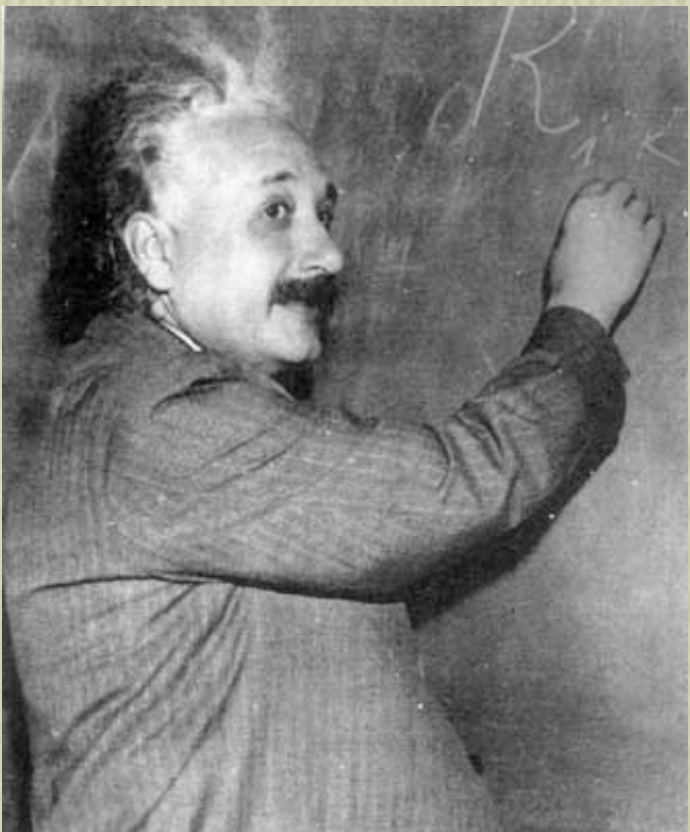


Johannes Kepler  
1571 - 1630



Isaac Newton  
1643-1727

mécanique  
classique



Albert Einstein  
1879-1955

# Théorie de la relativité restreinte générale

gravitation





des arbres dans les  
grains de lumière ?





collégiale Notre-Dame Vernon



*Daniel B. Holeman*

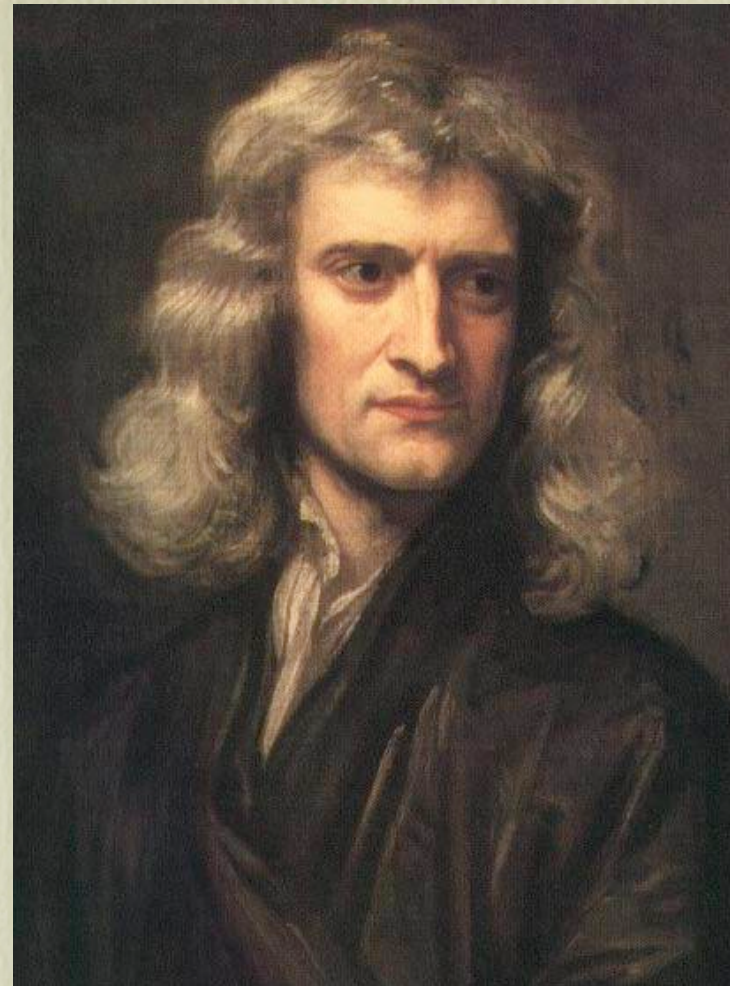
L'infiniment petit ...

les atomes, les électrons,  
les particules de matière, de lumière,  
les photons, ...





Christian Huygens  
1629-1695

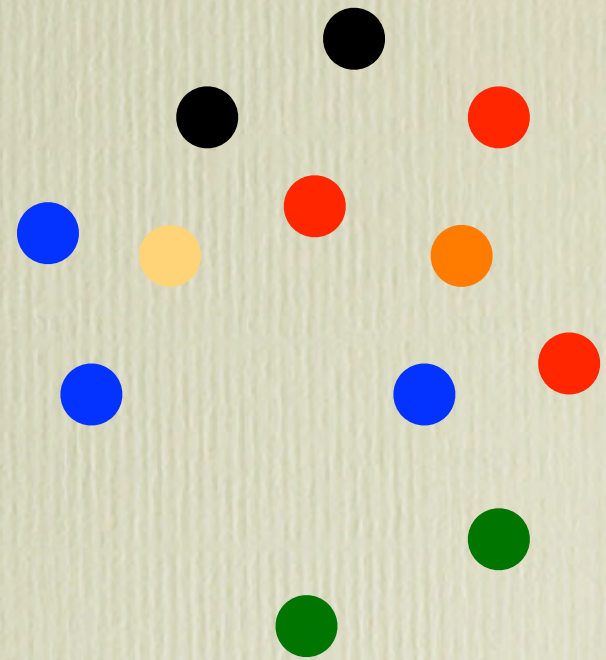


Isaac Newton  
1643-1727

la lumière:

vibration ?

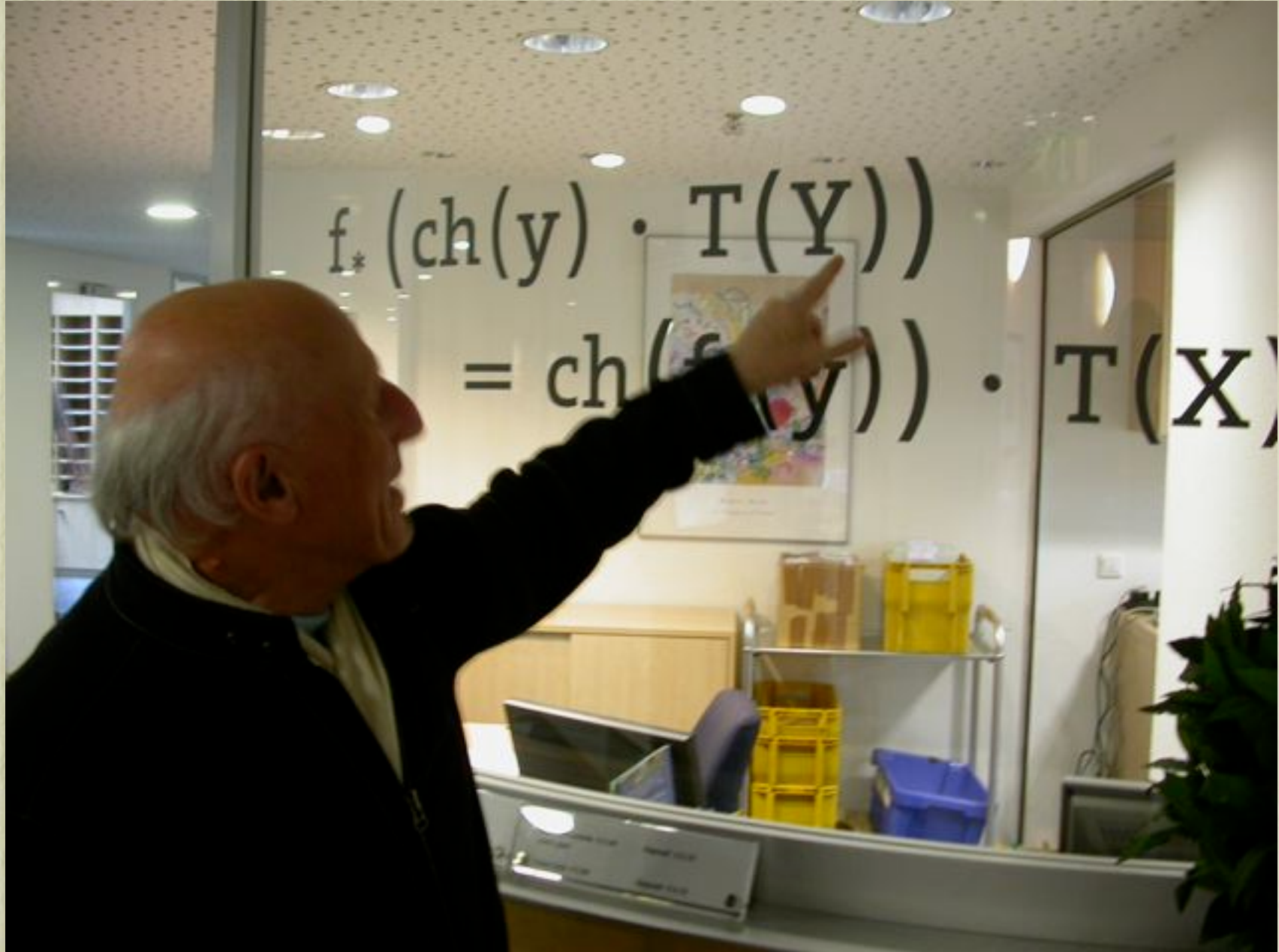
ou particules de matière ?





A photograph of a dense forest. In the foreground, several tree trunks are visible, some with thick, gnarled roots exposed at the base. Vines and branches hang down from the canopy above, creating a complex network of lines. The background is filled with more trees and foliage, creating a sense of depth and complexity.

Si vous êtes perdus dans la forêt  
des mathématiques, détendez  
vous et regardez les images



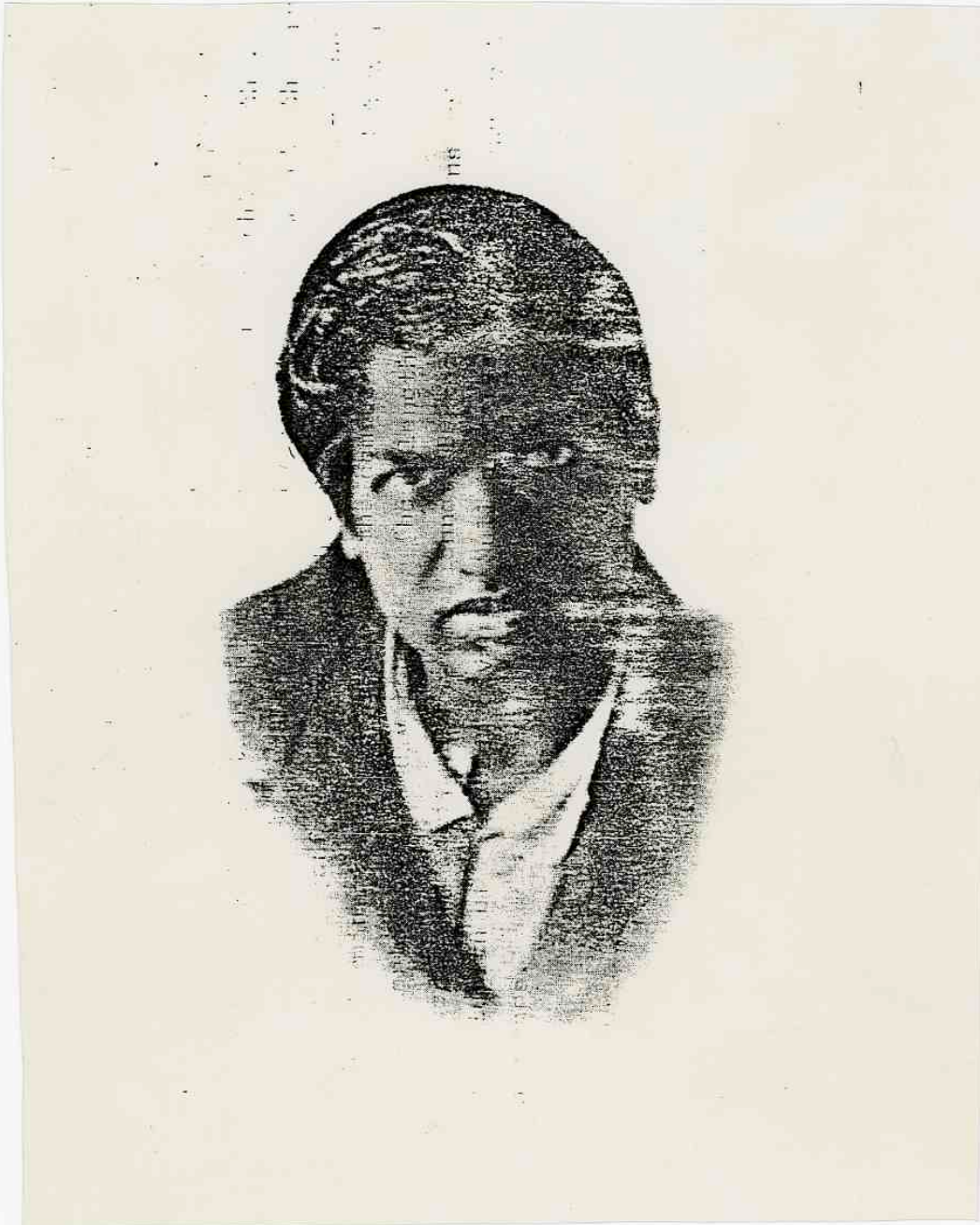
regardez une formule mathématique  
comme une oeuvre d'art abstrait

Rogers - Ramanujan identities

$$R_I \sum_{n \geq 0} \frac{q^{n^2}}{(1-q)(1-q^2) \cdots (1-q^n)} = \prod_{\substack{i=1,4 \\ \text{mod } 5}} \frac{1}{(1-q^i)}$$

$$R_{II} \sum_{n \geq 0} \frac{q^{n^2+n}}{(1-q)(1-q^2) \cdots (1-q^n)} = \prod_{\substack{i=2,3 \\ \text{mod } 5}} \frac{1}{(1-q^i)}$$

Srinivasan  
Ramanujan  
(1887-1920)



Le langage des mathématiques, c'est comme le solfège utilisé pour écrire de la musique

Habituellement, à l'école vous apprenez seulement comment écrire des mathématiques, mais il est difficile d'entendre la beauté des mathématiques ...

mais les mathématiques sont la musique !

**Subsublemma 1.1.3:**

$$\sum_{\pi \in S_k} \operatorname{sgn}(\pi) \cdot \pi \left[ \frac{x_1 x_2^2 \dots x_k^k}{(1-x_k)(1-x_k x_{k-1}) \dots (1-x_k x_{k-1} \dots x_1)} \right] = \frac{x_1 \dots x_k \prod_{1 \leq i < j \leq k} (x_j - x_i)}{\prod_{i=1}^k (1-x_i) \prod_{1 \leq i < j \leq k} (1-x_i x_j)} \quad (\text{Issai})$$

[ Type 'S113(k);' in ROBBINS, for specific k.]

**Proof :** See [PS], problem VII.47. Alternatively, (Issai) is easily seen to be equivalent to Schur's identity that sums all the Schur functions ([Ma], ex I.5.4, p. 45). This takes care of subsublemma 1.1.3.  $\square$

Inserting (Issai) into (Stanley), expanding  $\prod_{1 \leq i < j \leq k} (x_j - x_i)$  by Vandermonde's expansion,

$$\sum_{\pi \in S_k} \operatorname{sgn}(\pi) \cdot \pi (x_1^0 x_2^1 \dots x_k^{k-1}) ,$$

using the antisymmetry of  $\Delta_k$  once again, and employing crucial fact N<sub>4</sub>, we get the following string of equalities:

$$\begin{aligned} b_k(n) &= \frac{1}{k!} CT_{x_1, \dots, x_k} \left\{ \frac{\Delta_k(x_1, \dots, x_k)}{\prod_{i=1}^k (\bar{x}_i)^{k+n} x_i^{n+k-1}} \left( \frac{x_1 \dots x_k \prod_{1 \leq i < j \leq k} (x_j - x_i)}{\prod_{i=1}^k (1-x_i) \prod_{1 \leq i < j \leq k} (1-x_i x_j)} \right) \right\} \\ &= \frac{1}{k!} CT_{x_1, \dots, x_k} \left\{ \frac{\Delta_k(x_1, \dots, x_k)}{\prod_{i=1}^k (\bar{x}_i)^{k+n+1} x_i^{n+k-2}} \prod_{1 \leq i < j \leq k} (1-x_i x_j) \left( \sum_{\pi \in S_k} \operatorname{sgn}(\pi) \cdot \pi (x_1^0 x_2^1 \dots x_k^{k-1}) \right) \right\} \\ &= \frac{1}{k!} \sum_{\pi \in S_k} CT_{x_1, \dots, x_k} \left\{ \pi \left[ \frac{\Delta_k(x_1, \dots, x_k)}{\prod_{i=1}^k (\bar{x}_i)^{k+n+1} x_i^{n+k-2}} \prod_{1 \leq i < j \leq k} (1-x_i x_j) \left( \prod_{i=1}^k x_i^{i-1} \right) \right] \right\} \\ &= \frac{1}{k!} \sum_{\pi \in S_k} CT_{x_1, \dots, x_k} \left\{ \pi \left[ \frac{\Delta_k(x_1, \dots, x_k)}{\prod_{i=1}^k (\bar{x}_i)^{k+n+1} x_i^{n+k-i-1}} \prod_{1 \leq i < j \leq k} (1-x_i x_j) \right] \right\} \\ &= \frac{1}{k!} \sum_{\pi \in S_k} CT_{x_1, \dots, x_k} \left\{ \frac{\Delta_k(x_1, \dots, x_k)}{\prod_{i=1}^k (\bar{x}_i)^{k+n+1} x_i^{n+k-i-1}} \prod_{1 \leq i < j \leq k} (1-x_i x_j) \right\} \\ &= \frac{1}{k!} \left( \sum_{\pi \in S_k} 1 \right) CT_{x_1, \dots, x_k} \left\{ \frac{\Delta_k(x_1, \dots, x_k)}{\prod_{i=1}^k (\bar{x}_i)^{k+n+1} x_i^{n+k-i-1}} \prod_{1 \leq i < j \leq k} (1-x_i x_j) \right\} \\ &= CT_{x_1, \dots, x_k} \left\{ \frac{\Delta_k(x_1, \dots, x_k)}{\prod_{i=1}^k (\bar{x}_i)^{k+n+1} x_i^{n+k-i-1}} \prod_{1 \leq i < j \leq k} (1-x_i x_j) \right\}, \quad (\text{George''}) \end{aligned}$$

where in the last equality we have used Levi Ben Gerson's celebrated result that the number of elements in  $S_k$  (the symmetric group on  $k$  elements,) equals  $k!$ . The extreme right of (George'') is exactly the right side of (MagogTotal). This completes the proof of sublemma 1.1.  $\square$

# Un exemple d'objet mathématique: les arbres binaires ou arbres mathématiques

donner une abstraction des arbres  
dans le monde qui nous entoure

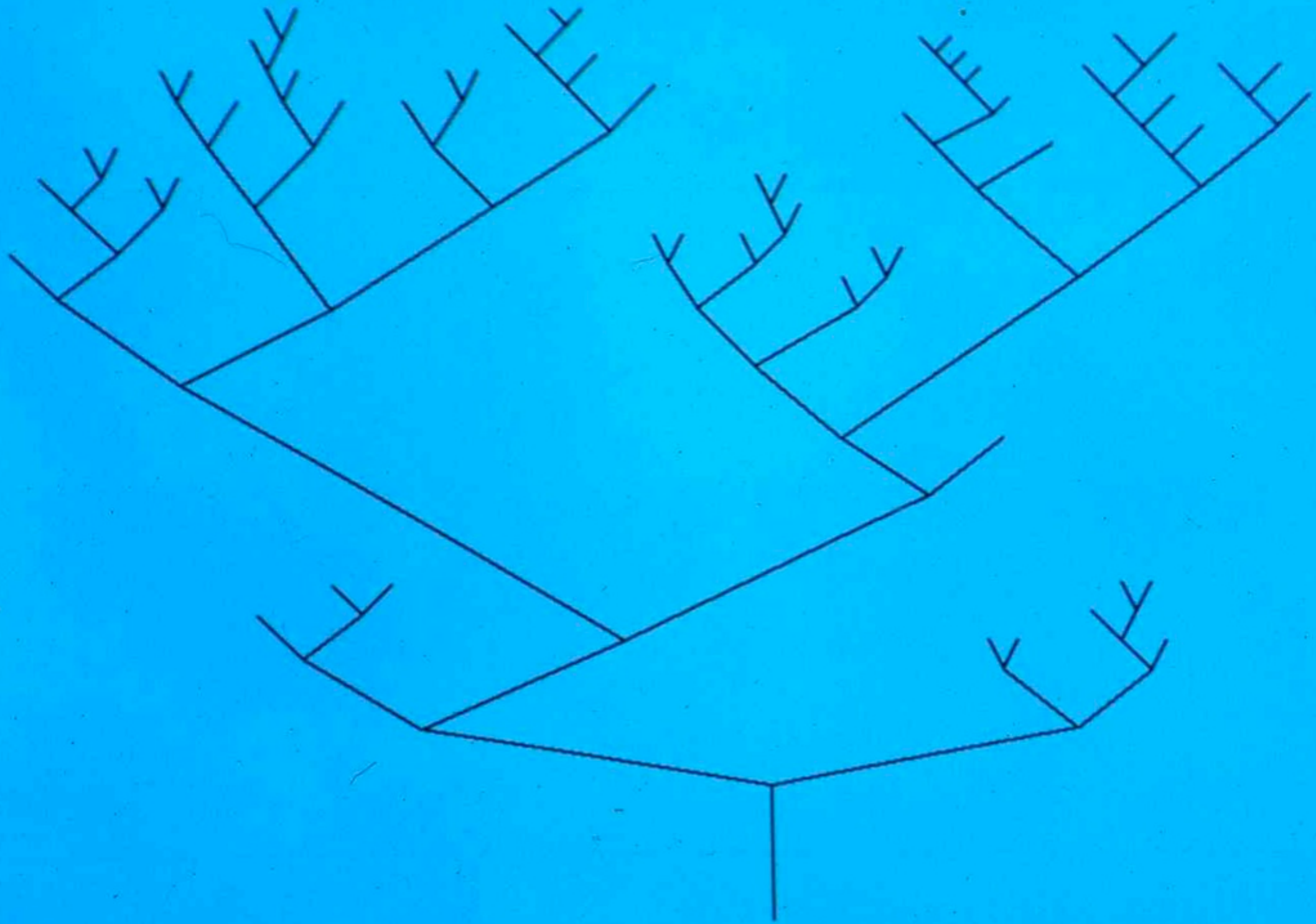
Des arbres naturels ...  
aux arbres mathématiques

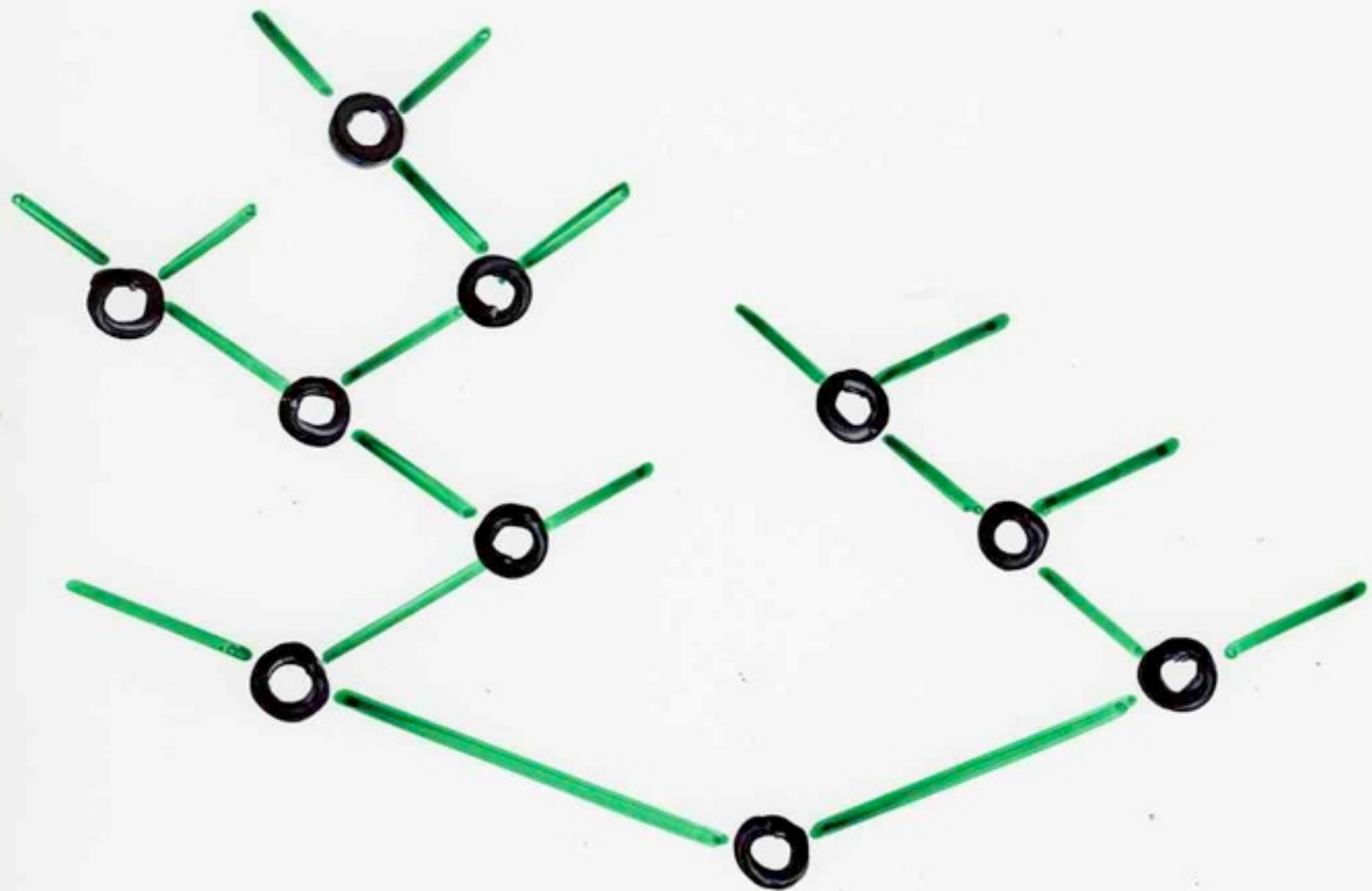






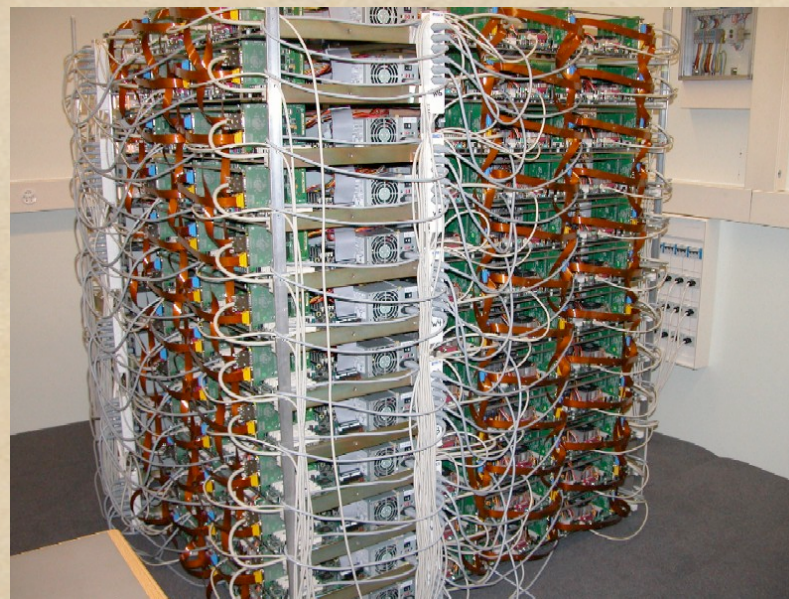






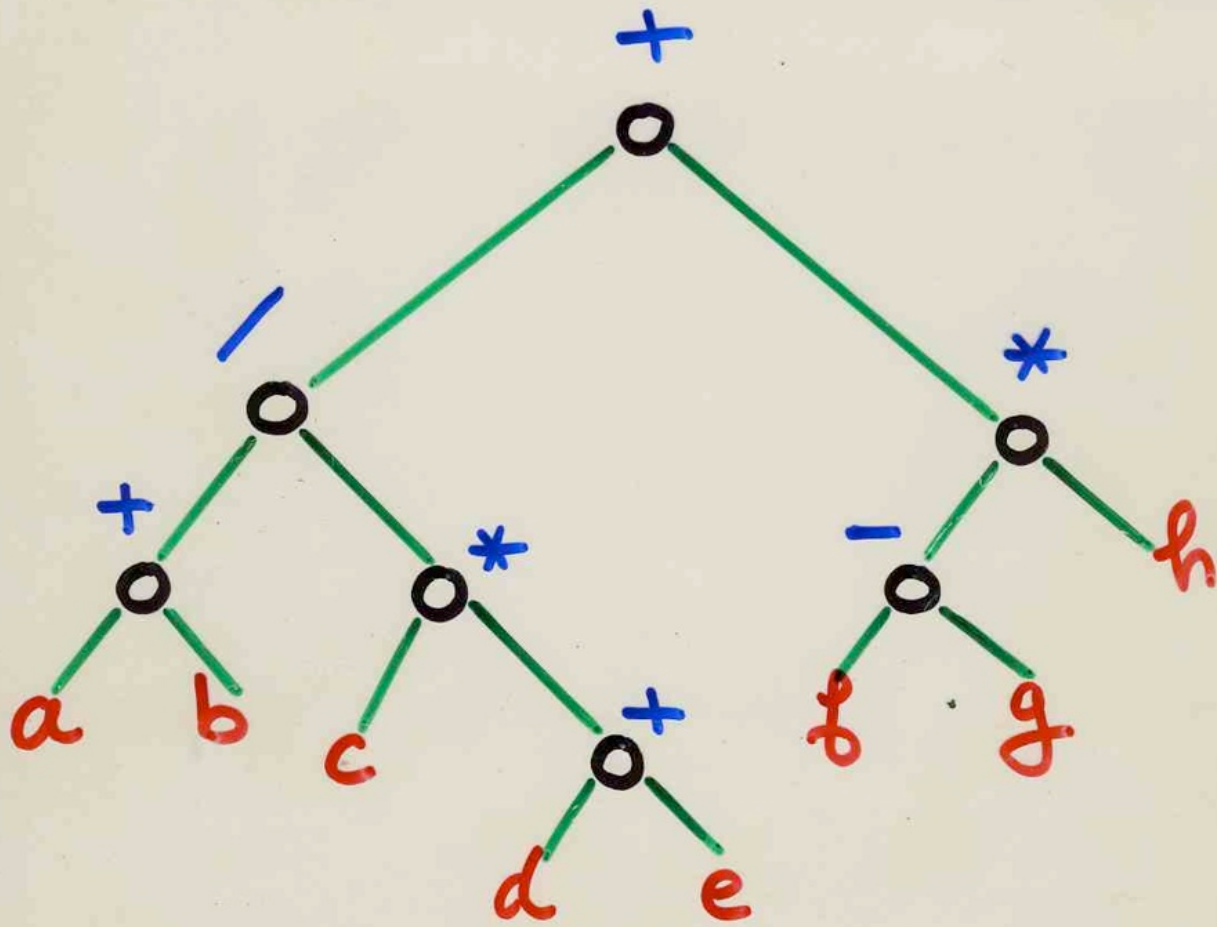
VICTOR HUGO

des arbres dans les ordinateurs ...

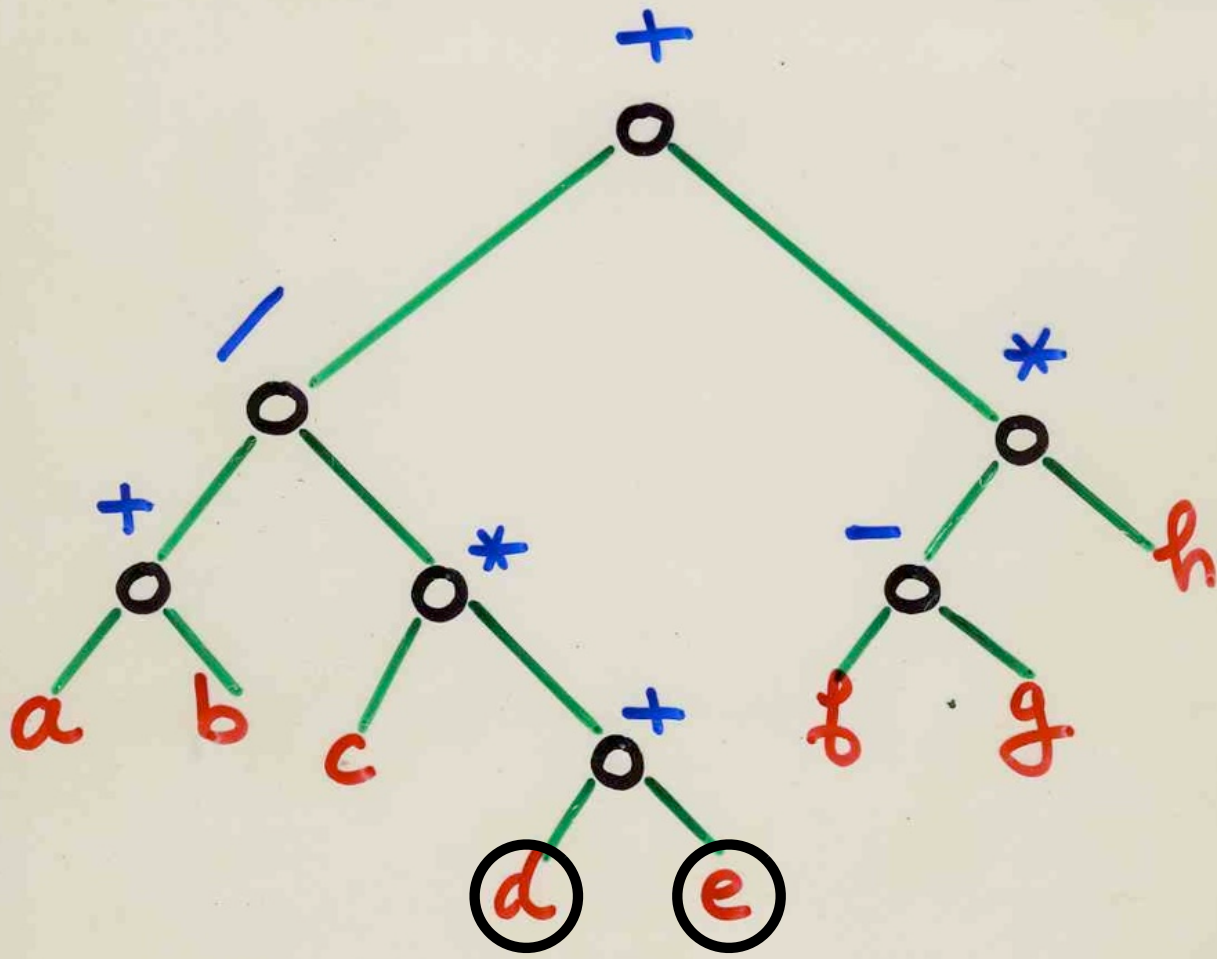


calcul d'une expression arithmétique

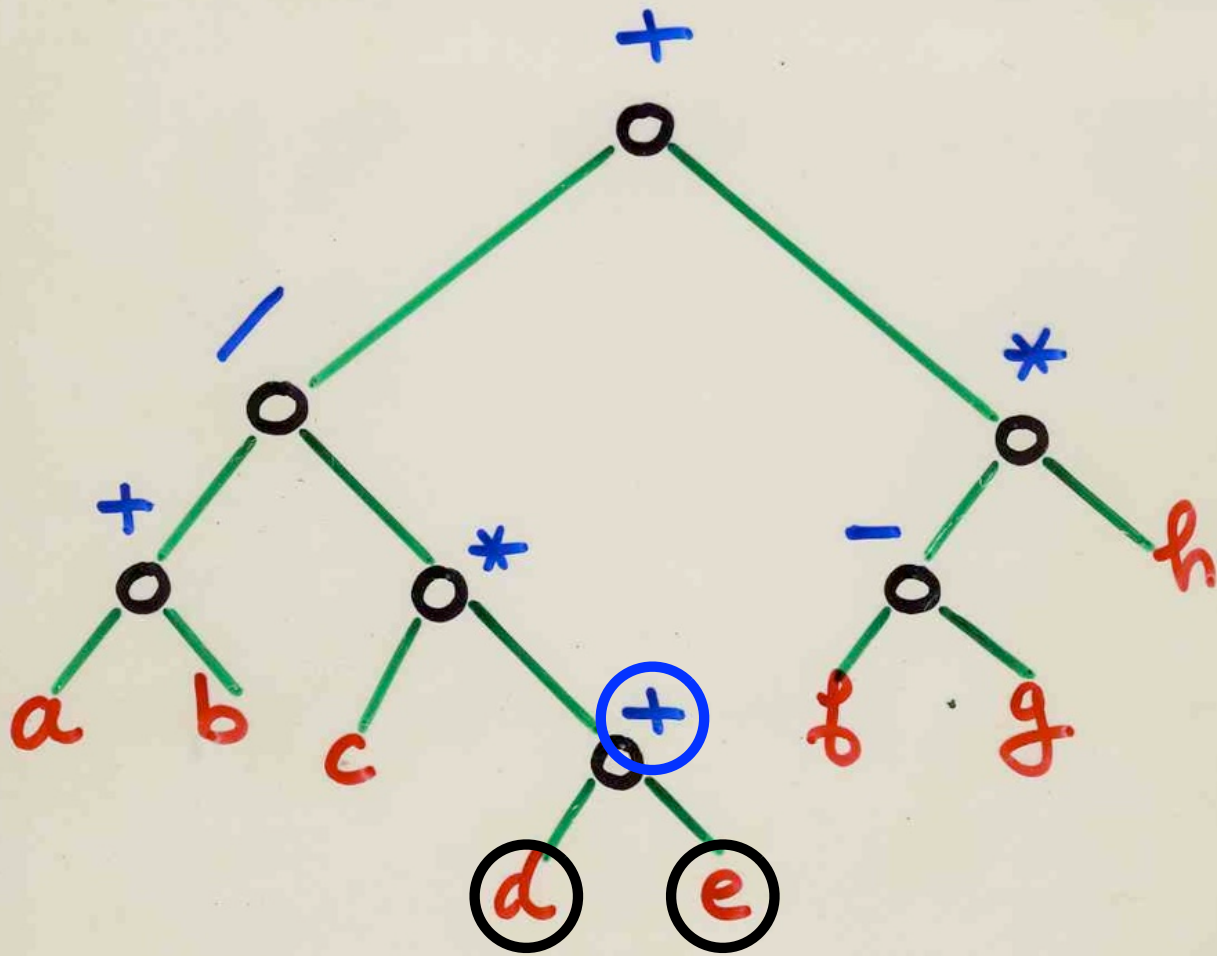
$$\frac{(a+b)}{c(d+e)} + (f-g)h$$



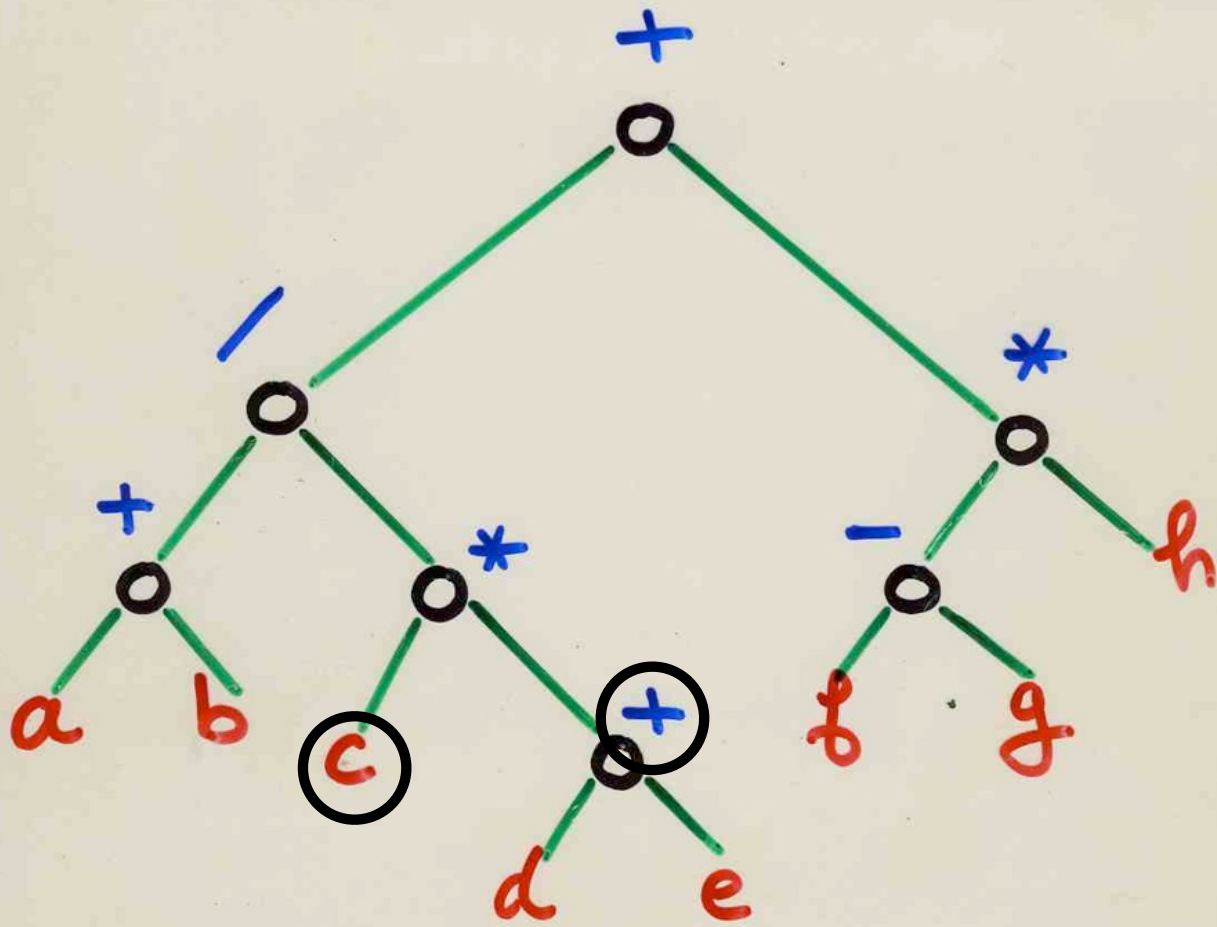
$$\frac{(a+b)}{c(d+e)} + (f-g)h$$



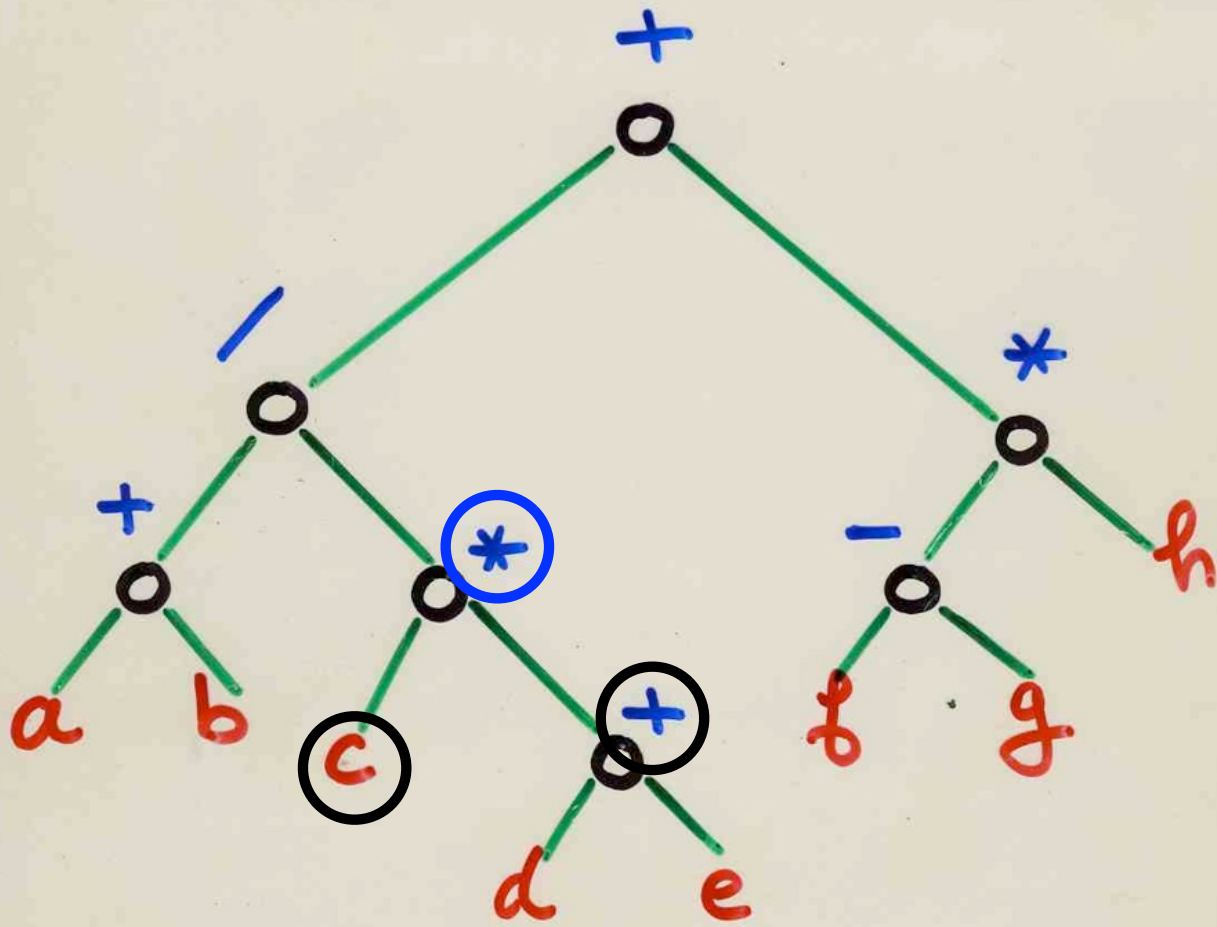
$$\frac{(a+b)}{c(d+e)} + (f-g)h$$



$$\frac{(a+b)}{c(d+e)} + (f-g)h$$



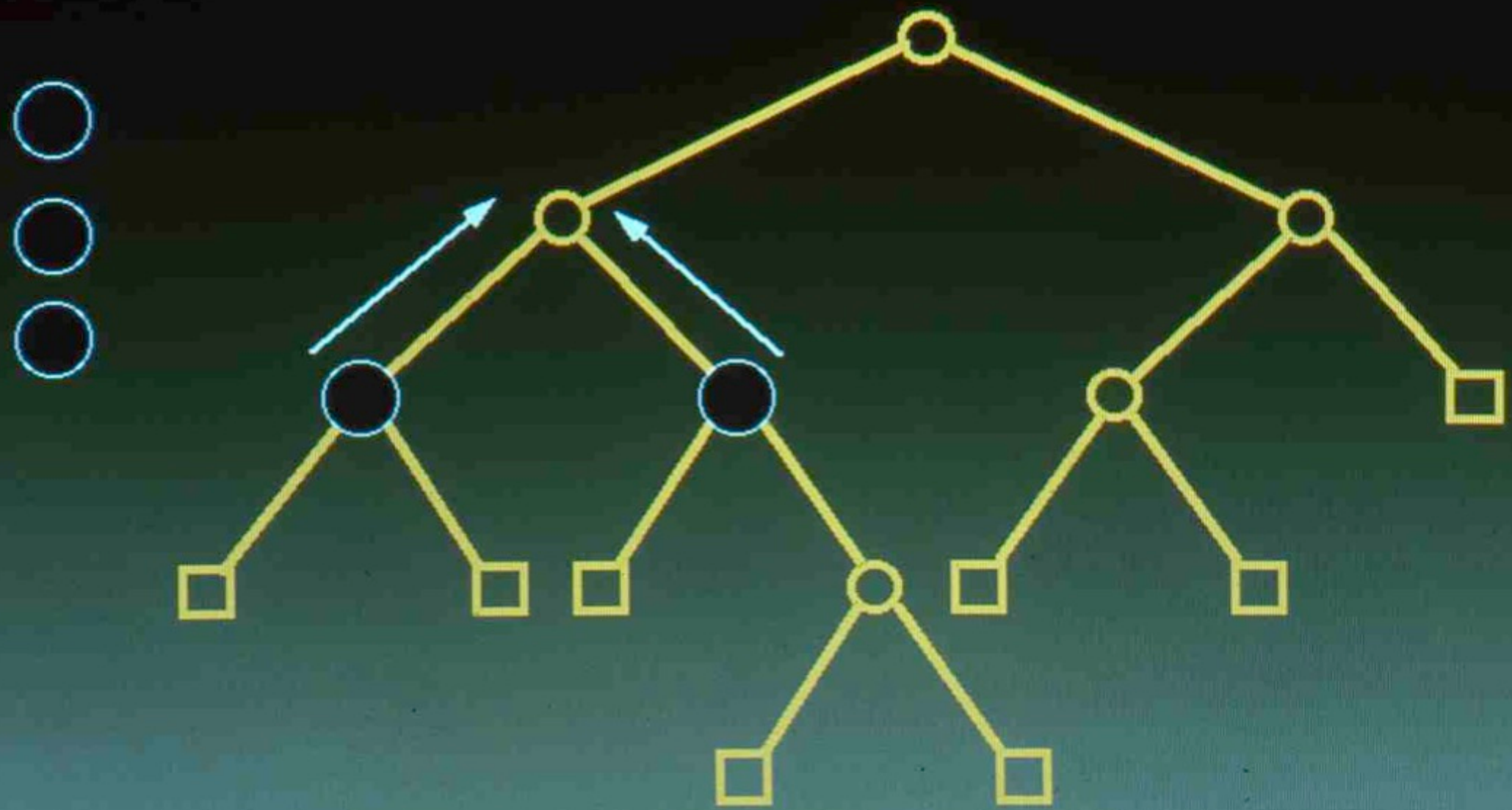
$$\frac{(a+b)}{c(d+e)} + (f-g)h$$

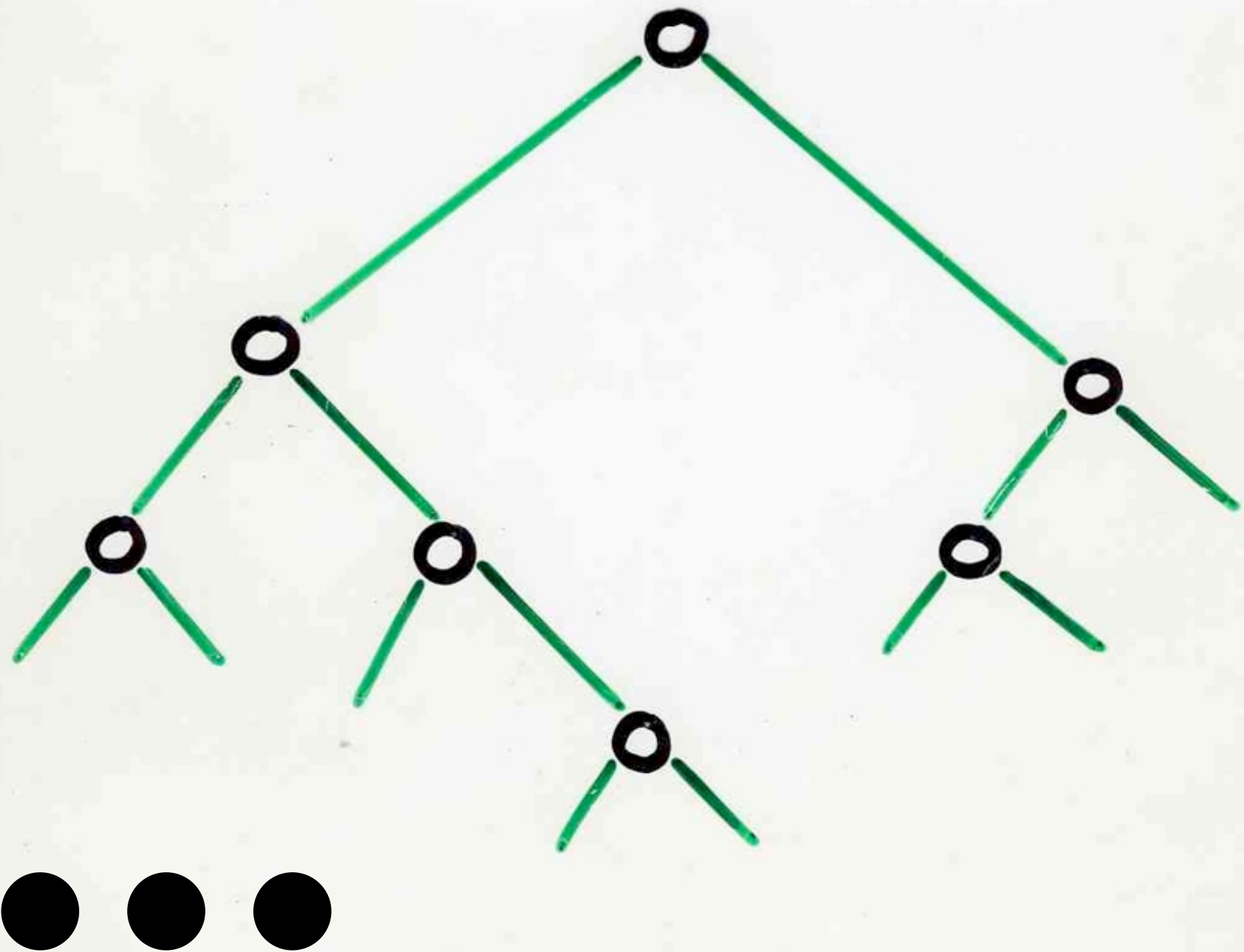


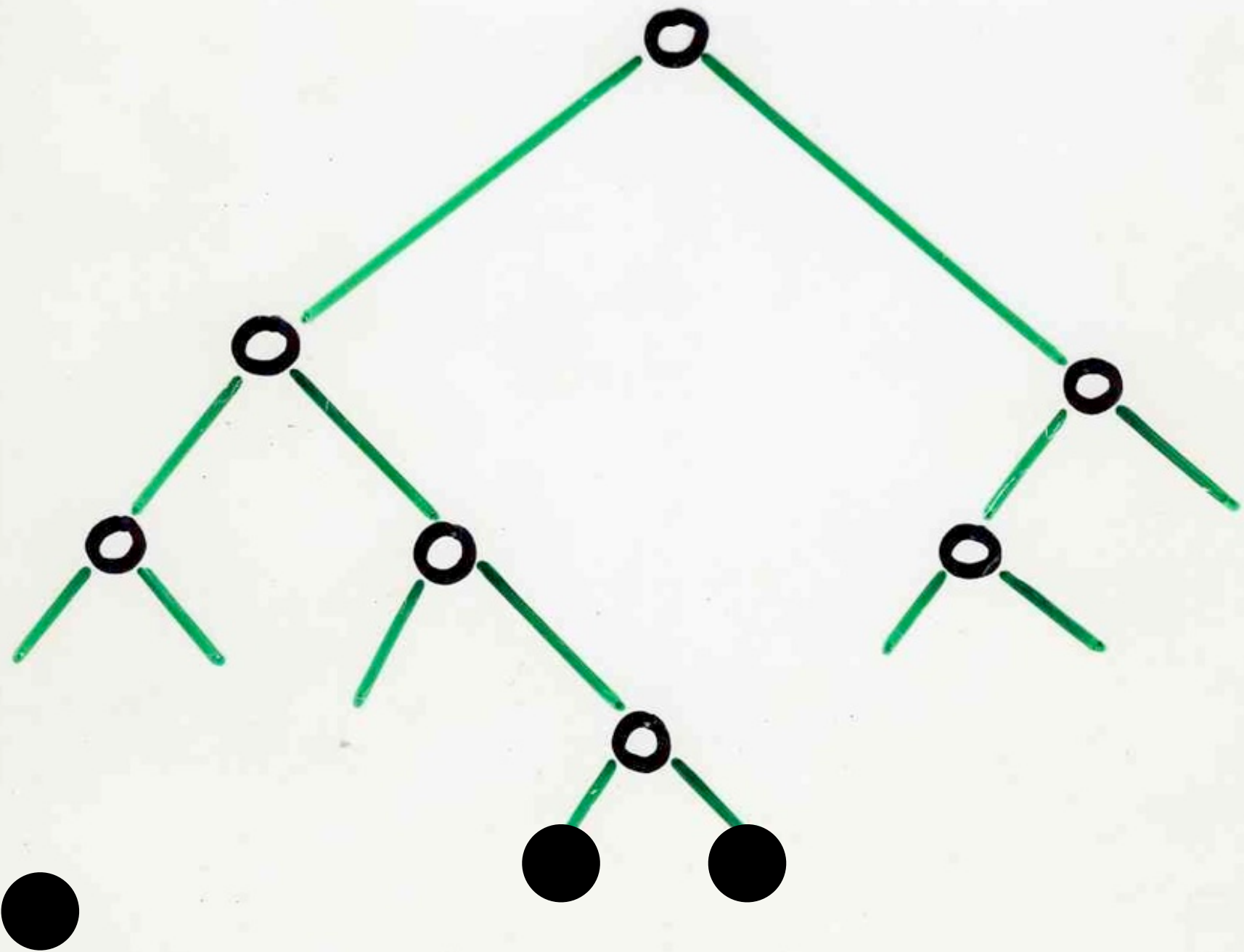
$$\frac{(a+b)}{c(d+e)} + (f-g)h$$

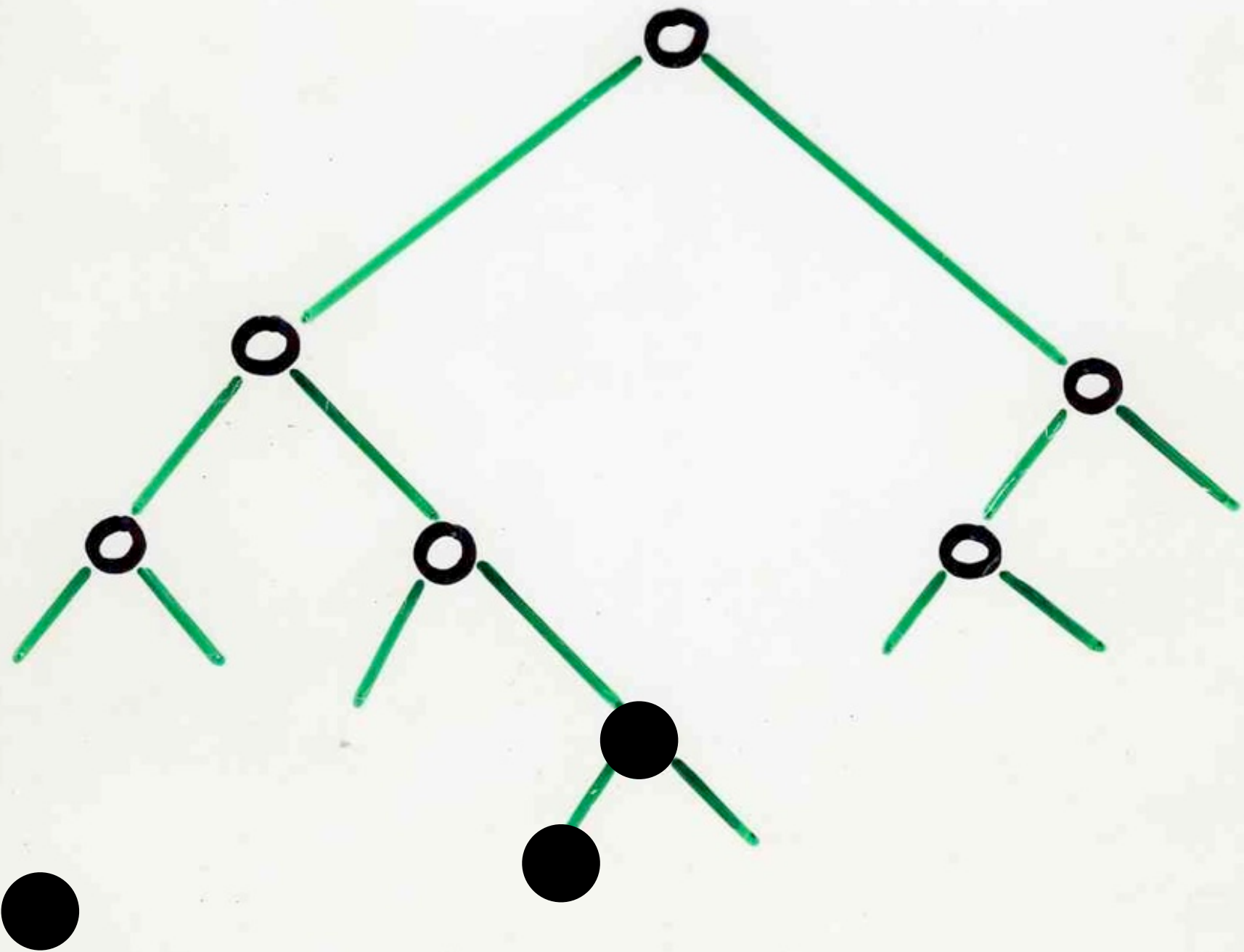
nombre minimum  
de registres  
nécessaires pour le calcul  
d'une expression arithmétique

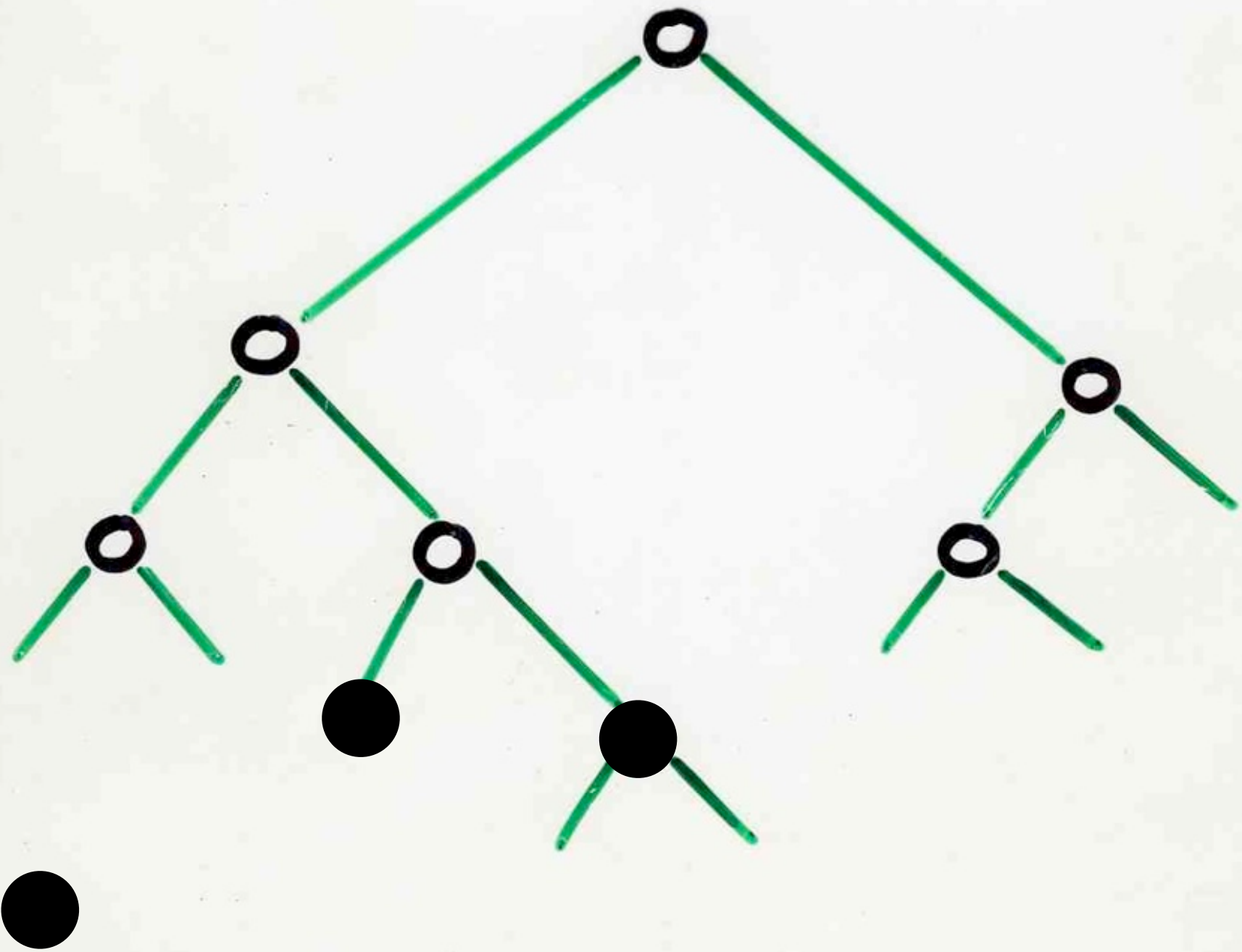
# Pebbles problem

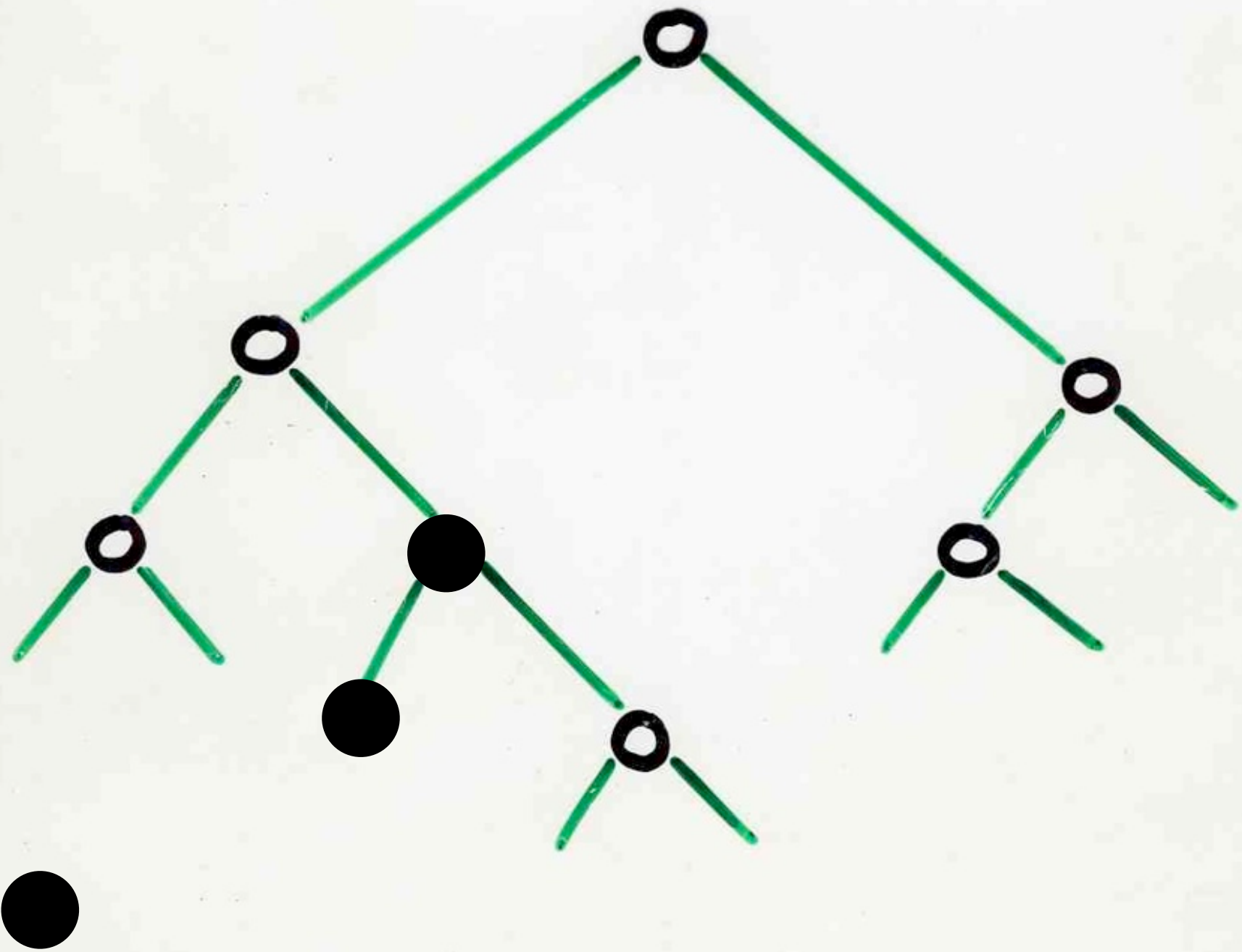


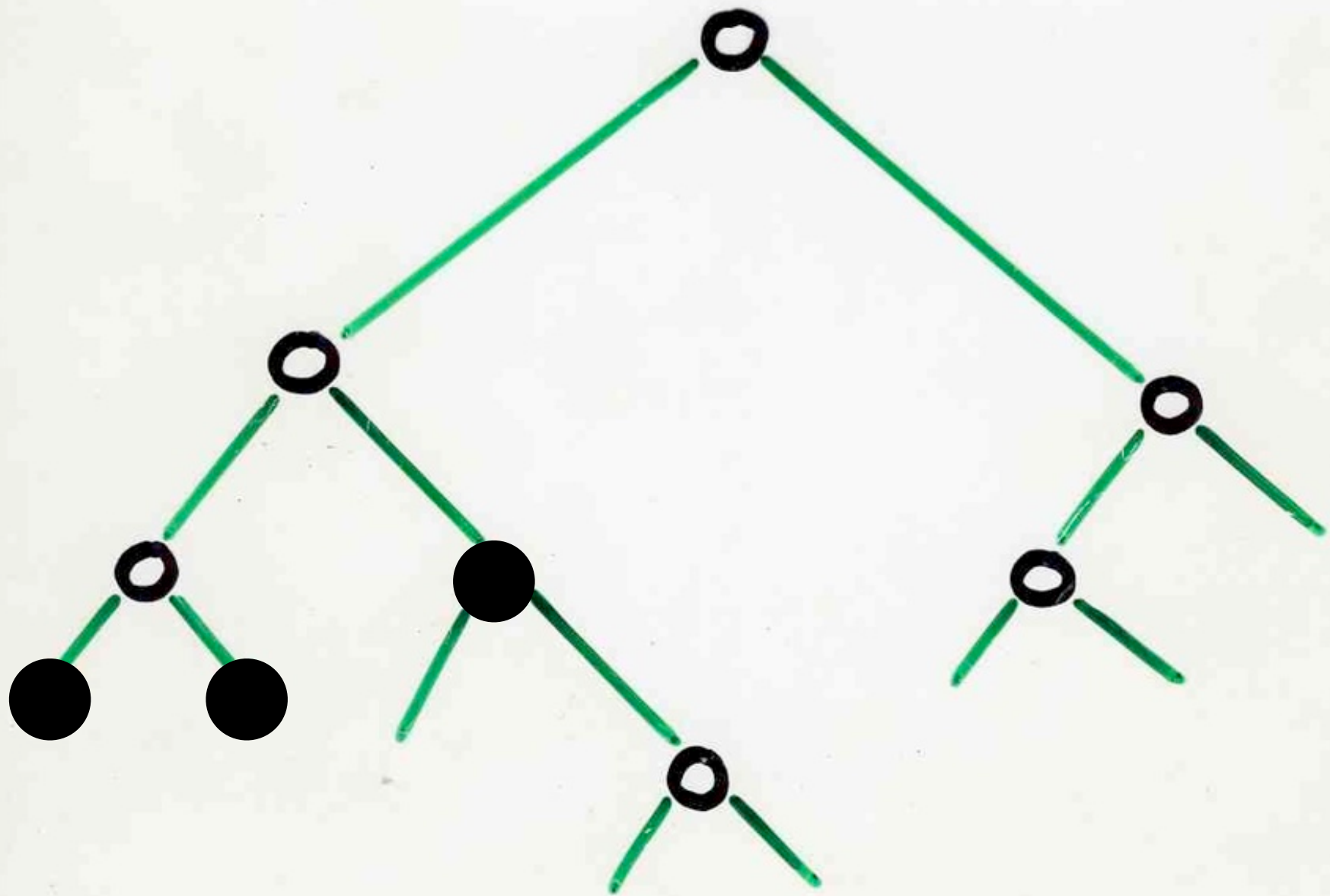


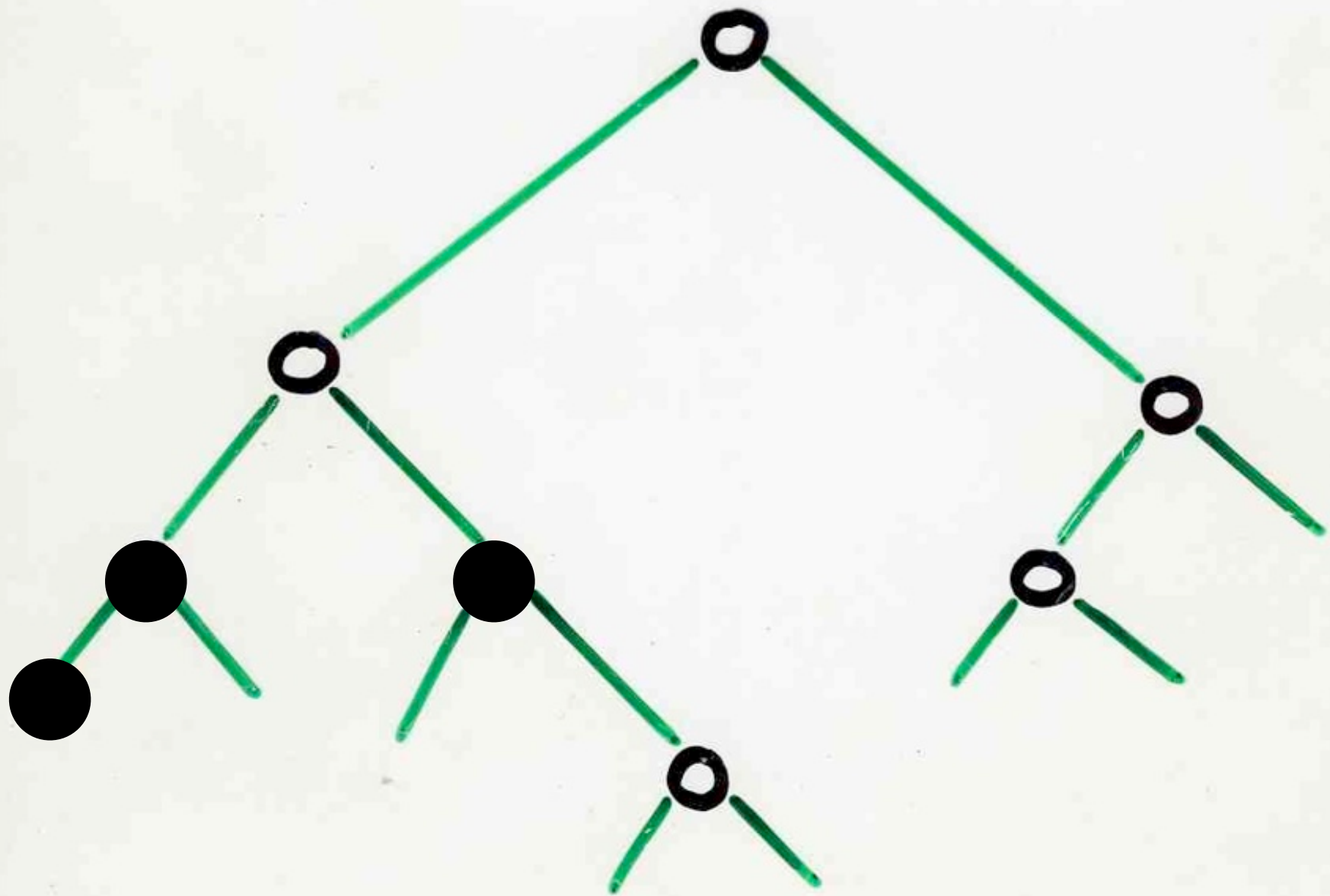


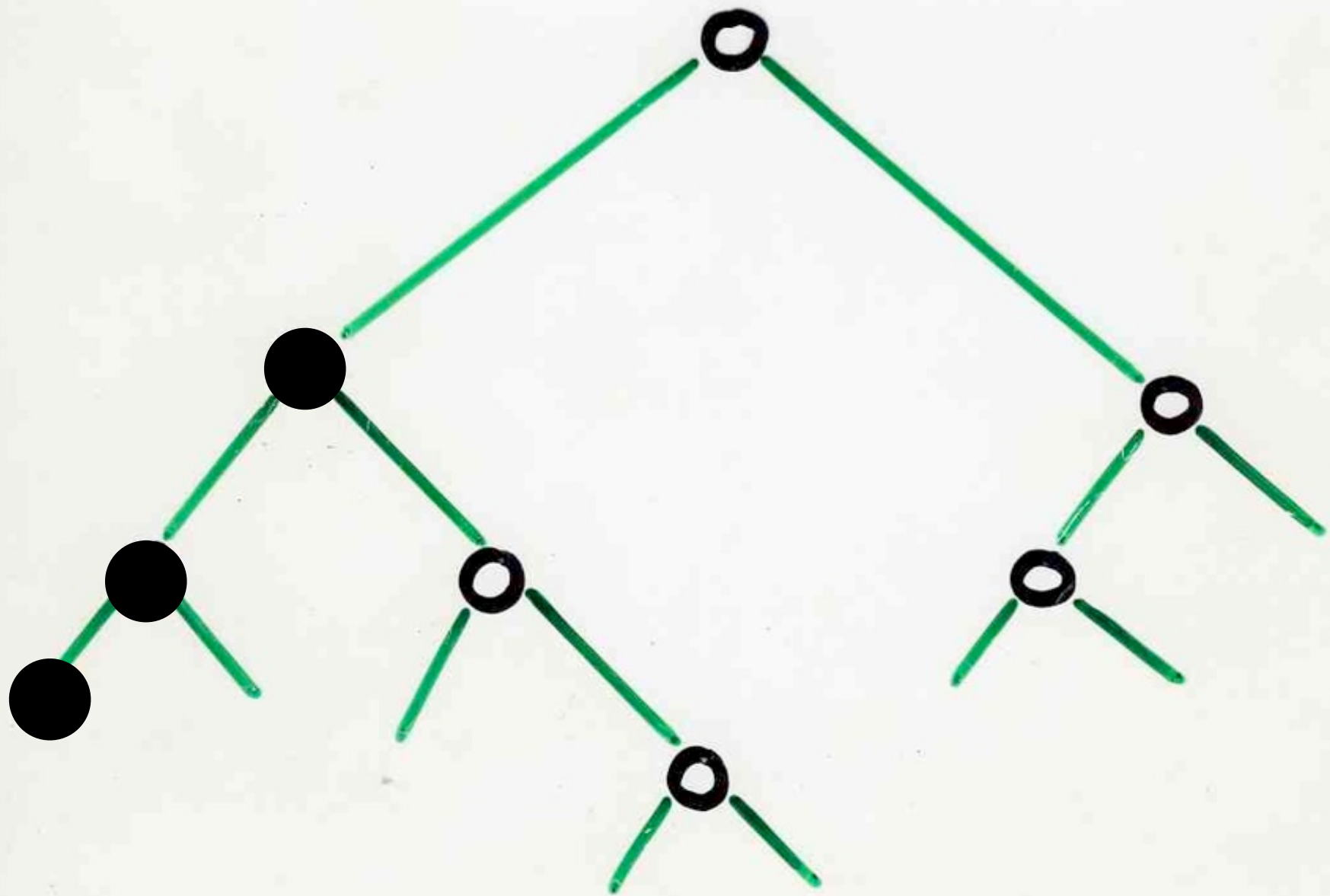


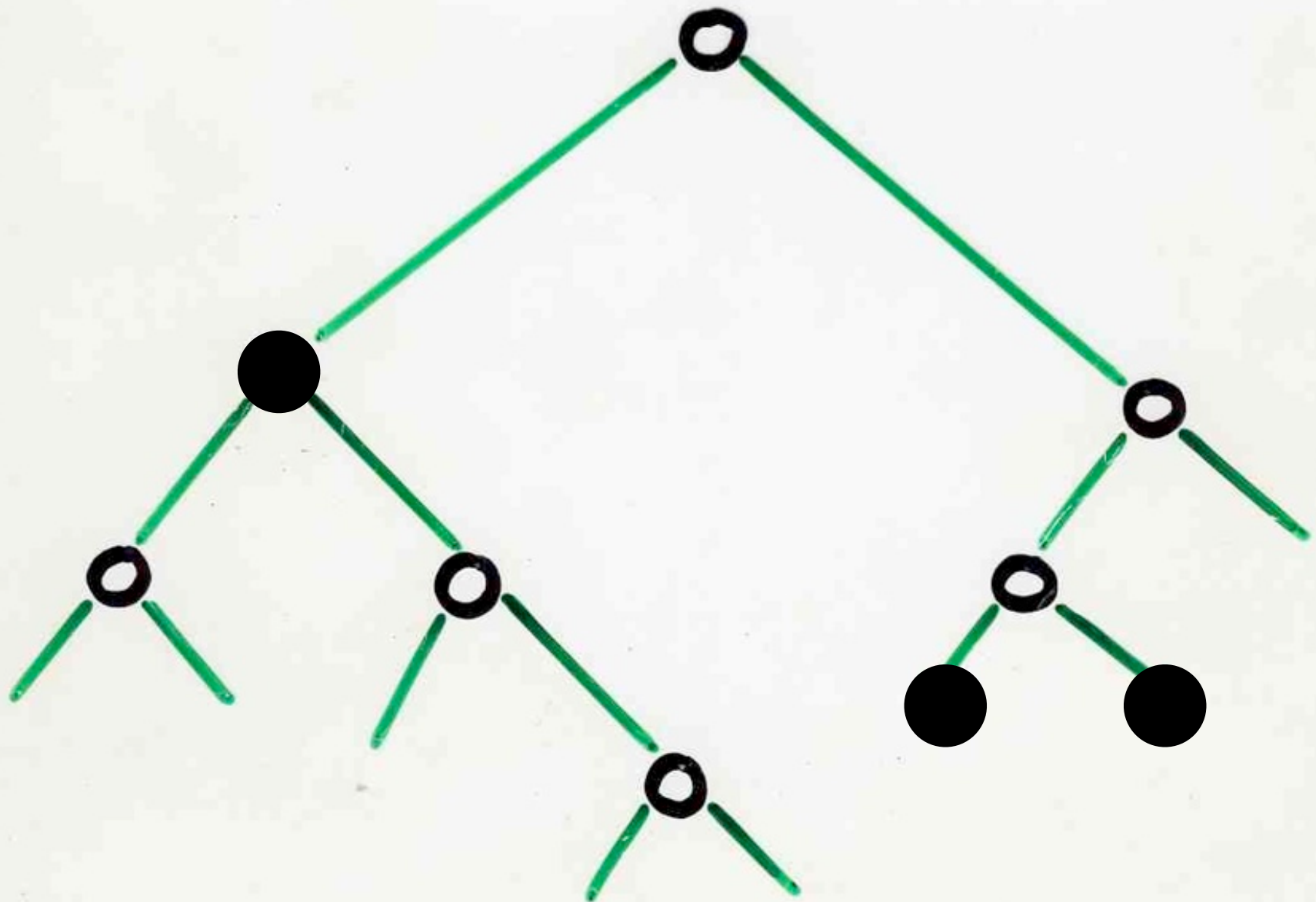


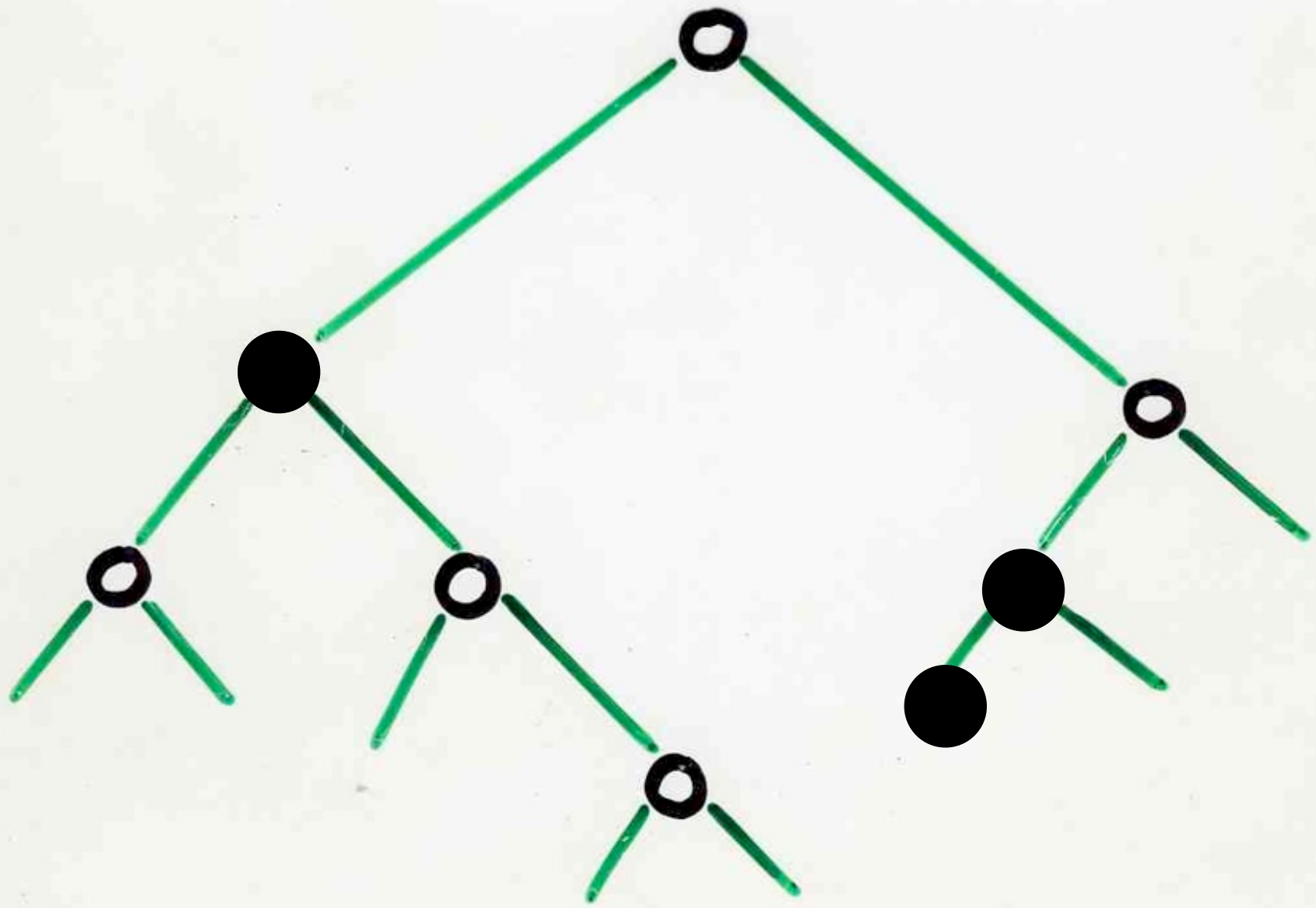


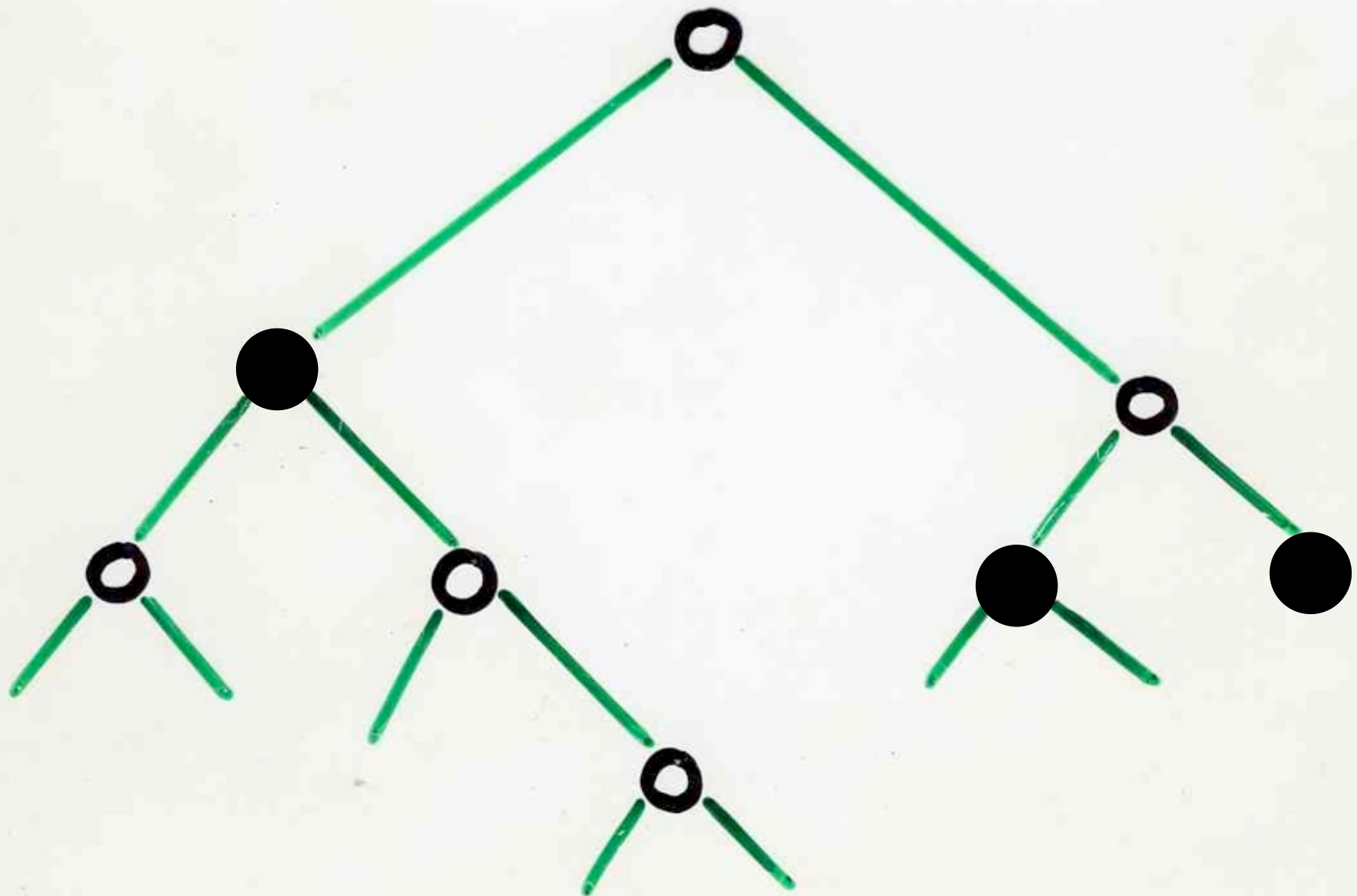


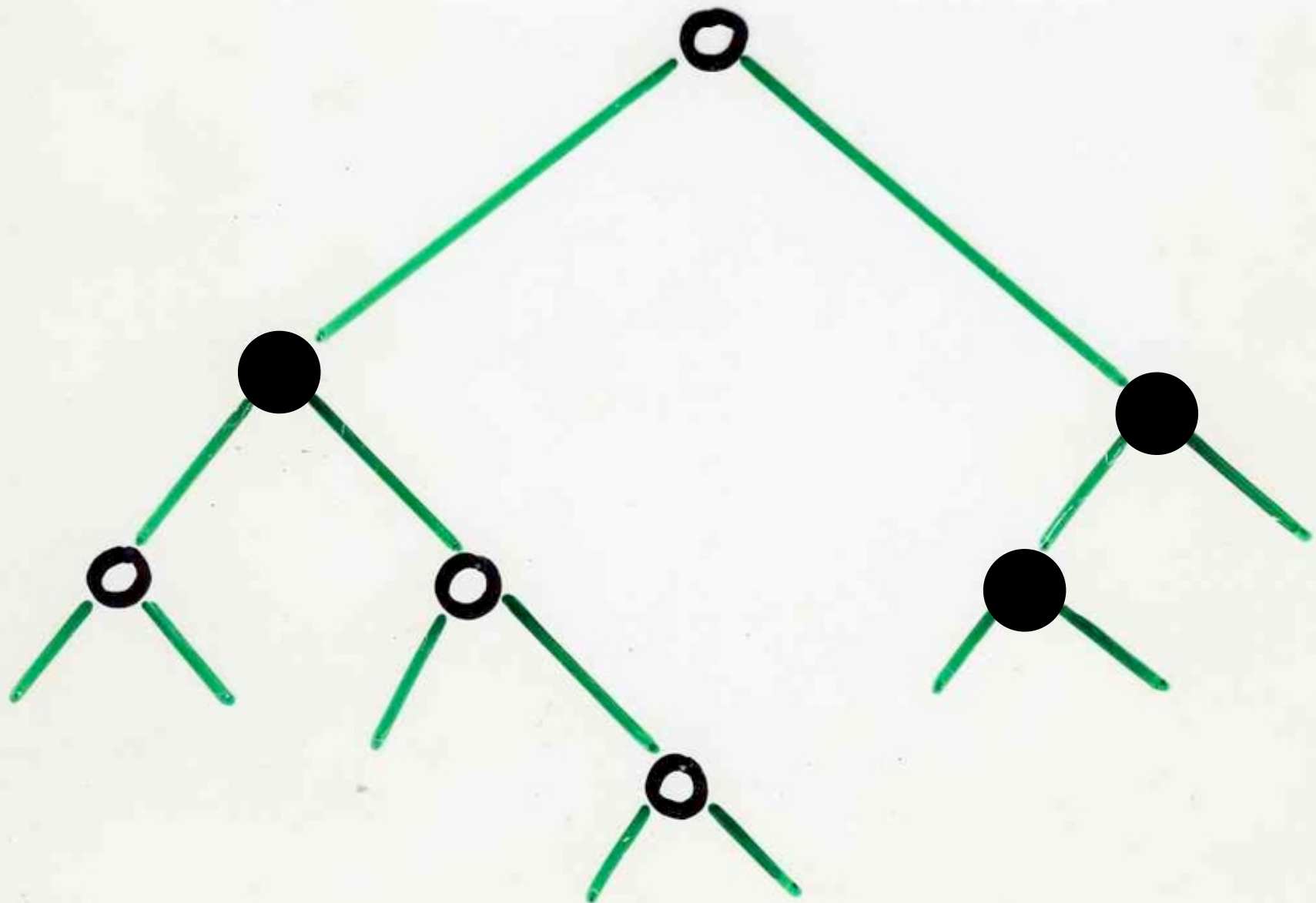


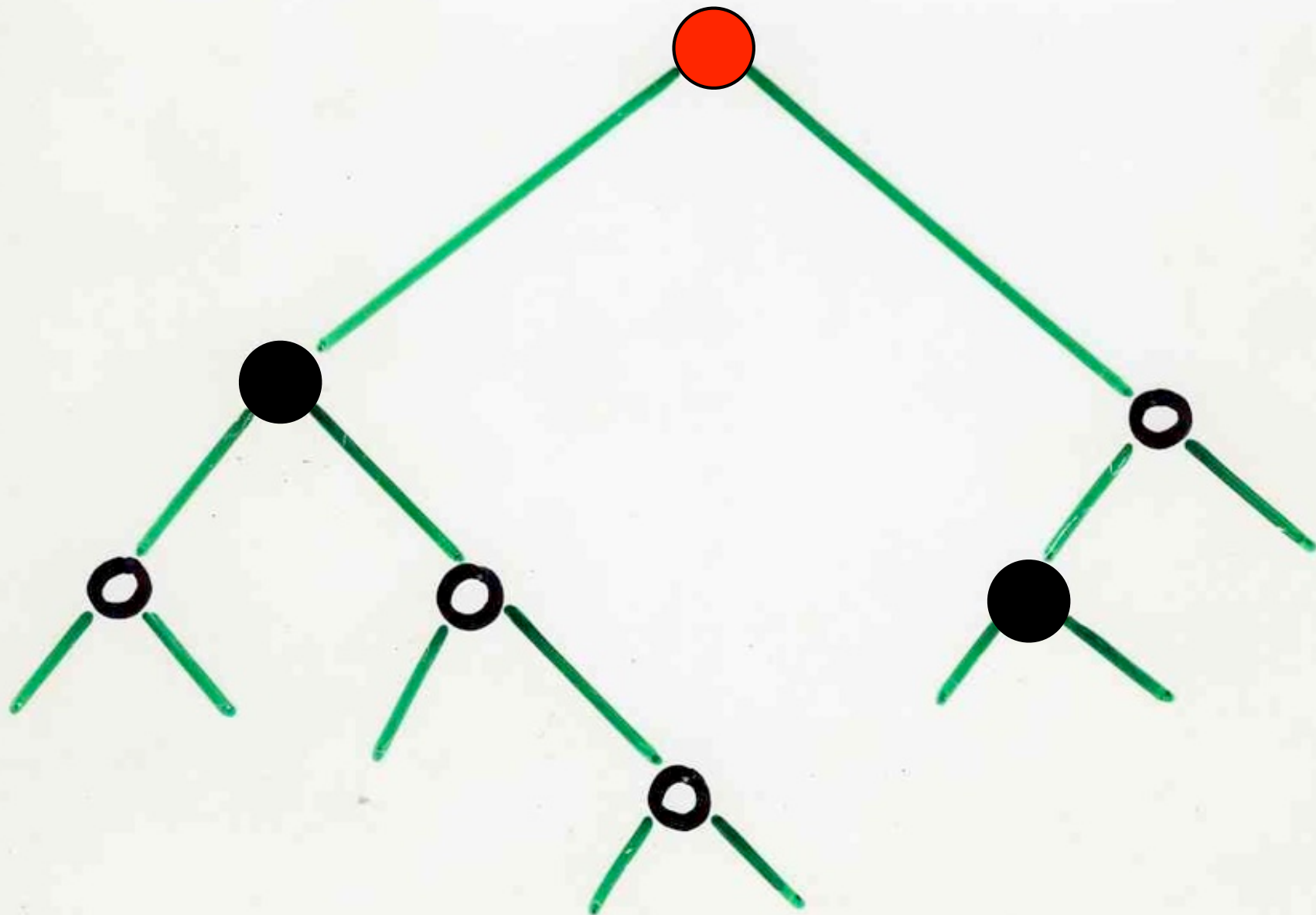












Des arbres aux rivières ...



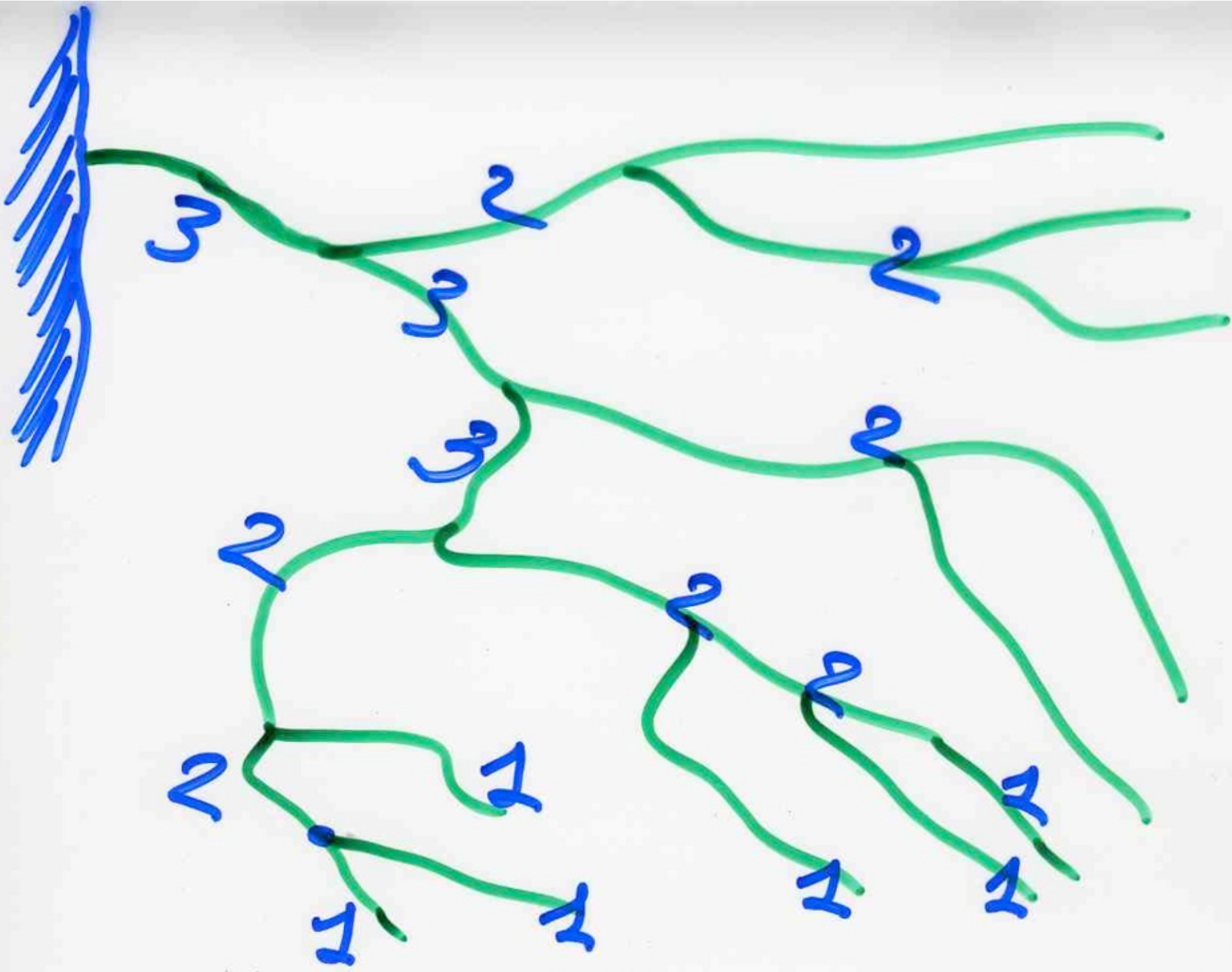


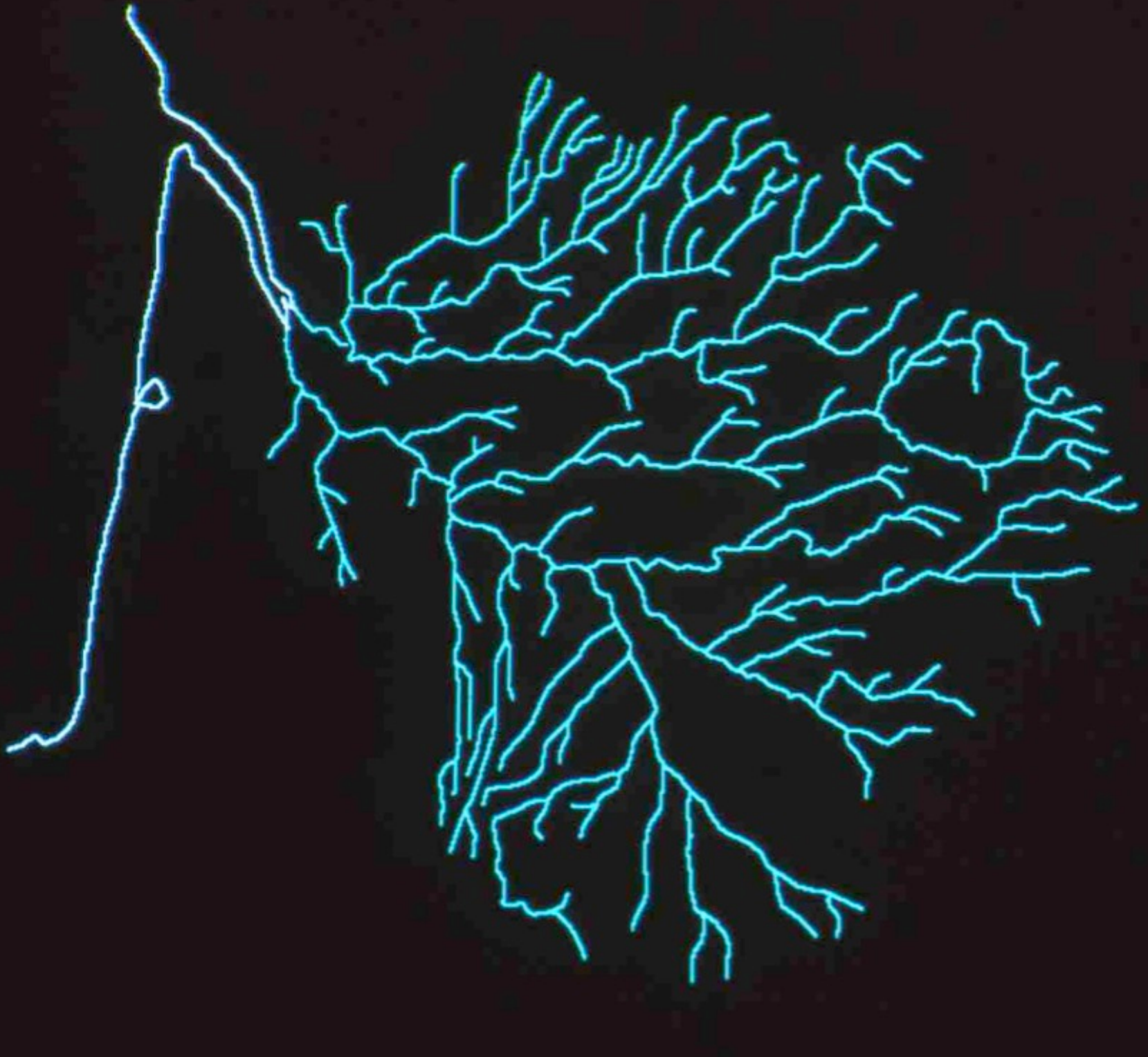
Horton (1945)  
Strahler (1952)

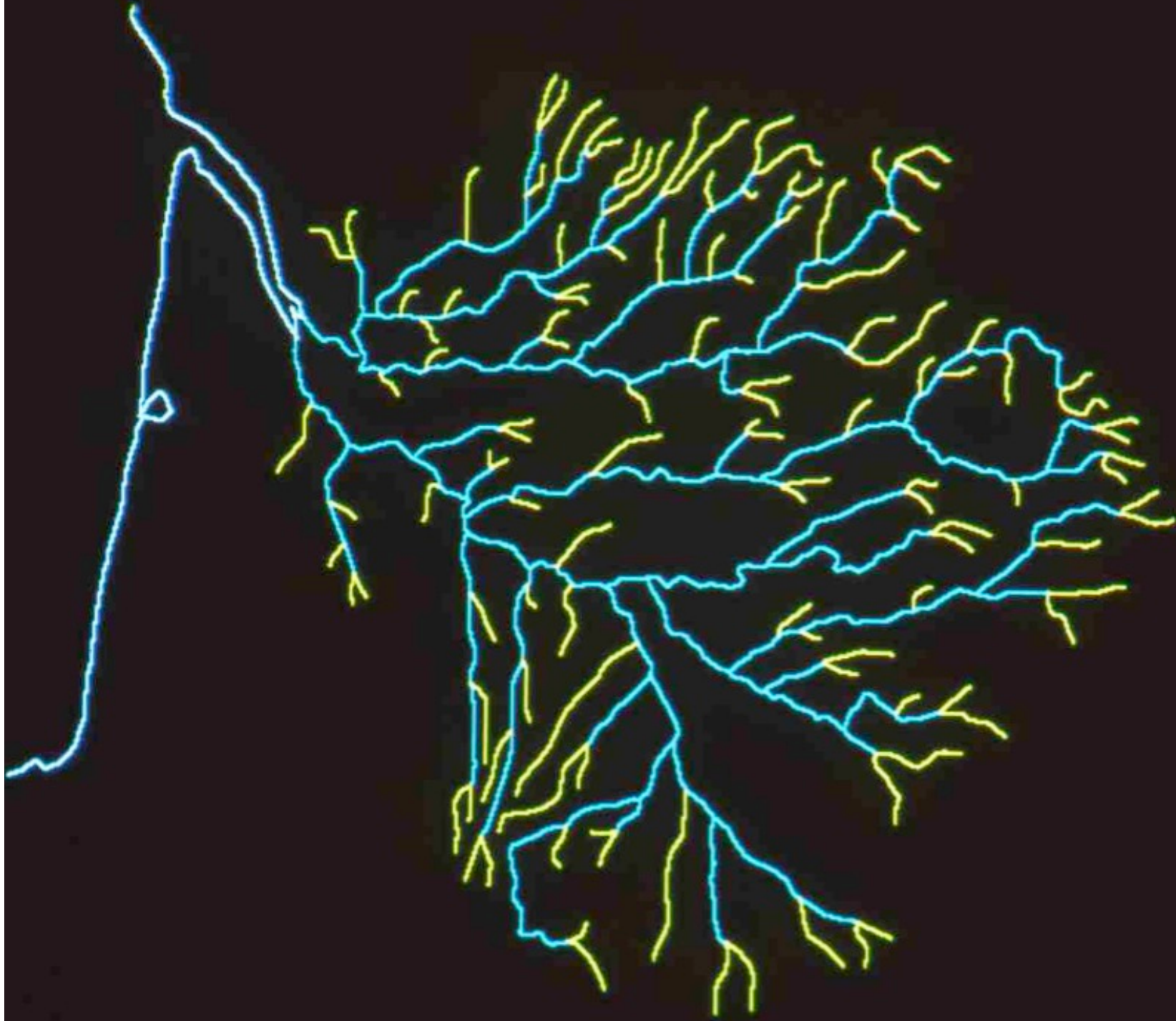
Hydrogéologie

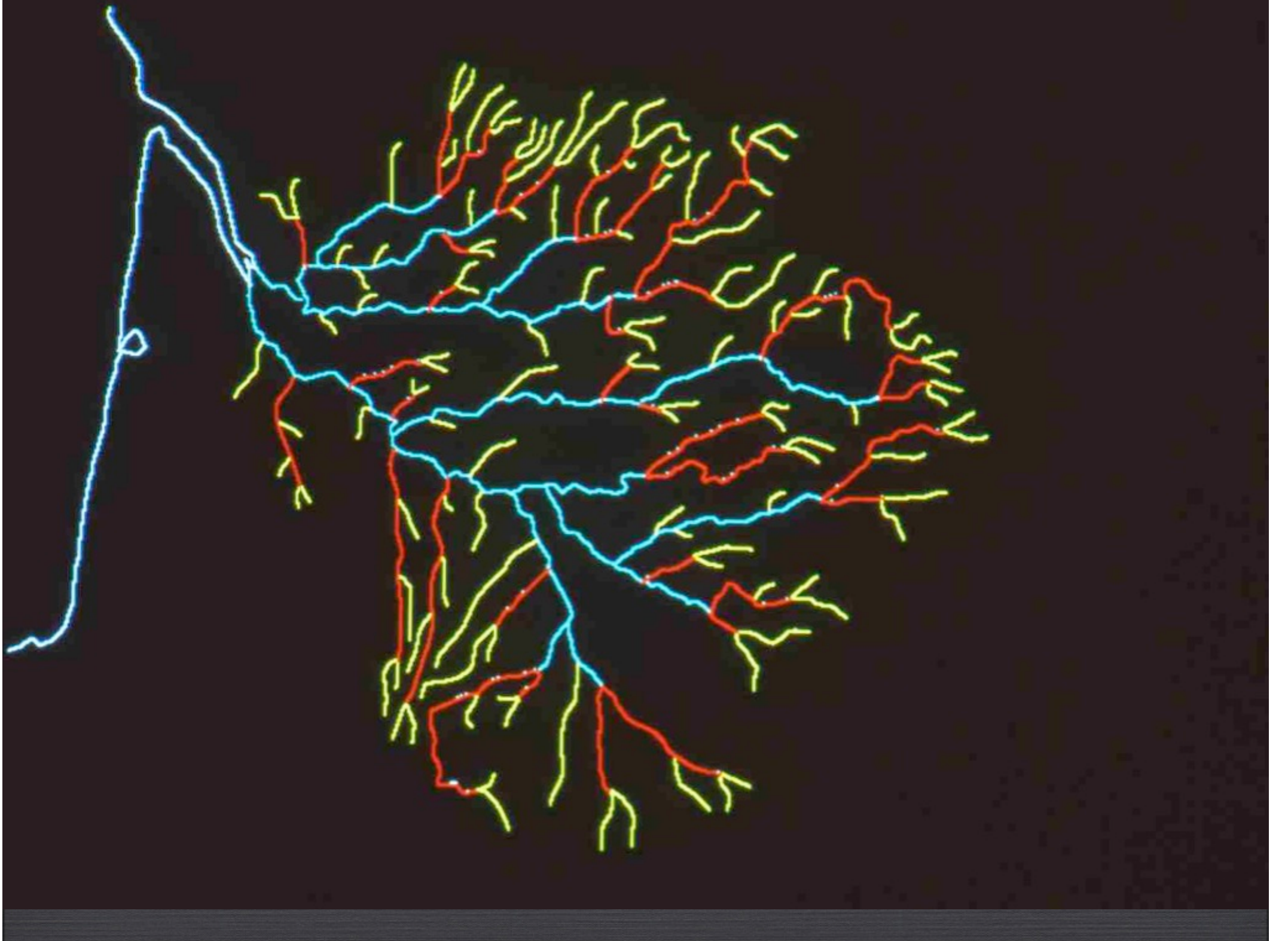
morphologie des  
bassins fluviaux

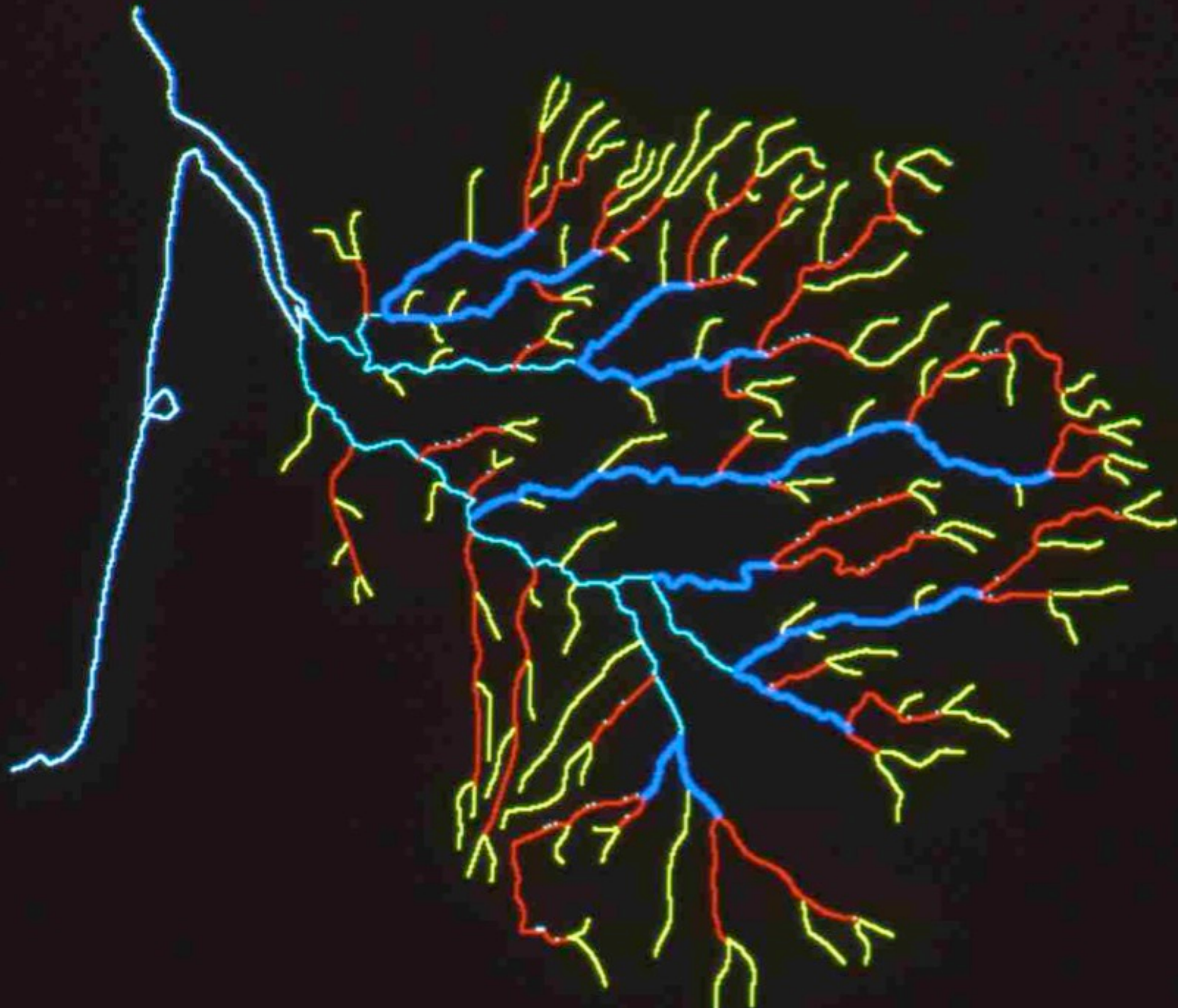
Ordre d'une rivière

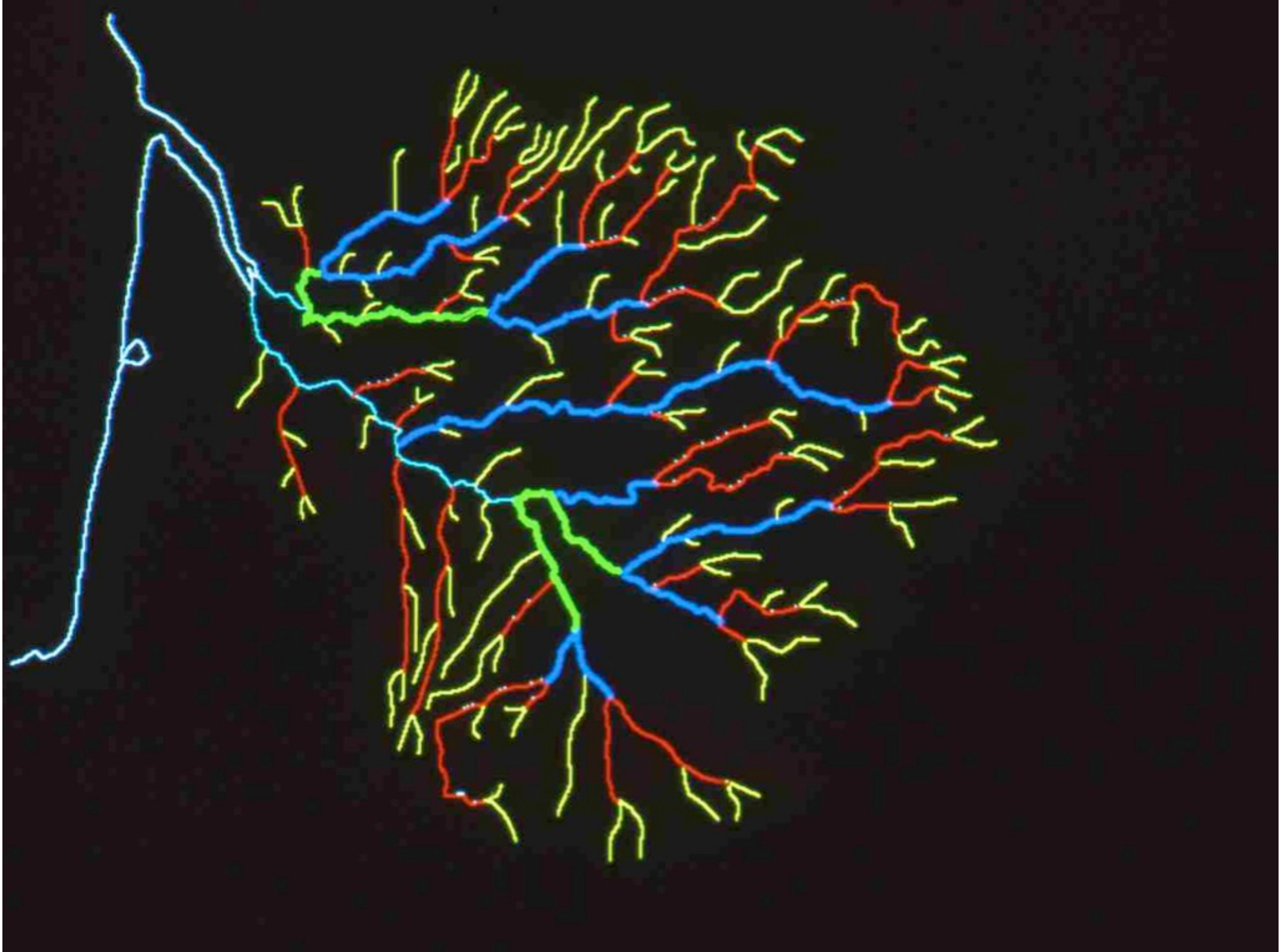


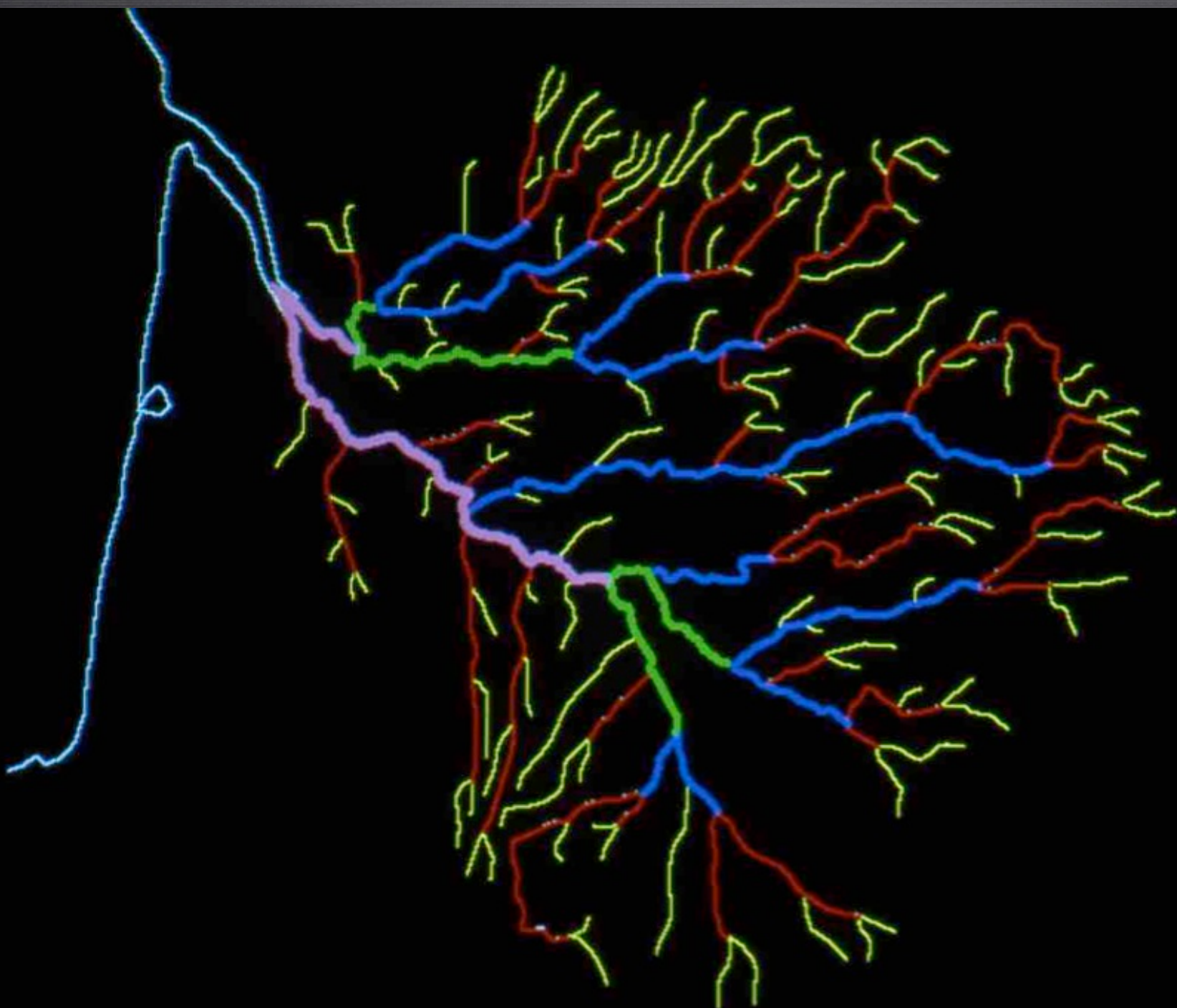


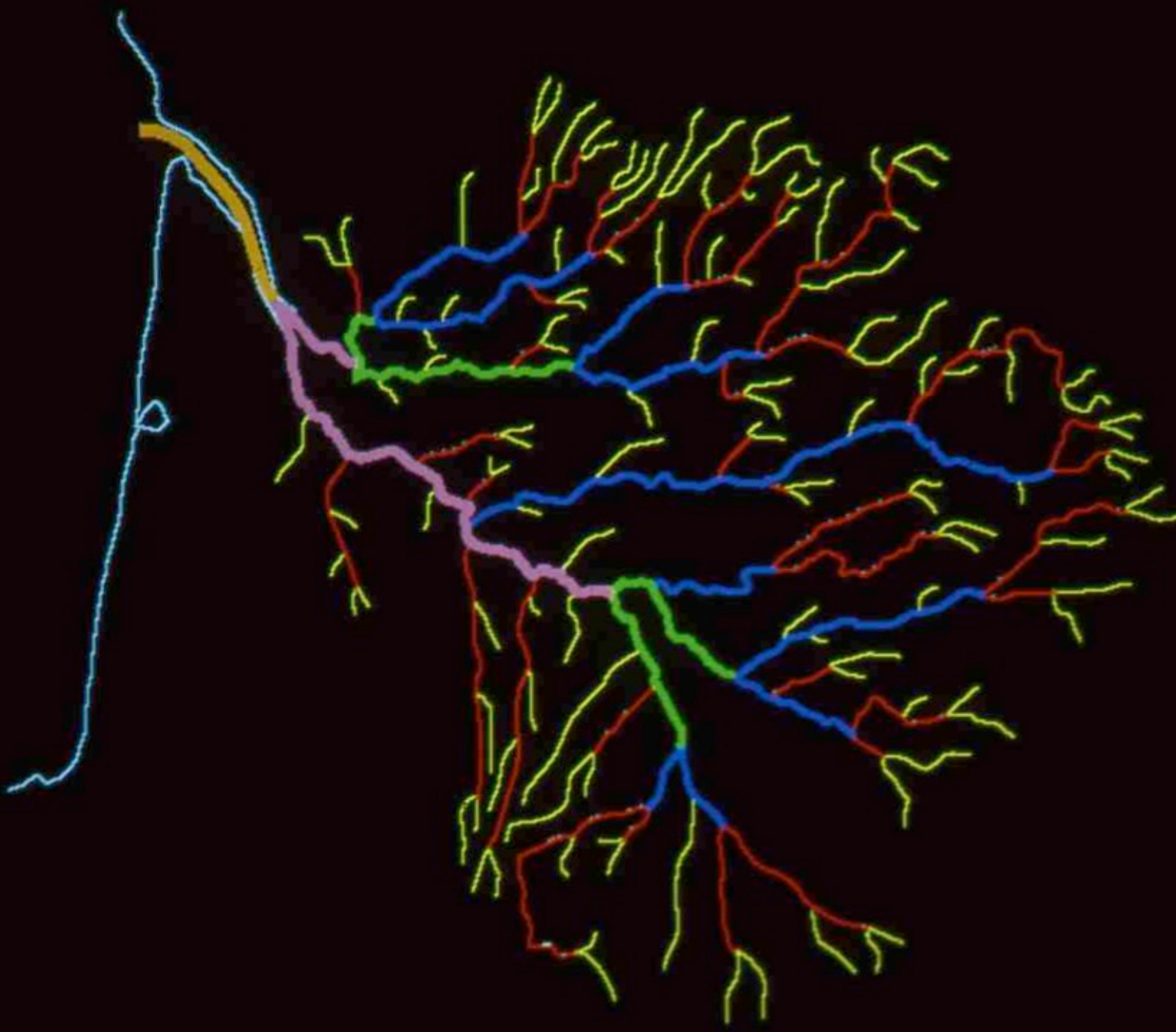


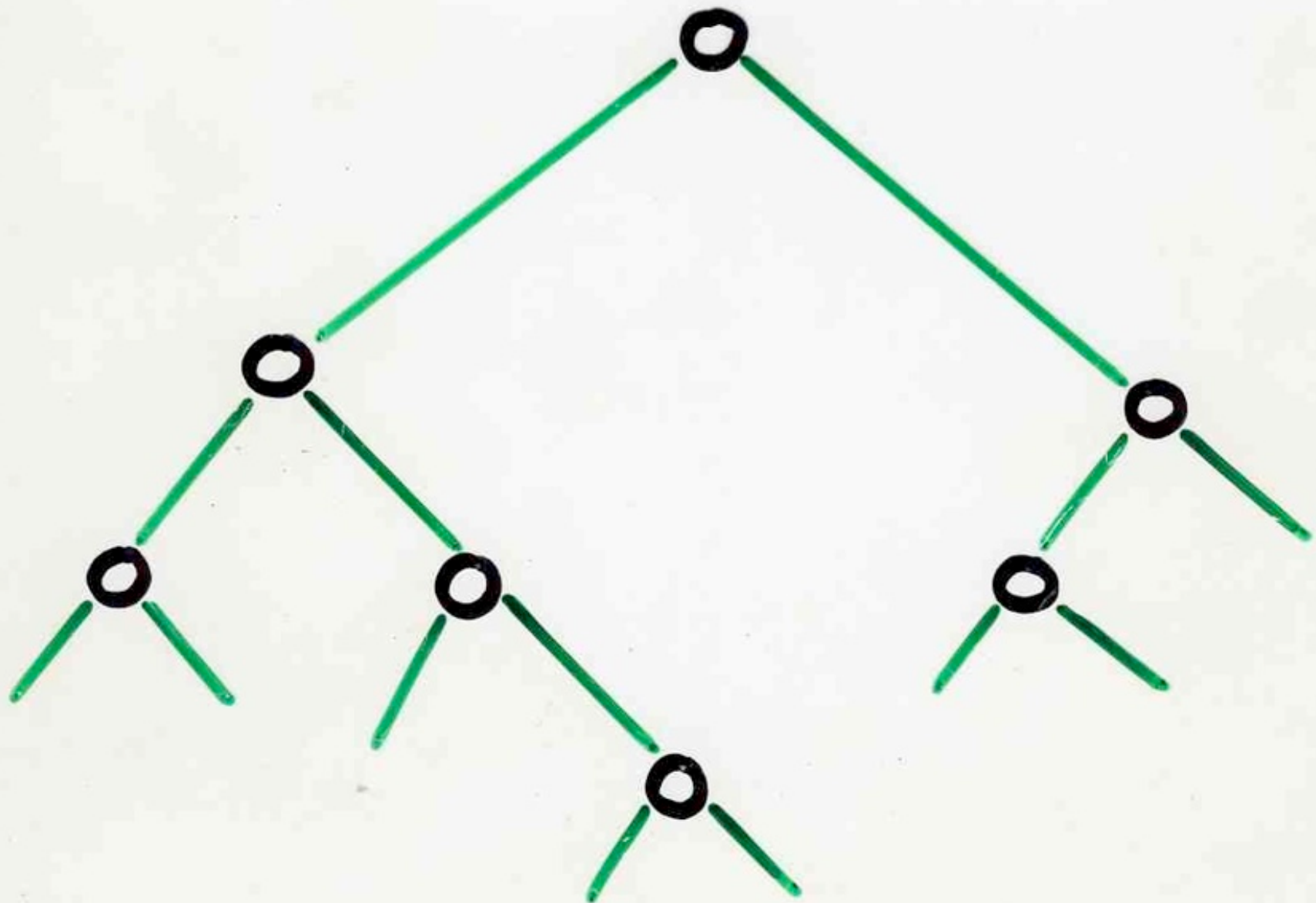


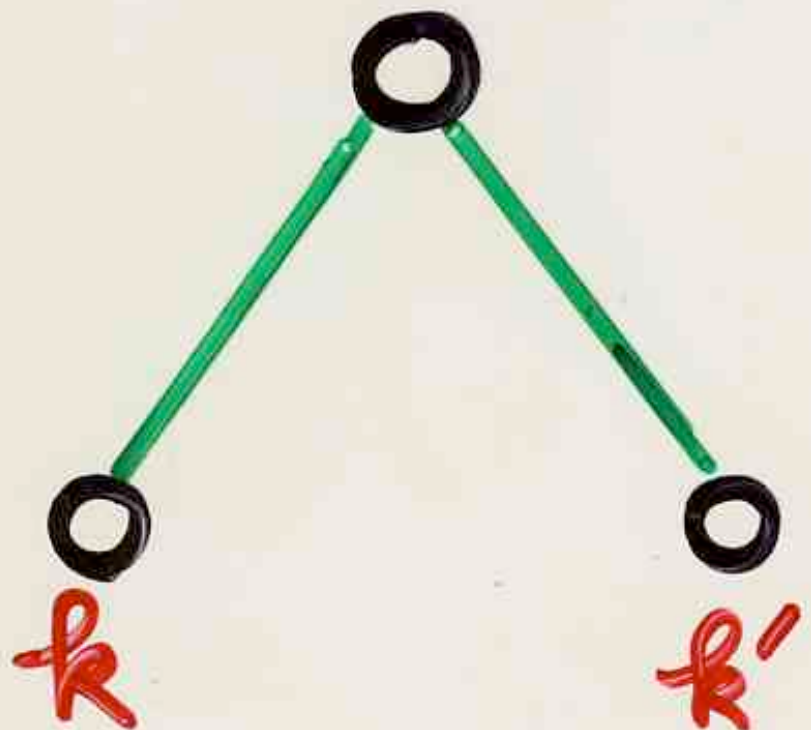
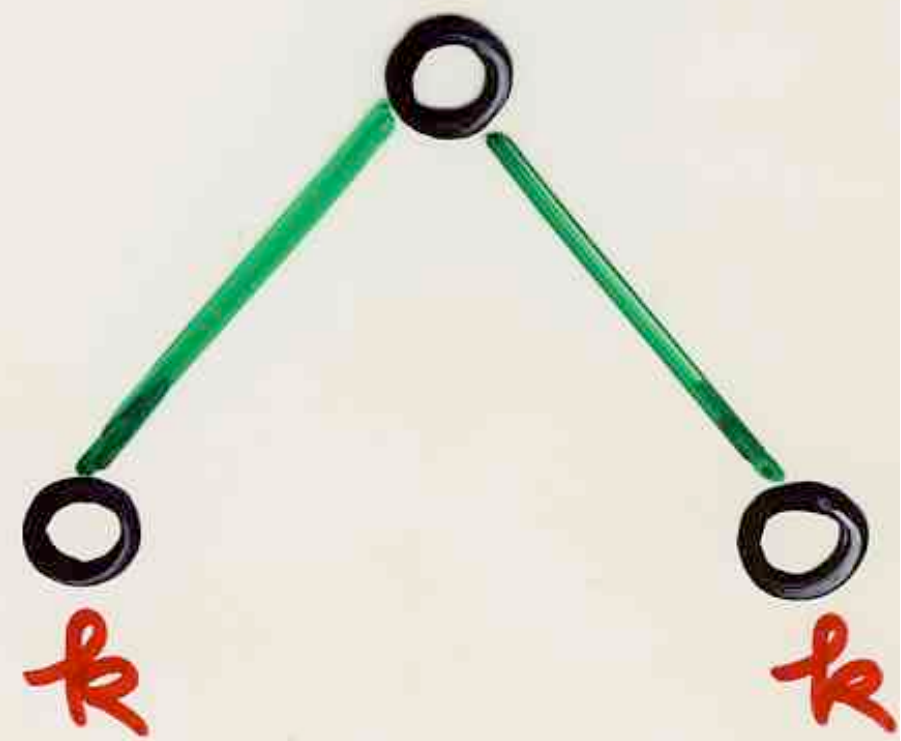






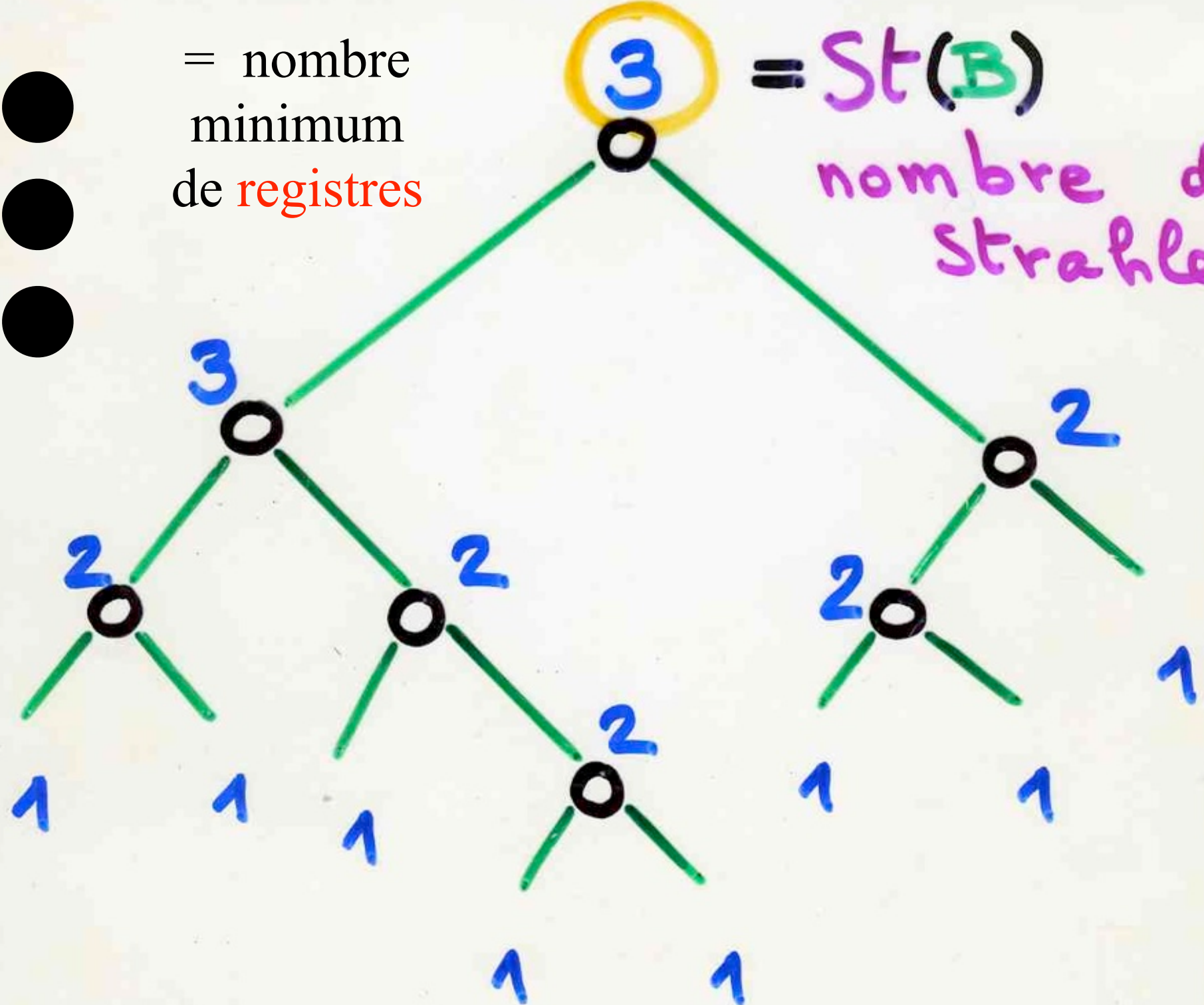




$\max(k, k')$  $k+1$ 

•  
•  
•

= nombre  
minimum  
de registres

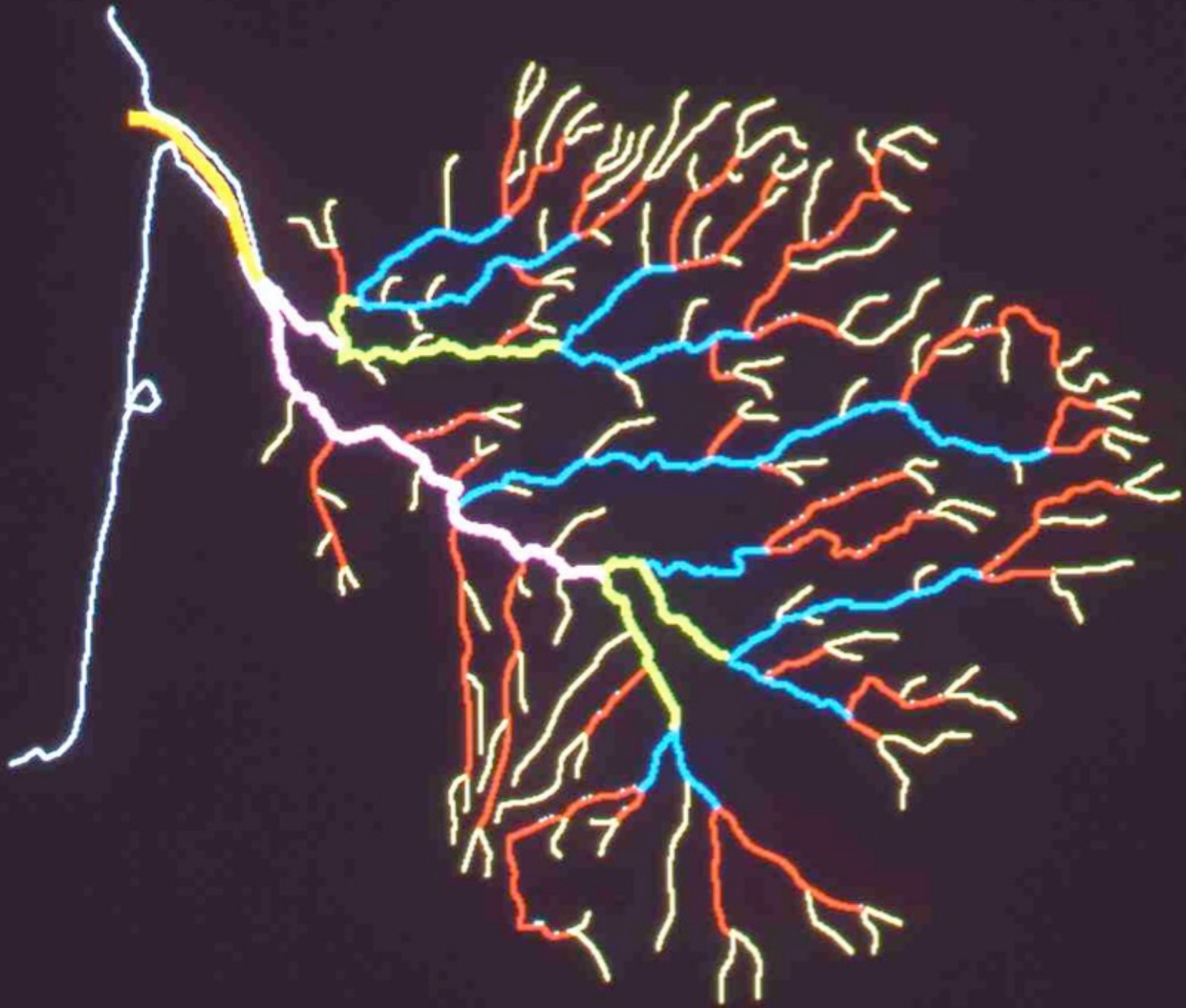


3

= St(B)

nombre de  
Strahler

rivière ou segment d'ordre  $k$



Segment of order  $k$

$k$

$k$

$k-1$

$k-1$

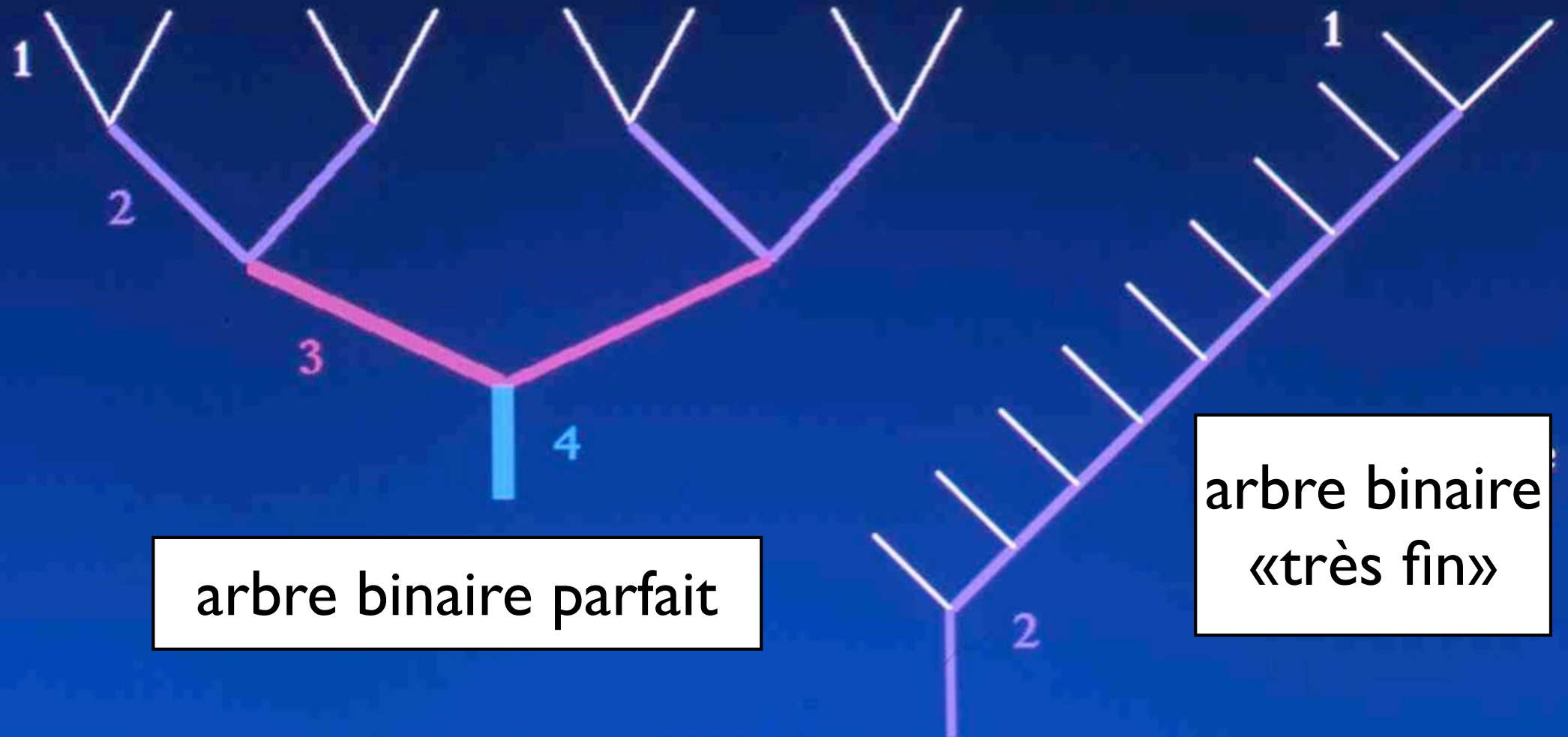
$K > k$

## Rapport de branchement

$$\beta_k = \frac{b_k}{b_{k+1}} \quad 3 < \beta_k < 5$$

$b_k$  = nombre de segments (niveaux)  
d'ordre  $k$

## Segments



corrélation entre la «forme» du réseau fluvial  
et  
la structure du sous-sol profond

Prud'homme, Nadeau, Vigneaux,  
1970, 1980

informatique graphique  
matrice de ramifications  
d'un arbre binaire

Arquès, Eyrolles, Janey, X.V.  
SIGGRAPH'89, IMAGINA' 90



LE CORBUSIER

Images de synthèse  
d'arbres, feuilles, paysages, ...

Anquetis, Eyrolles, Janey, X.G.V.

SIGGRAPH '89

A\$A

matrice  
de  
ramification

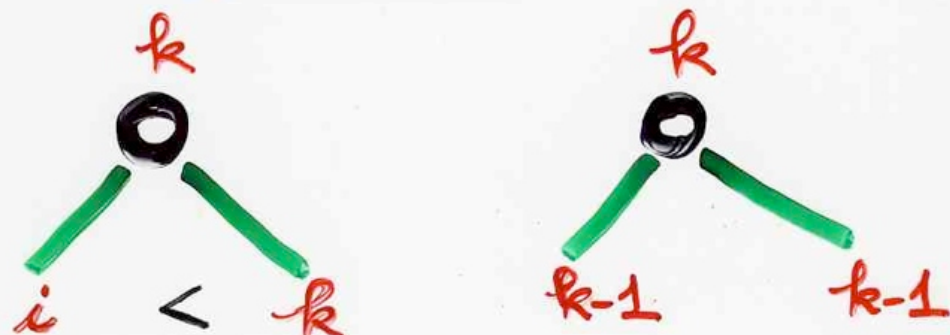
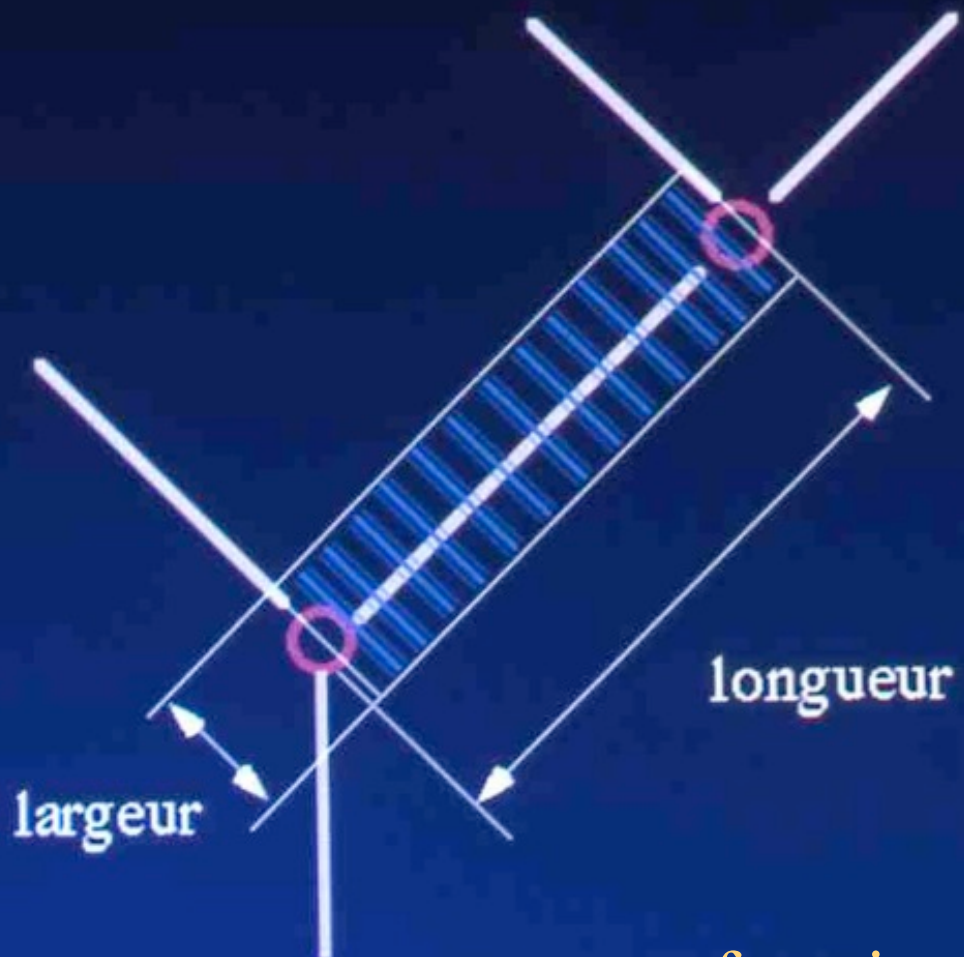


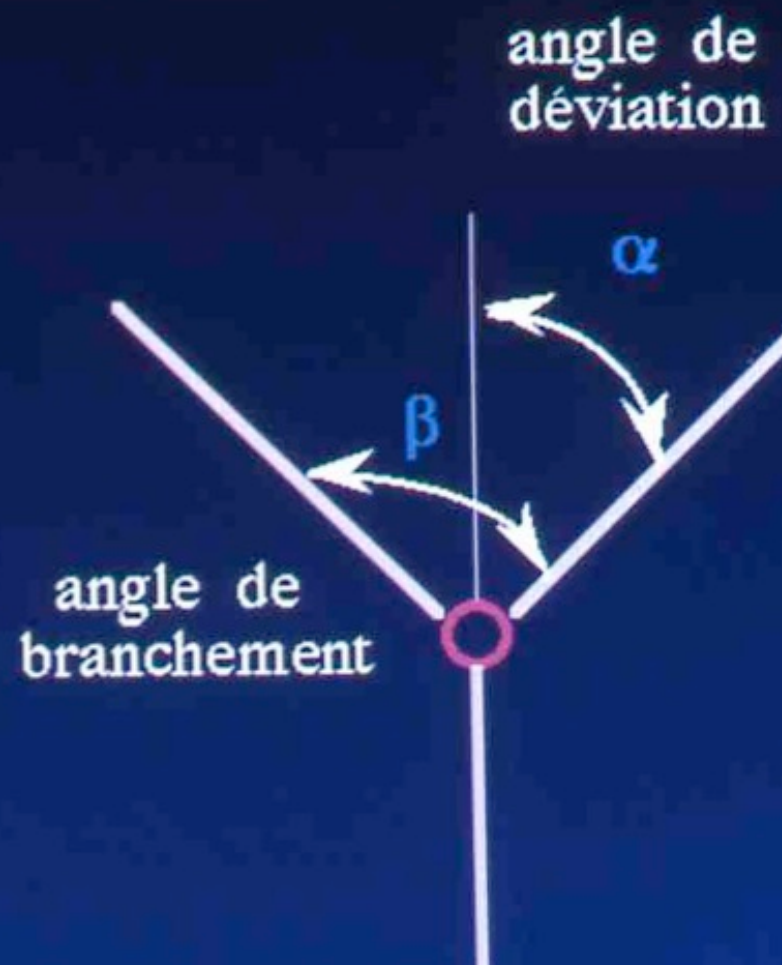
tableau  
de  
probabilités

$$P_{k,i} = \frac{b_{k,i}}{a_k}$$

biorde ( $k, i$ )



fonctions de l'ordre  $k$   
et du biordre  $(k,i)$



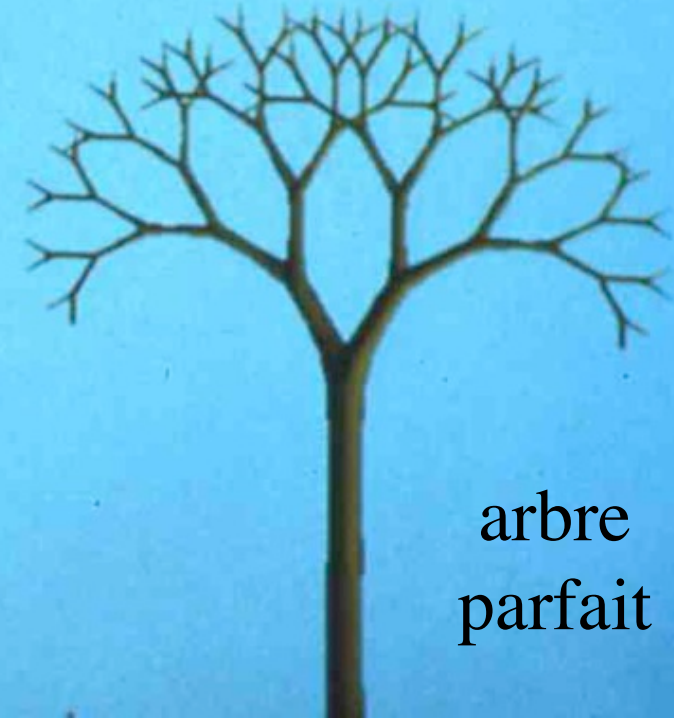
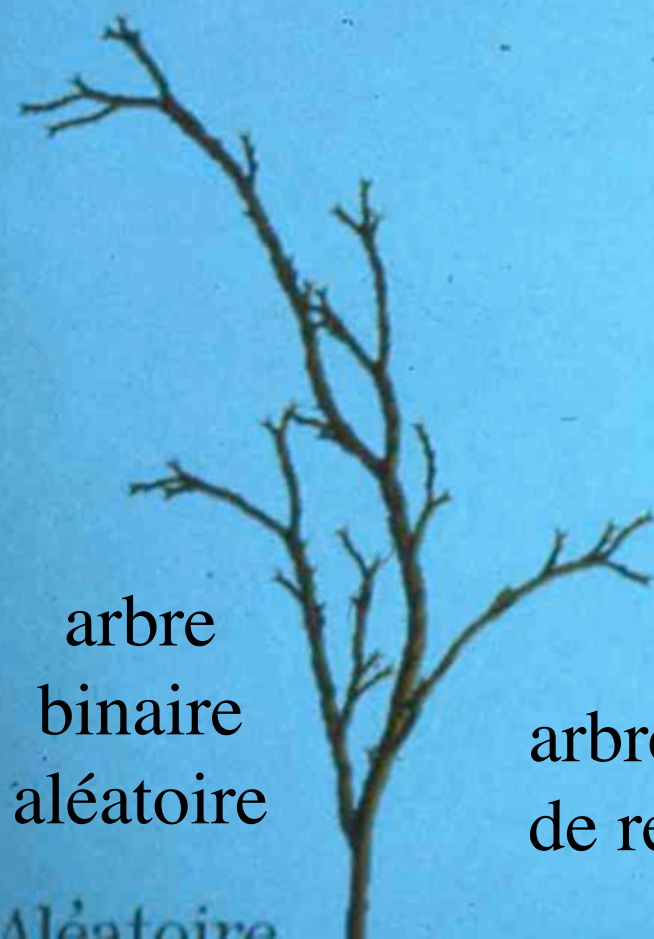






ASA

mélange de 3 matrices de  
ramification



mélange  
de 3 matrices  
de ramification

3 «formes»

2 : 0	10000										
3 : 0	0	10000									
4 : 0	0	0	10000								
5 : 5000	2500	1250	625	625							
6 : 5000	2500	1250	625	313	312						
7 : 125	250	500	1000	2000	3000	3125					
8 : 63	125	250	500	1000	2000	3000	3062				
9 : 31	63	125	250	500	1000	2000	3000	3031			
10: 15	31	63	125	250	500	1000	2000	3000	3016		
11: 7	15	31	63	125	250	125	500	1000	2000	3000	3009

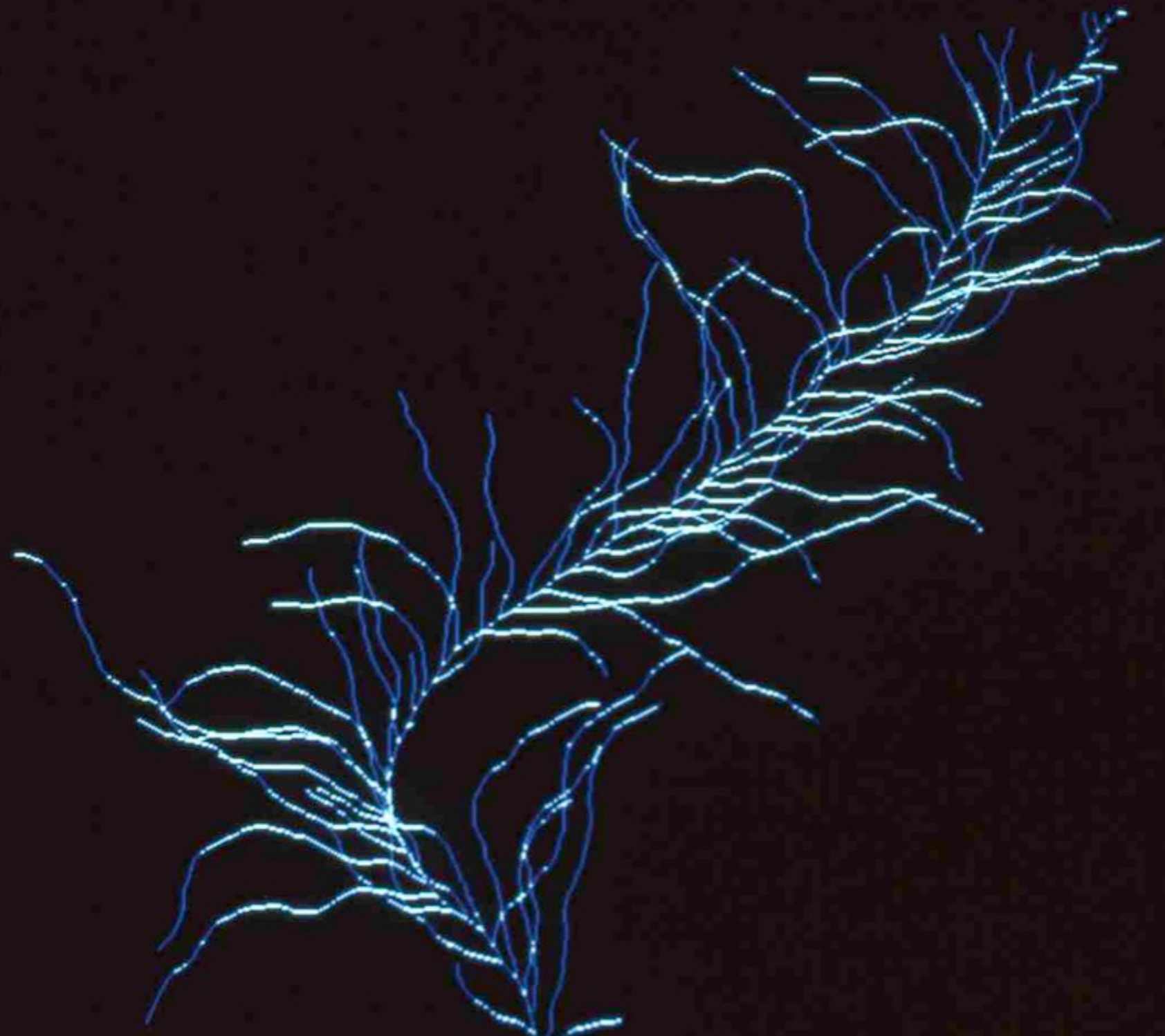






AŞA















S'il existe une quelconque beauté dans ces images de synthèse d'arbres, elle n'est que le pâle reflet de l'extraordinaire beauté des mathématiques se cachant derrière les algorithmes générant ces images.

Nombre de Strahler  
moyen

parmi tous les arbres binaires  
ayant  $n$  sommets

$$St_n = \log_4 n + f(\log_4 n) + o(1)$$

$f$  fonction  
périodique

Flajolet, Raoult, Vuillemin (1979)  
Kemp (1979)

## Théorie des nombres

$T(n)$  = nombre total de 1 dans  
les écritures binaires  
des nombres  $1, 2, \dots, (n-1)$ .

# série génératrice

$S_{n,k}$  = nombre d'arbres binaires  $B$   
ayant  $n$  sommets (internes)  
et nombre de Strahler  
 $st(B) = k$

$$S_k(t) = \sum_{n \geq 0} S_{n,k} t^n$$

# série formelle

$$S_1 = 1$$

$$S_2 = \frac{t}{1-2t}$$

$$S_3 = \frac{t^3}{1-6t+10t^2-4t^3}$$

$$S_4 = \frac{t^7}{1-14t+78t^2-220t^3+330t^4-252t^5+84t^6-8t^7}$$



Pafnuty Tchebychev  
(1887-1920)

polynômes de  
Tchebychev

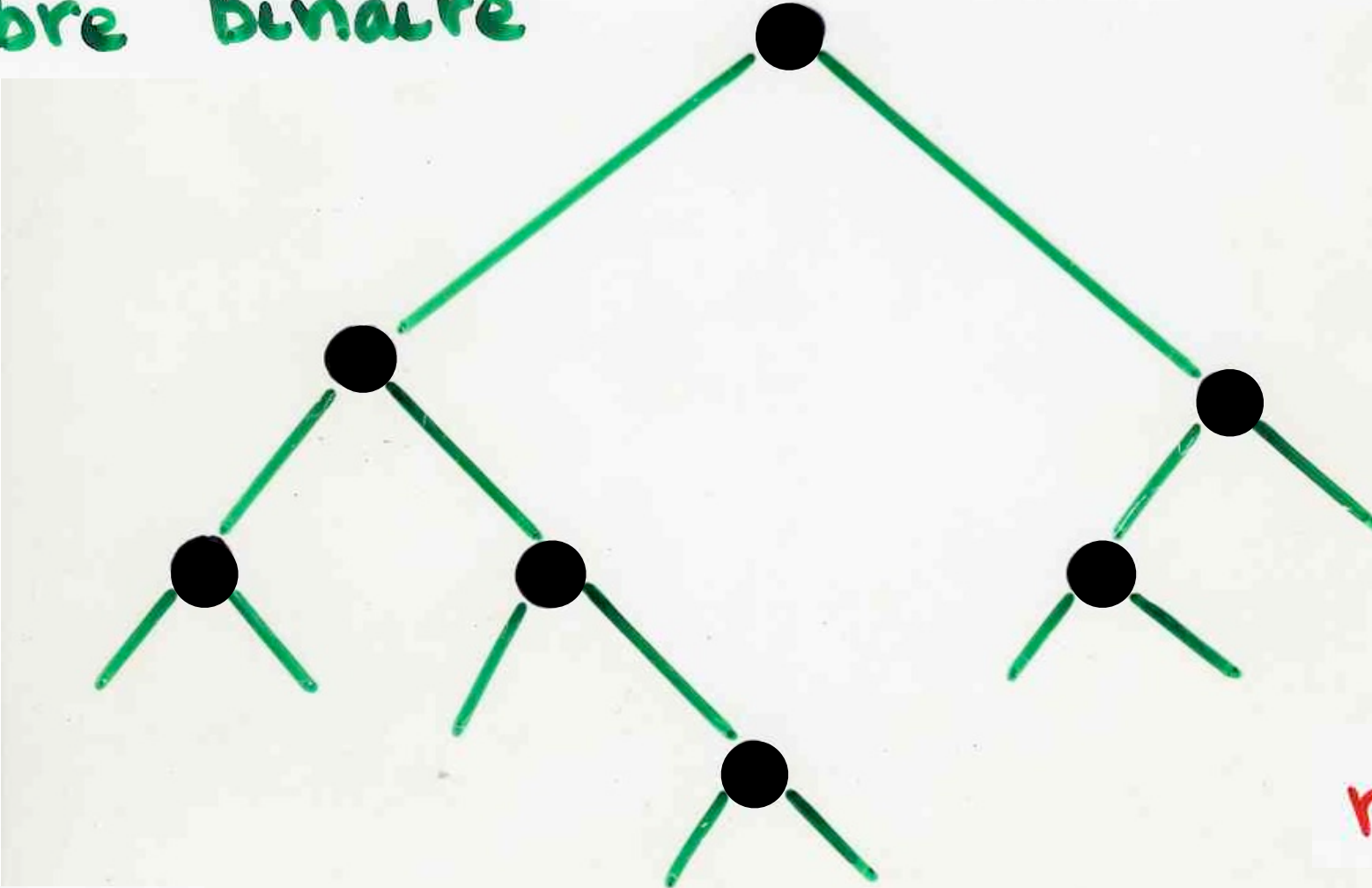
Trigonométrie

$$\sin(n+1)\theta = (\sin\theta) \mathbf{U}_n (\cos\theta)$$

Compter les arbres ...



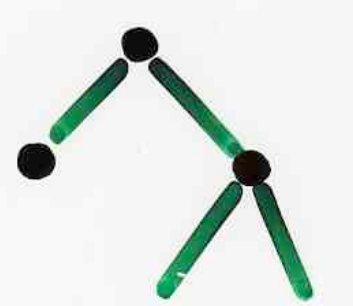
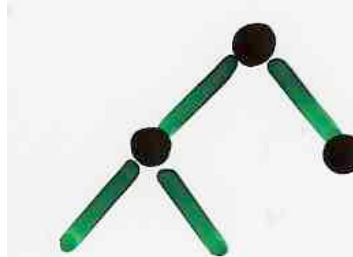
# arbre binaire



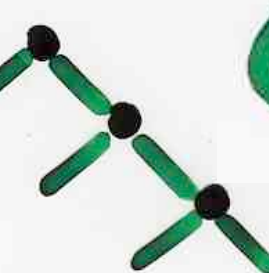
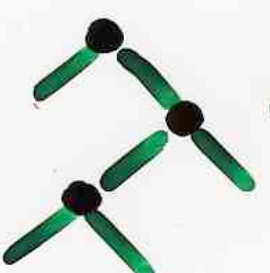
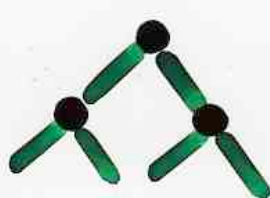
$C_n =$  nombre d'arbres binaires  
ayant  $n$  sommets (internes)  
[ou  $n+1$  sommets externes]  
feuilles



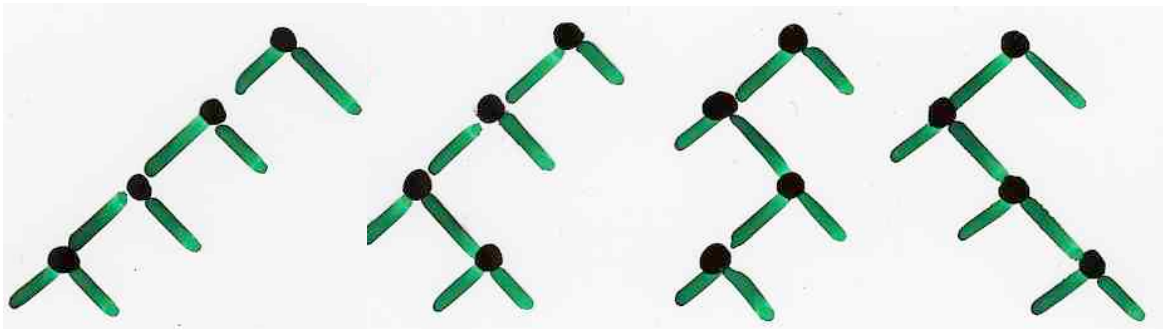
$C_1 = 1$



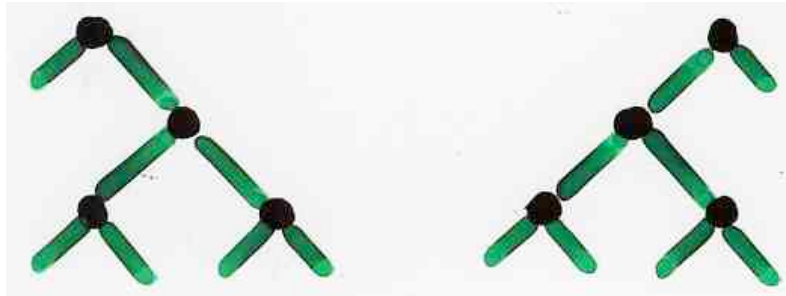
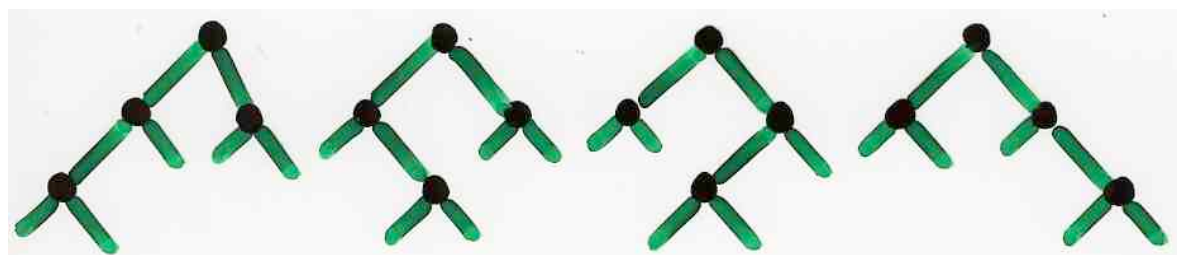
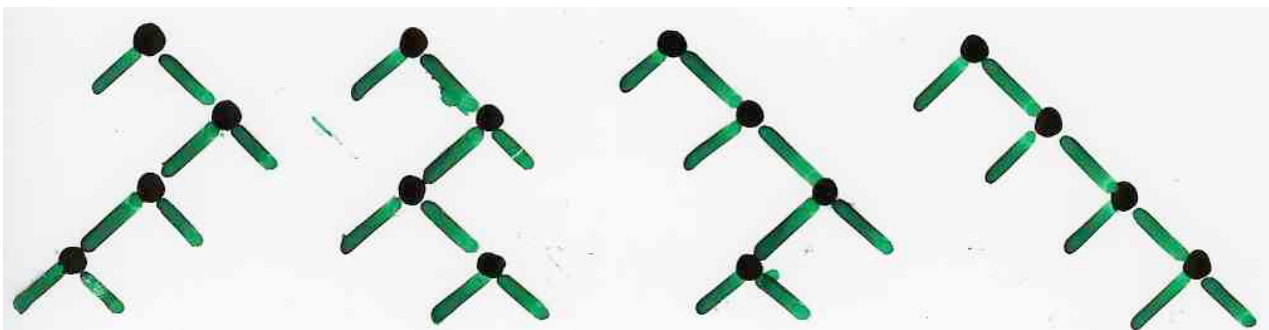
$C_2 = 2$



$C_3 = 5$



$C_4 = 14$



nombres  
de  
Catalan

$$C_n = \frac{1}{n+1} \binom{2n}{n}$$

$$= \frac{(2n)!}{(n+1)! n!}$$

$$n! = 1 \times 2 \times \dots \times n$$

nombres de Catalan

1 1 2 5 14 42



E. Catalan  
(1814 - 1894)

Gesucht sind die Anzahl der auf  $n$  mit Längen  $x$  gebildeten Dreiecke.

Zunächst wird ein Dreieck aus  $n$  Diagonalen in  $n-2$  Triangula

gespalten und diese aus auf  $n-3$  Längen gebildet.

Diese ist die wahre Generalität. Da ein Polygon von  $n$  Ecken  
durch  $n-3$  Diagonalen in  $n-2$  Triangula gespalten hat, auf  
die entsprechenden Längen folgend gegeben kann.

Daher ist nun die Anzahl dieser Längen  $= x$

Wann  $x = 1, 2, 5, 14, 42, 132, 429, 1430, \dots$

ist  $x = 1, 2, 6, 14, 42, 132, 429, \dots$

Die Anzahl habe ich aus der Tabelle genommen. In Generalität

$$x = \frac{2 \cdot 6 \cdot 10 \cdot 14 \cdot 18 \cdot 22 \cdots (2n-10)}{2 \cdot 3 \cdot 4 \cdot 5 \cdot 6 \cdot 7 \cdots (n-1)} = \frac{(2n)!}{(n+1)! n!}$$

$$6 = 2 \cdot 3, 14 = 5 \cdot 3, 42 = 14 \cdot 6, 132 = 14 \cdot 10 \cdot 6, \dots$$

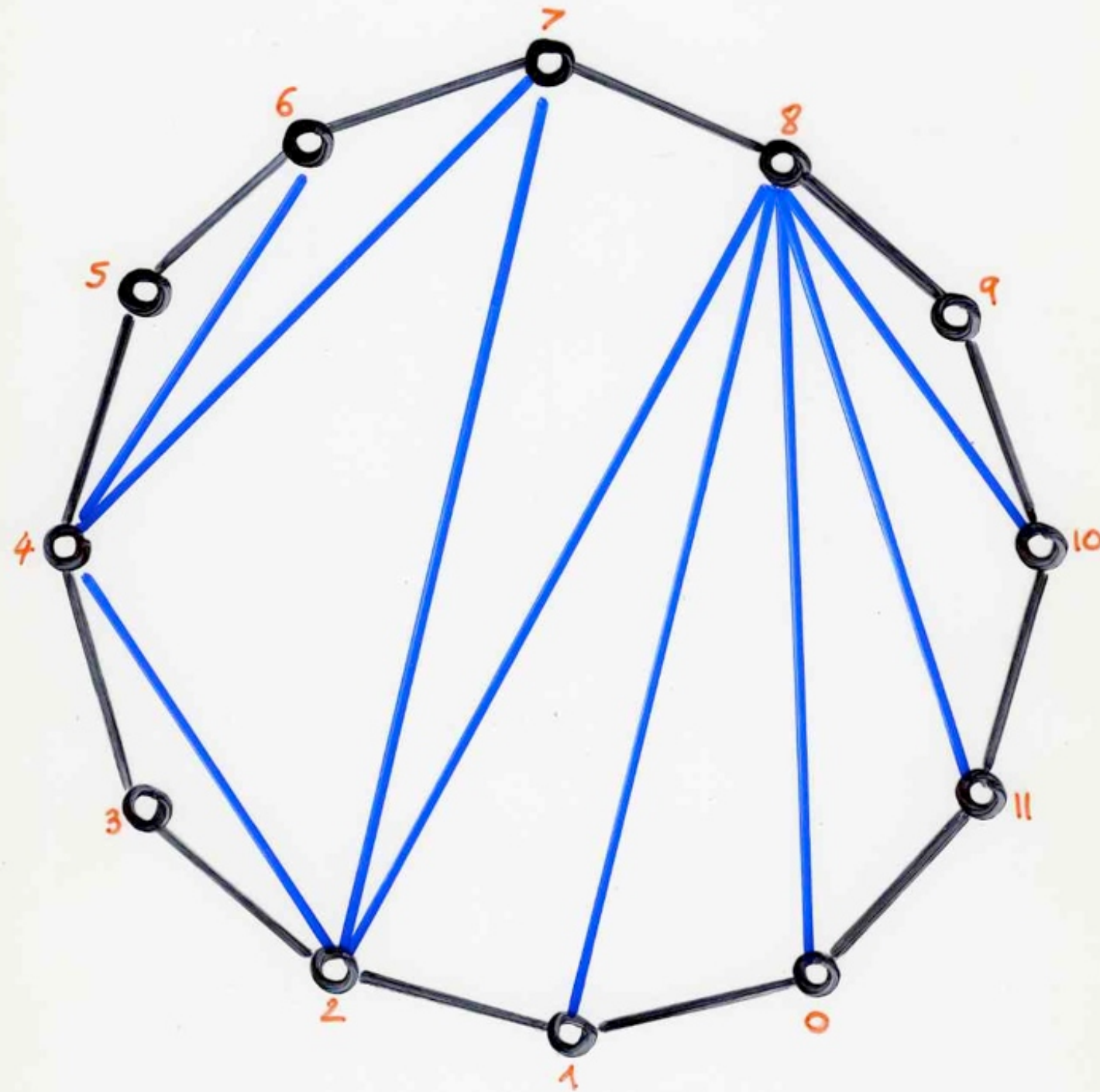
$$C_n = \frac{1}{n+1} \binom{2n}{n} \text{ längst } \frac{n!}{n+1} = 1 \times 2 \times 3 \times \dots \times n$$

Une lettre de Leonhard Euler  
à Christian Goldbach ....

Berlin, 4 Septembre 1751

Leonhard  
Euler  
1707 - 1783





$$\frac{1 - 2a - \sqrt{1 - 4a^2}}{2a^2}$$

$$1 + 2a + 5a^2 + 14a^3 + 42a^4 + 132a^5 + \text{etc}$$

geometrisch ist  
 $1 + 2a + 5a^2 + 14a^3 + 42a^4 + 132a^5 + \text{etc} = \frac{1 - 2a - \sqrt{1 - 4a^2}}{2a^2}$

allein wenn  $a = \frac{1}{4}$  ist  $1 + \frac{2}{4} + \frac{5}{16} + \frac{14}{64} + \frac{42}{256} + \text{etc} = 1$ .

Die Division lassen wir für die Zerlegung  
 offensichtlich gesondert ausarbeiten und  
 es hat die Form und die Reihe der Zerlegung  
 keinen Zweck für uns.

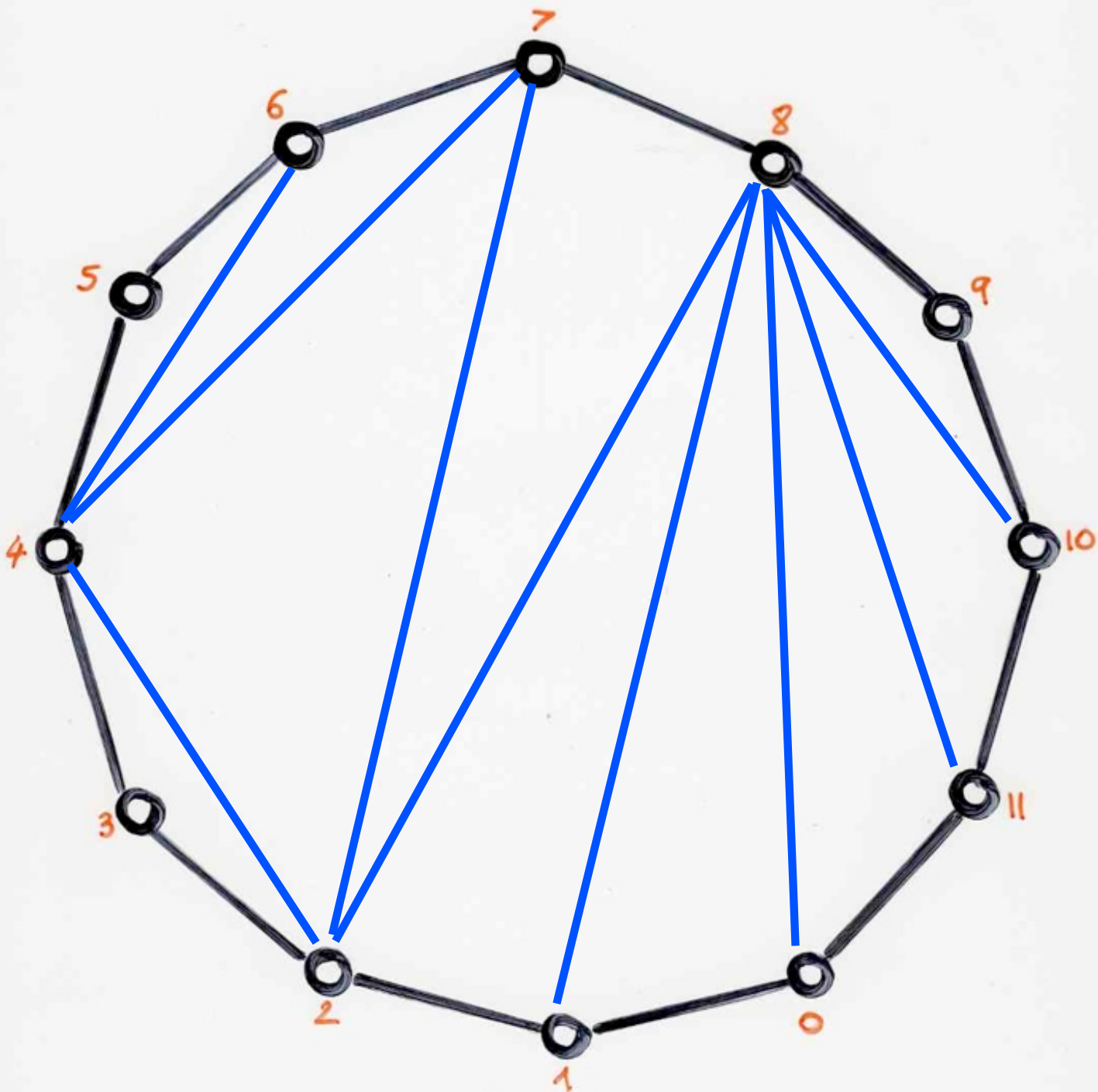
Am 4. September

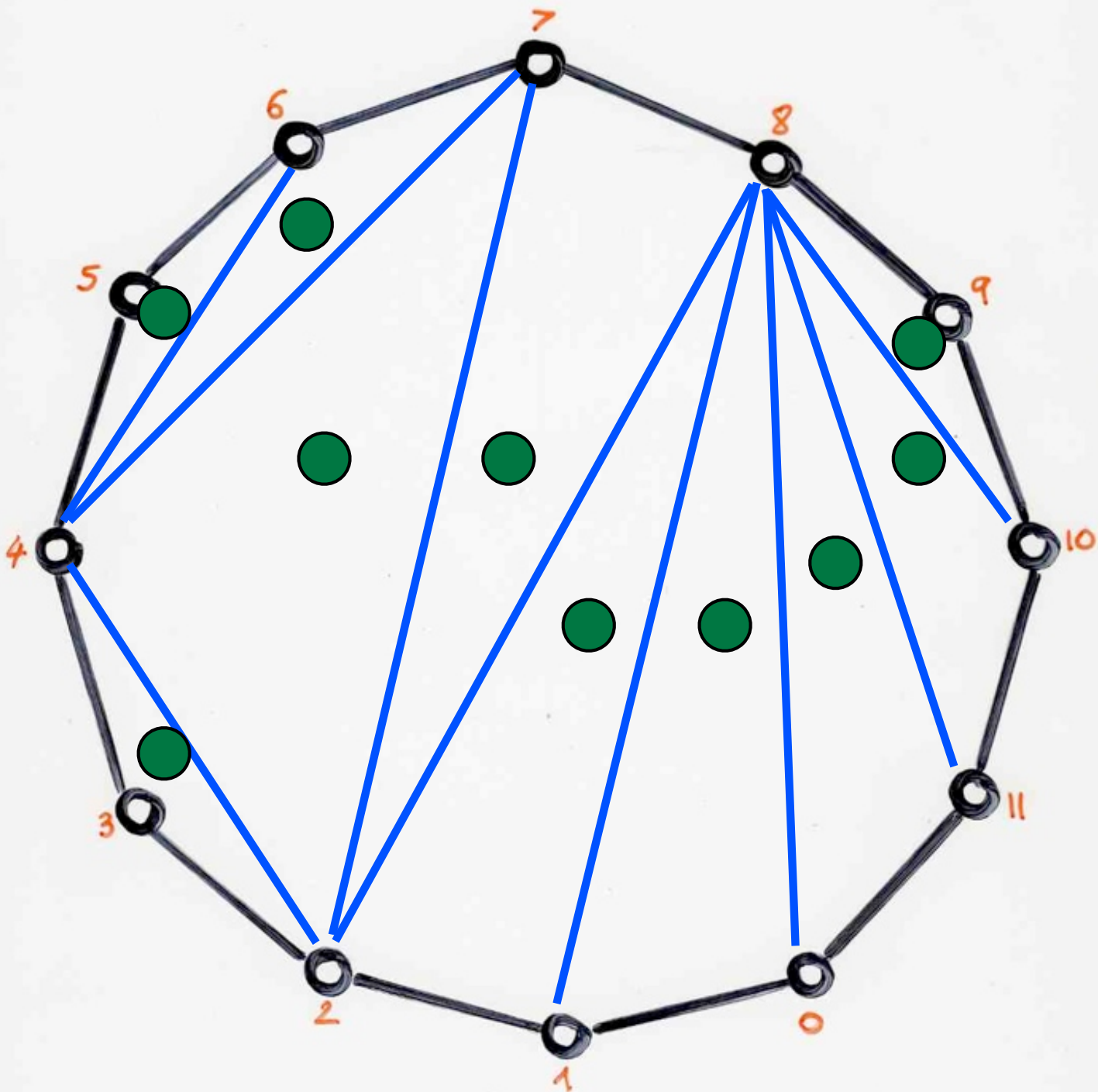
1751.

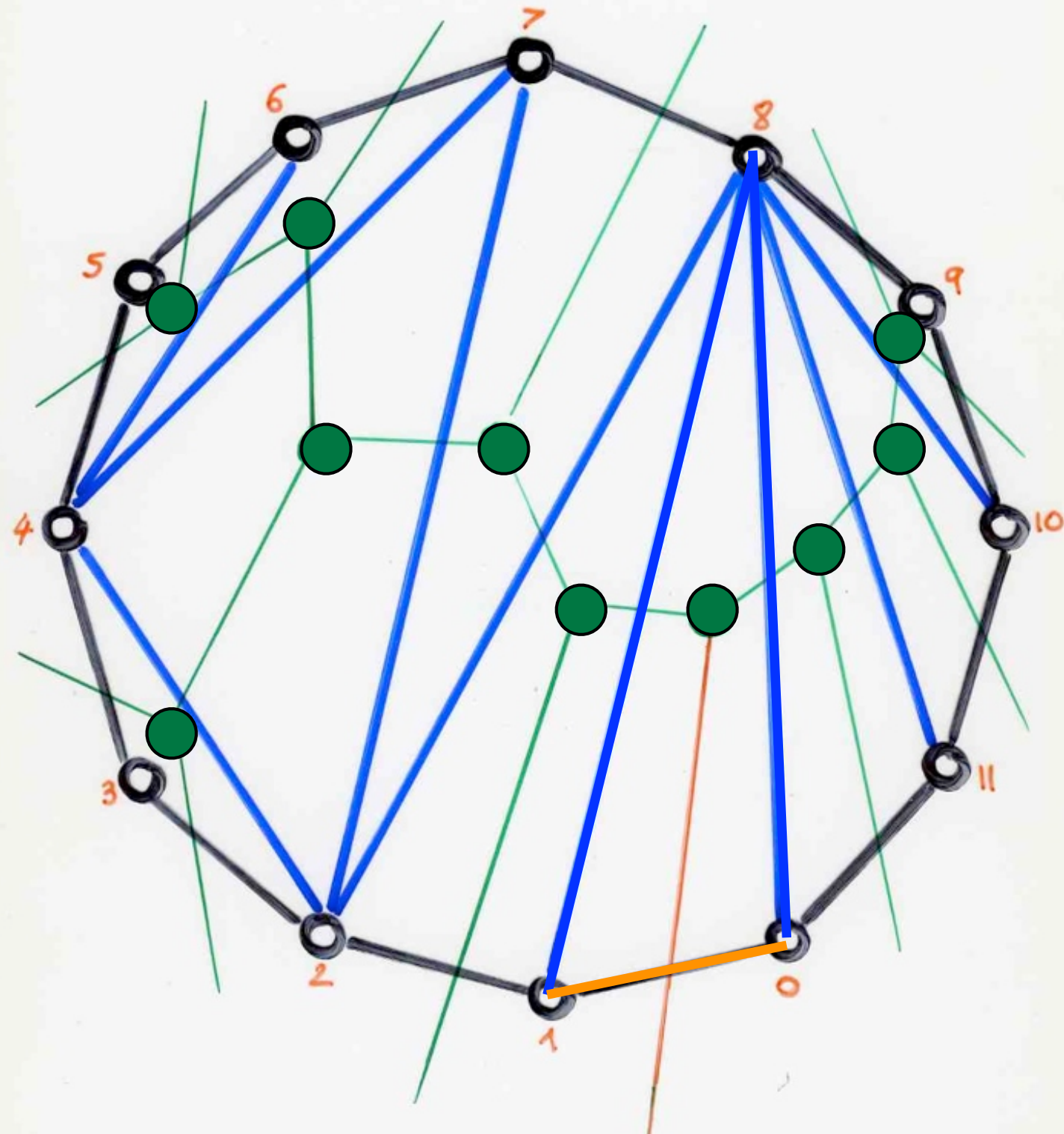
4 Sept 1751  
Berlin

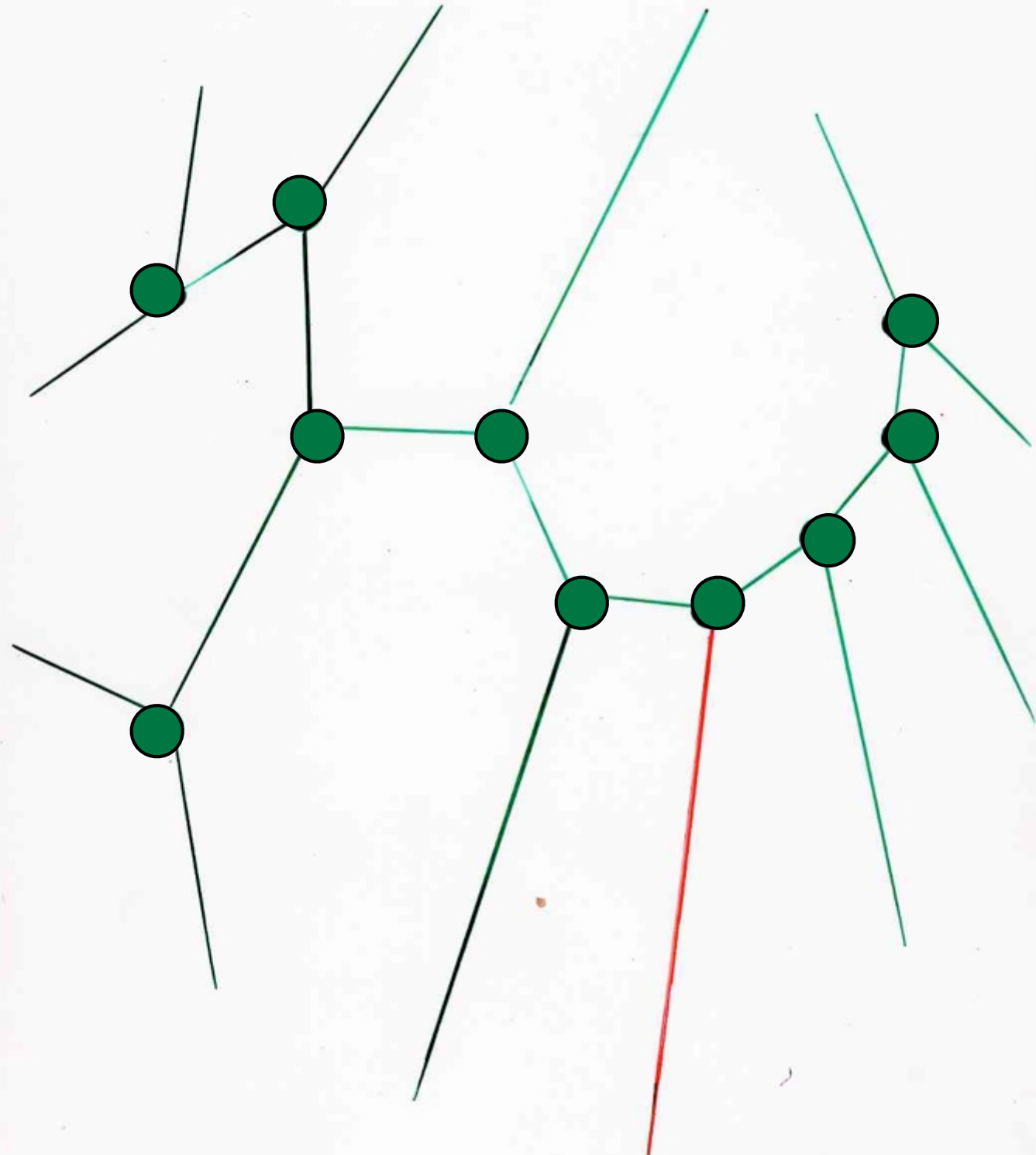
gefordert den Erinnerungen  
Euler

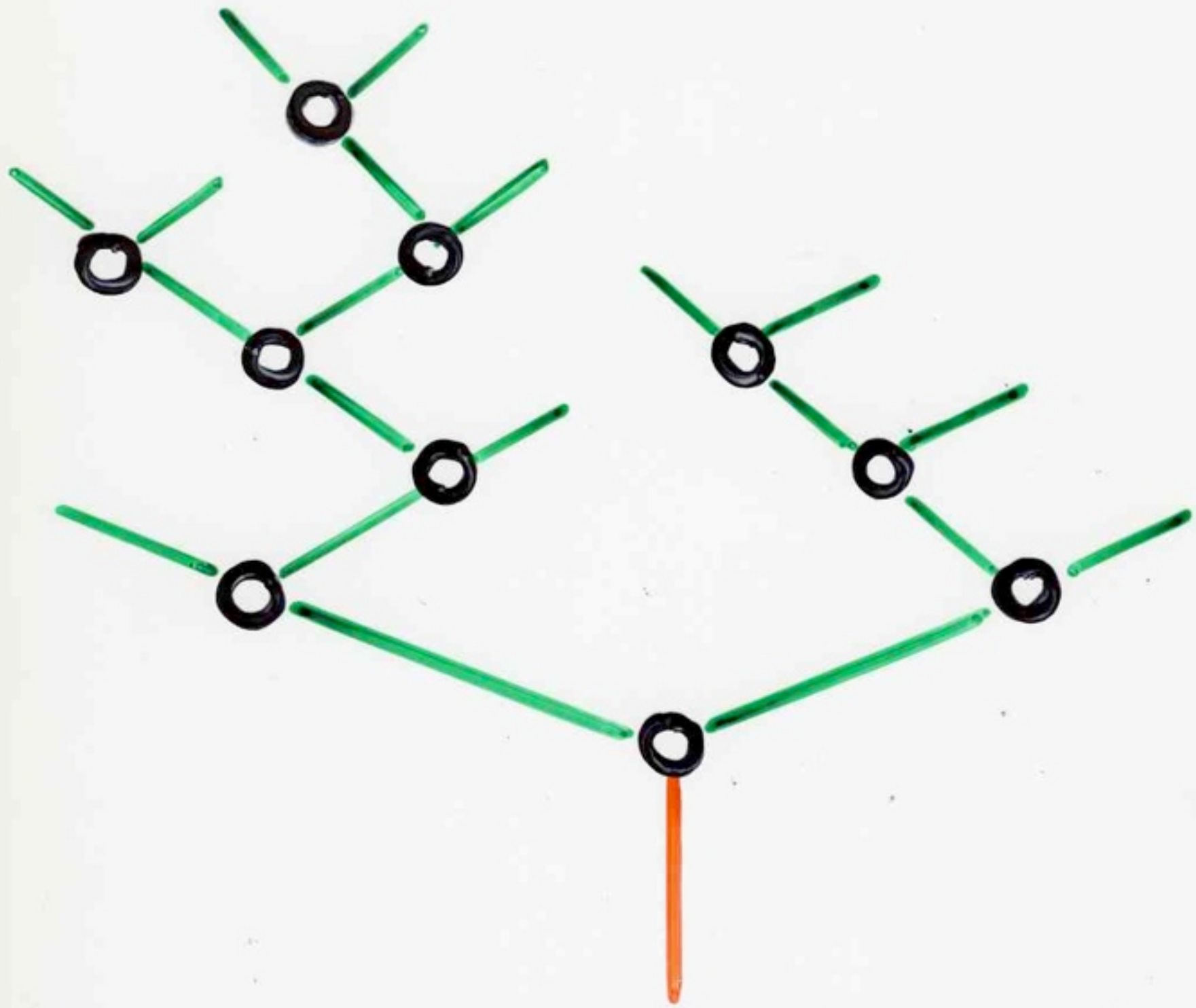
des triangulations  
aux arbres binaires

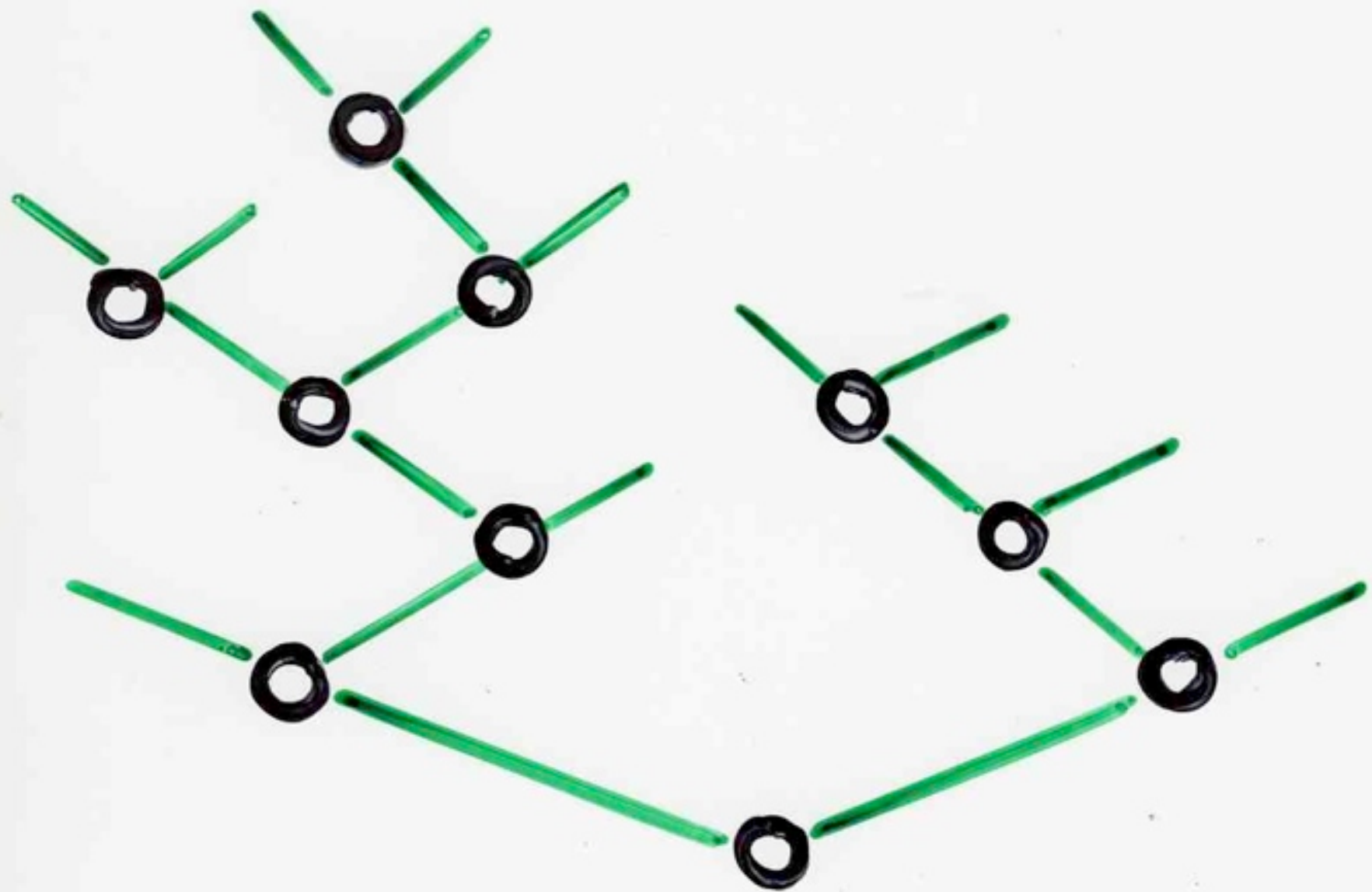






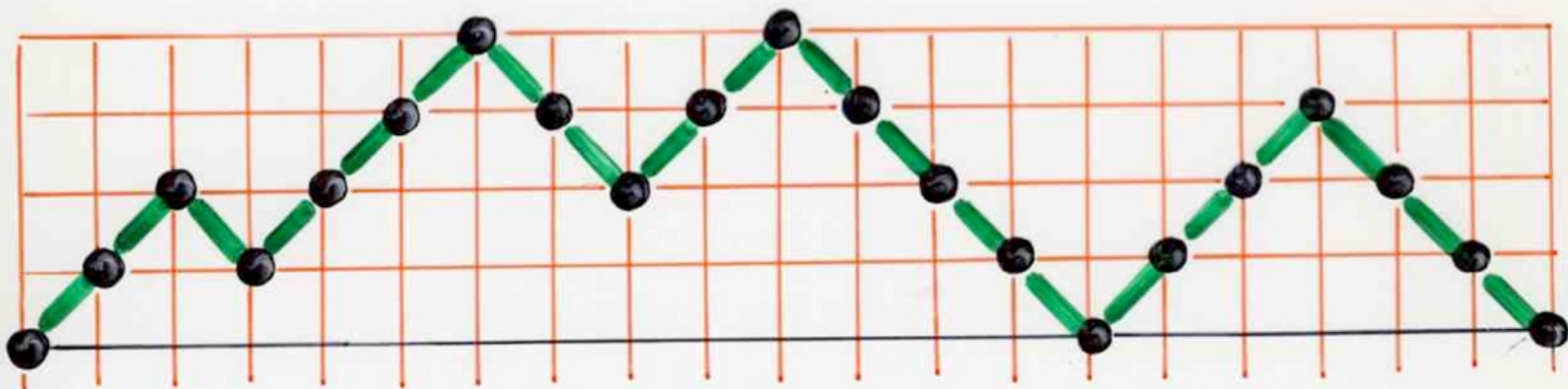






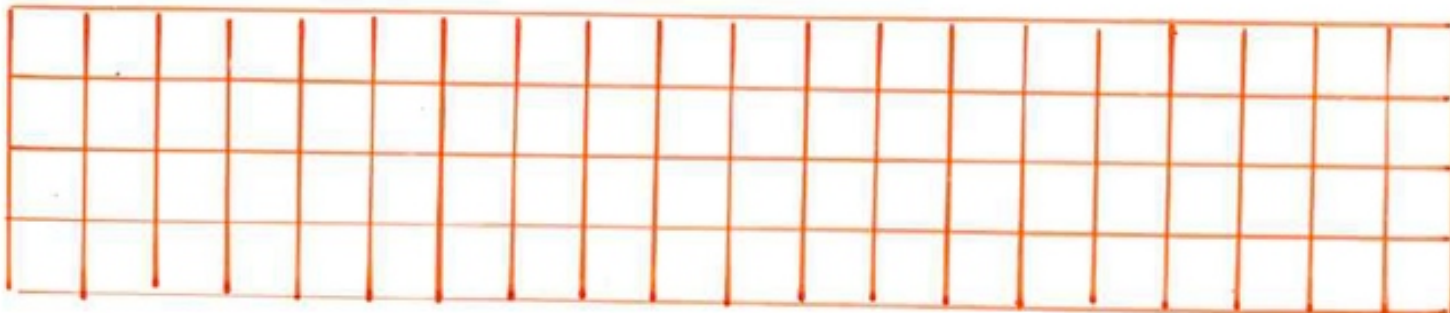
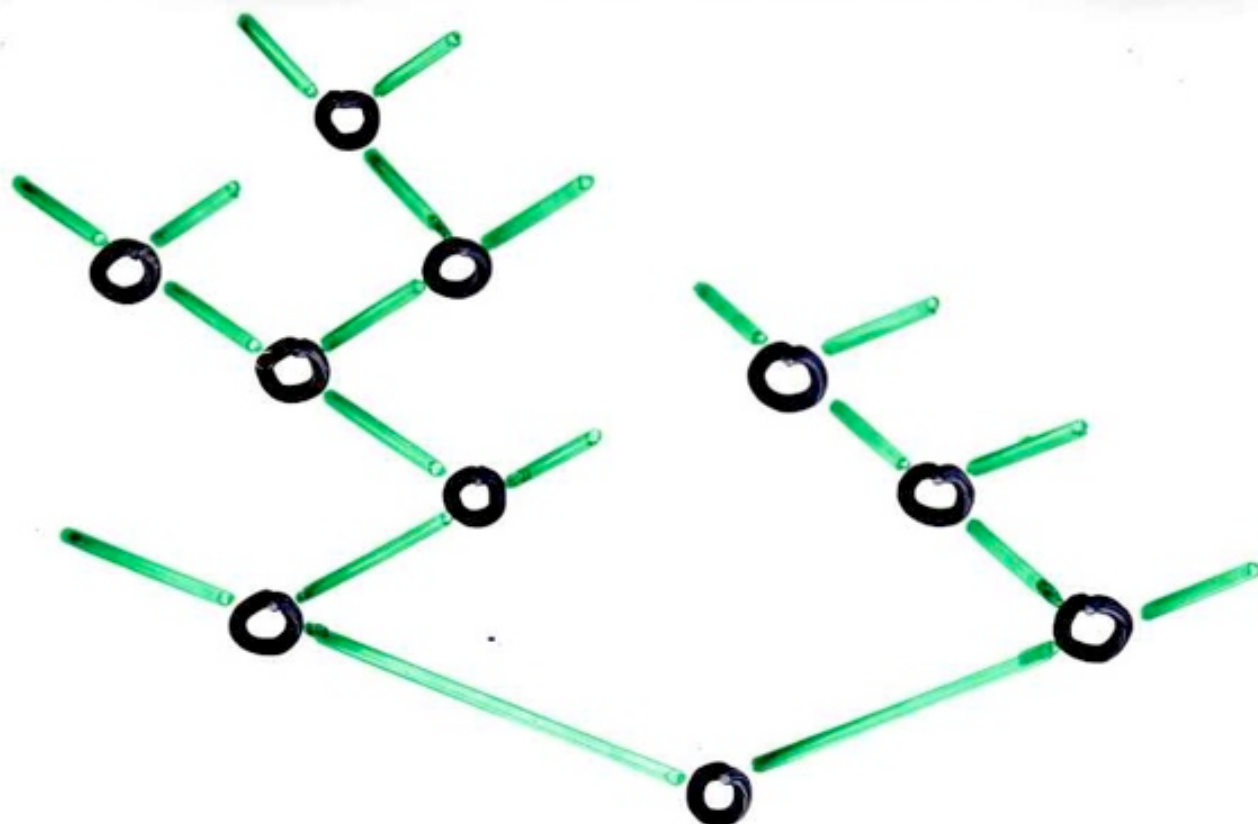
Comment démontrer  
la relation existant entre

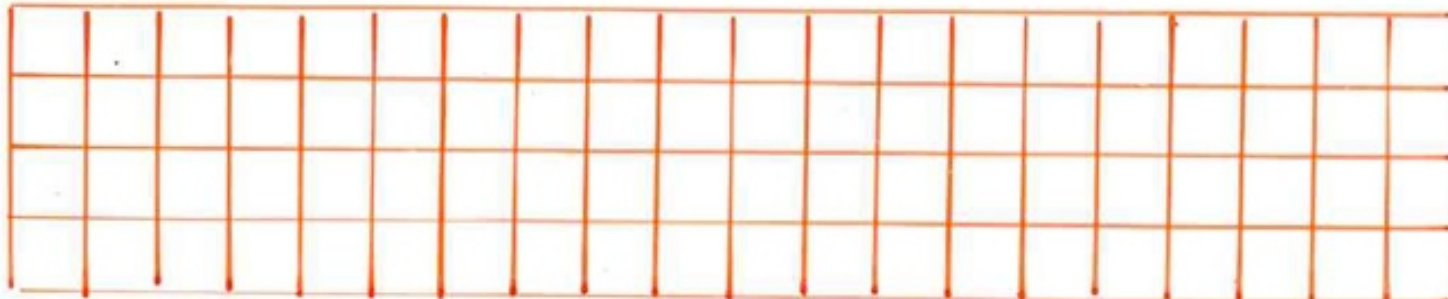
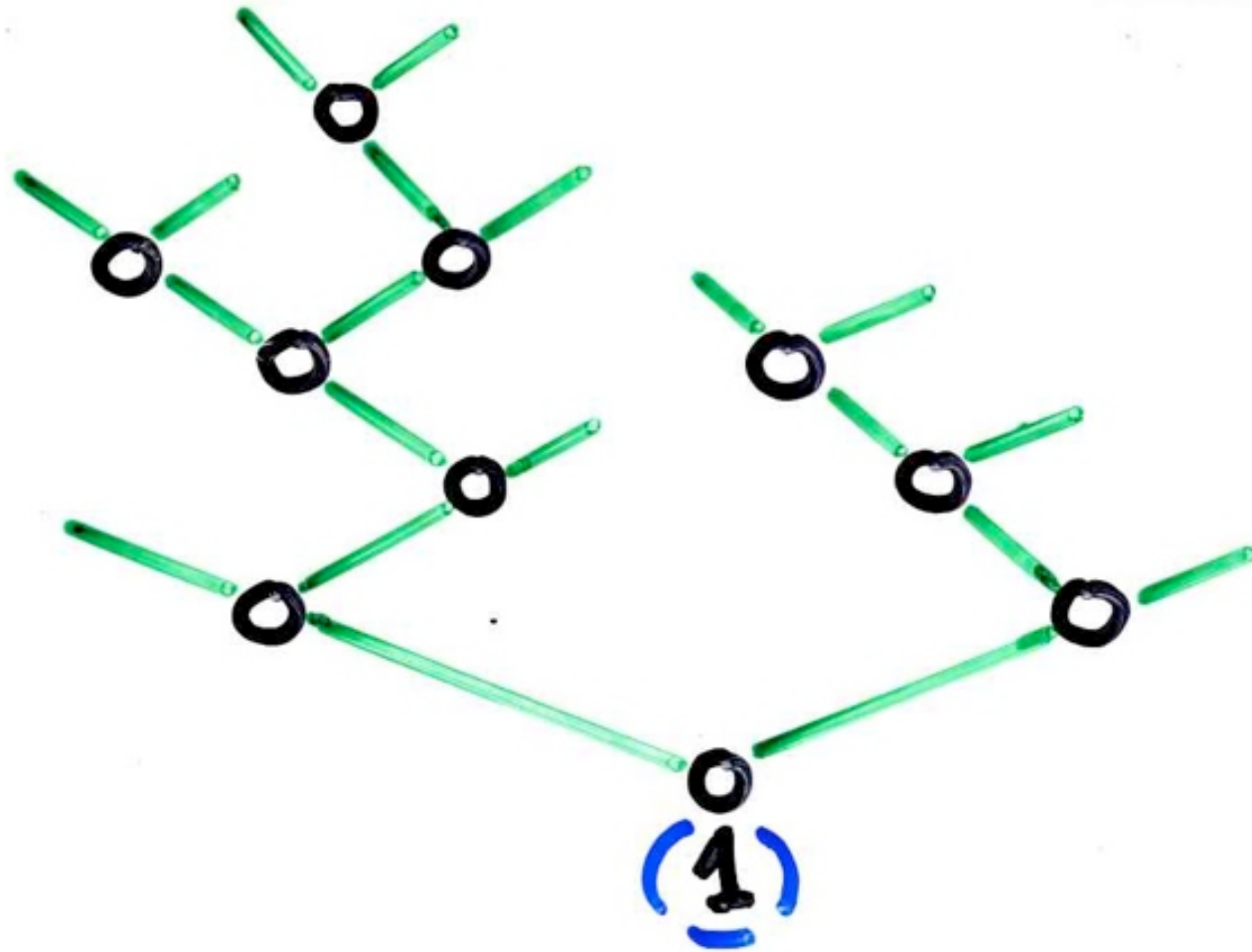
les nombres de Strahler  
et  
les polynômes de Tchebychev ?

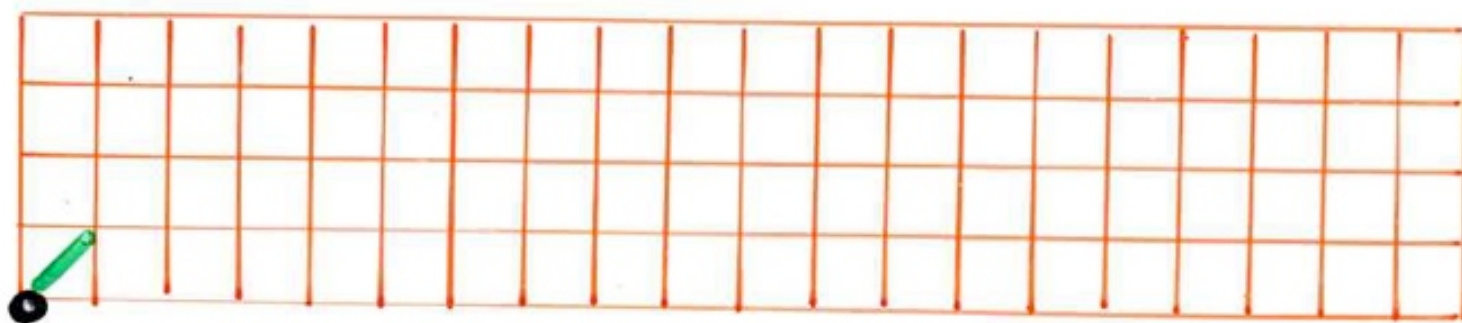
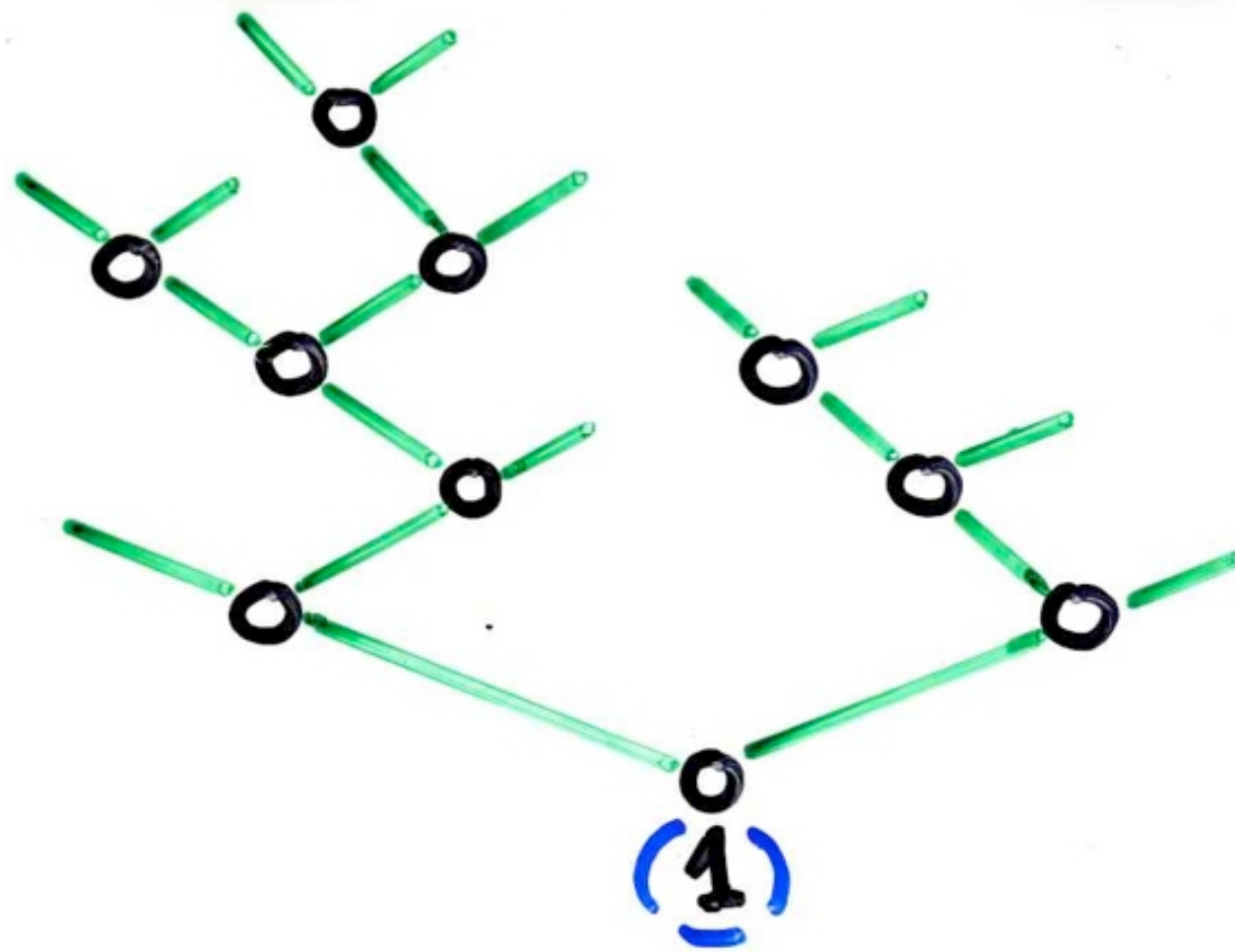


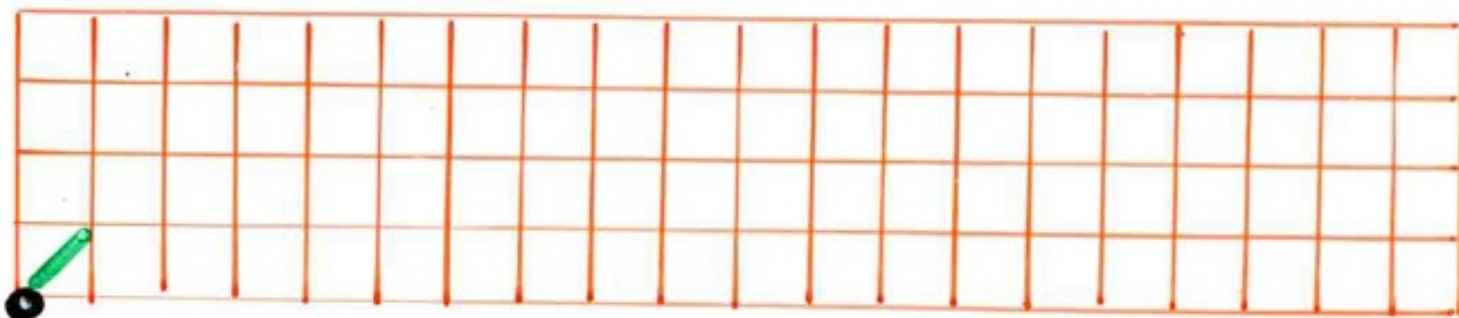
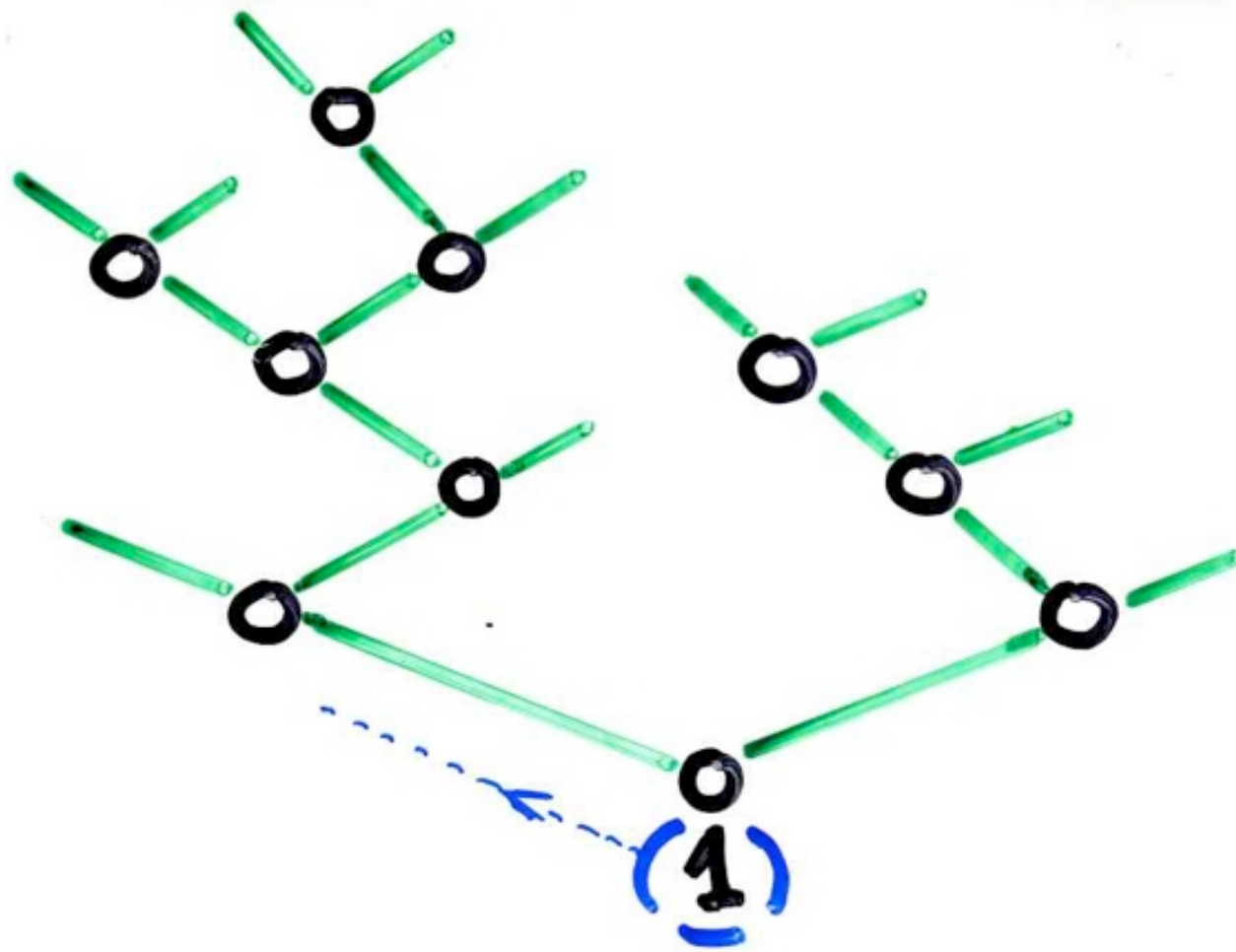
chemin de Dyck

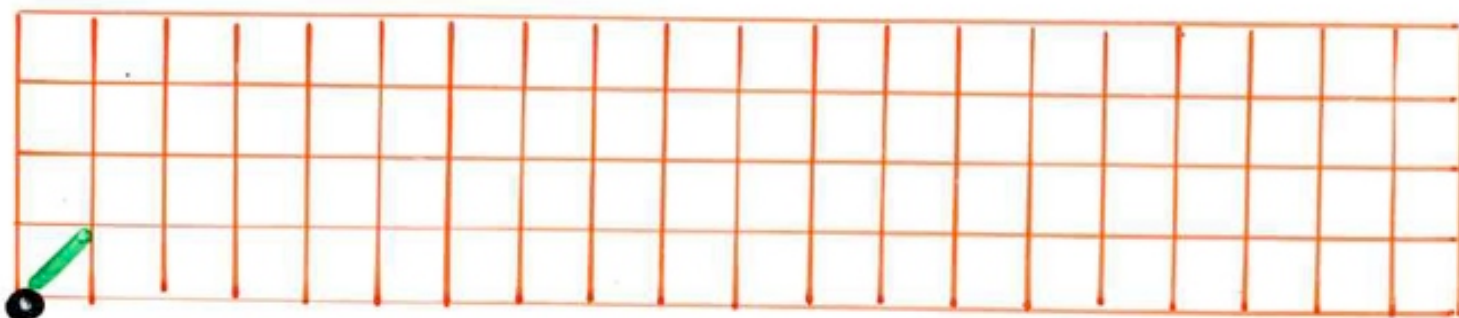
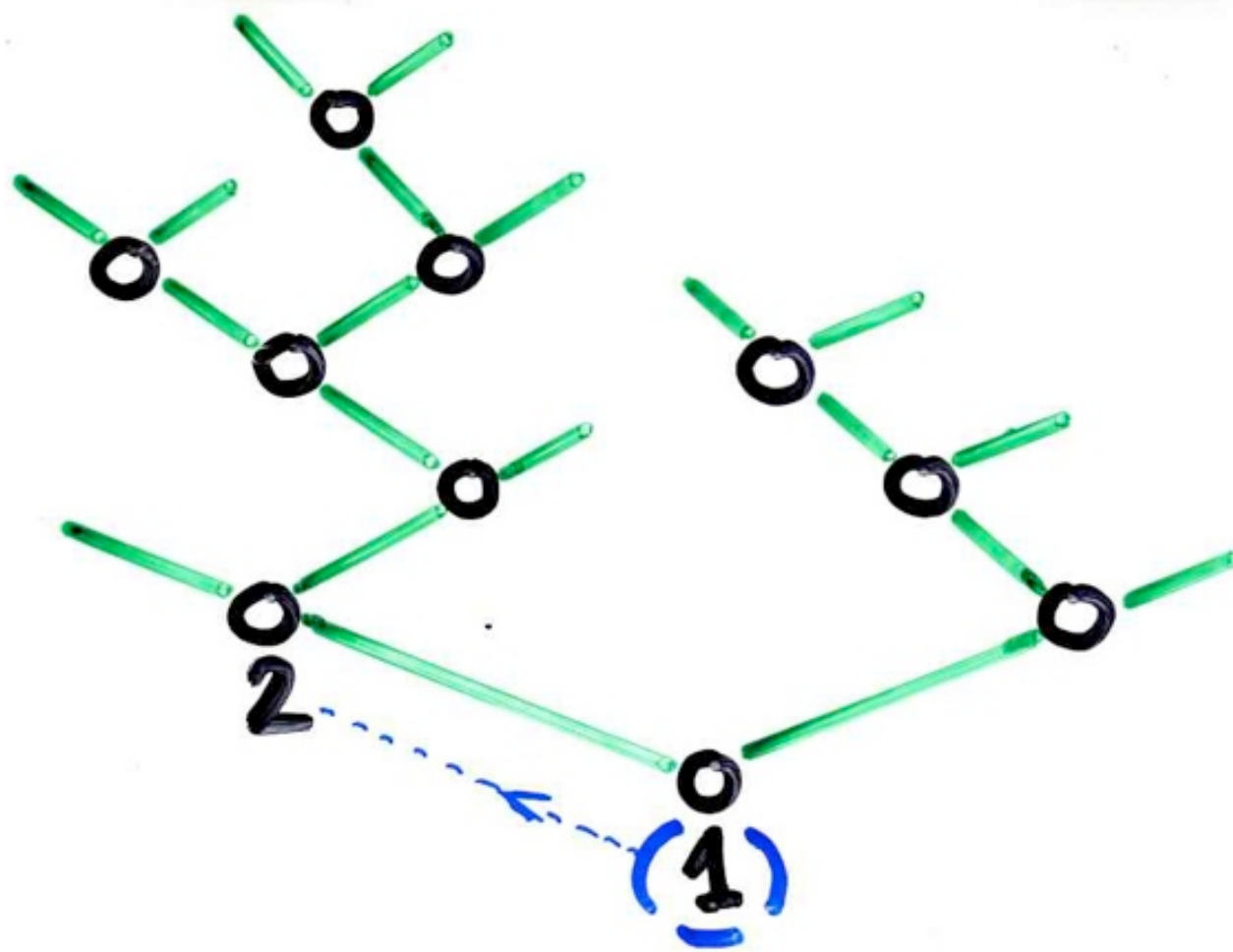
des arbres binaires ...  
aux chemins de Dyck

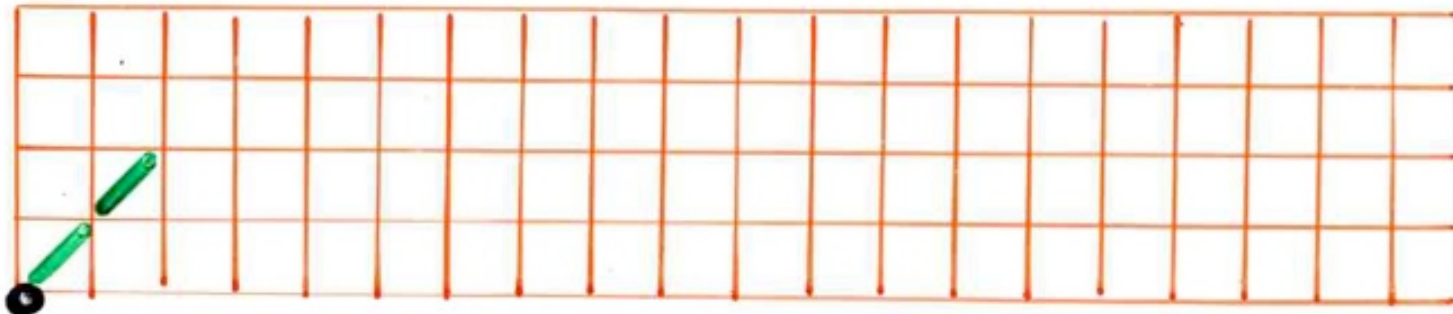
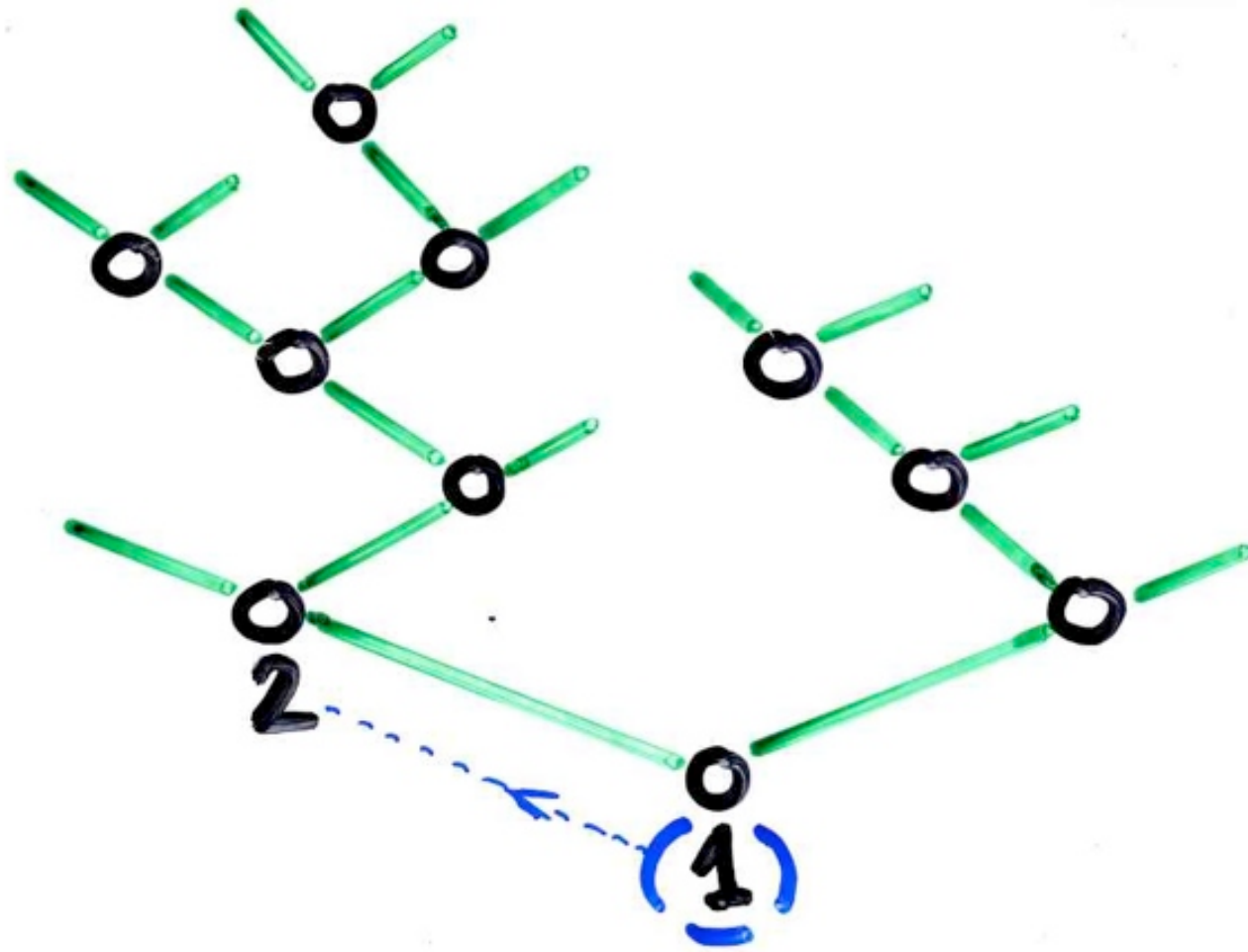


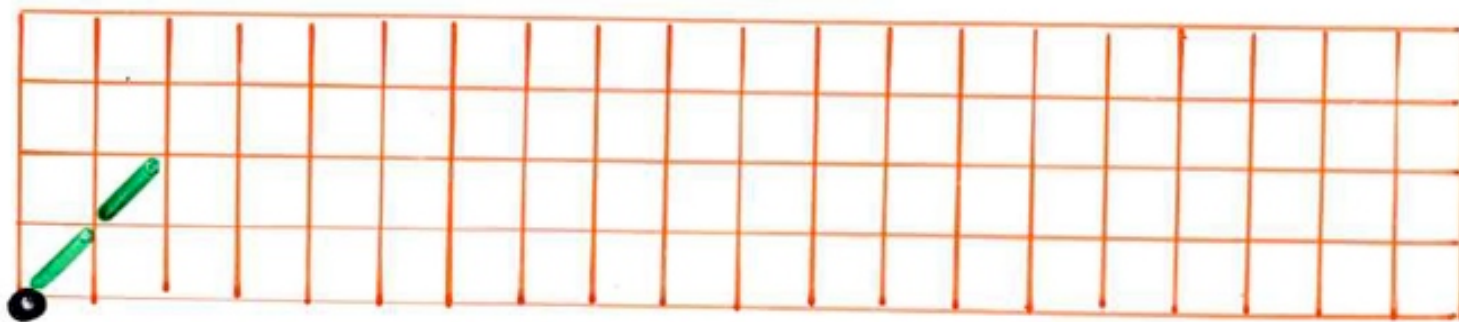
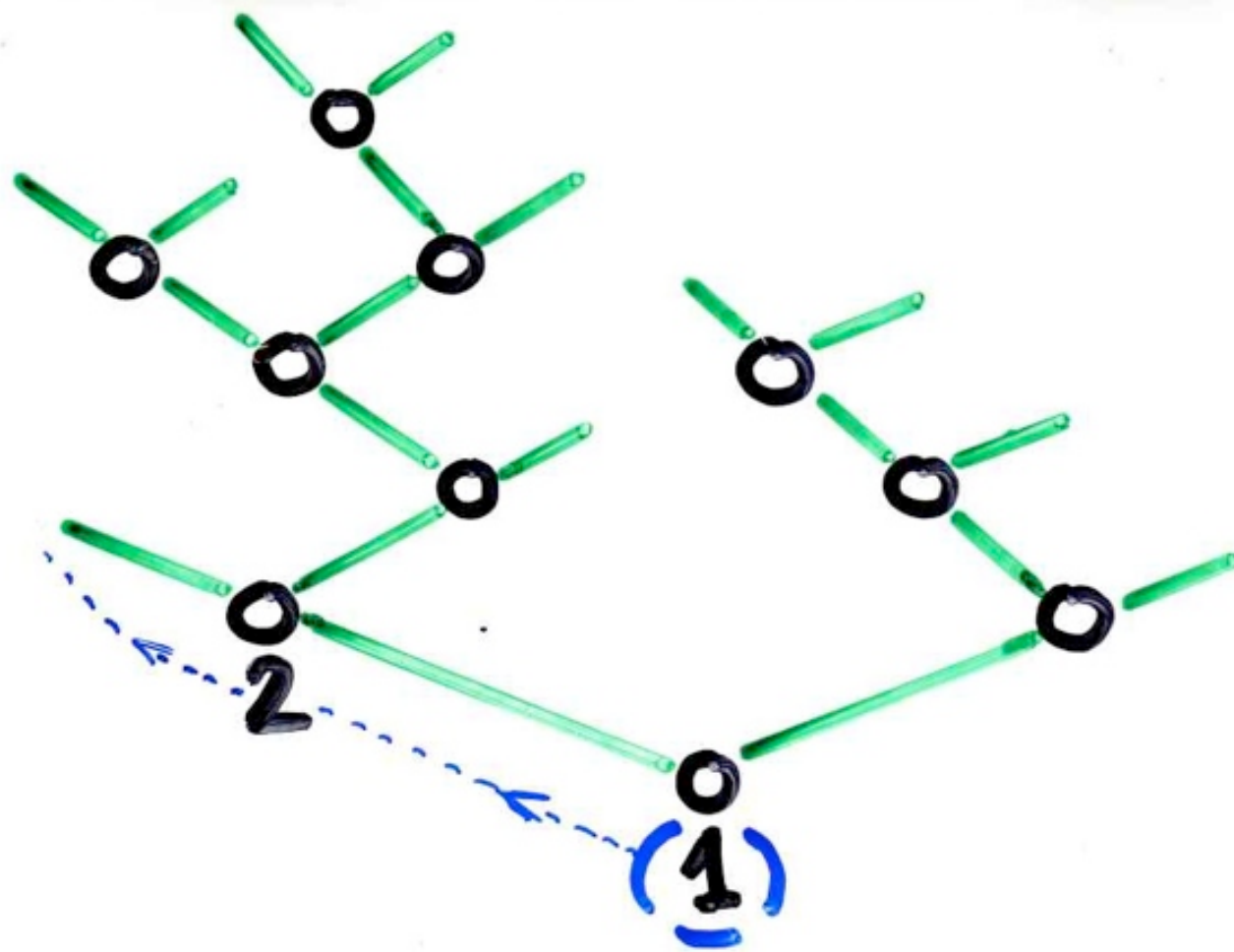


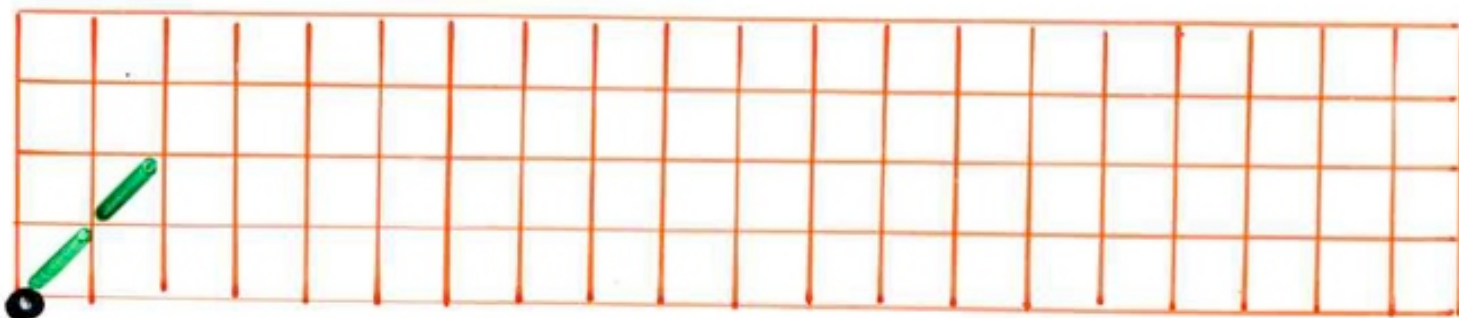
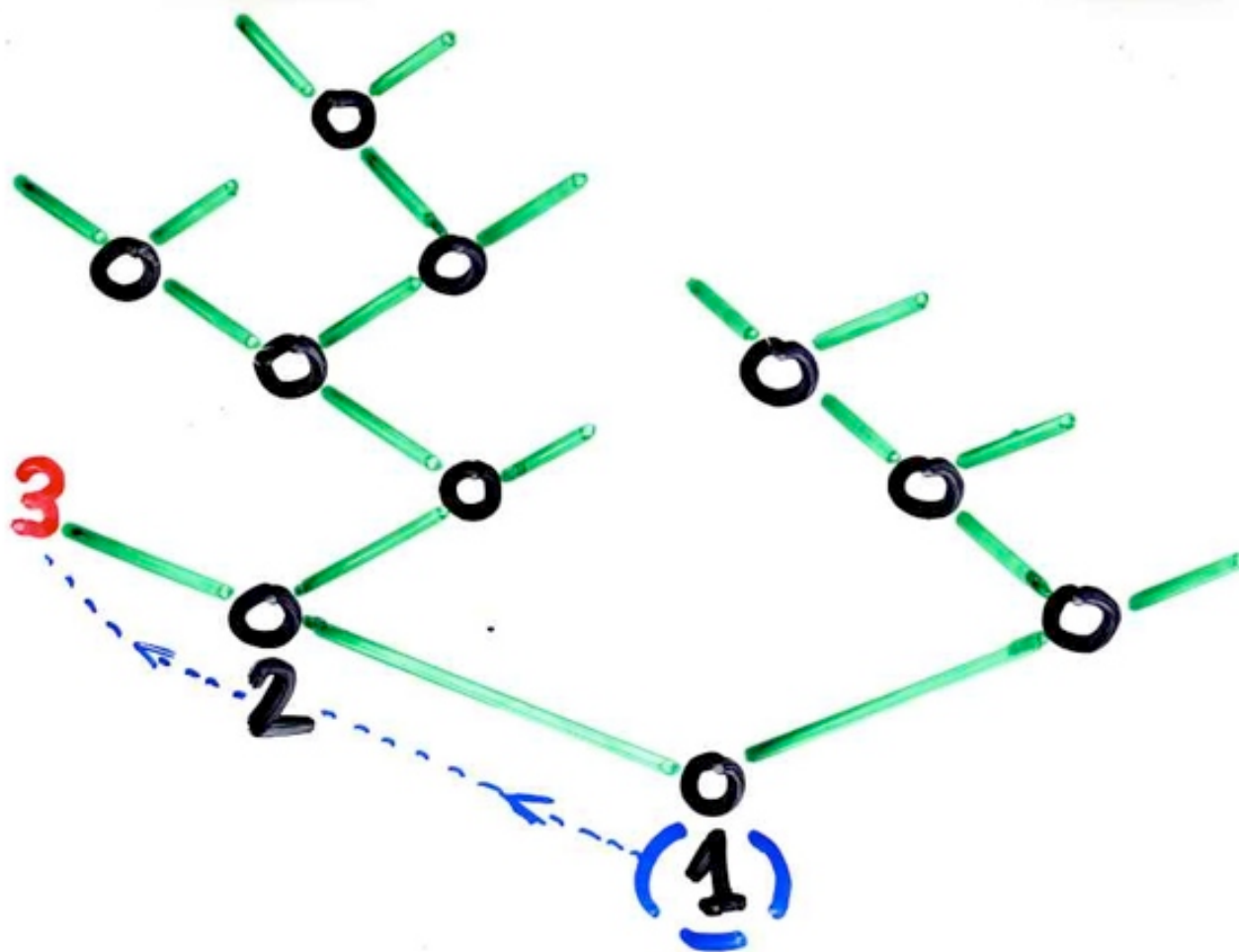


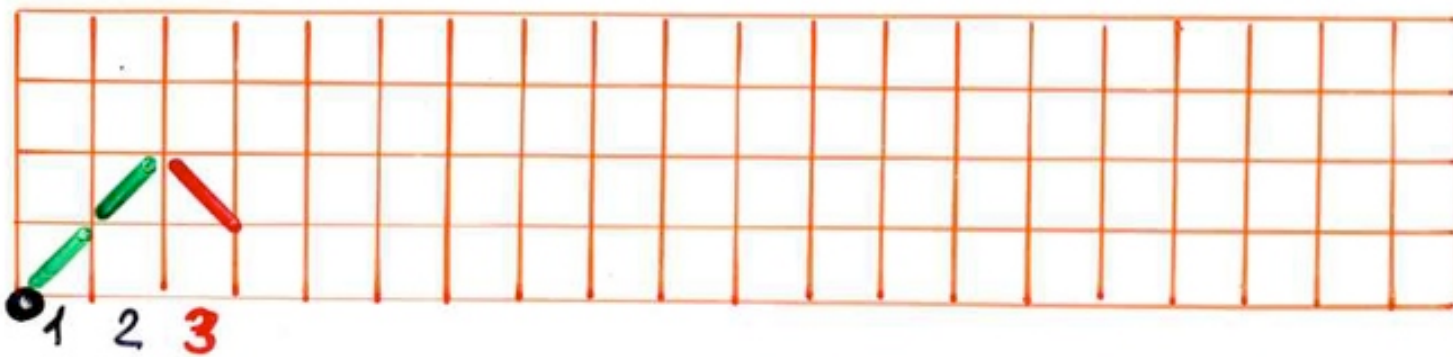
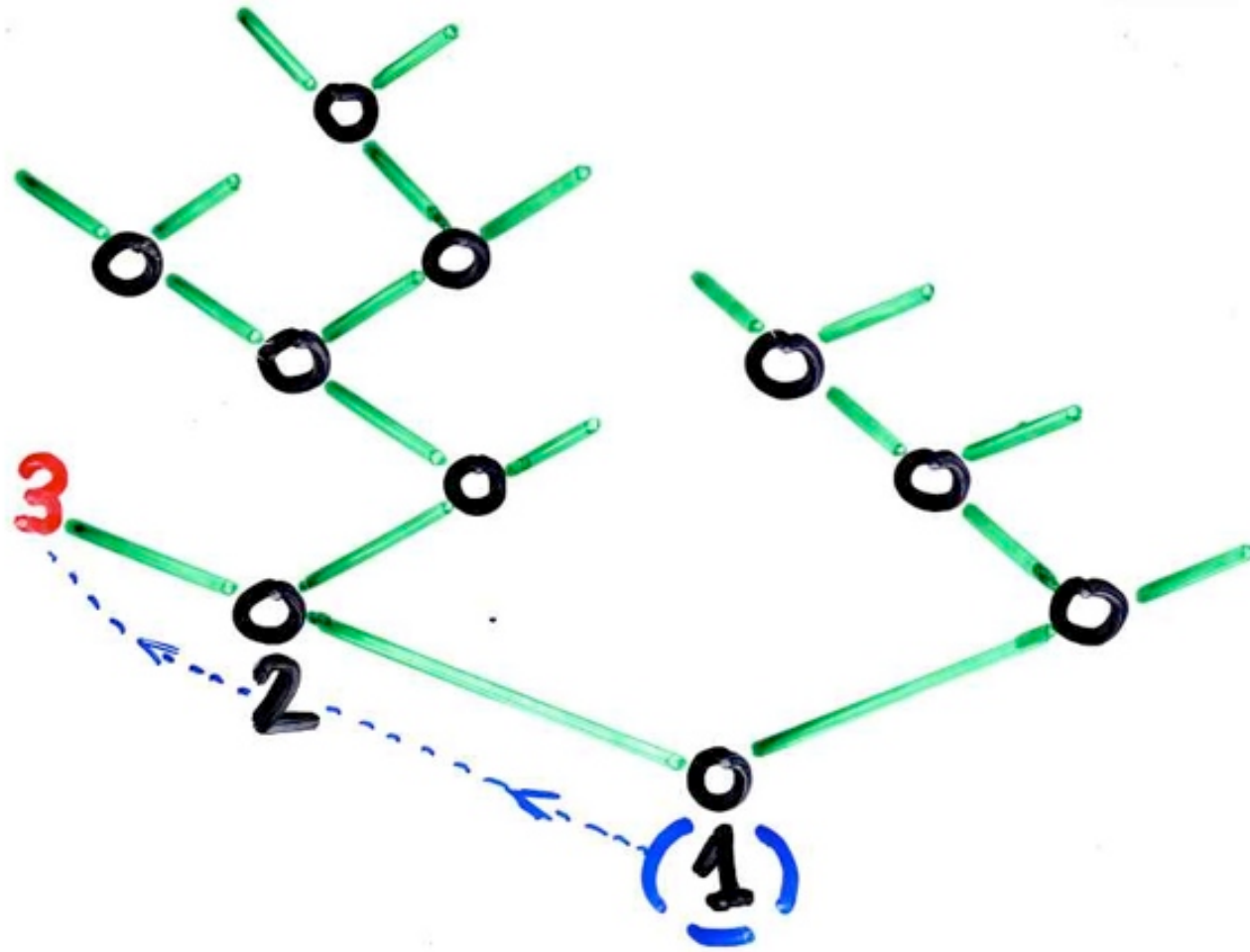


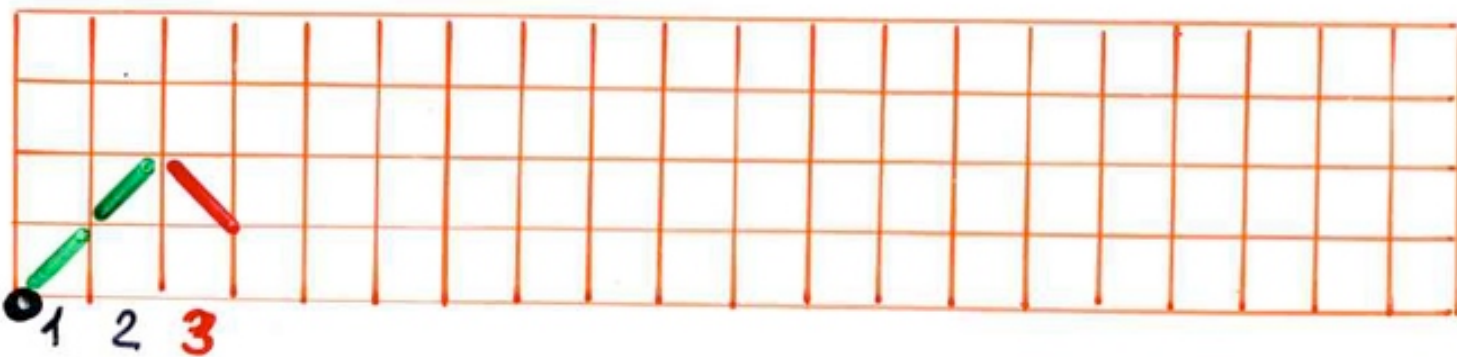
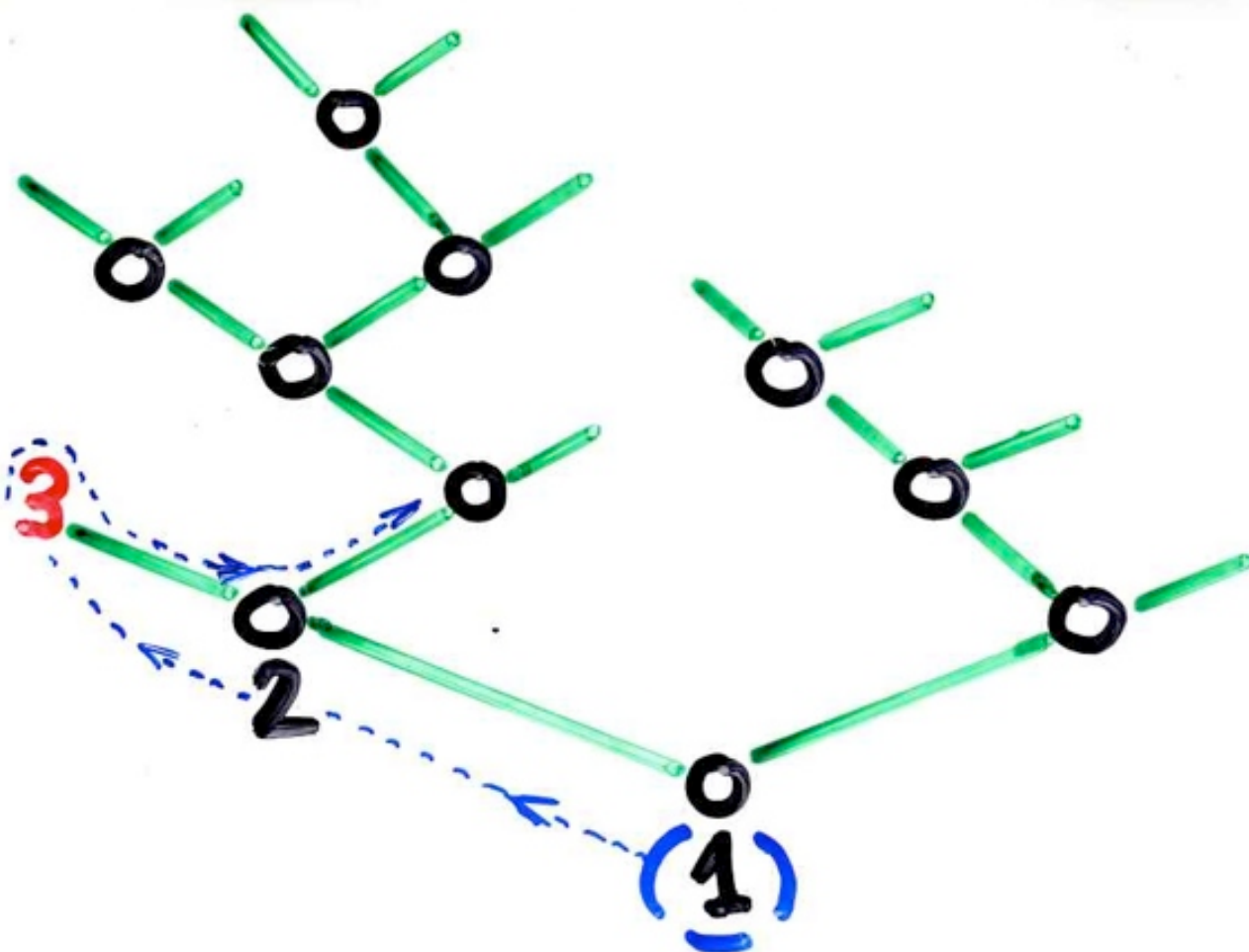


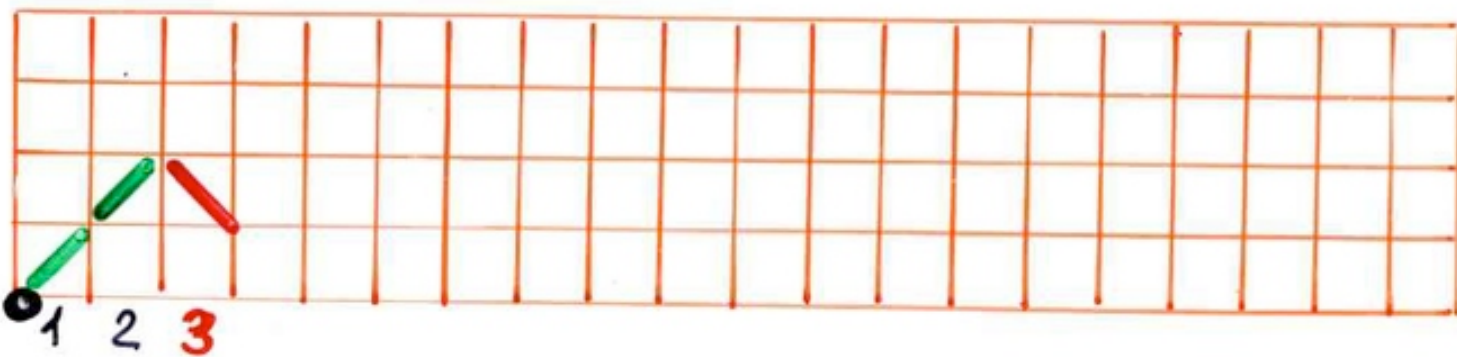
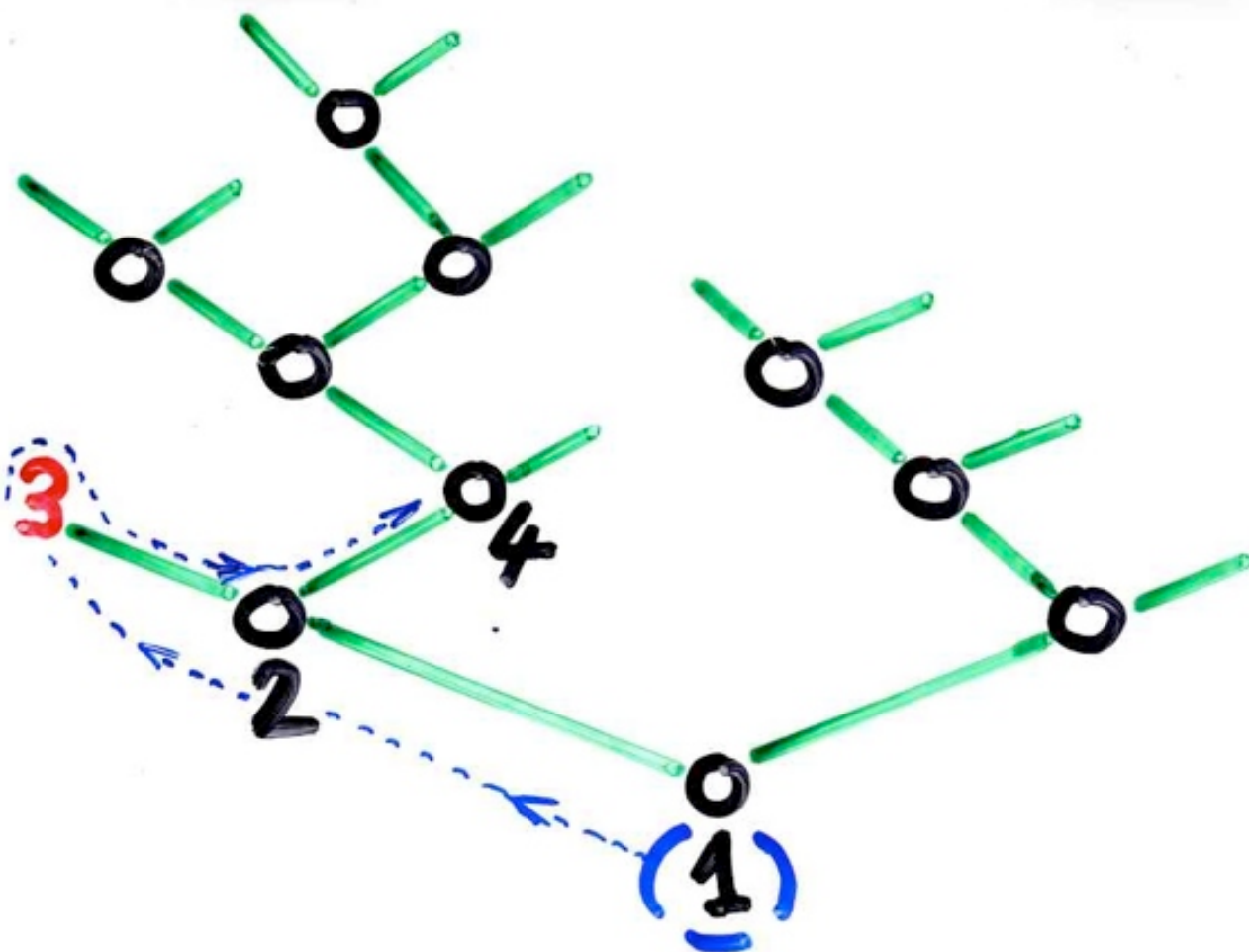


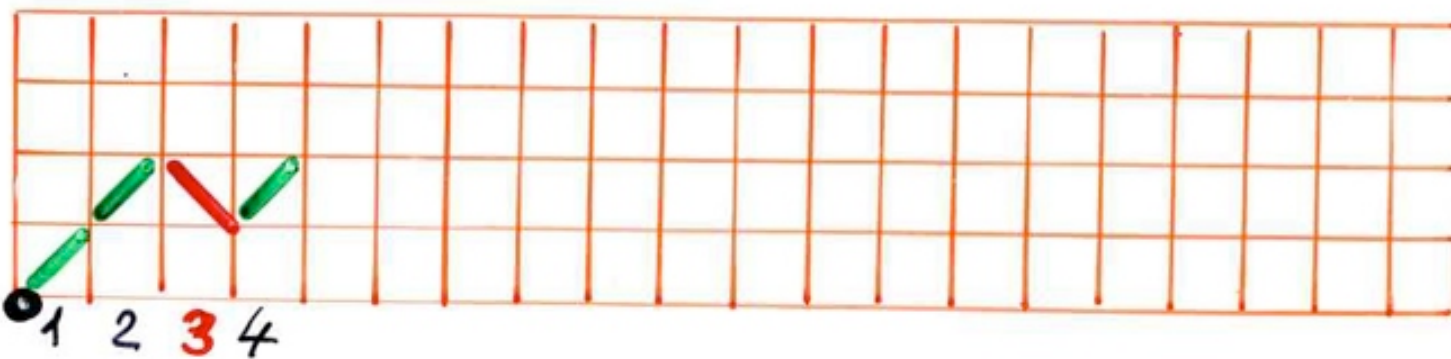
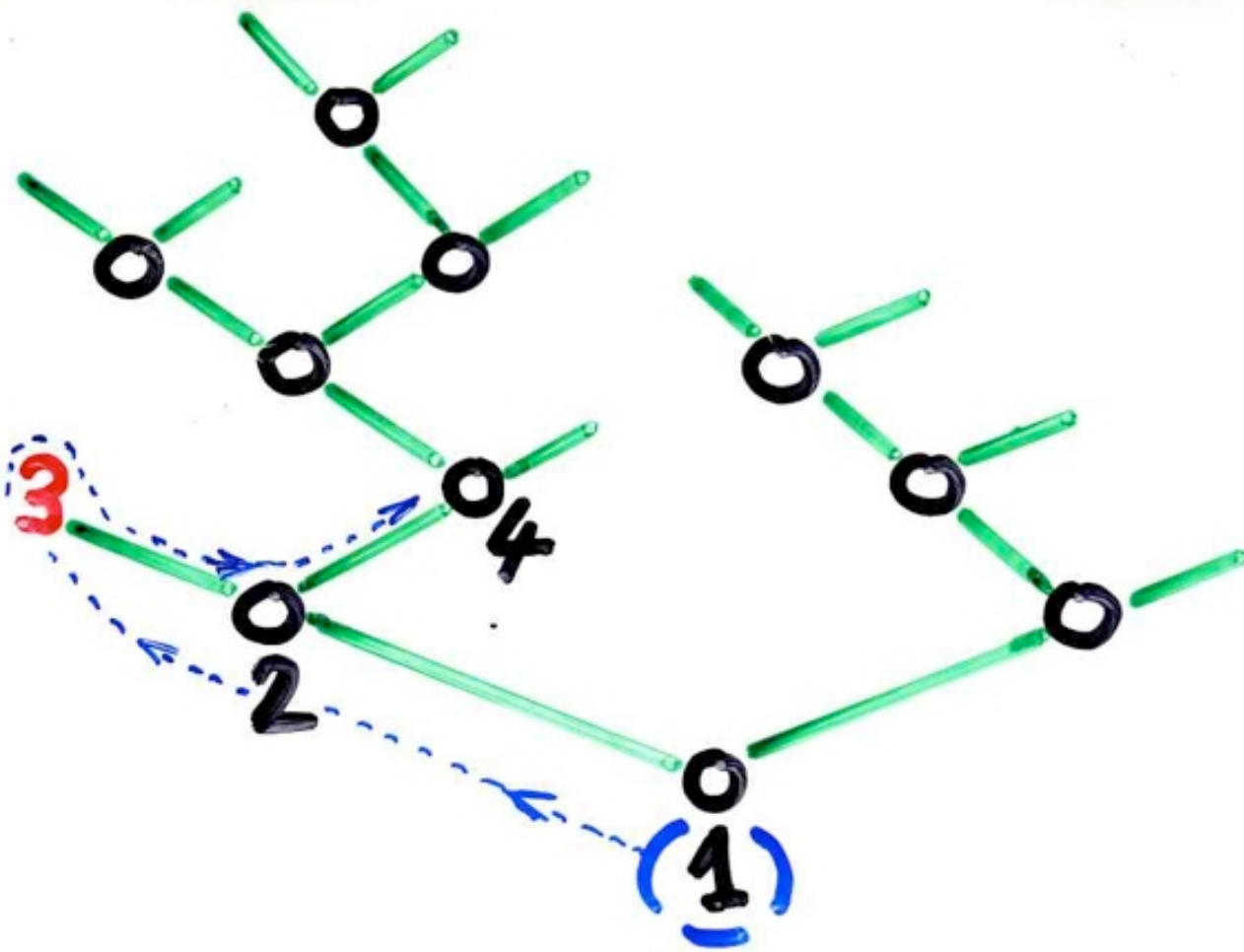


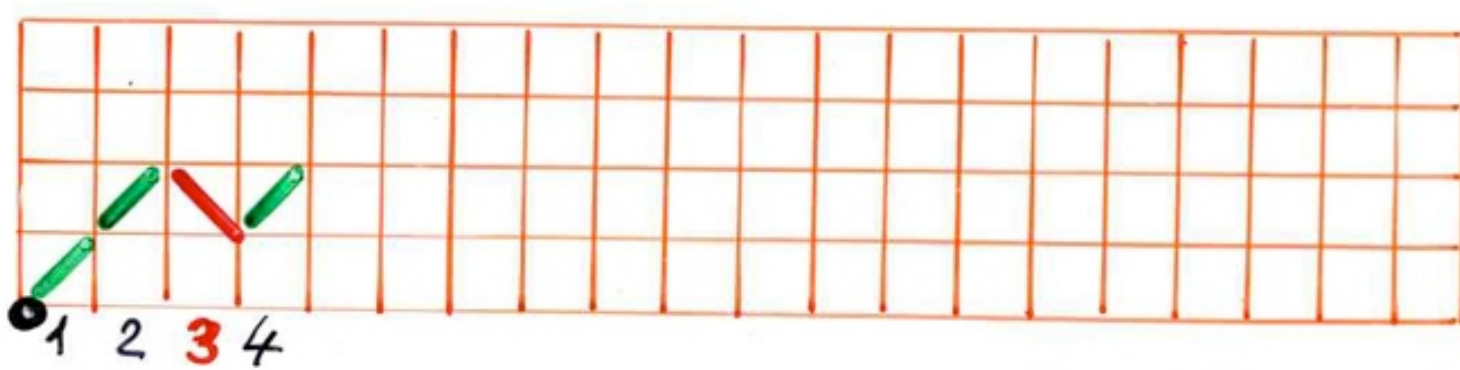
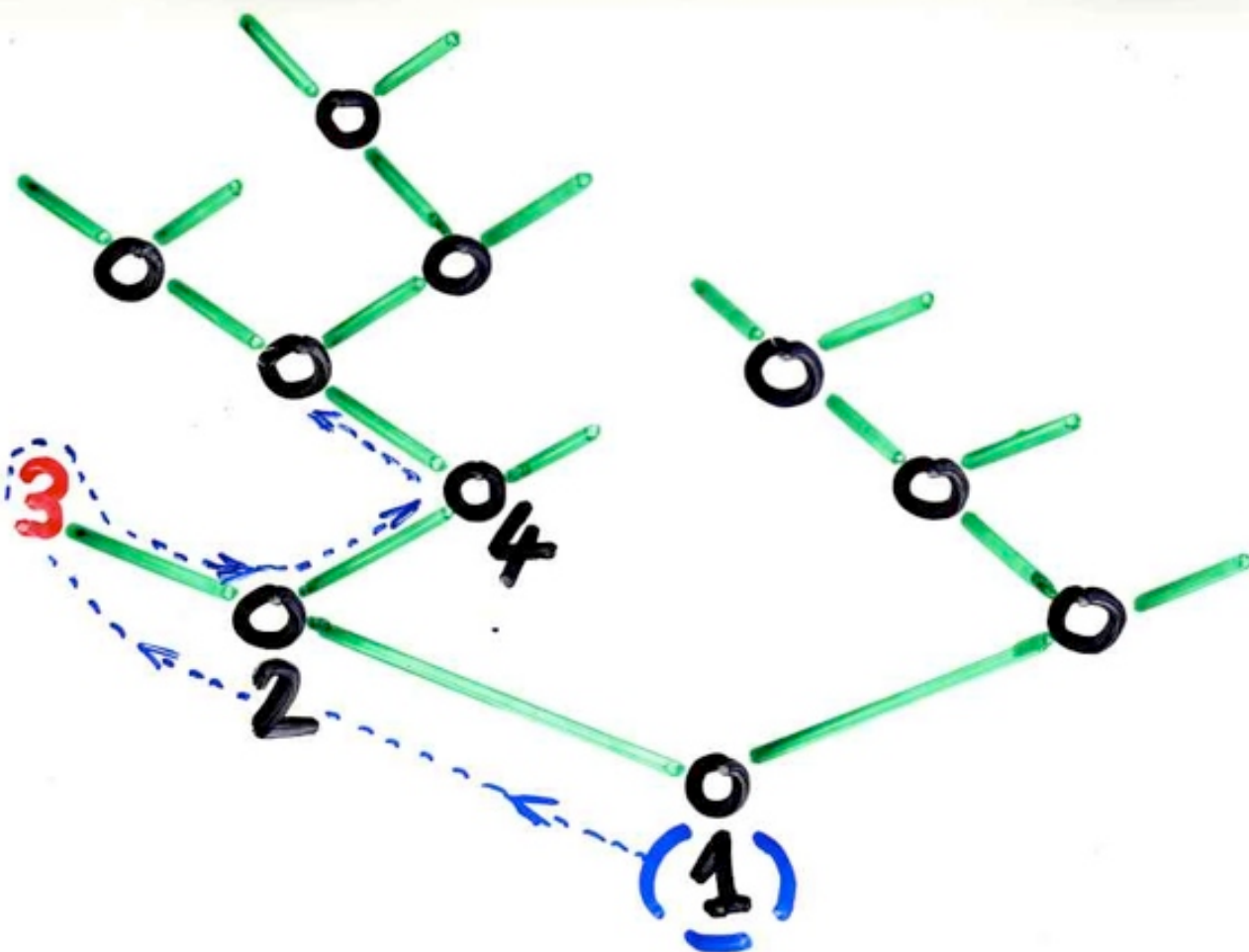


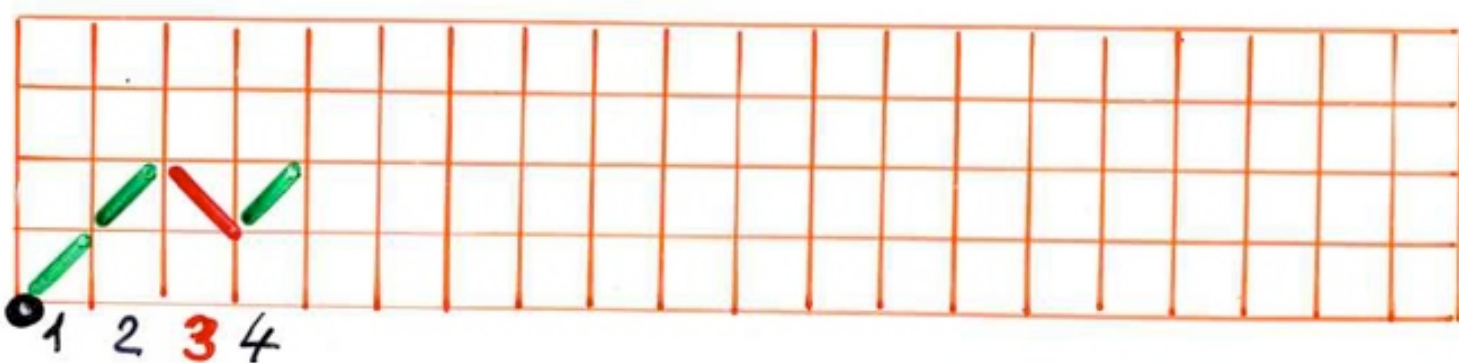
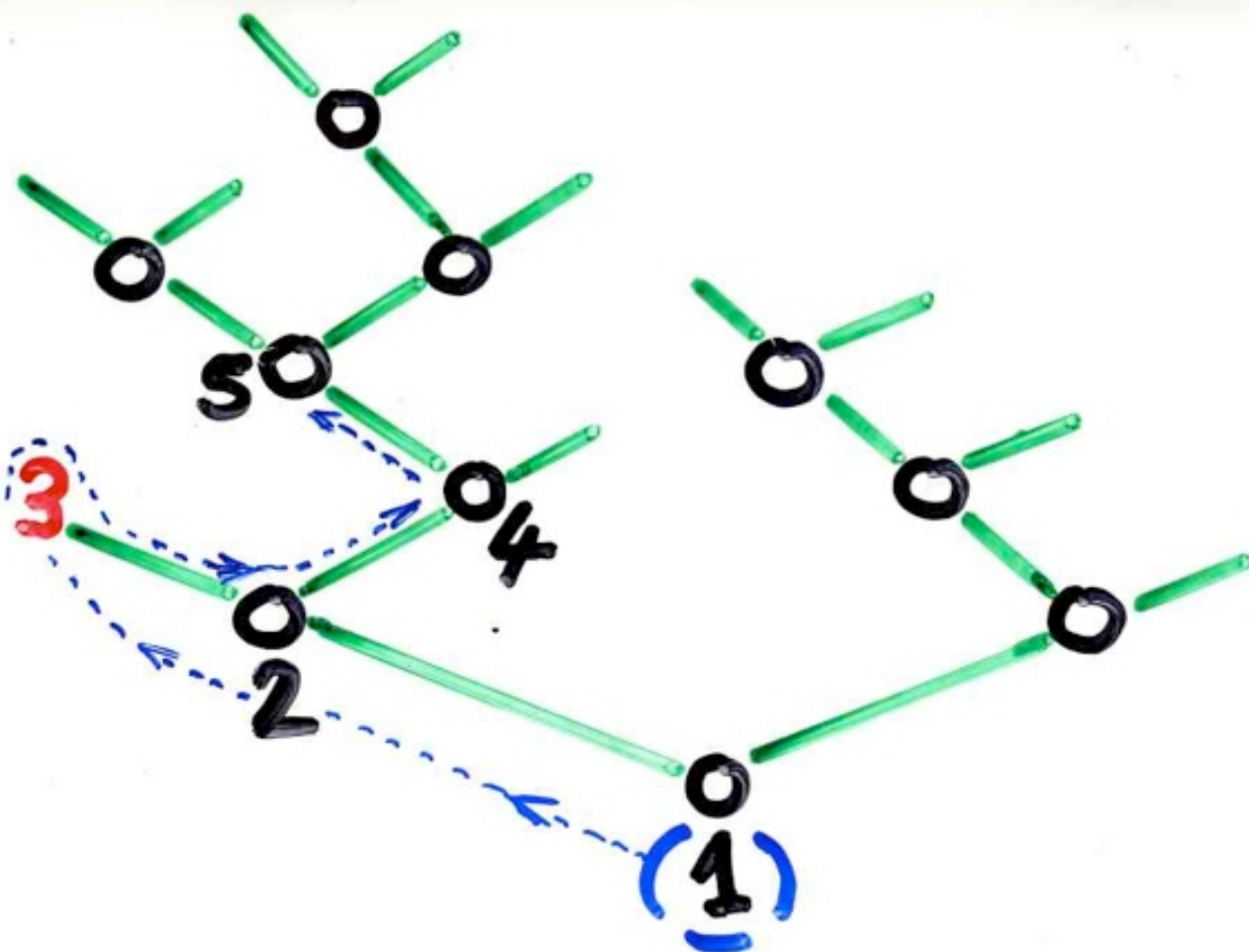


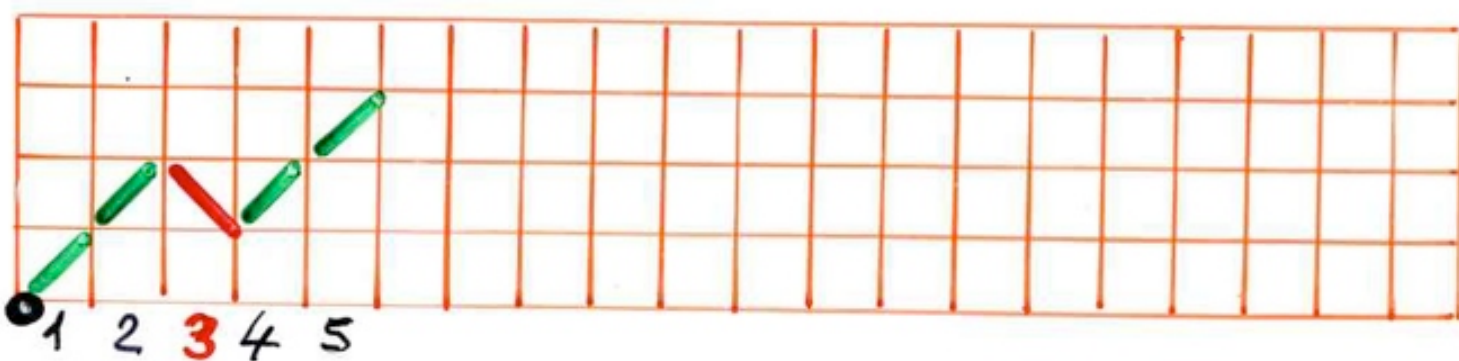
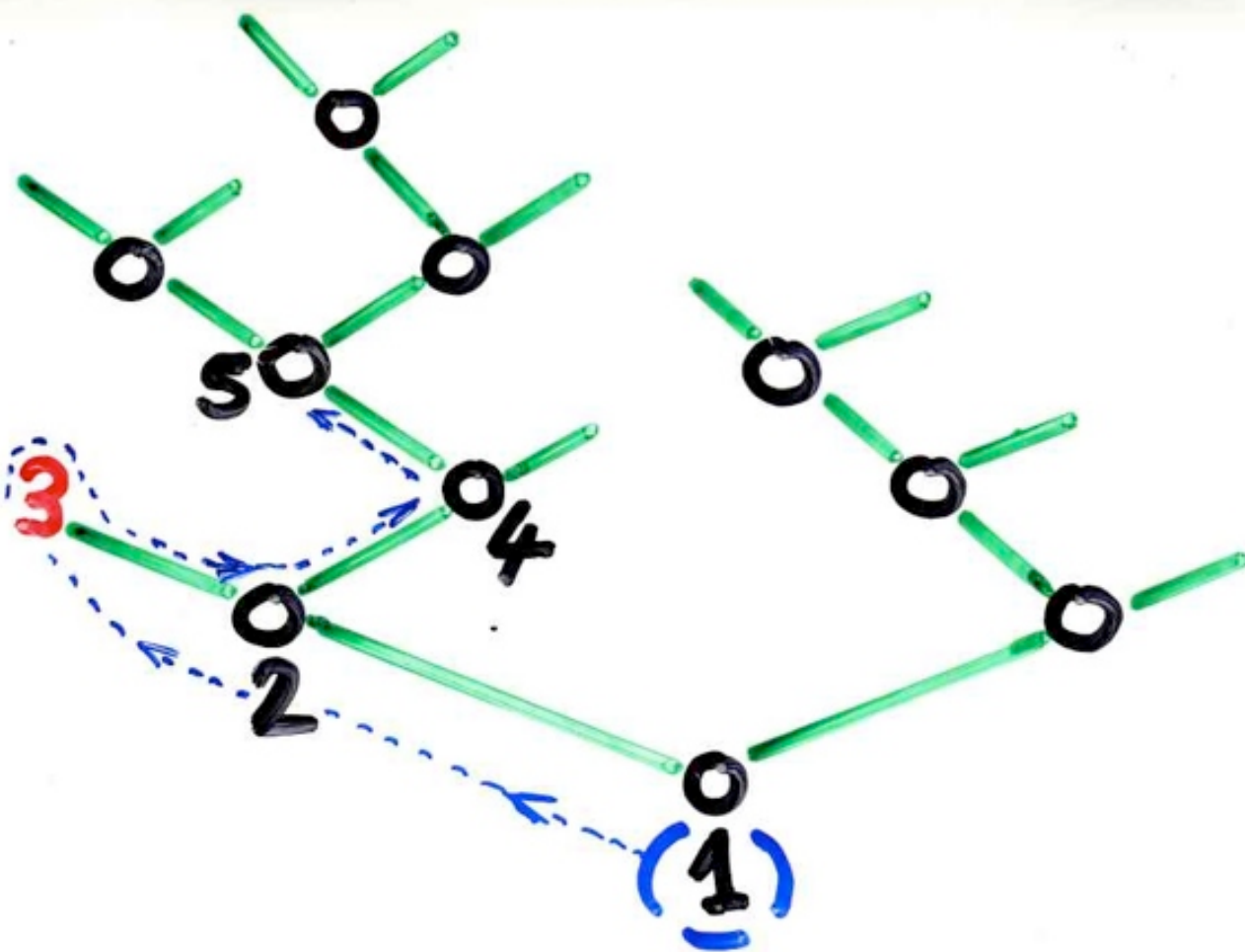


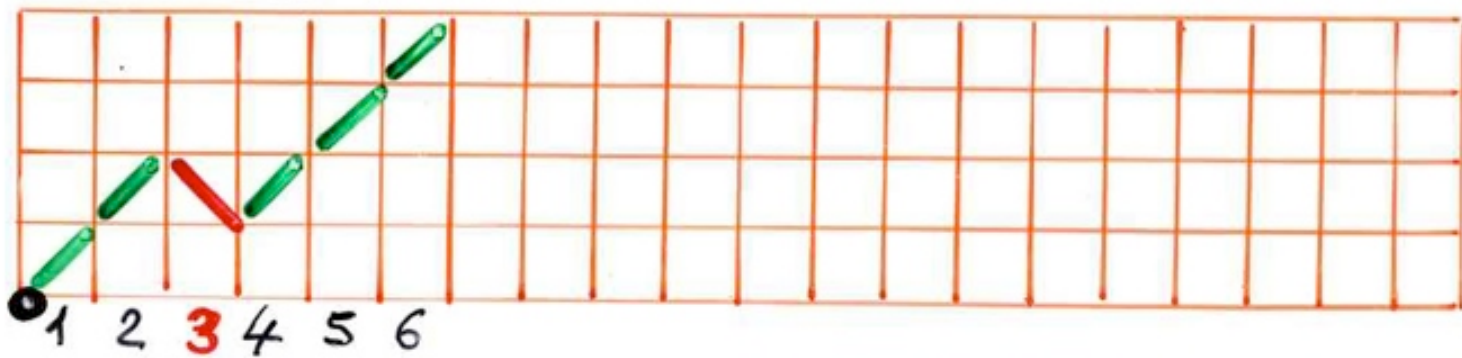
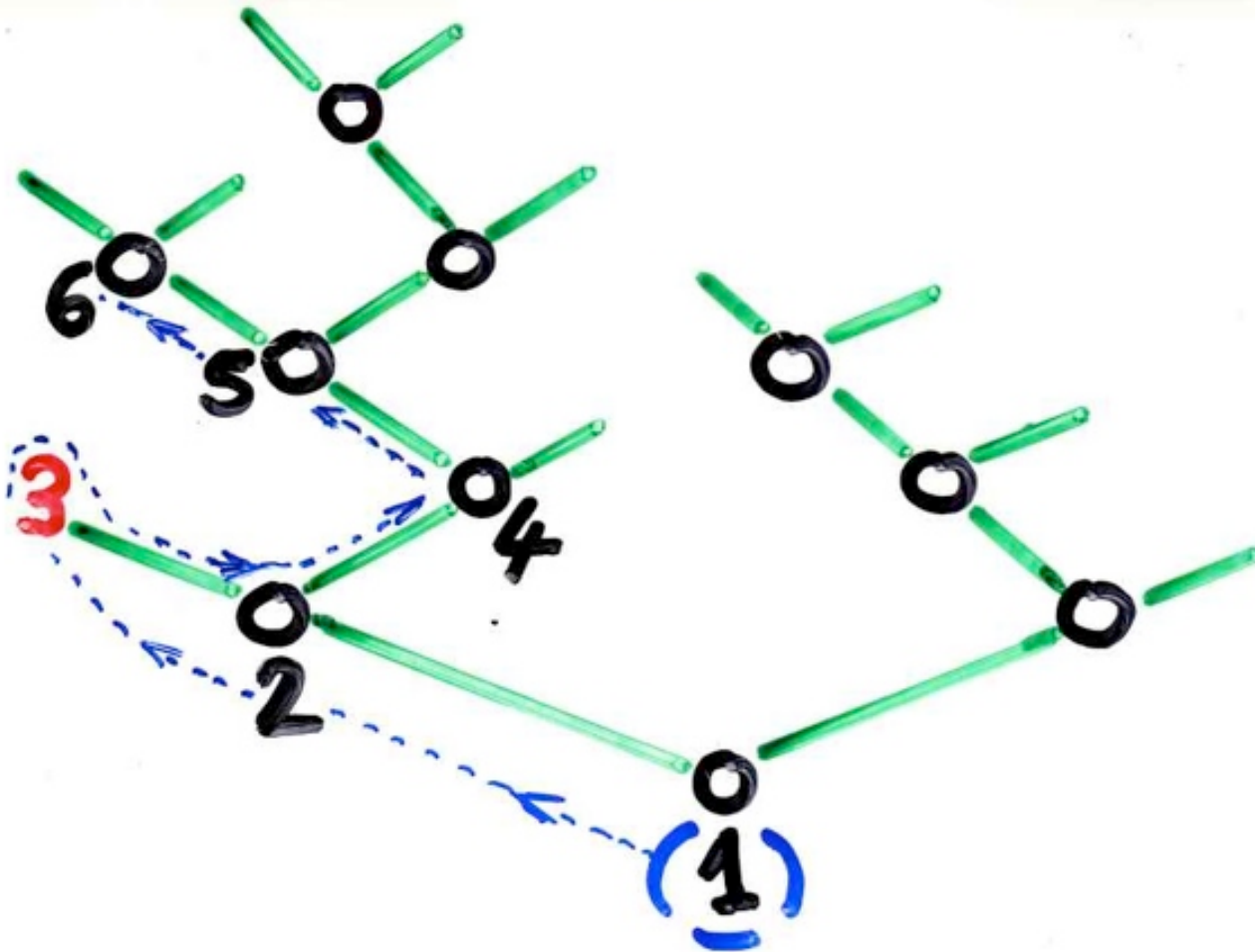


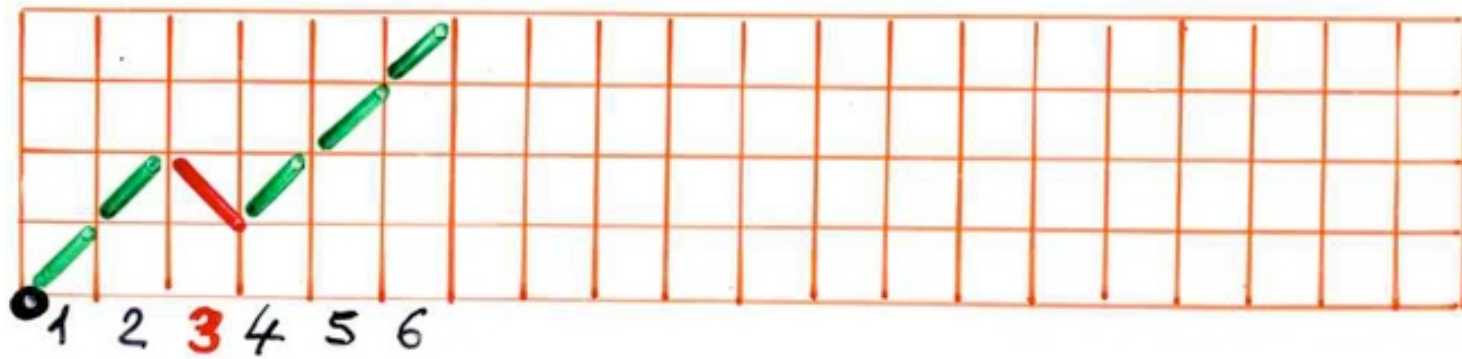
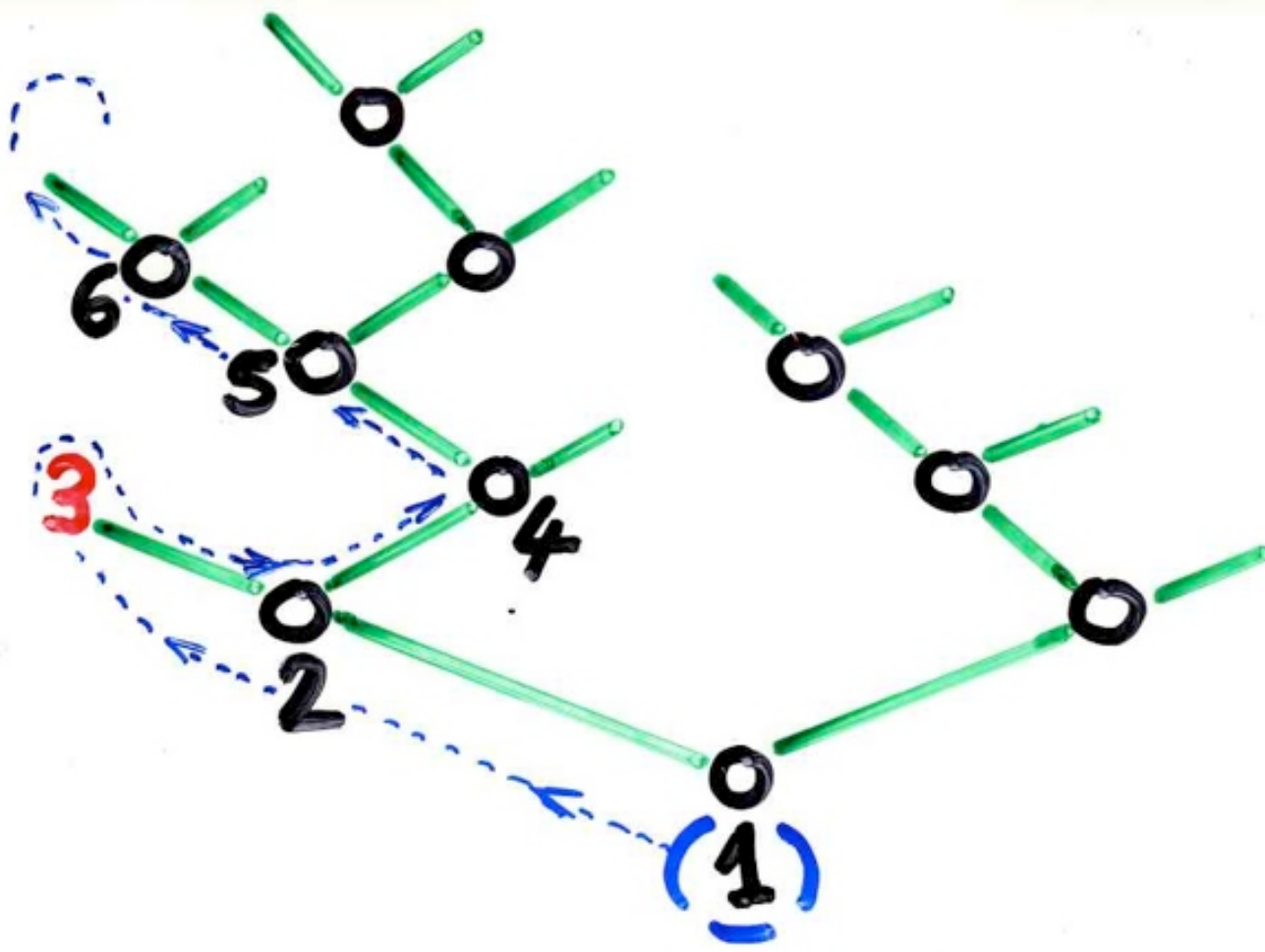


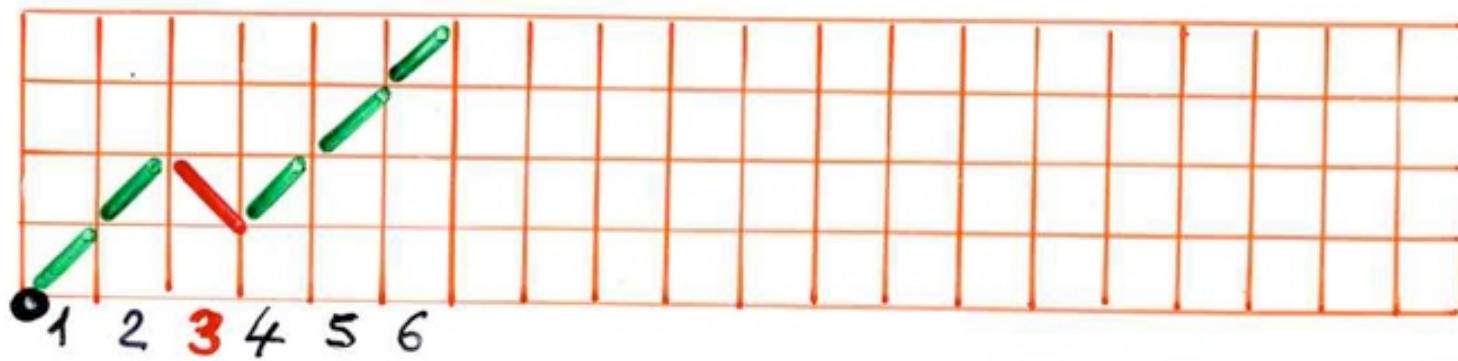
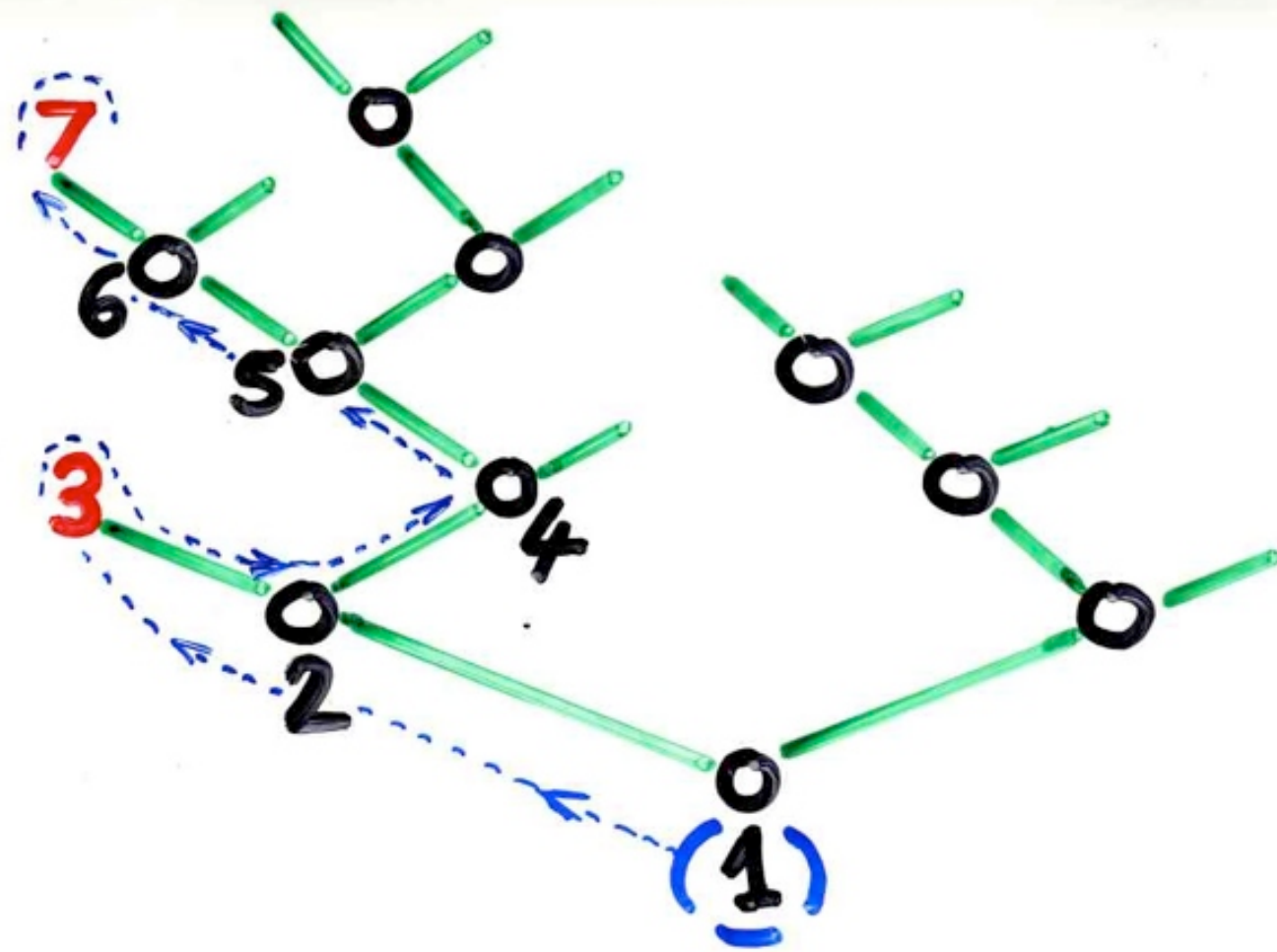


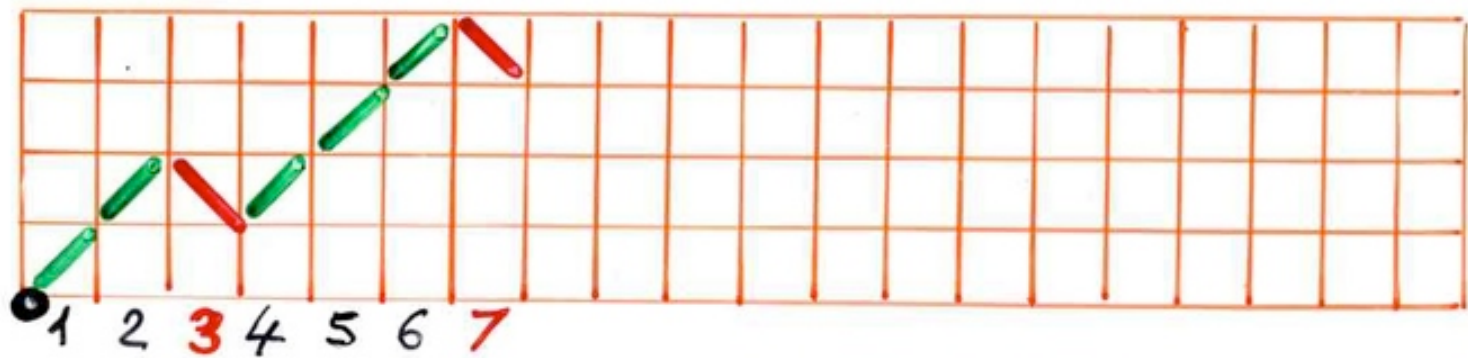
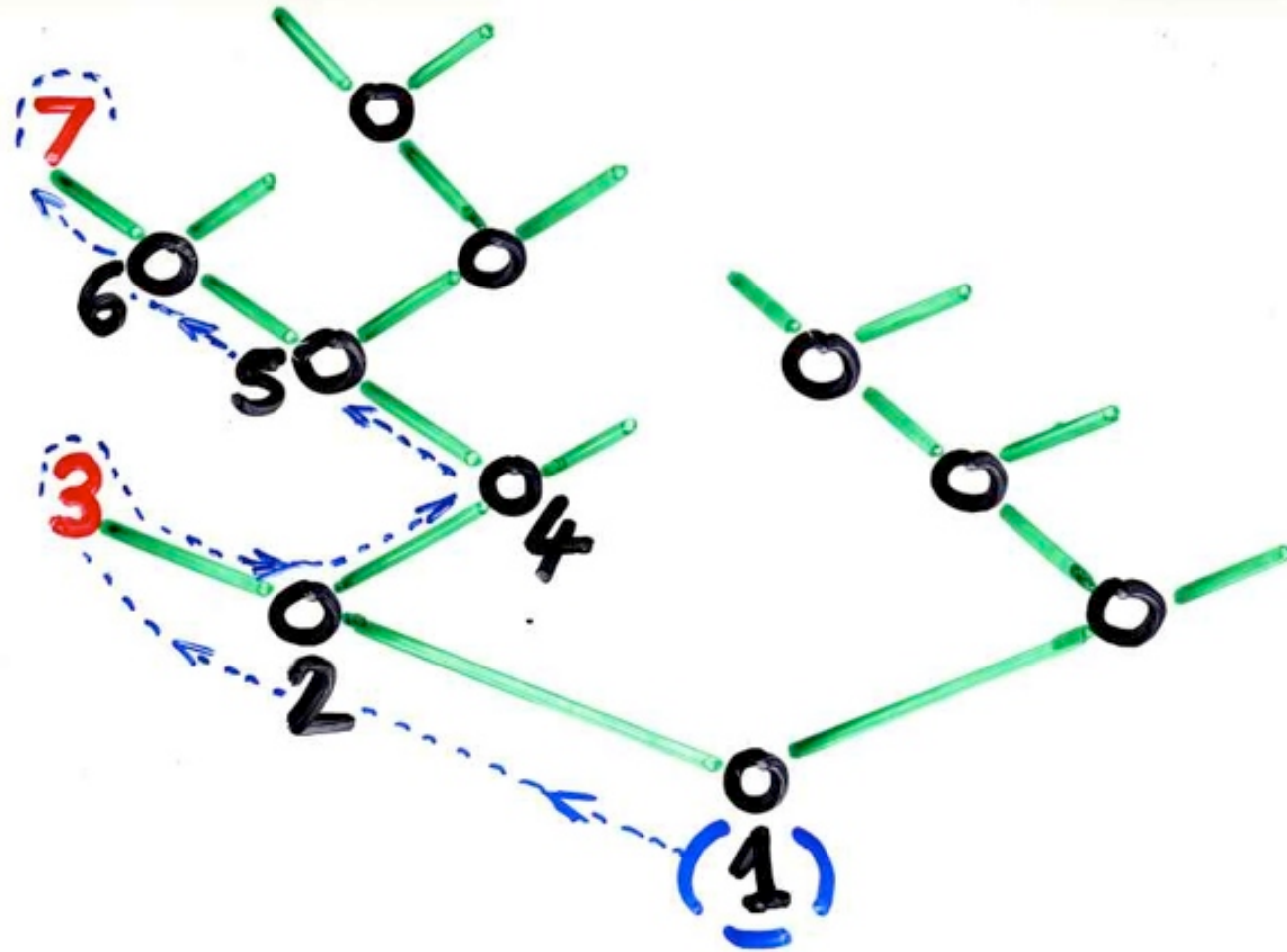


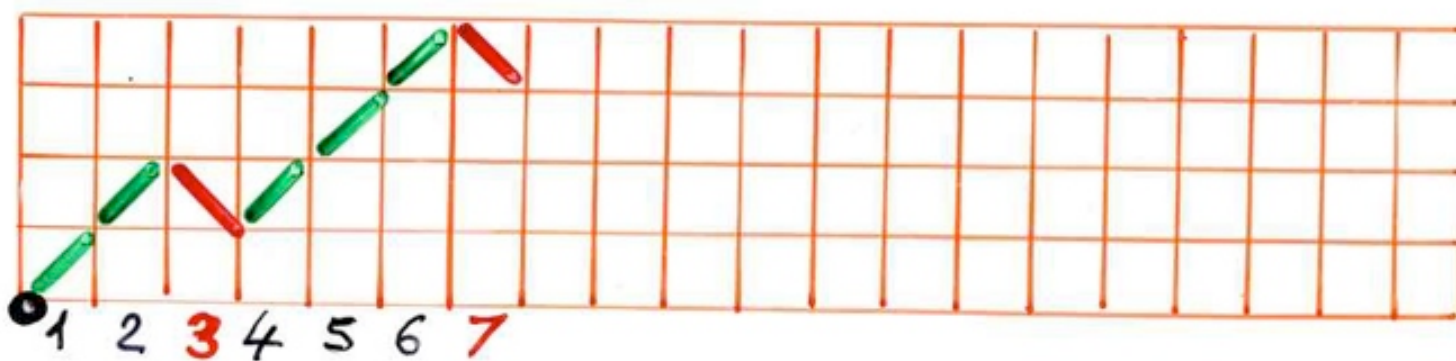
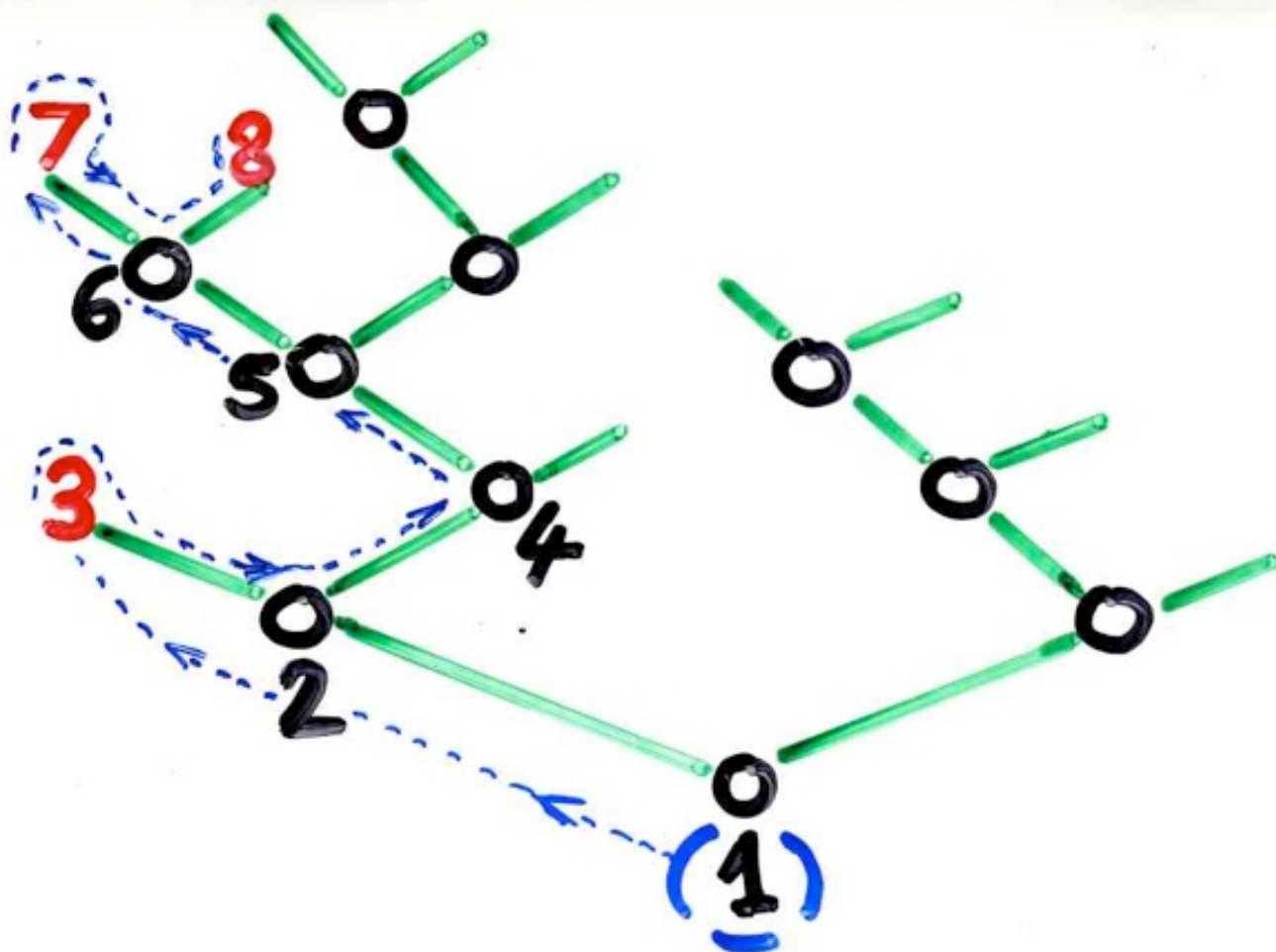


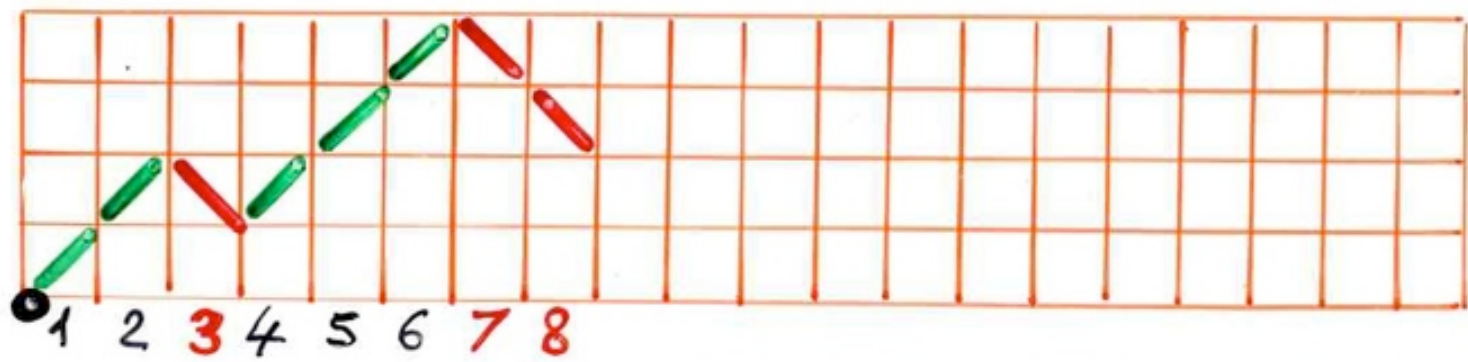
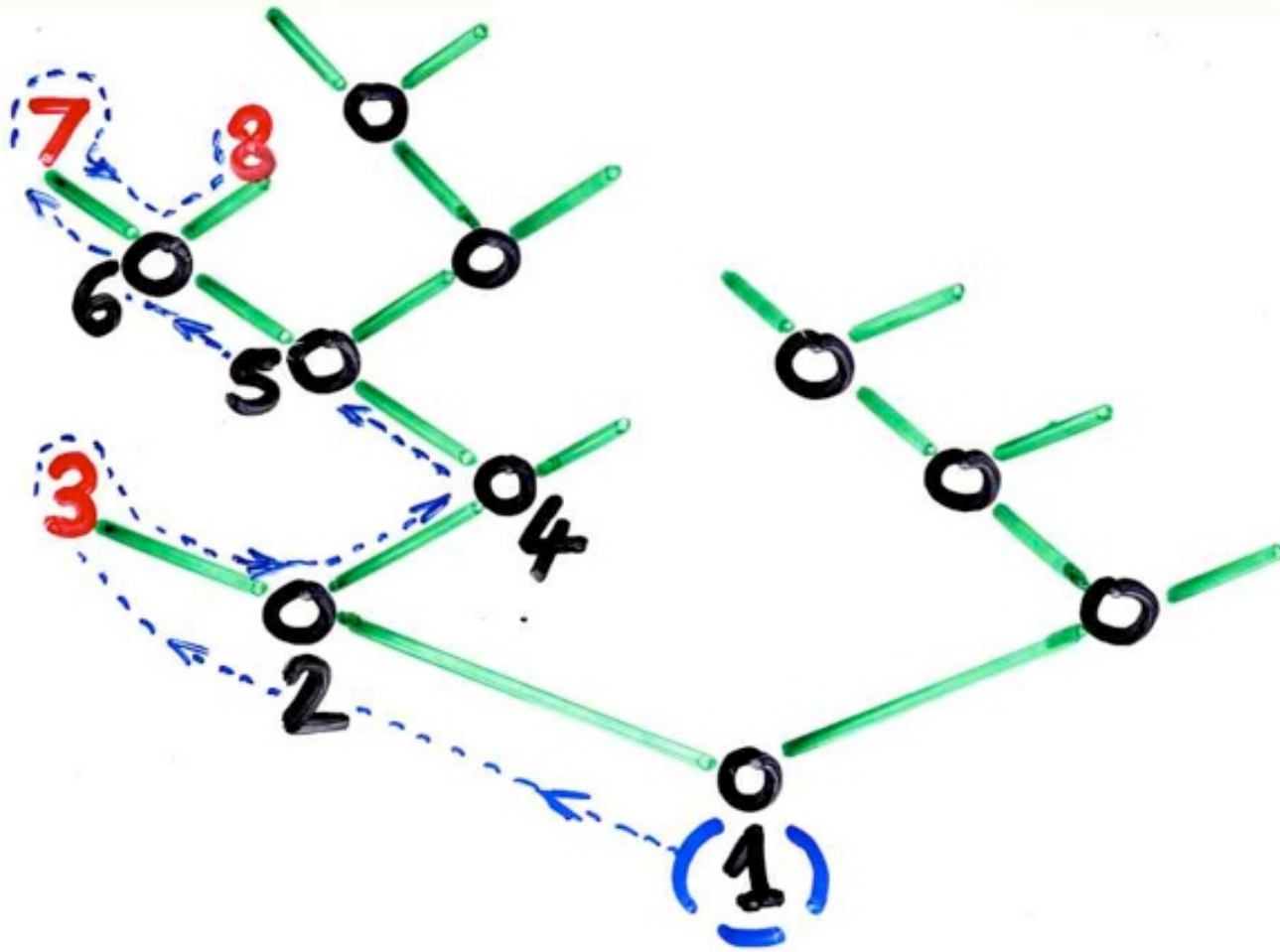


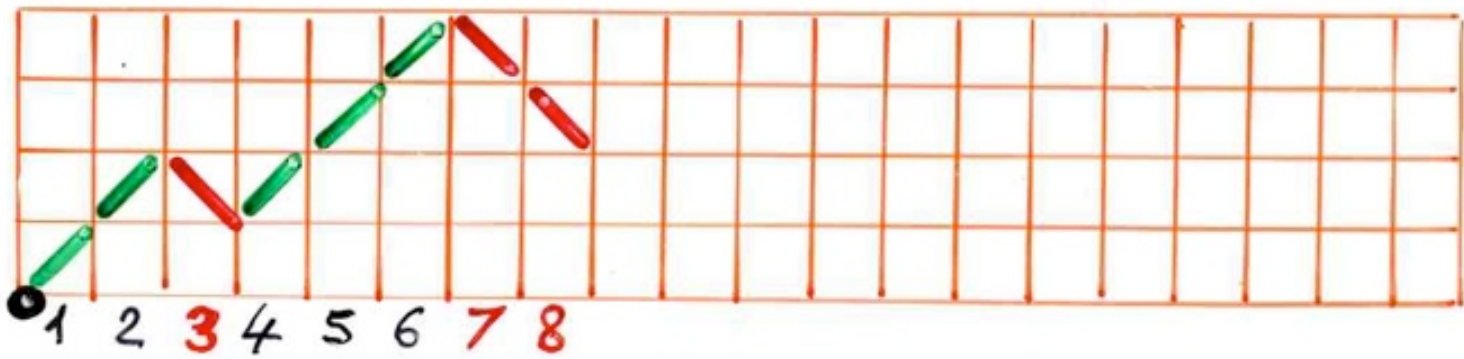
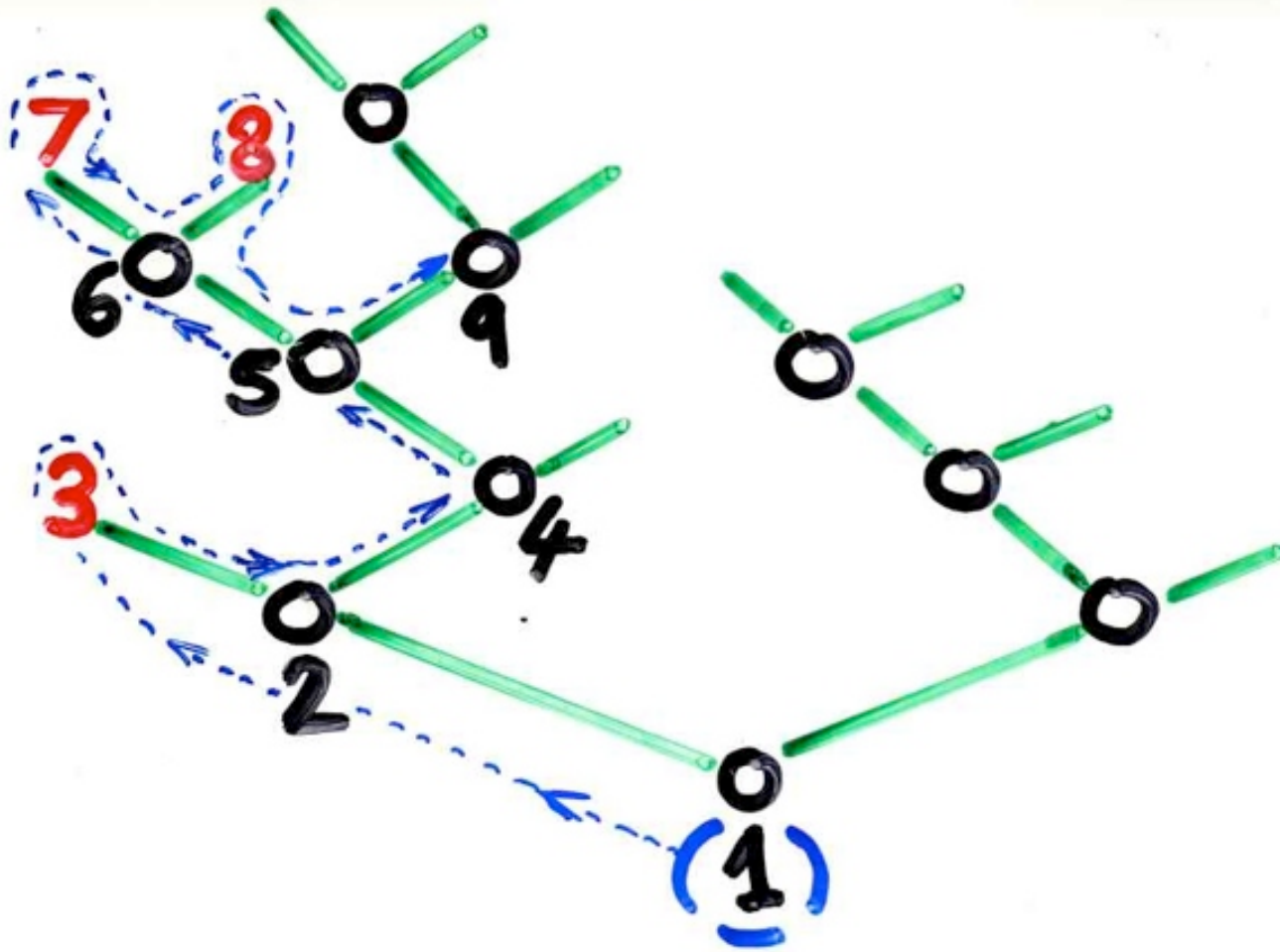


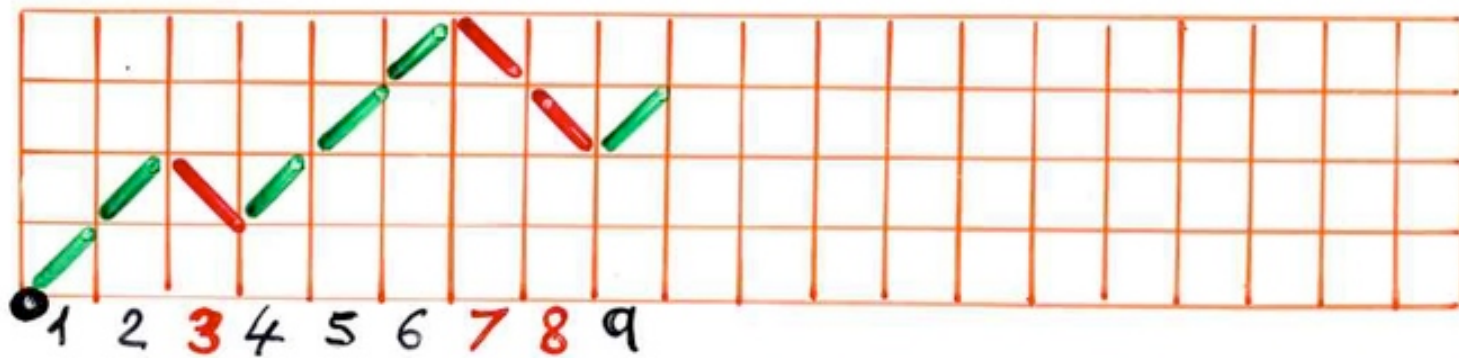
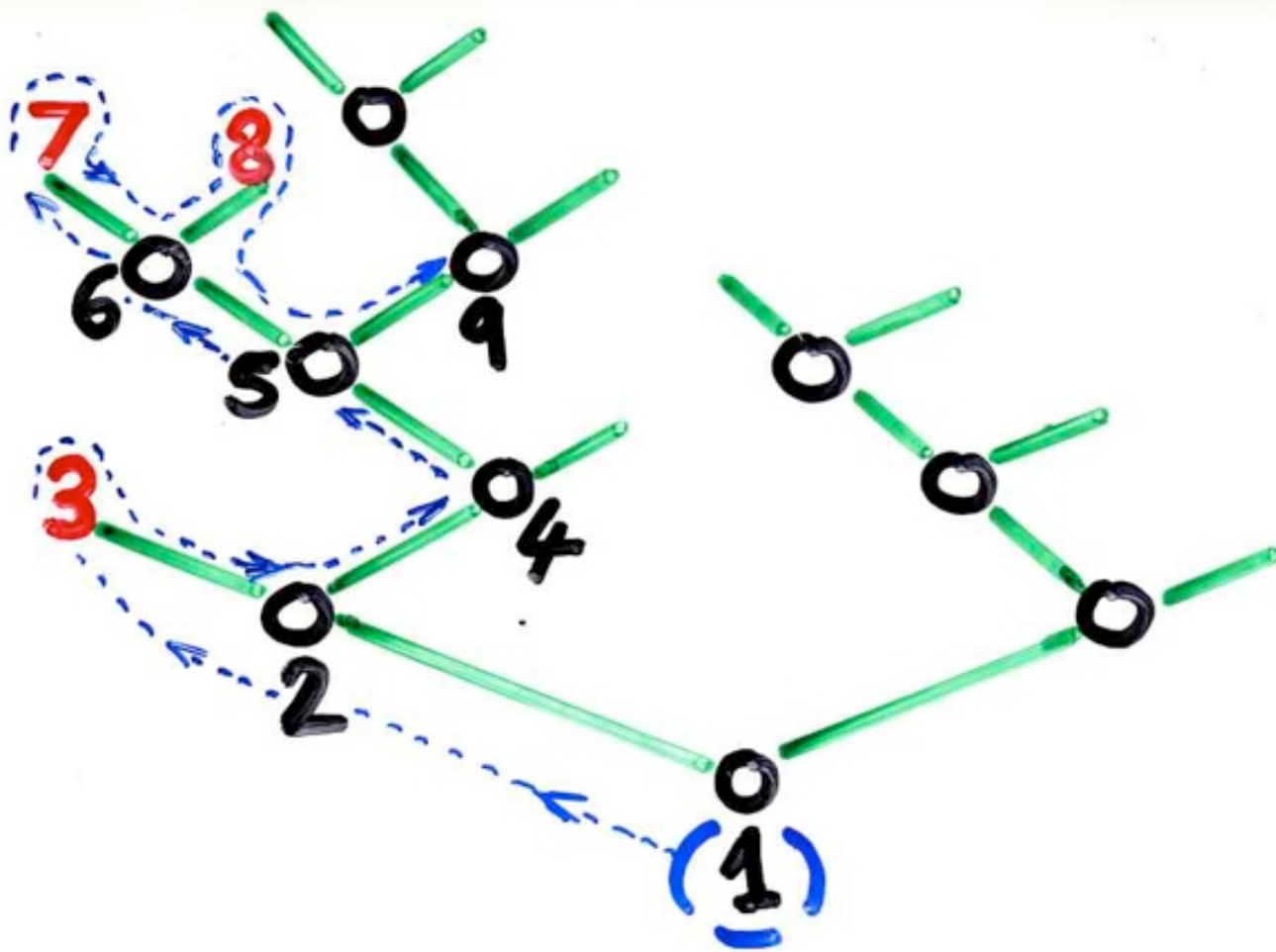


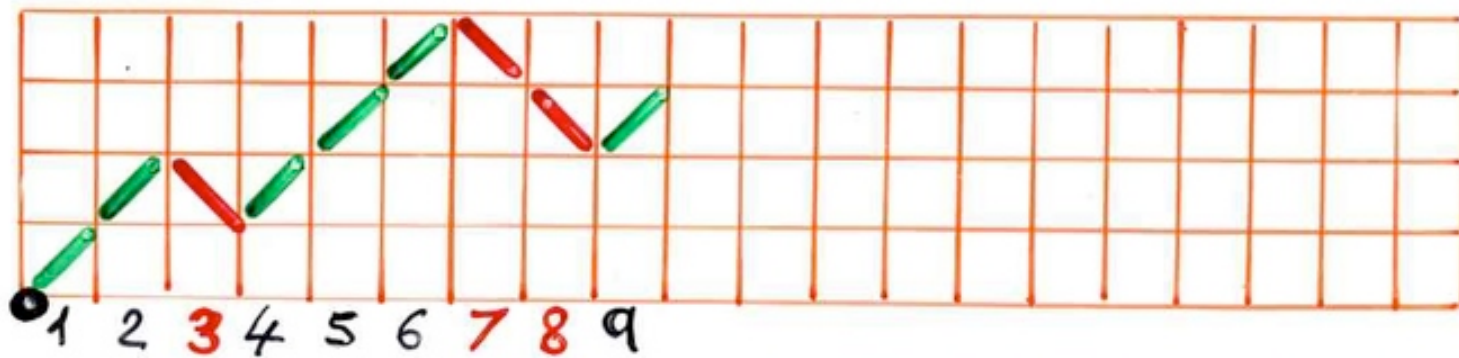
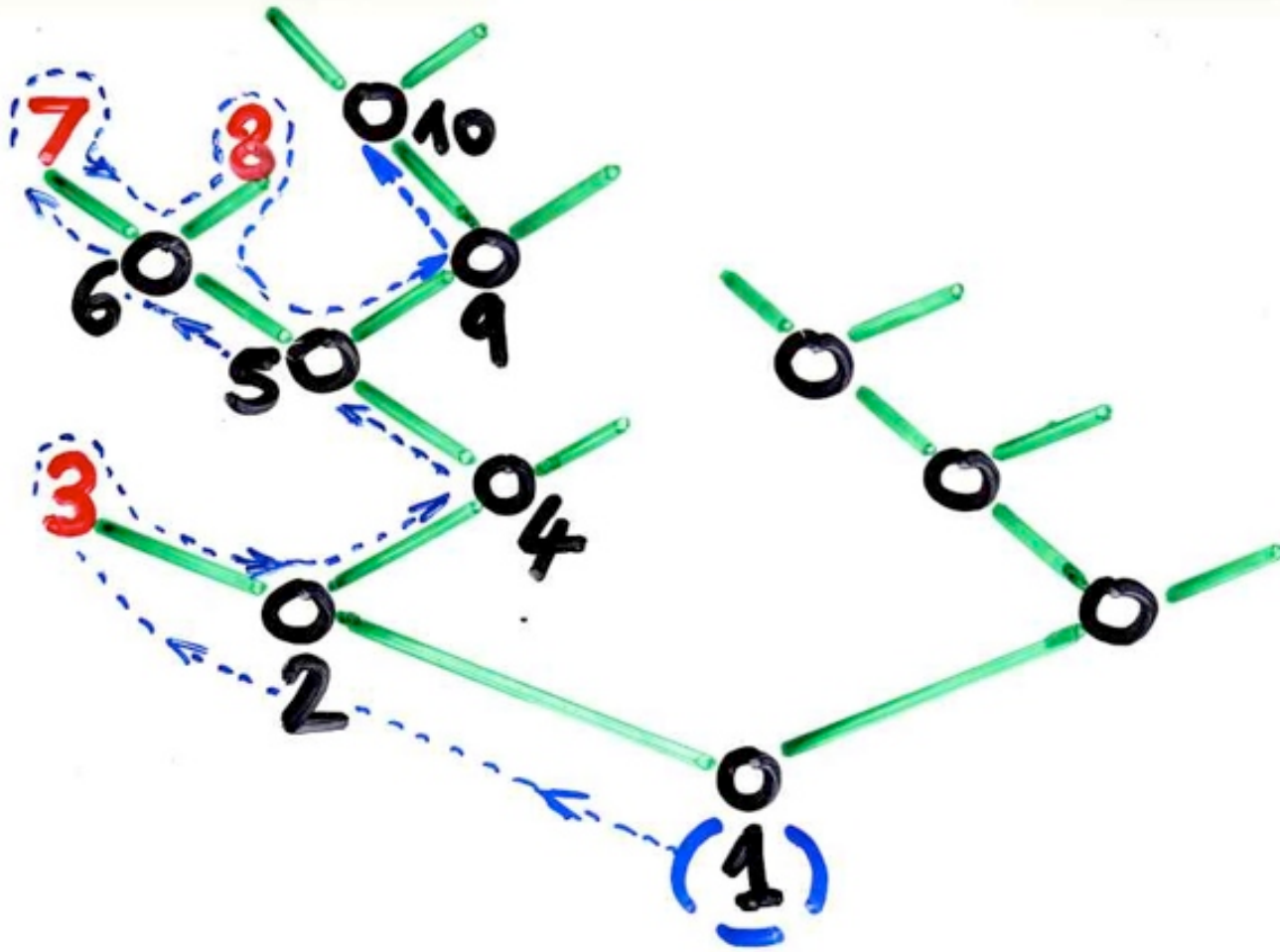


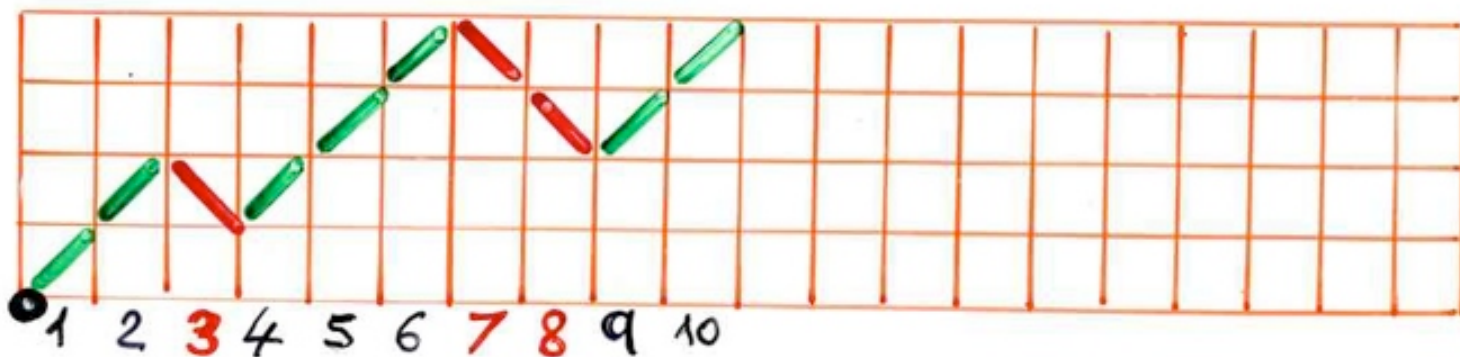
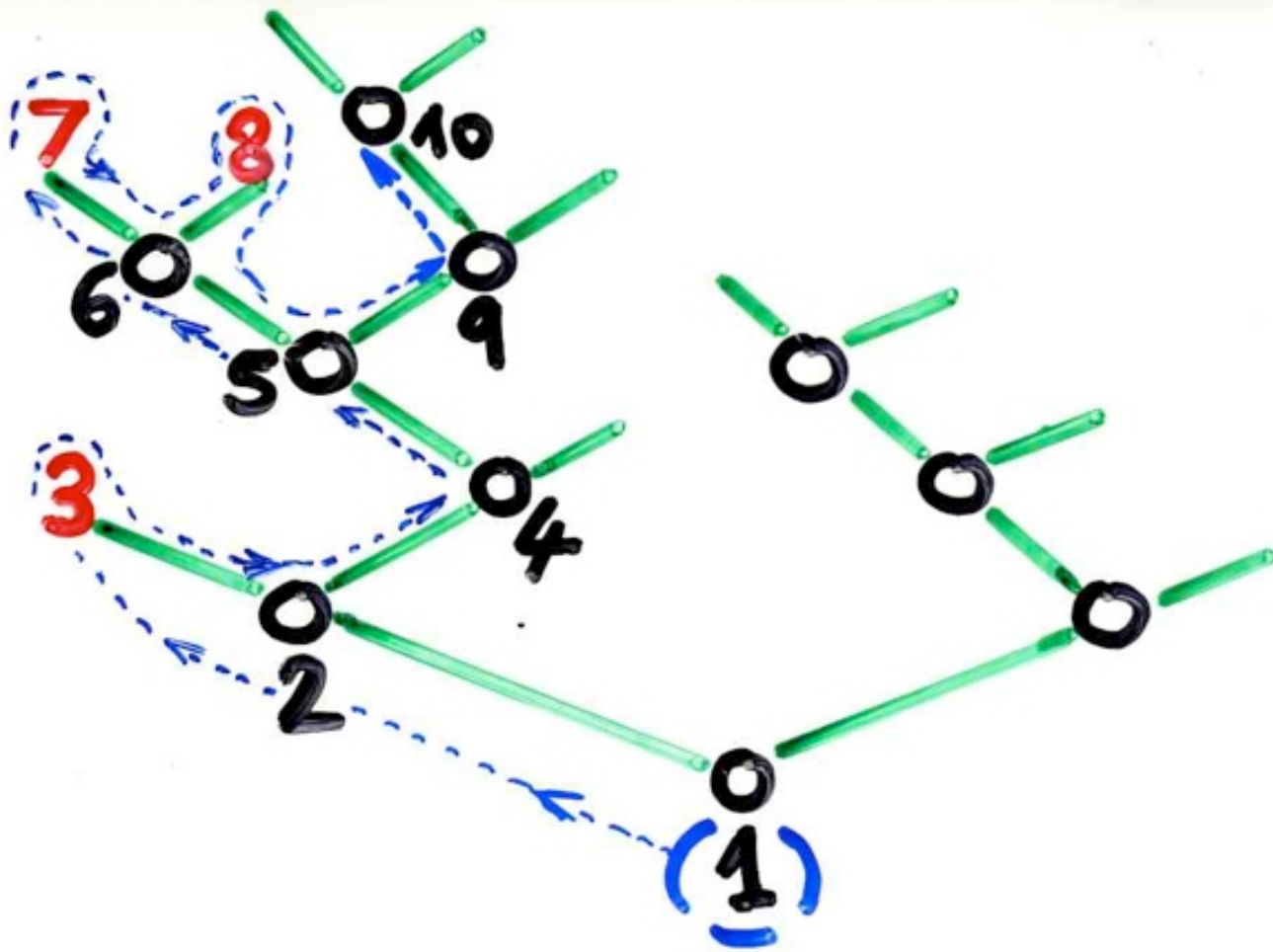


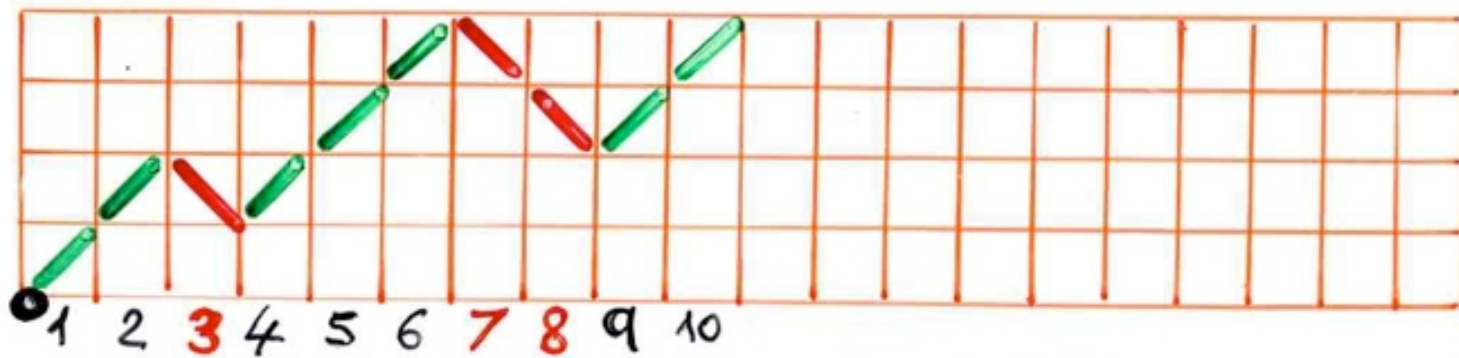
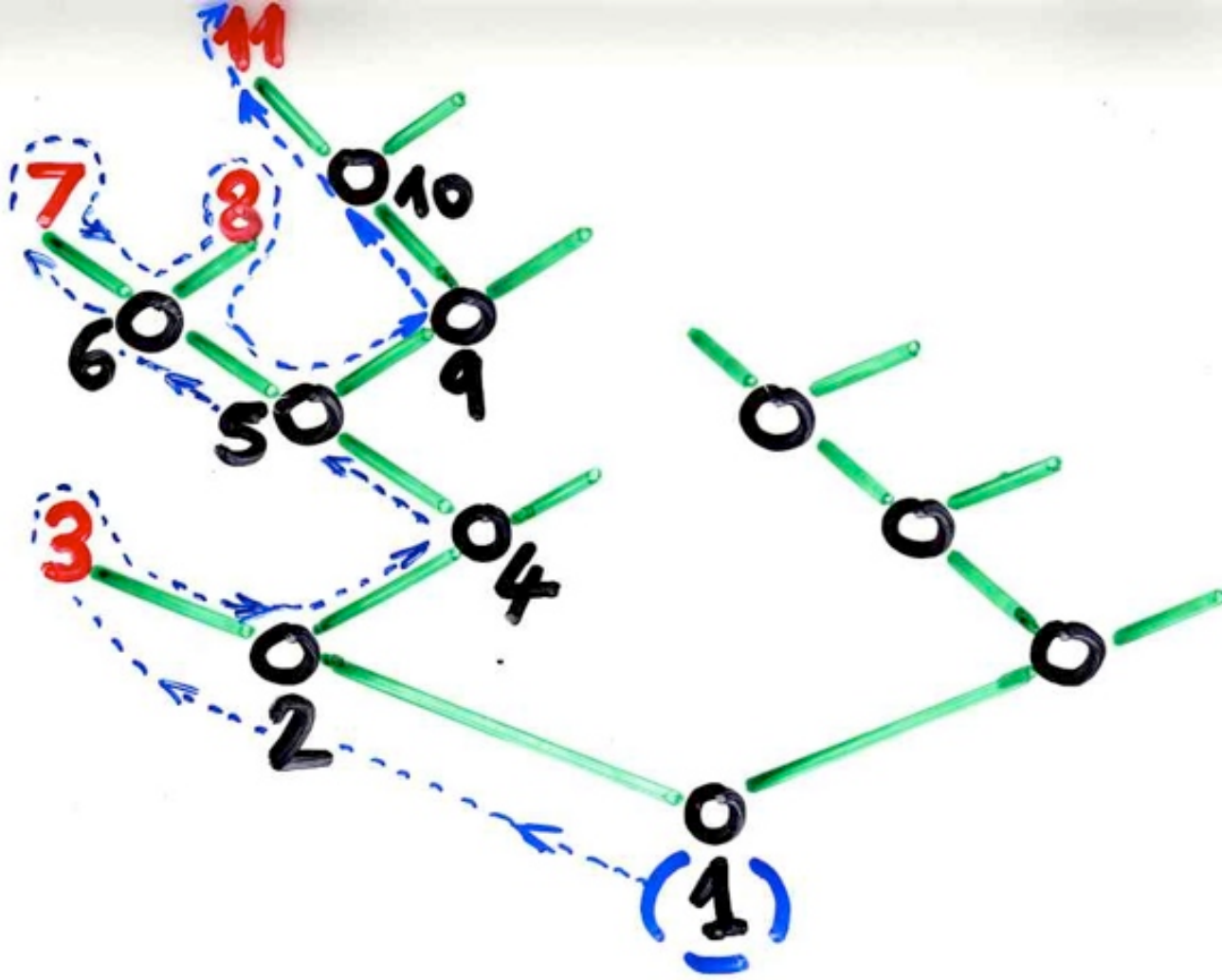


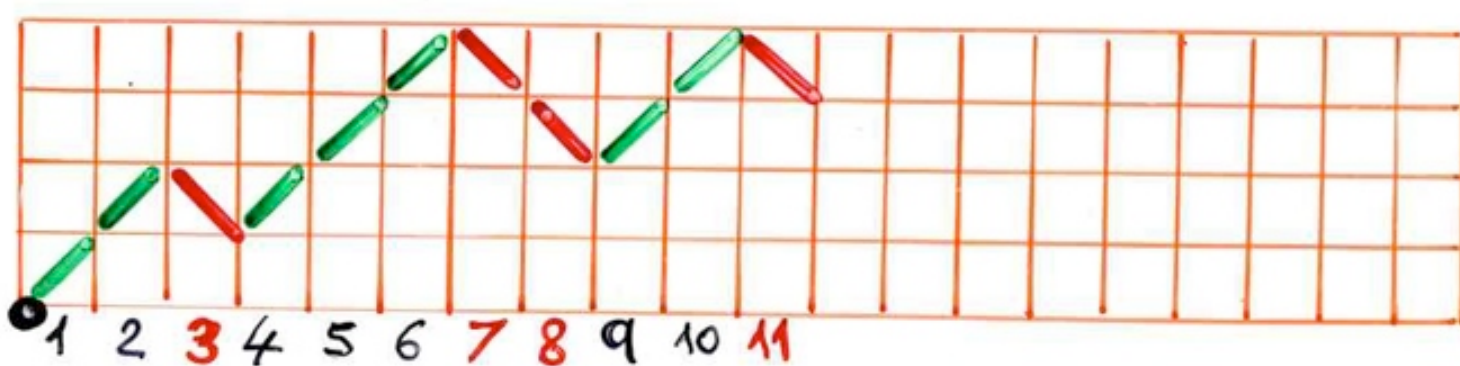
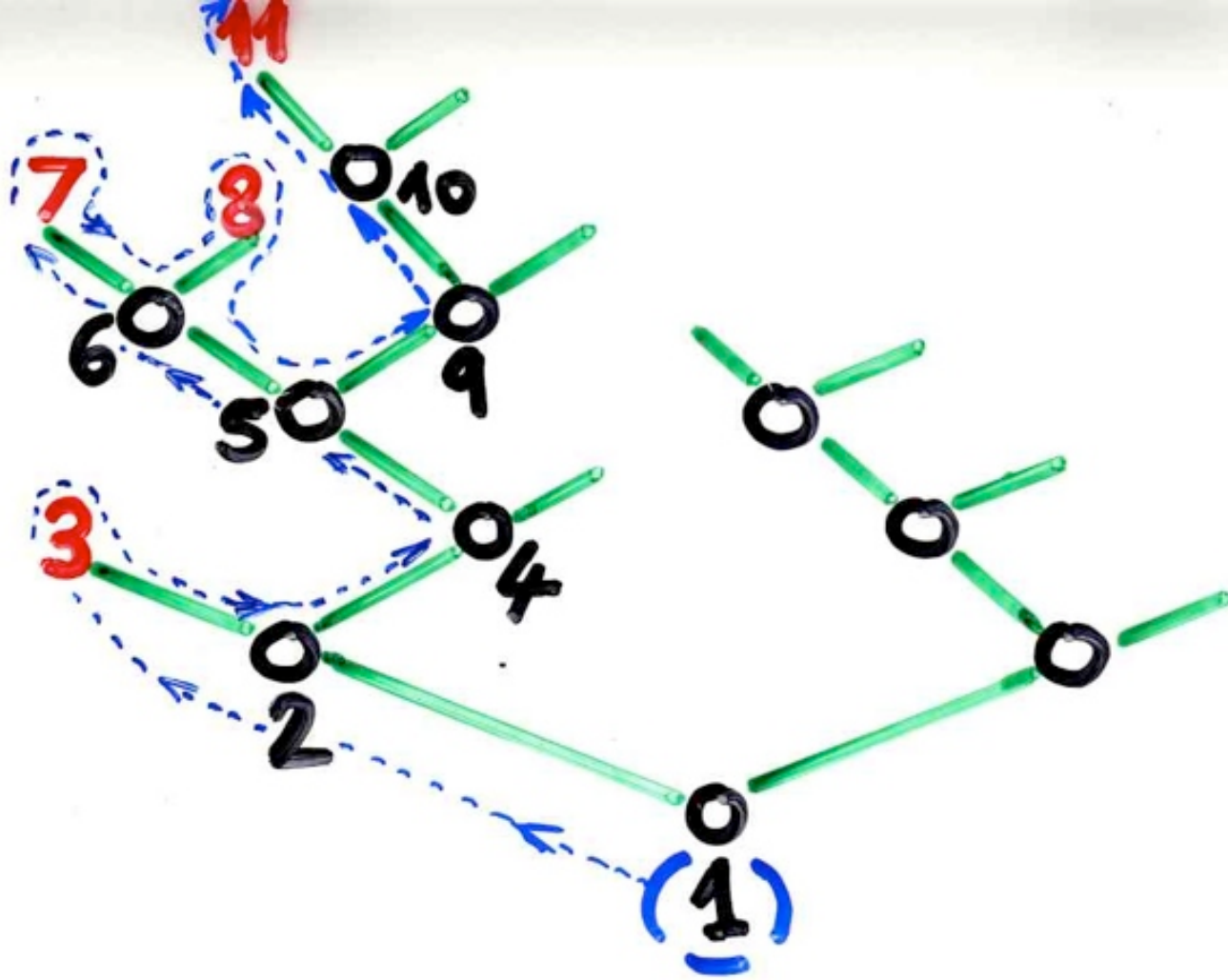


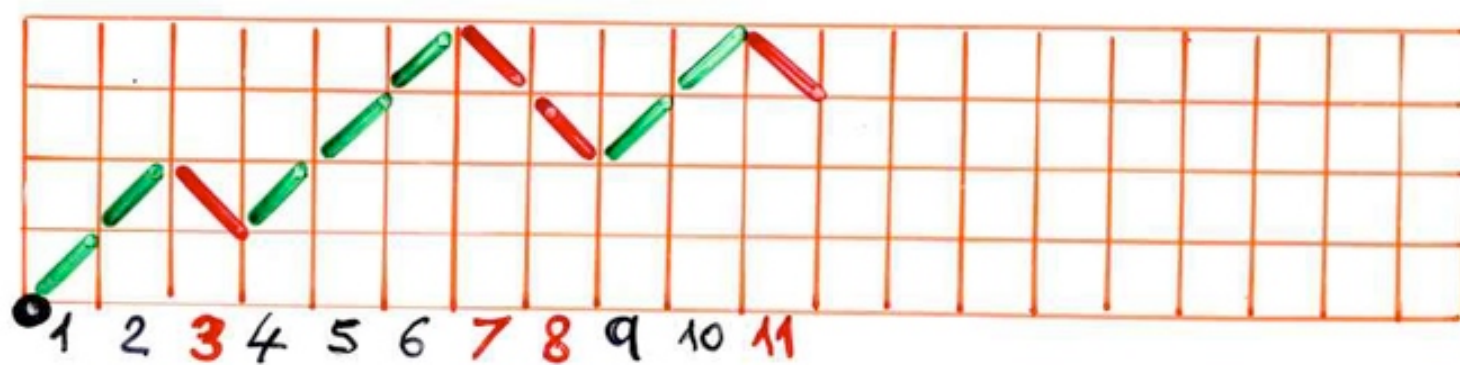
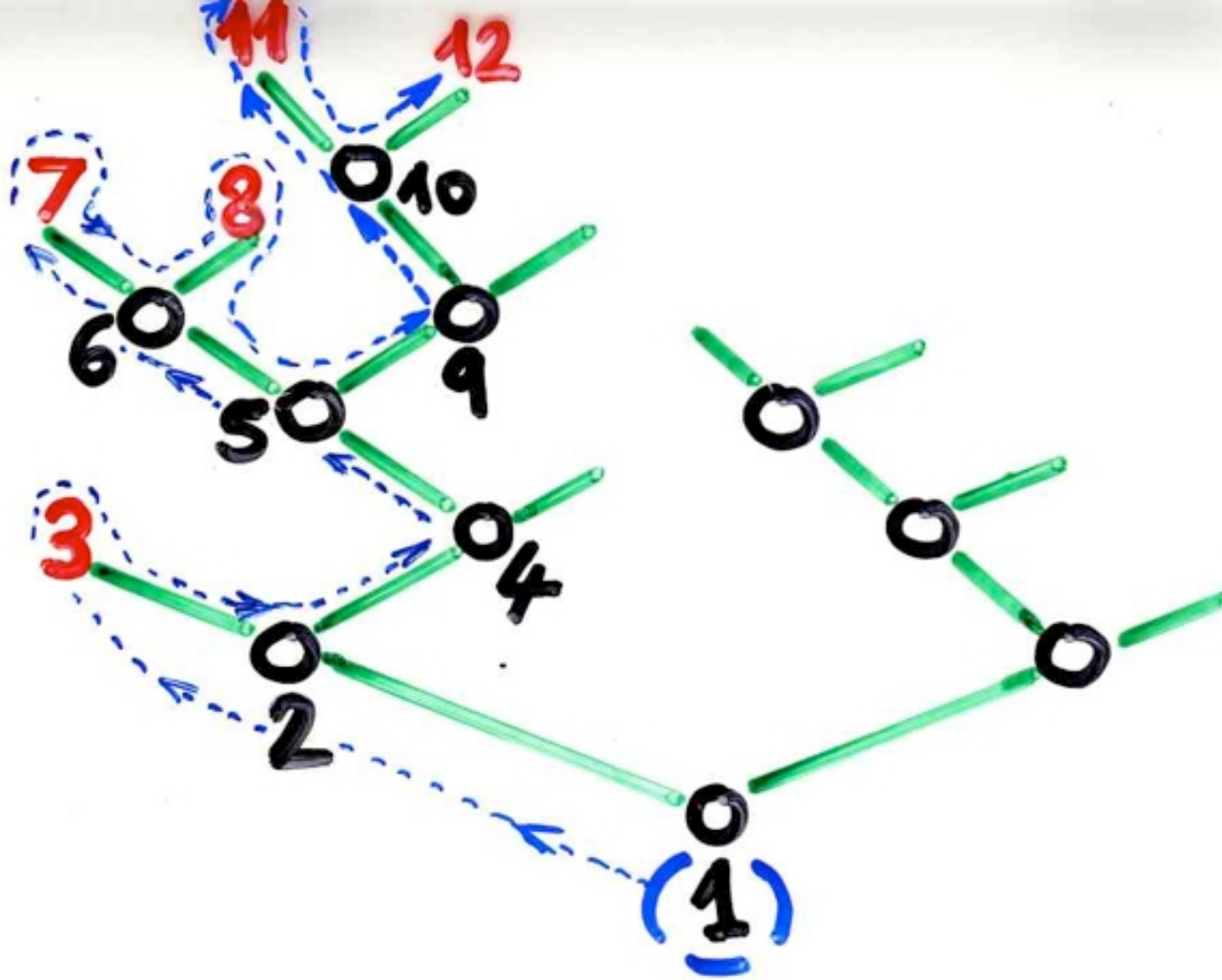


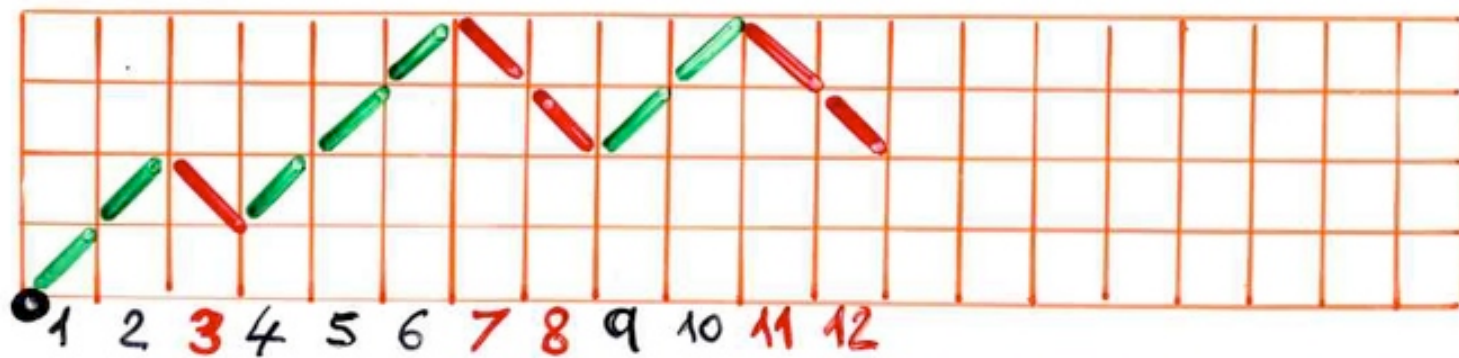
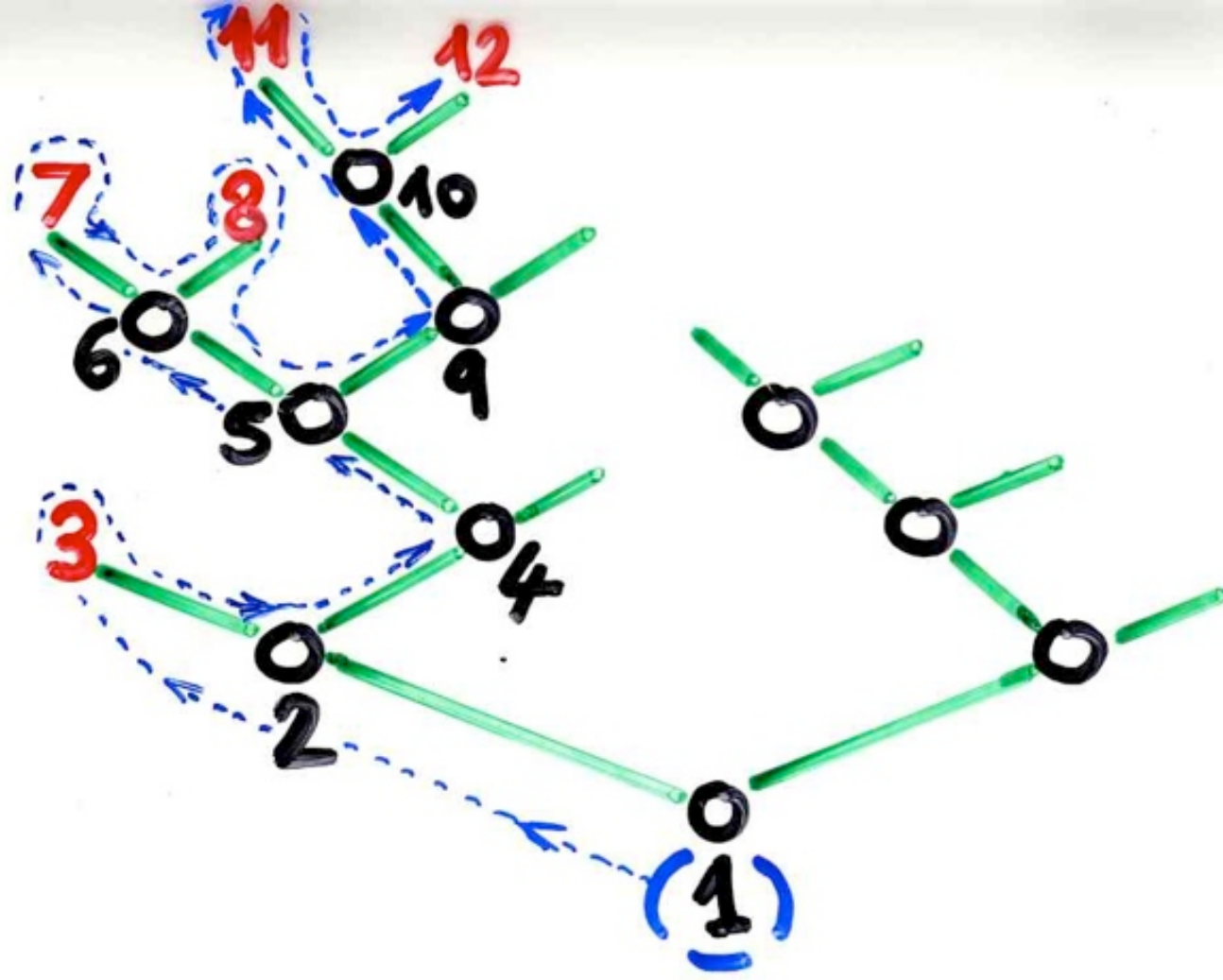


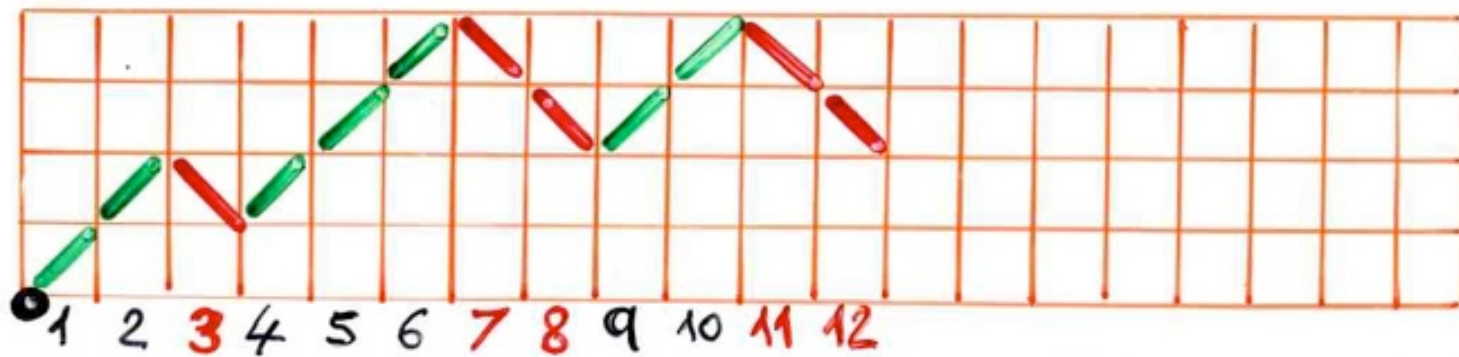
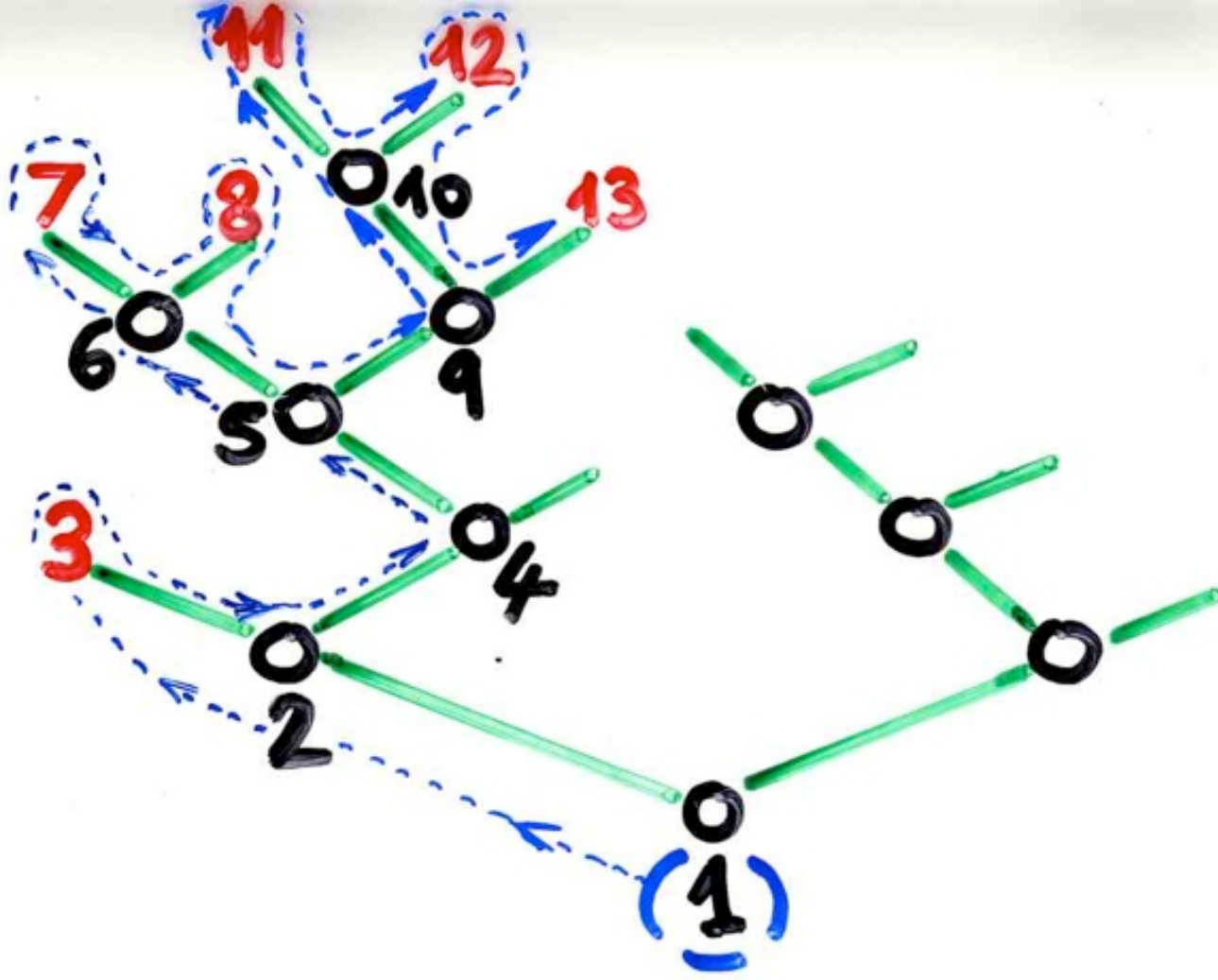


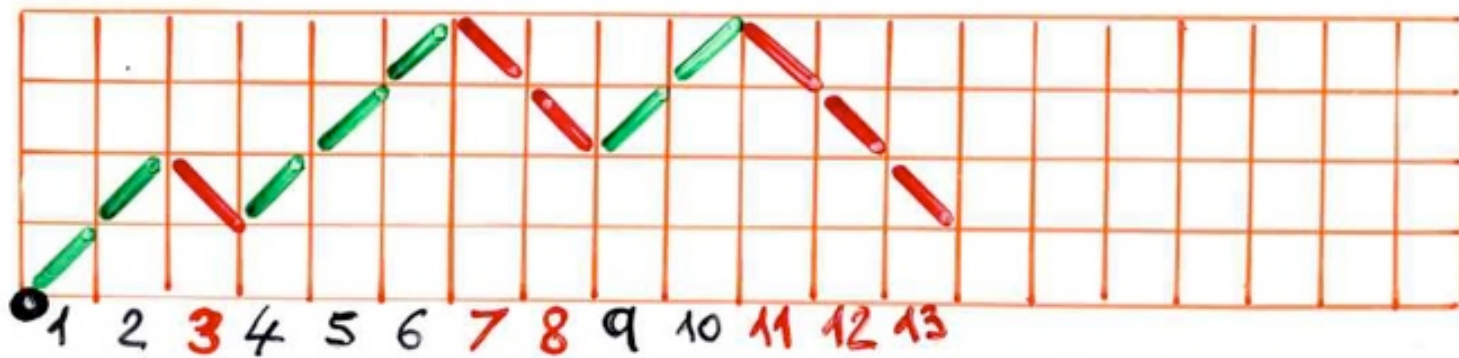
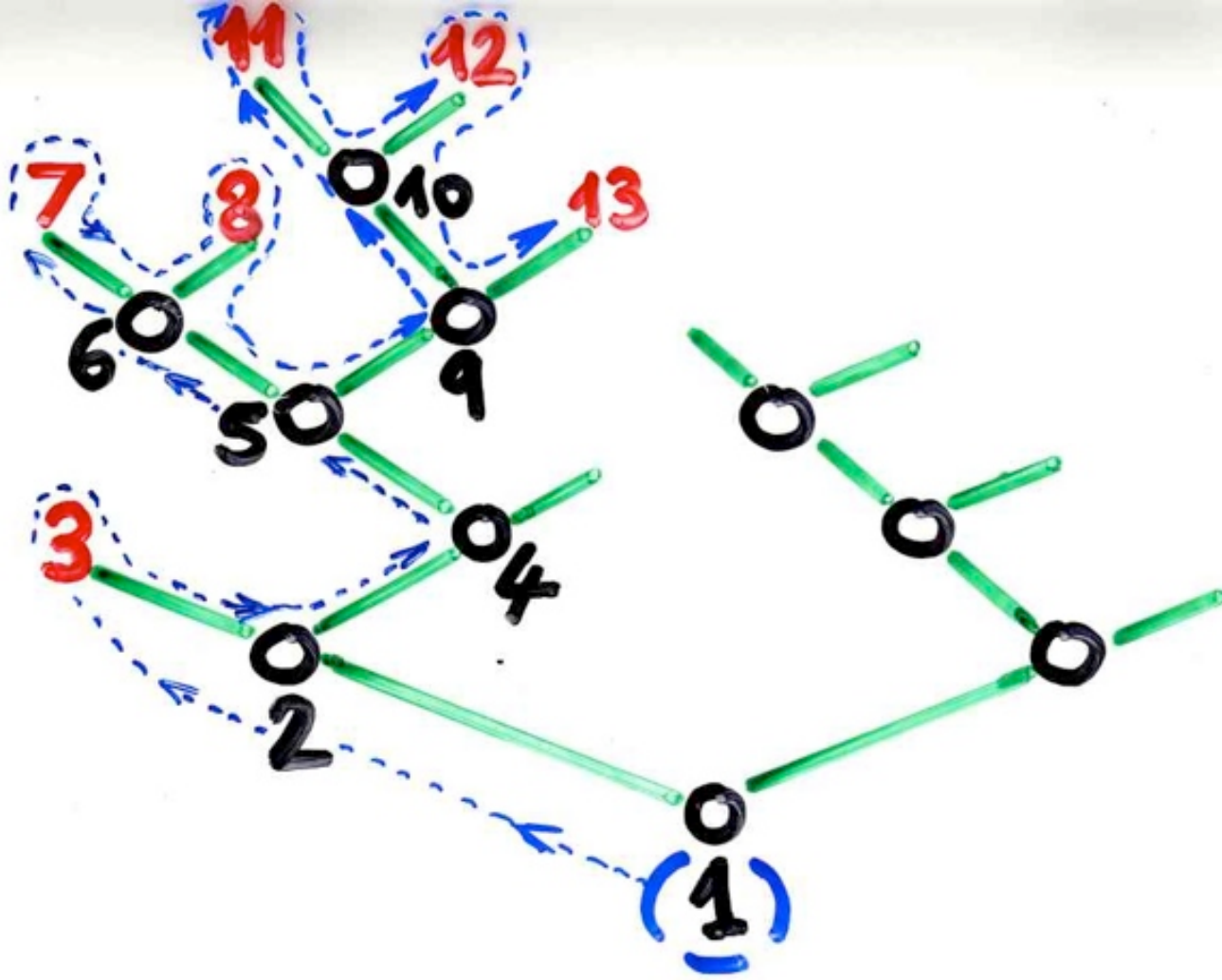


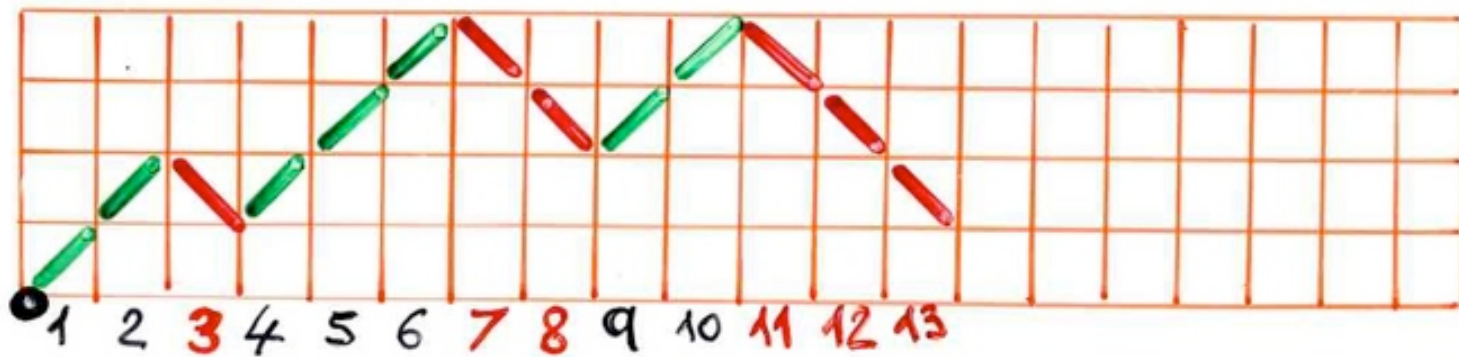
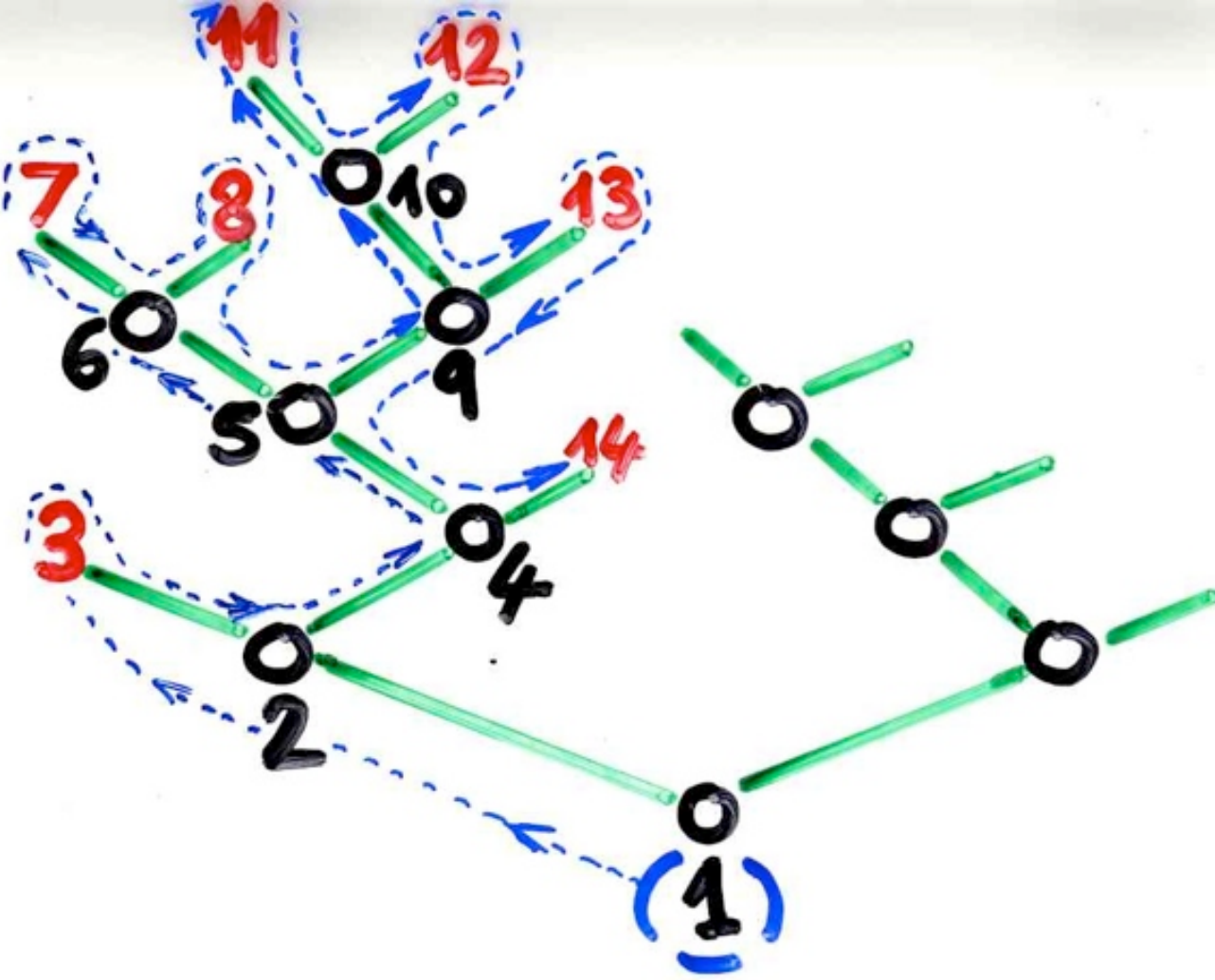


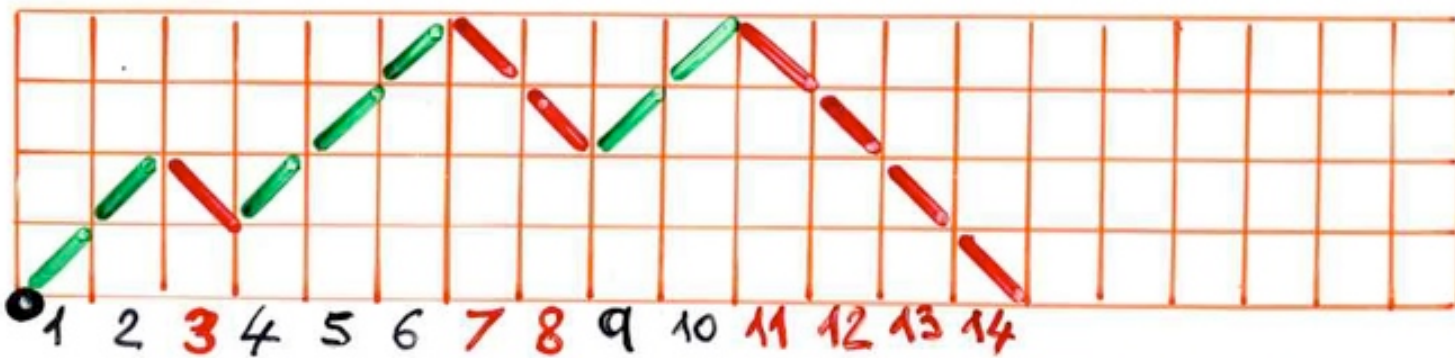
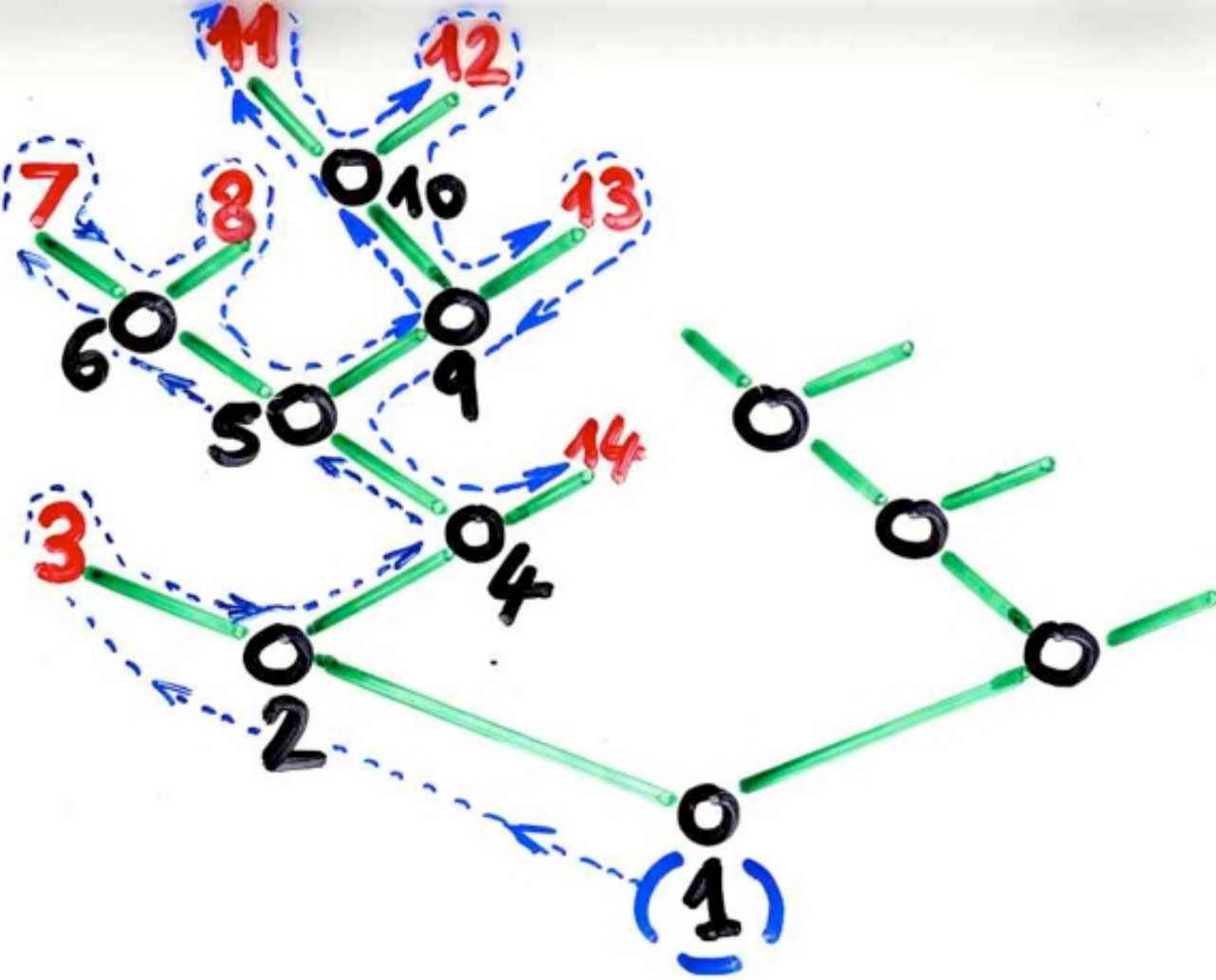


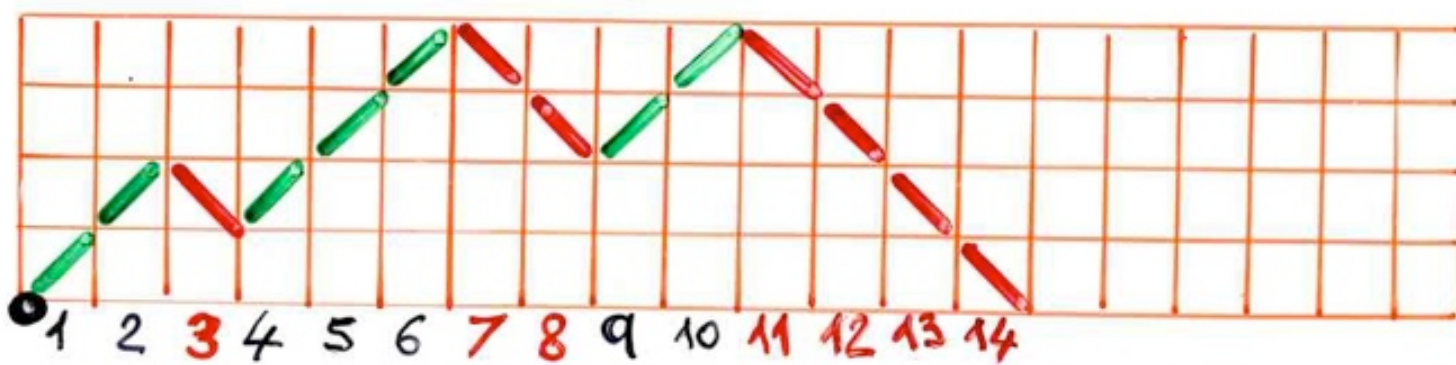
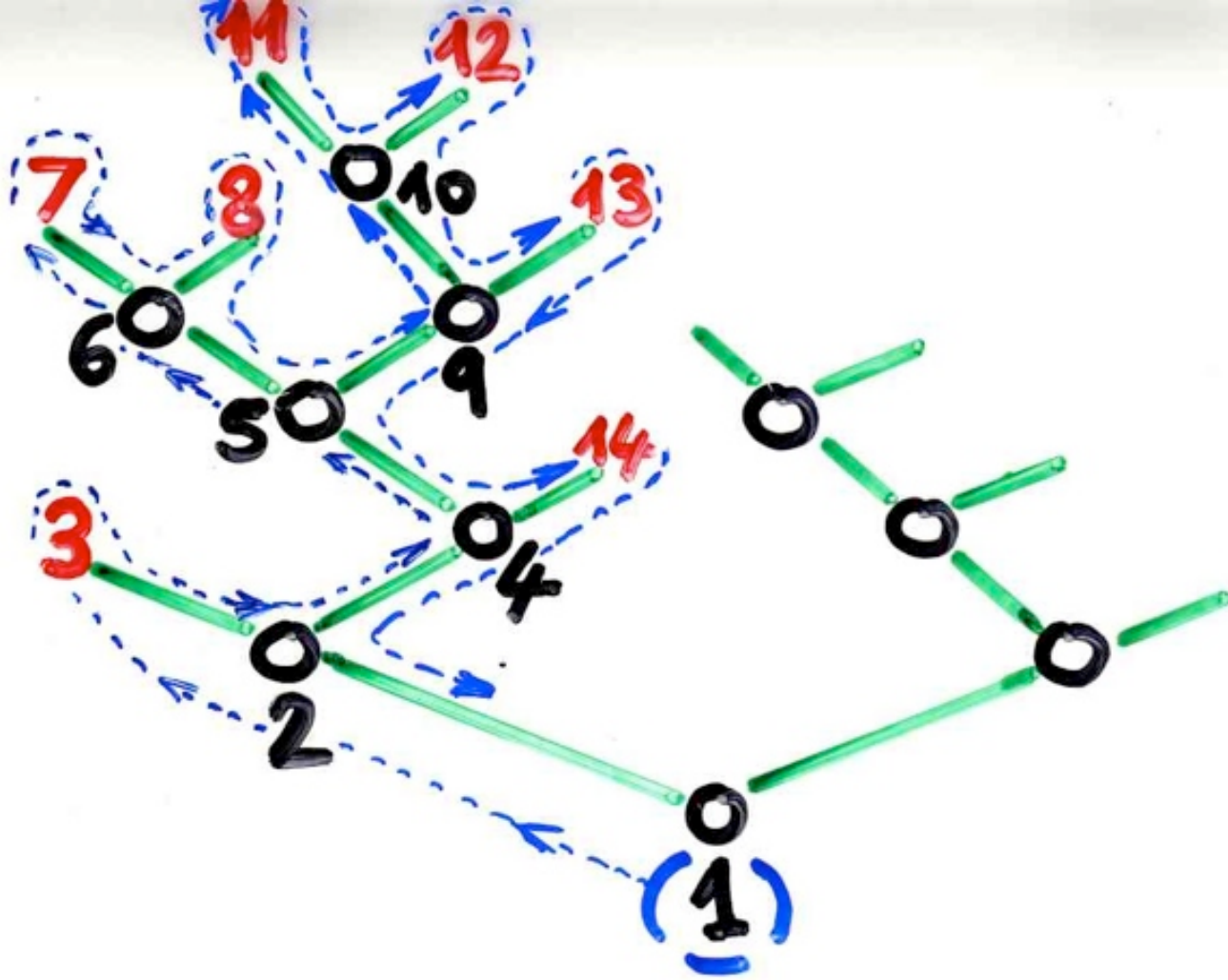


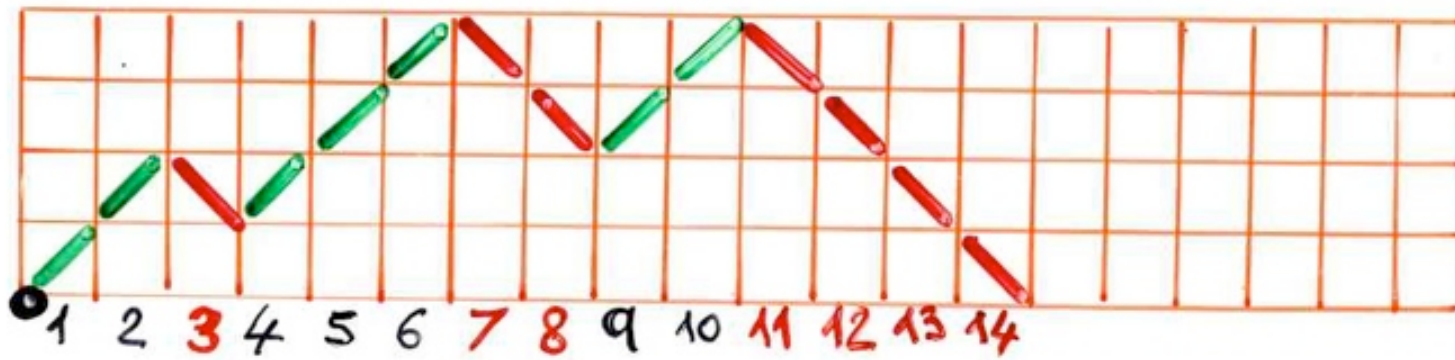
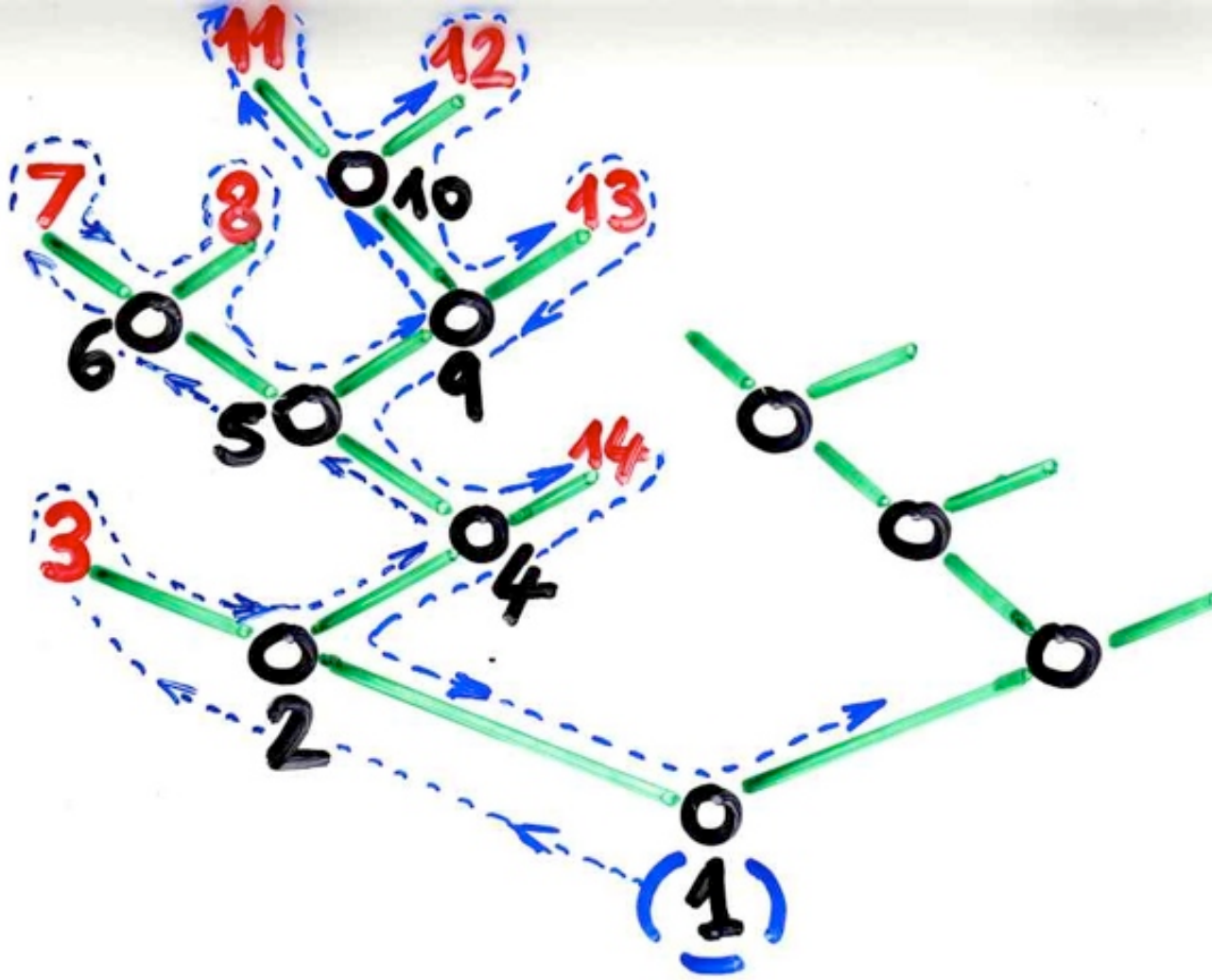


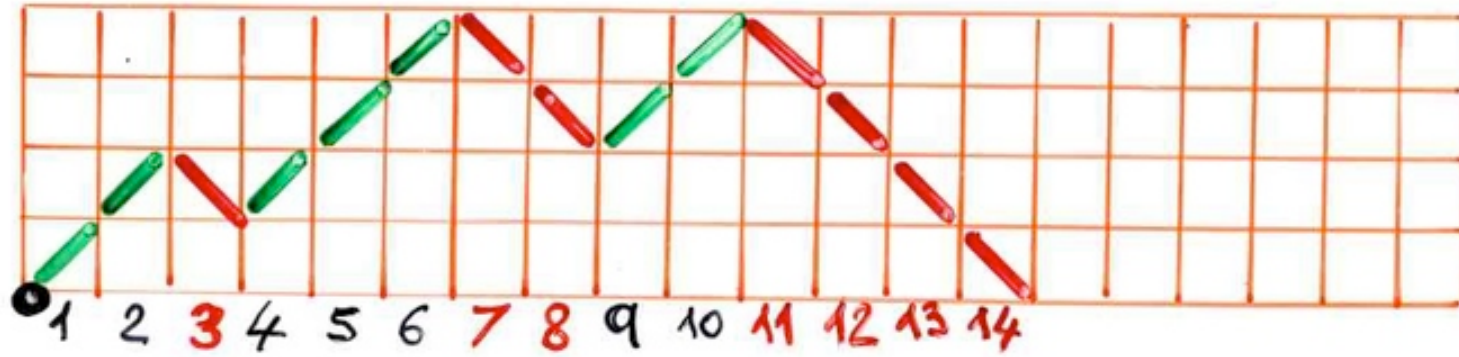
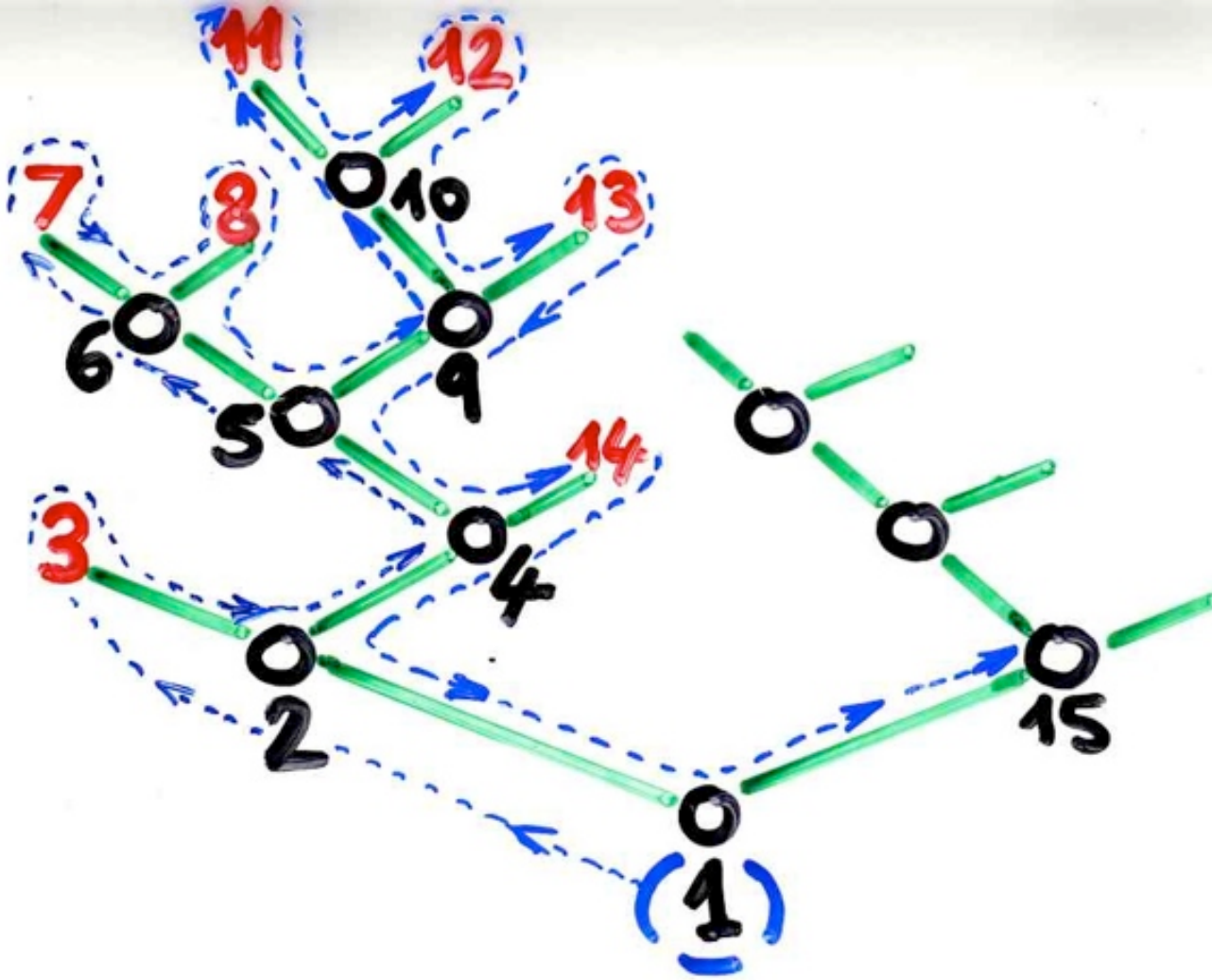


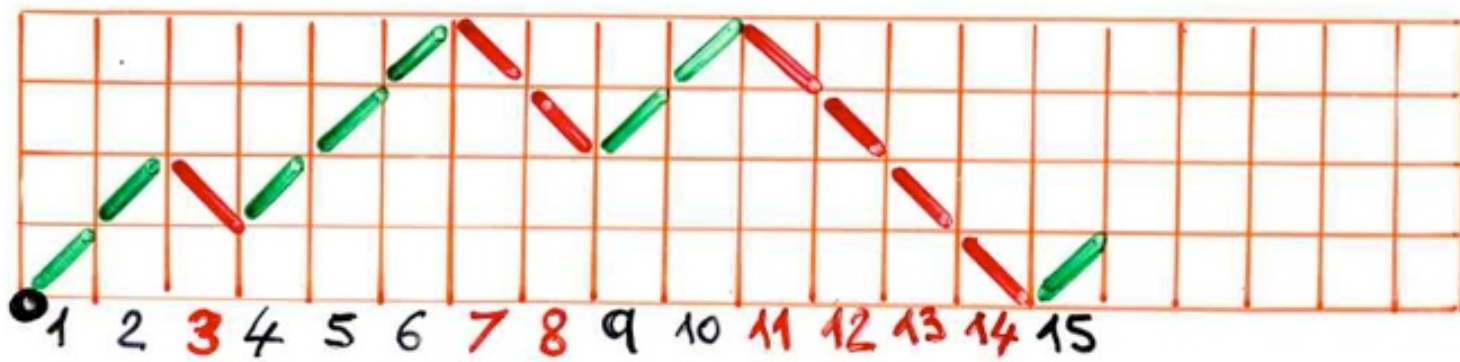
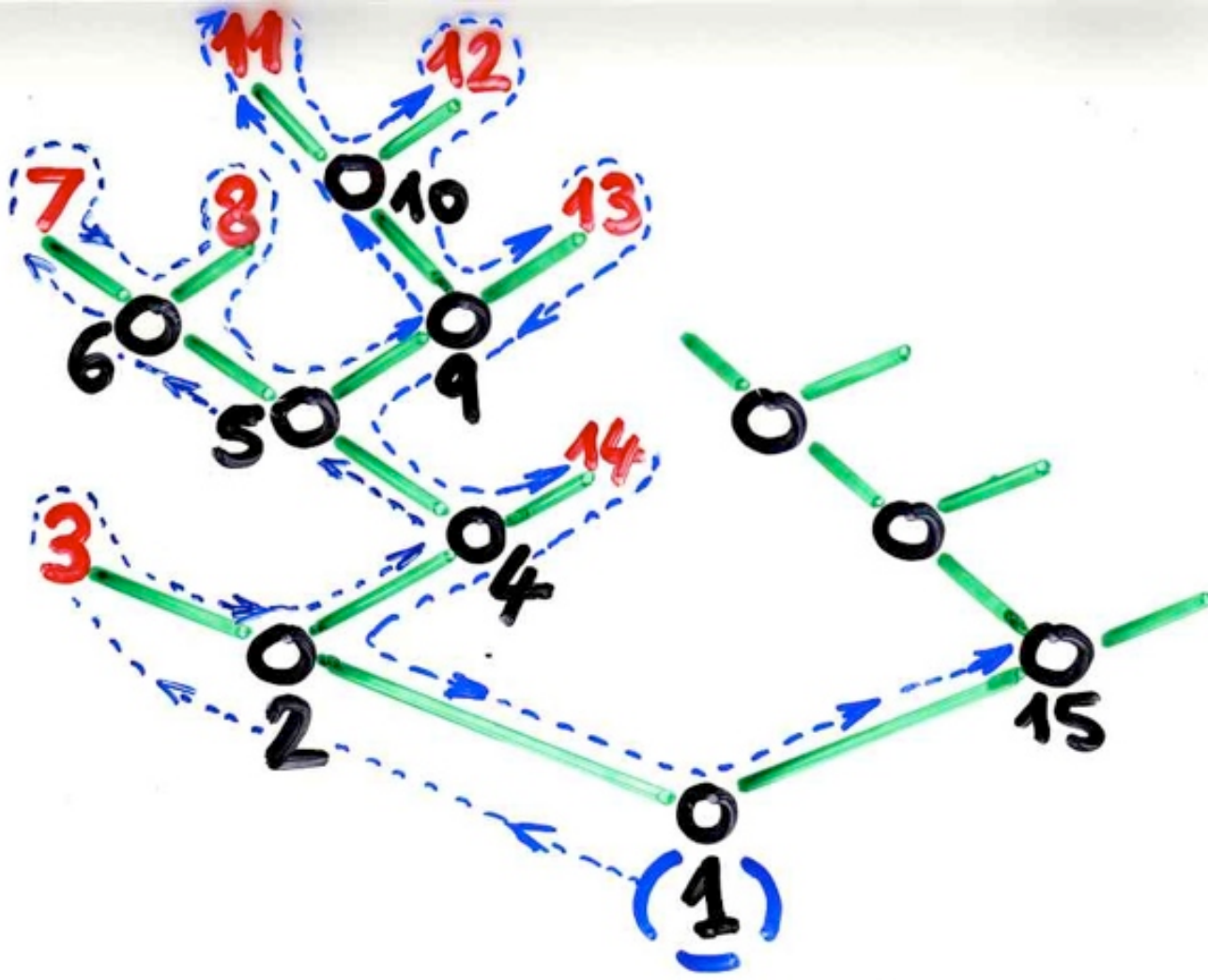


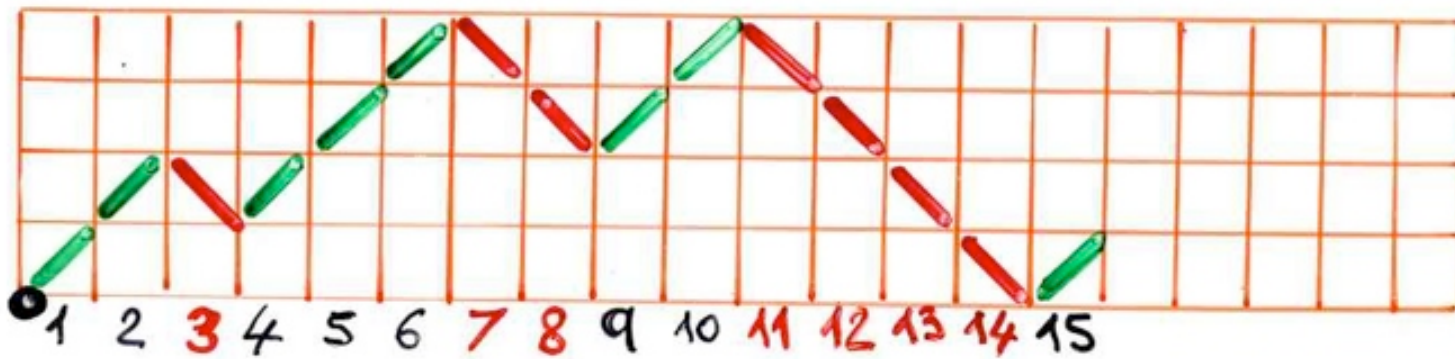
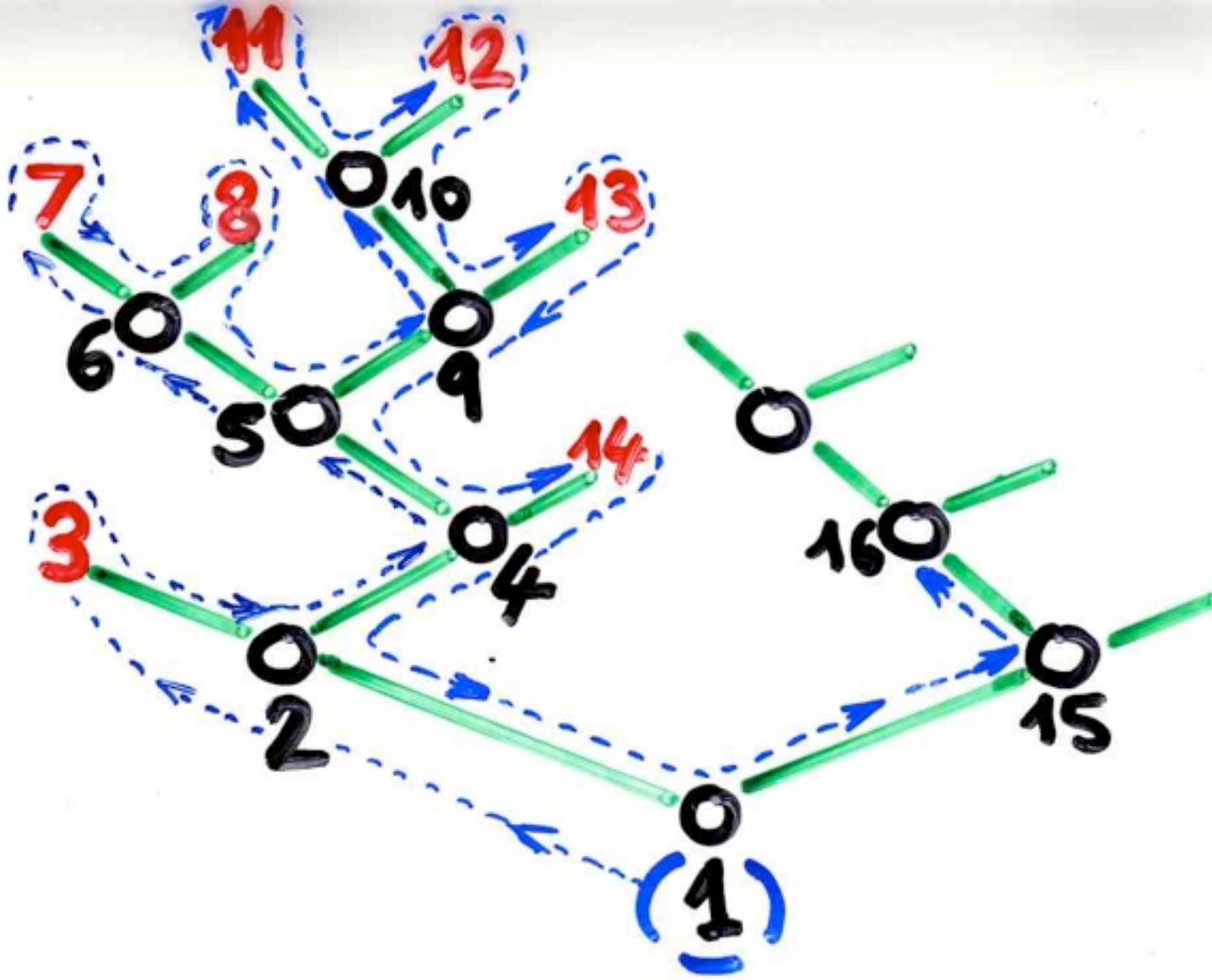


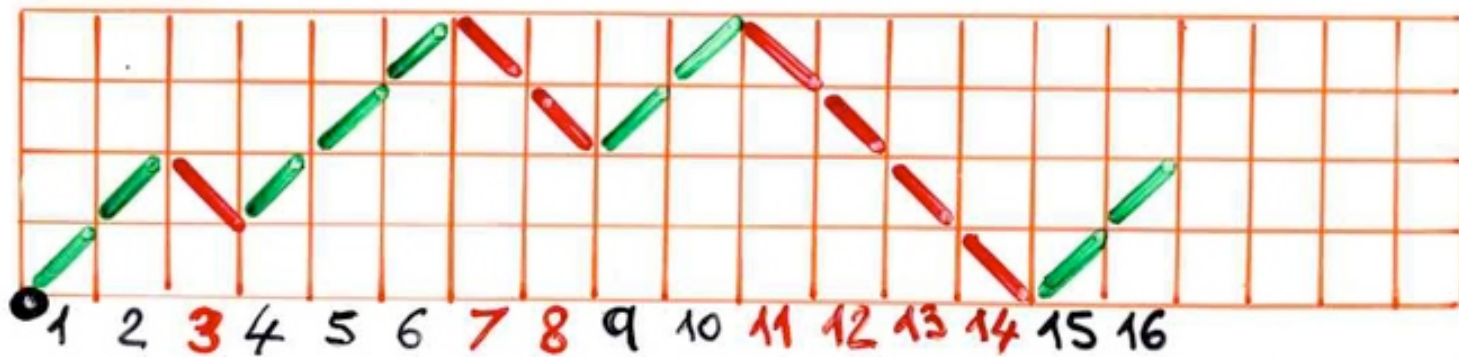
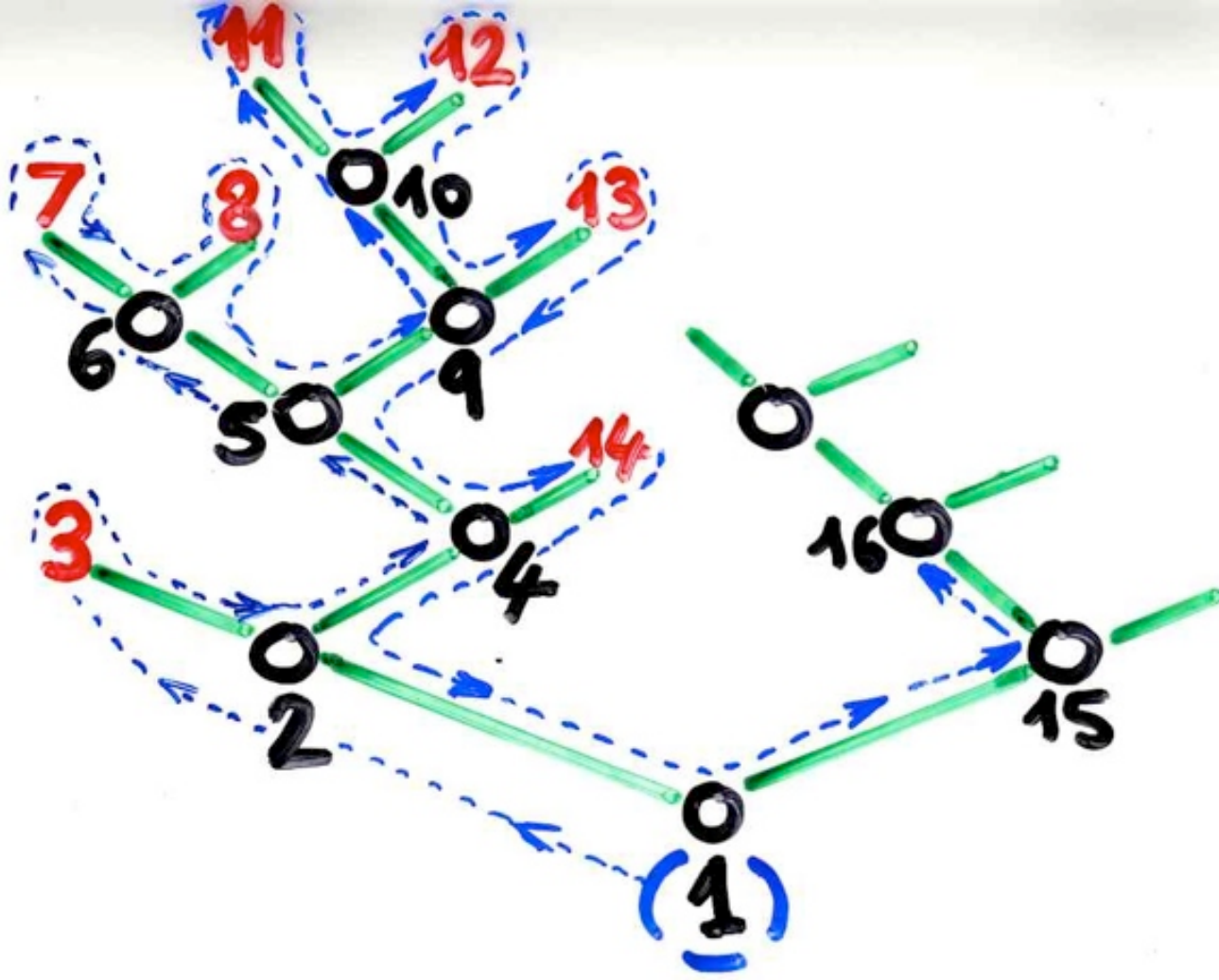


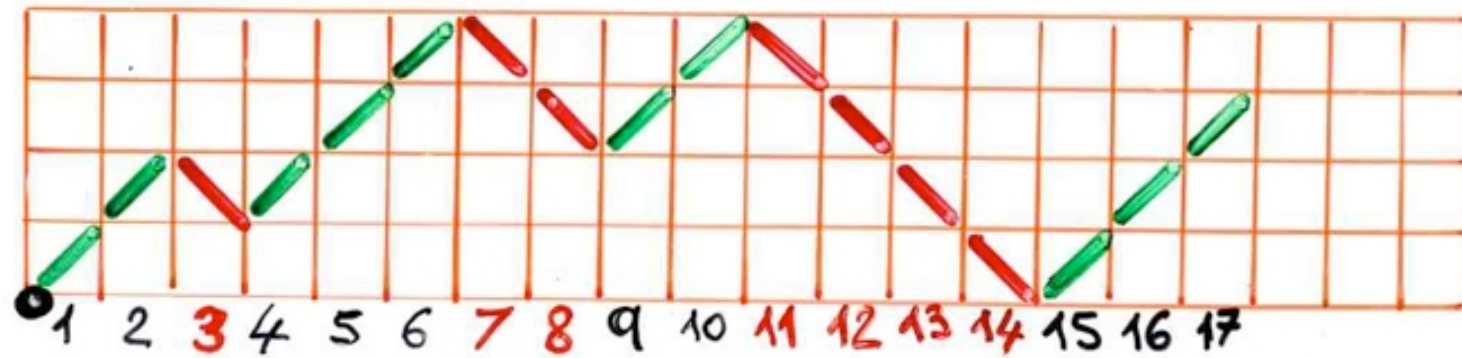
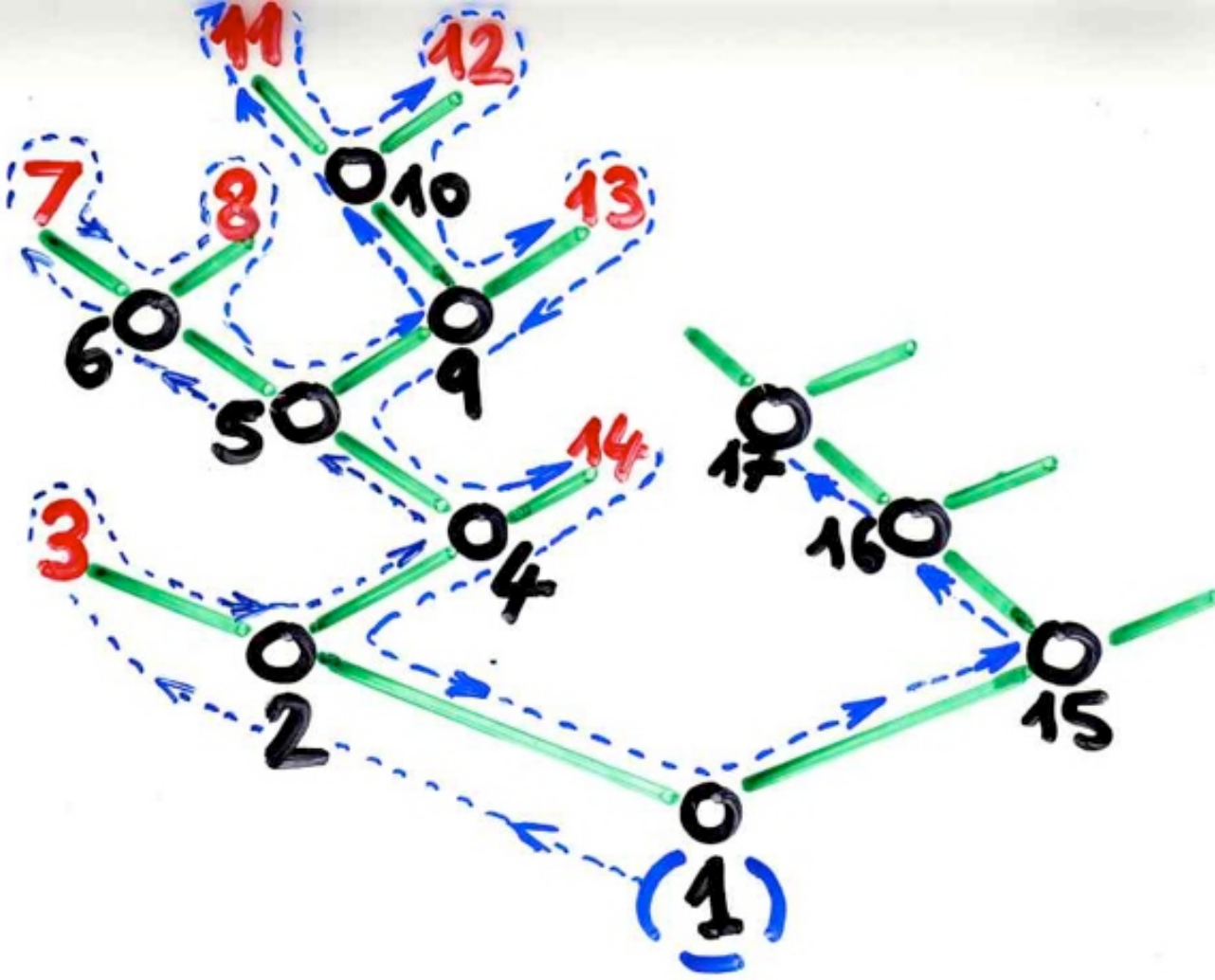


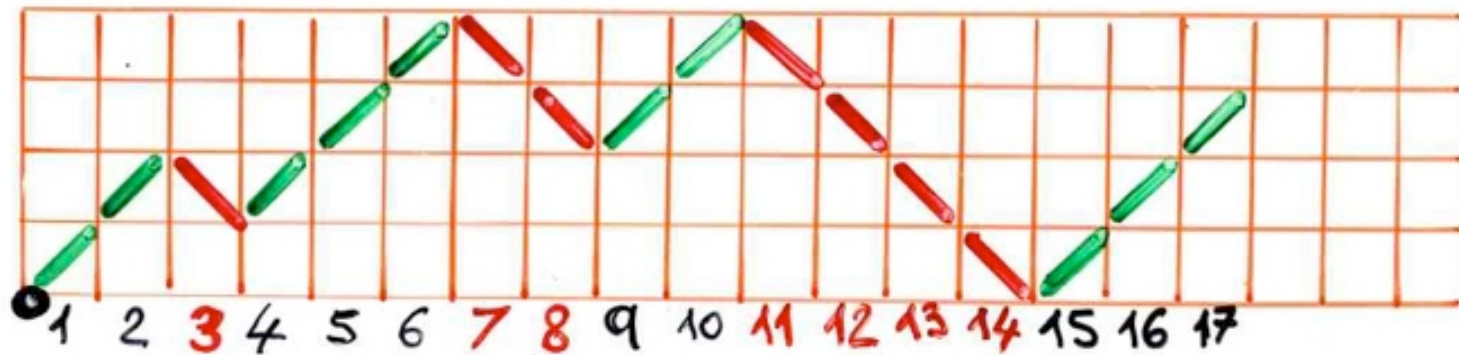
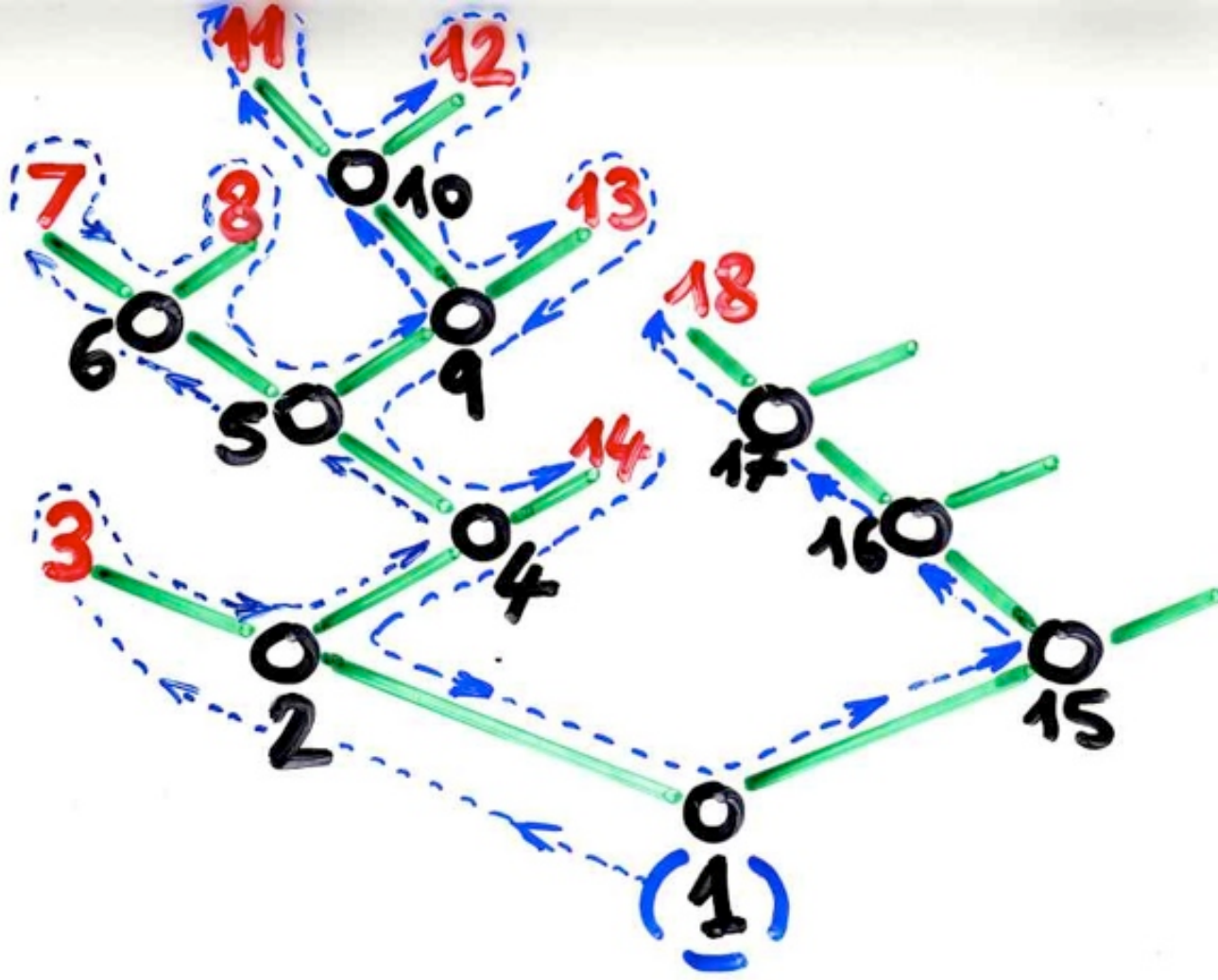


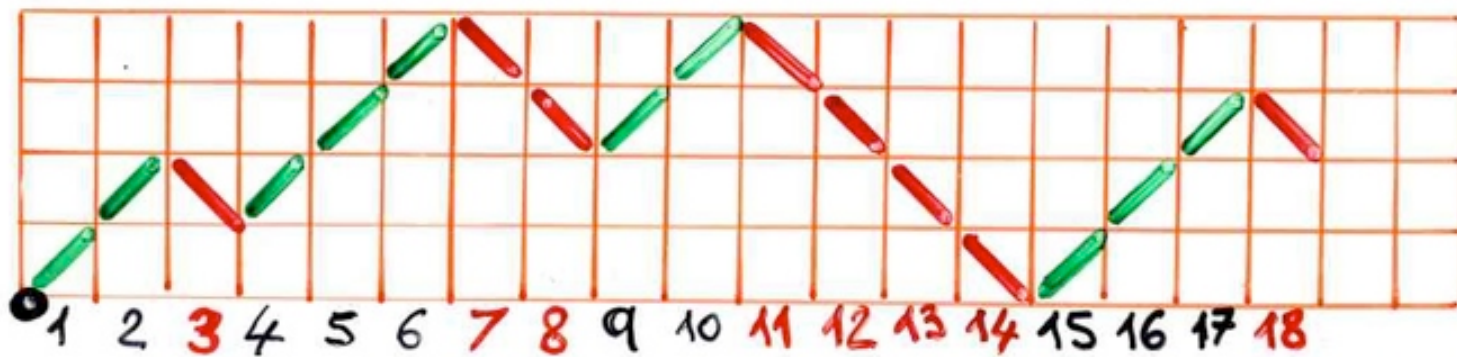
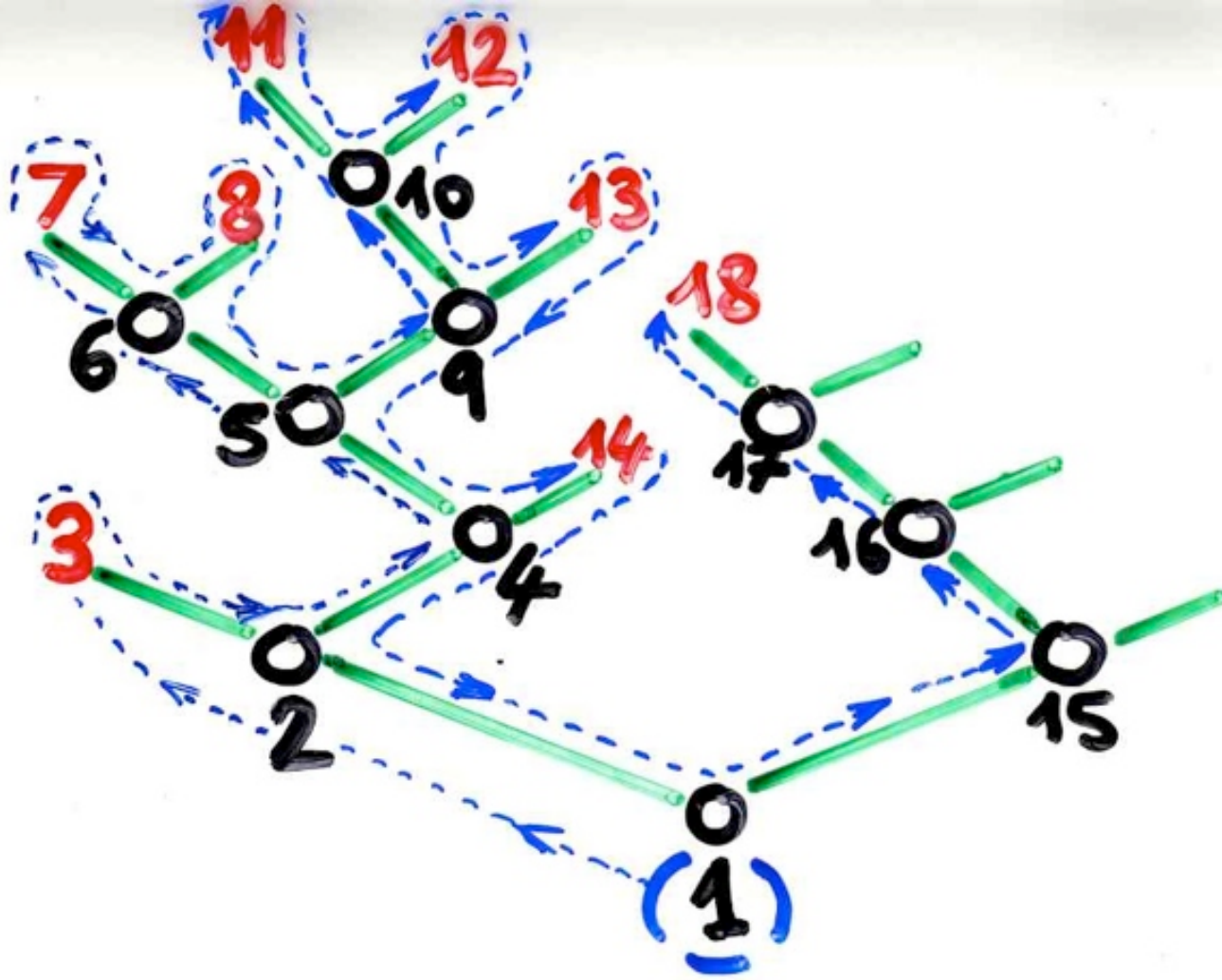


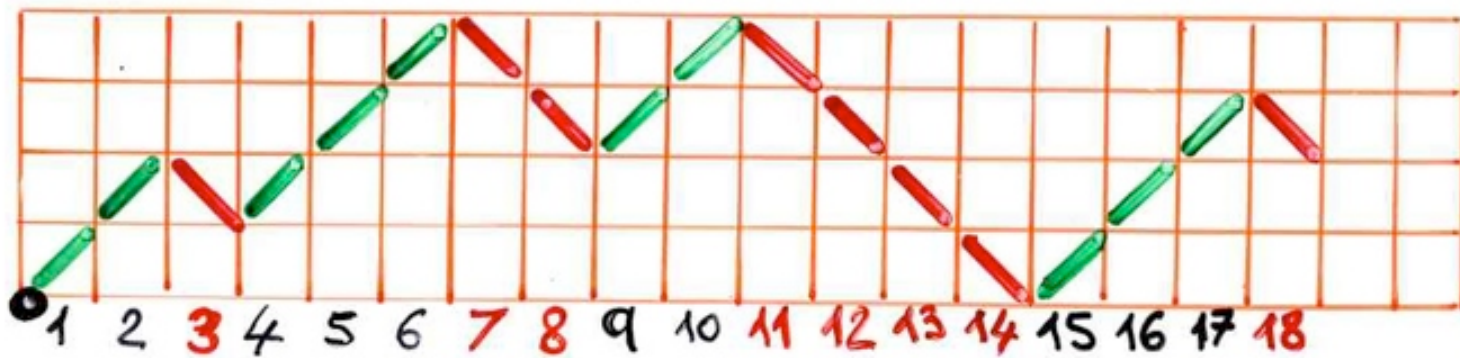
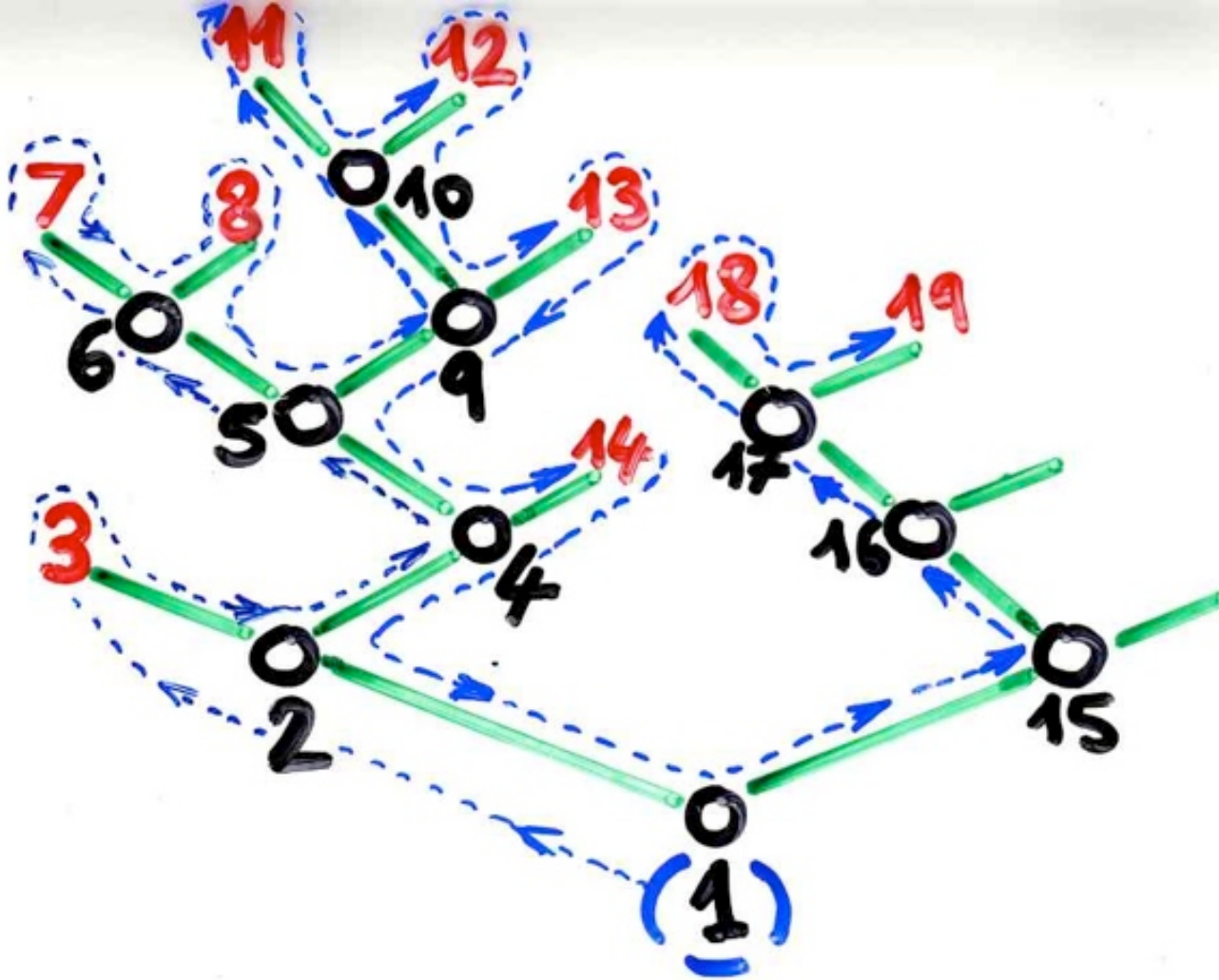


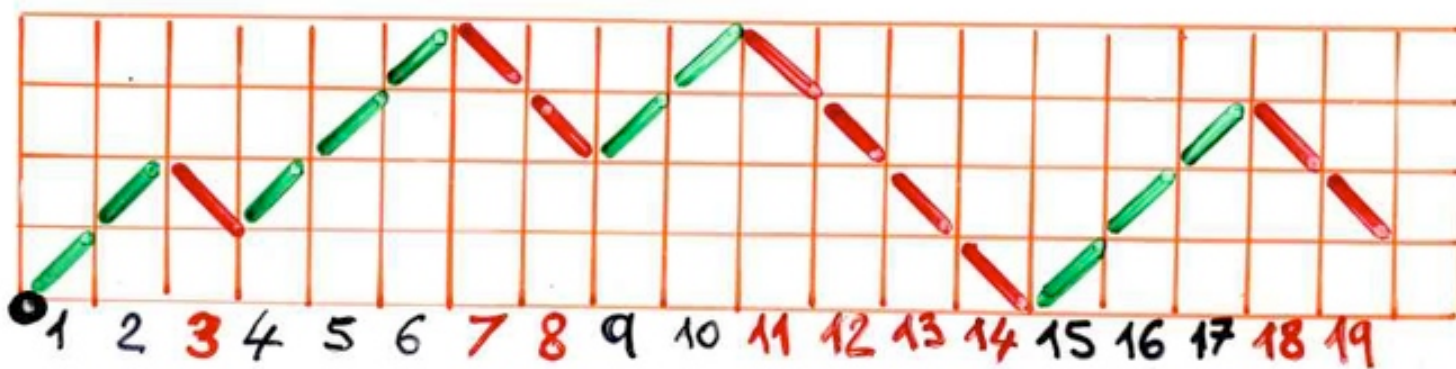
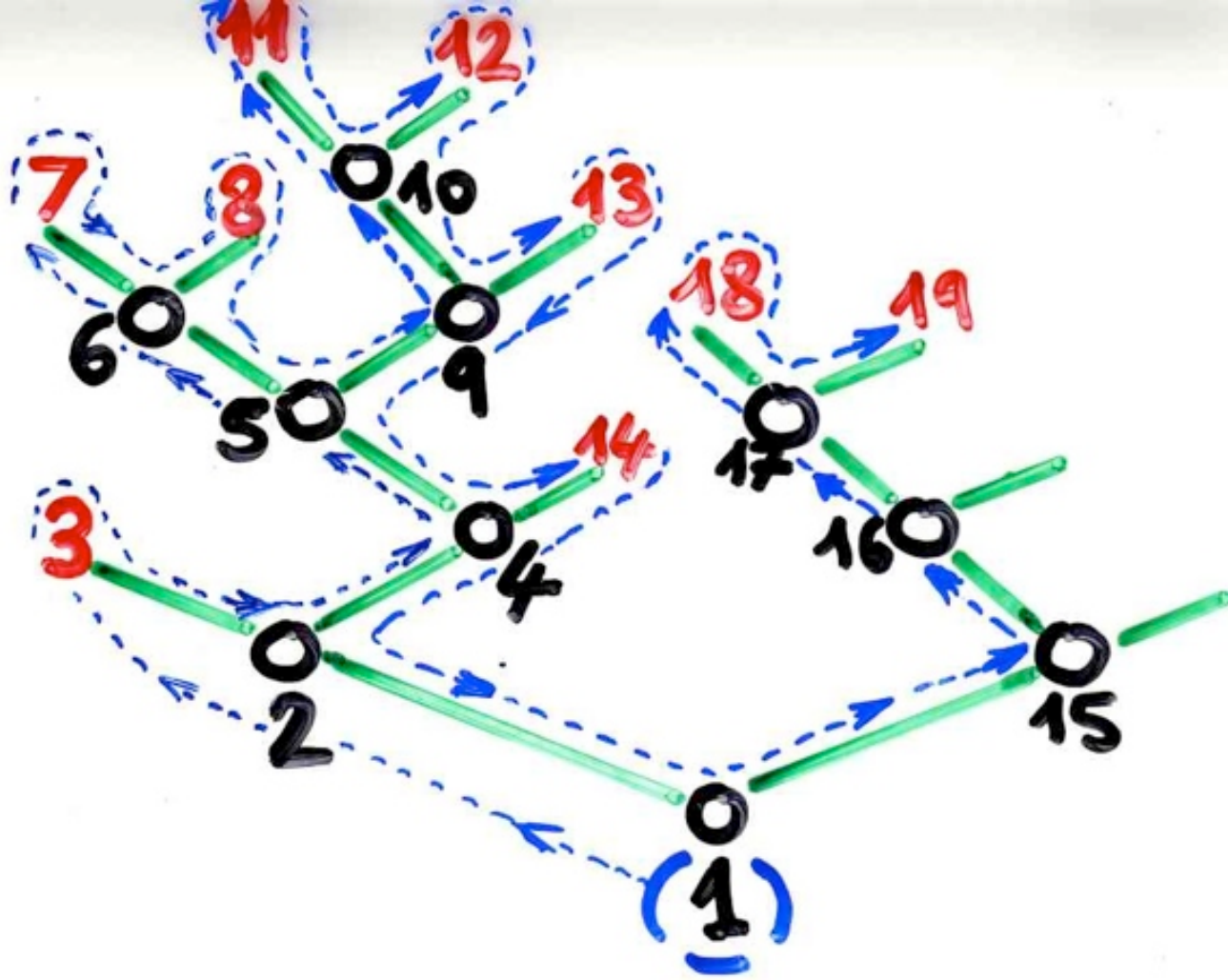


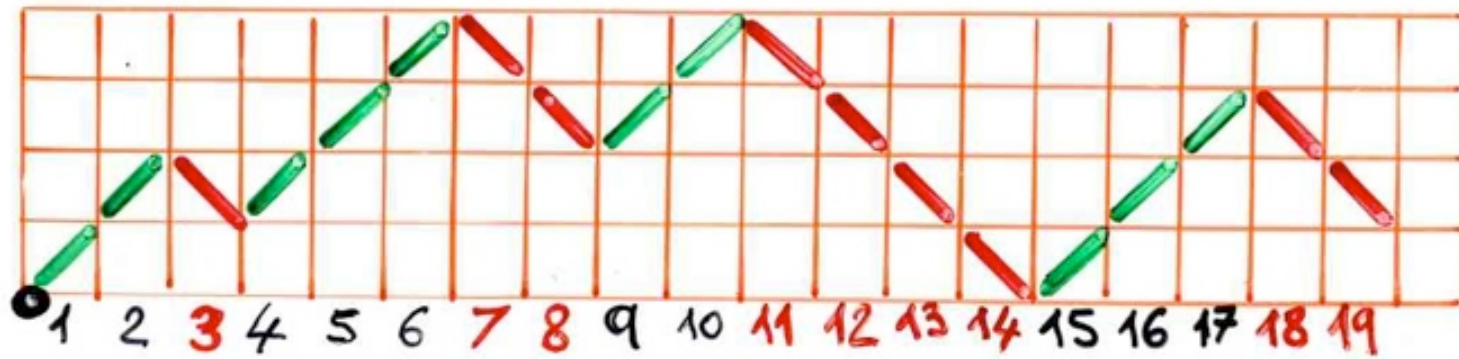
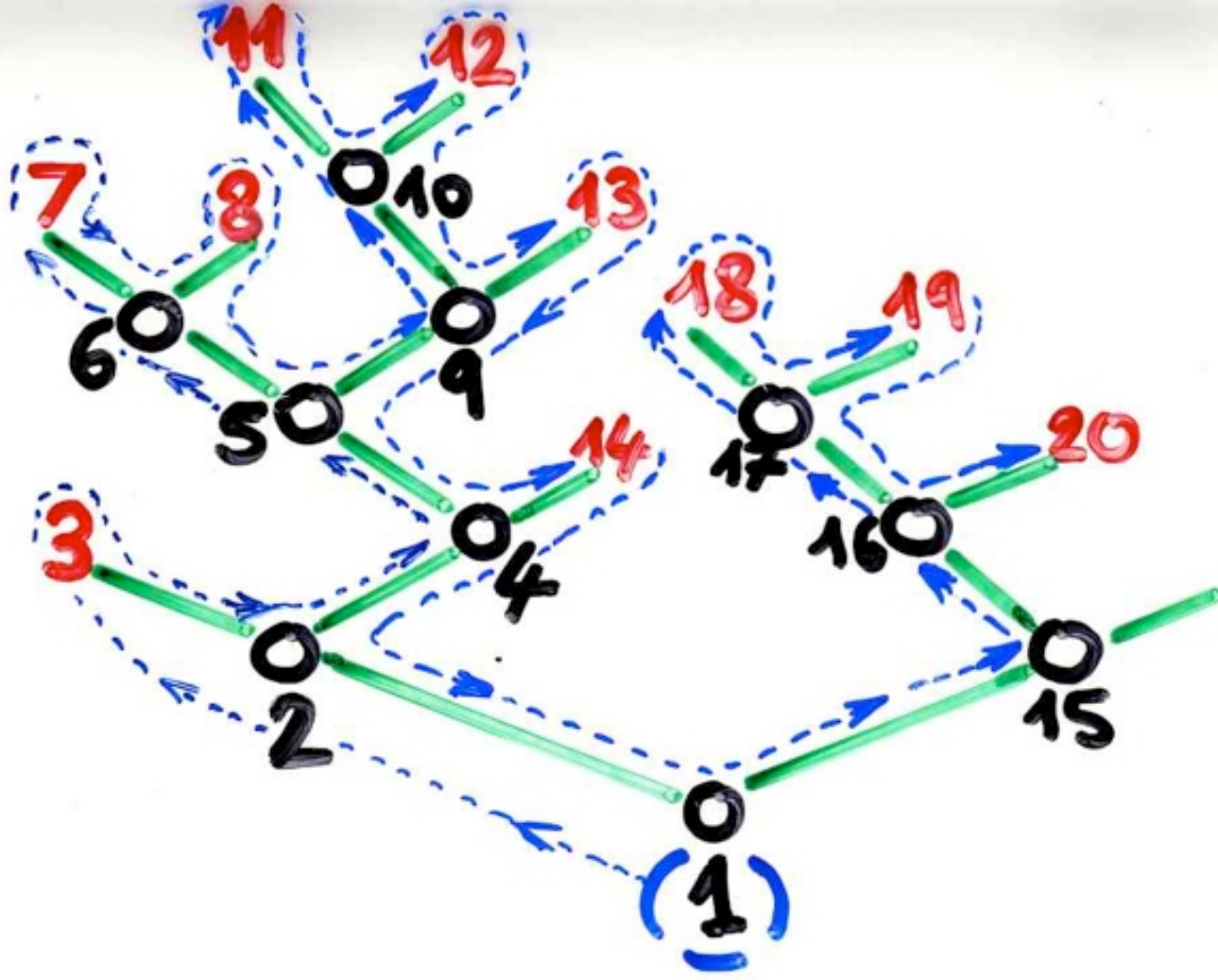


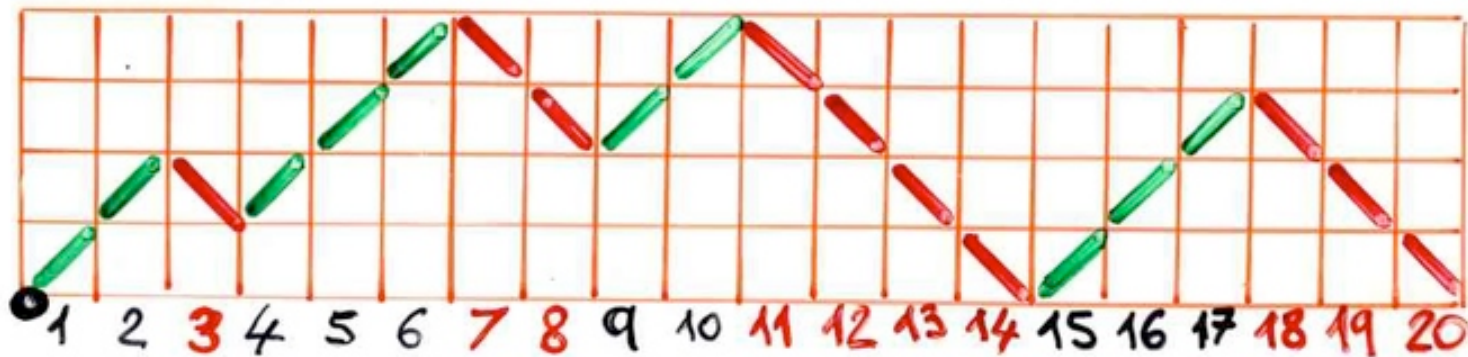
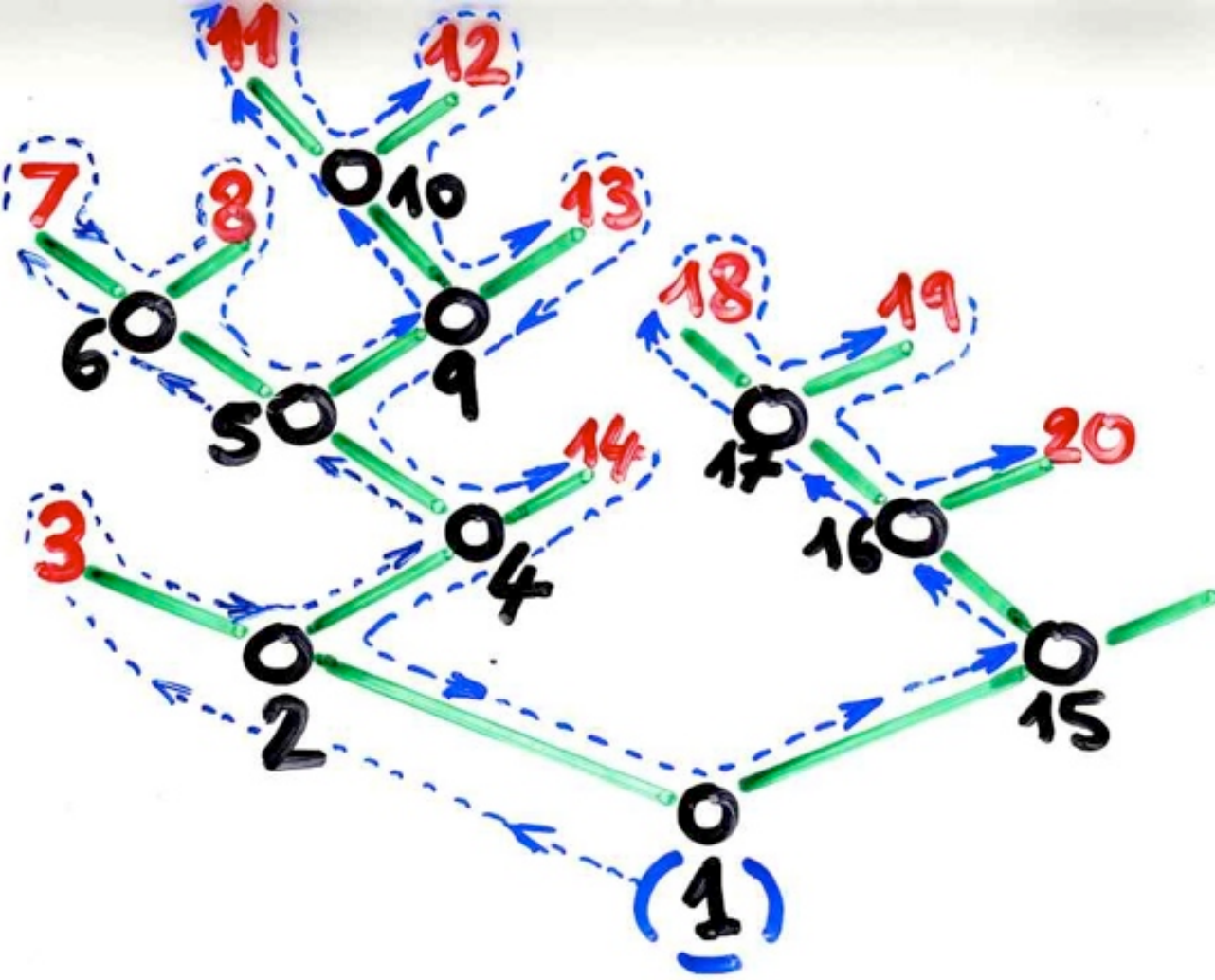


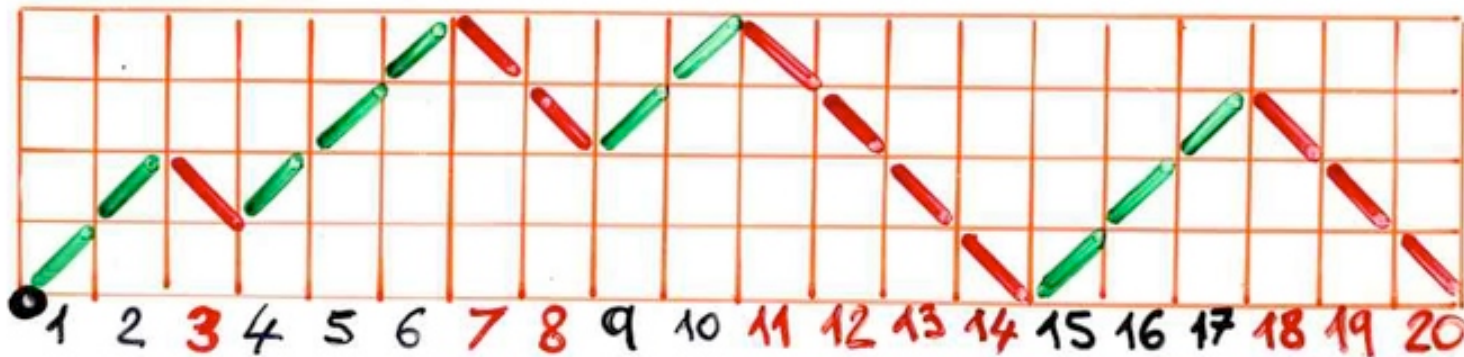
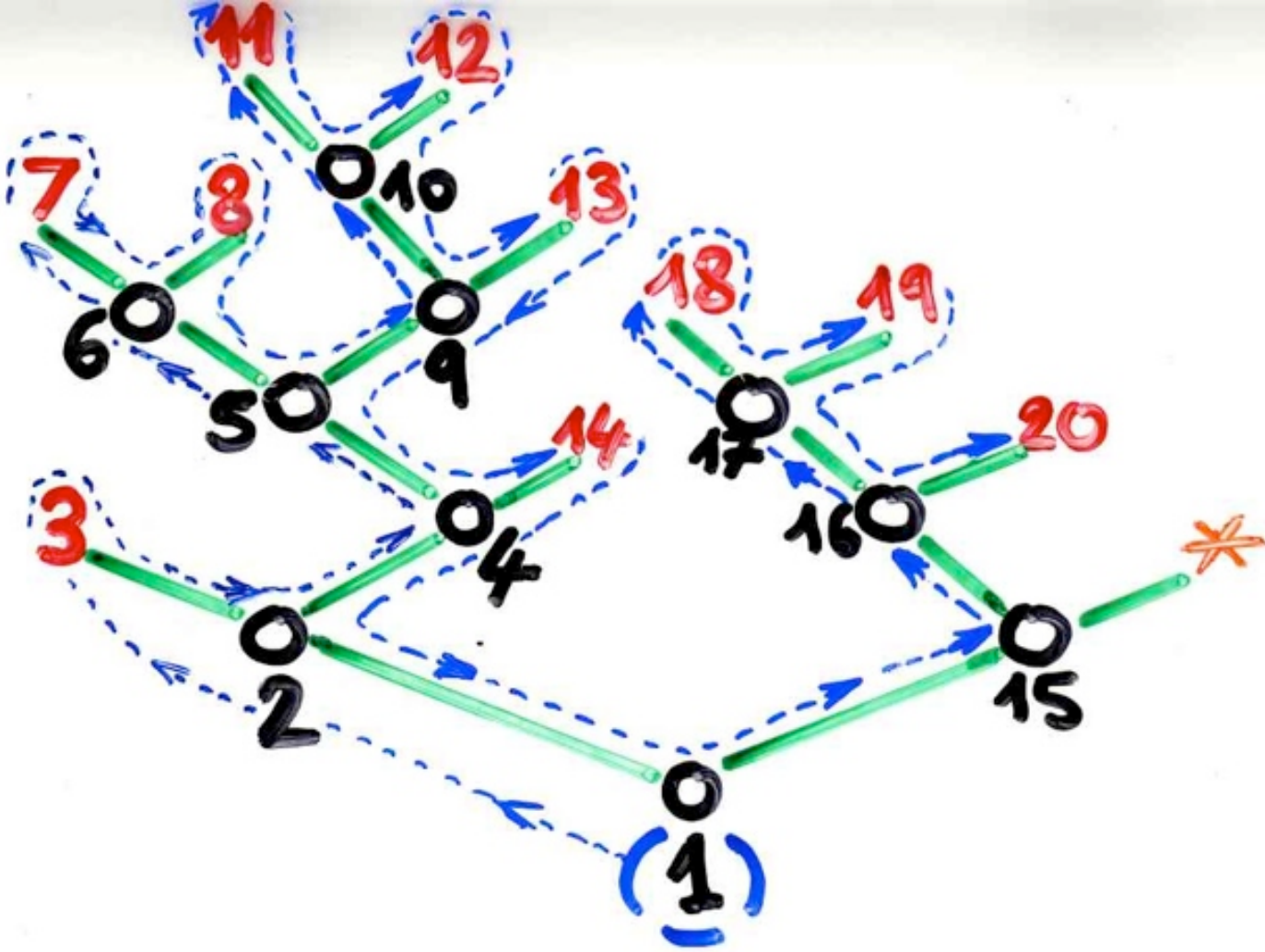




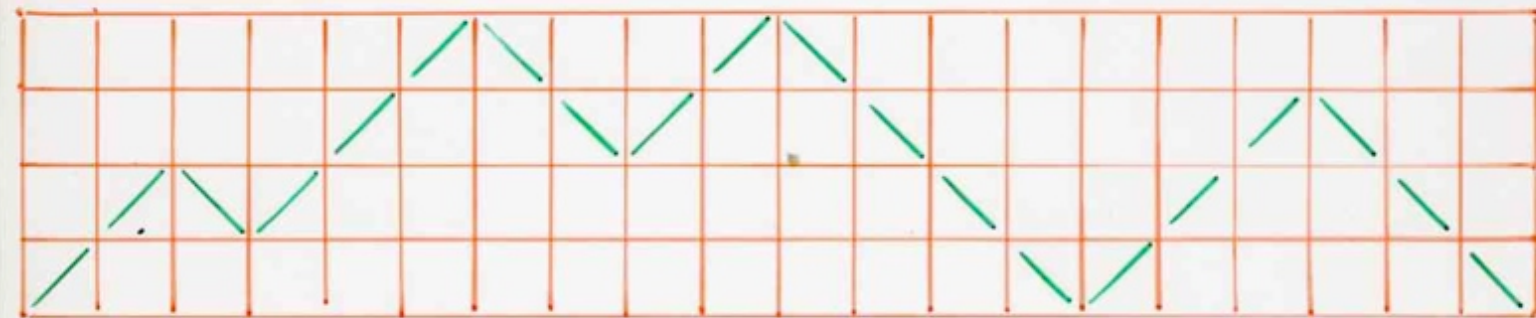


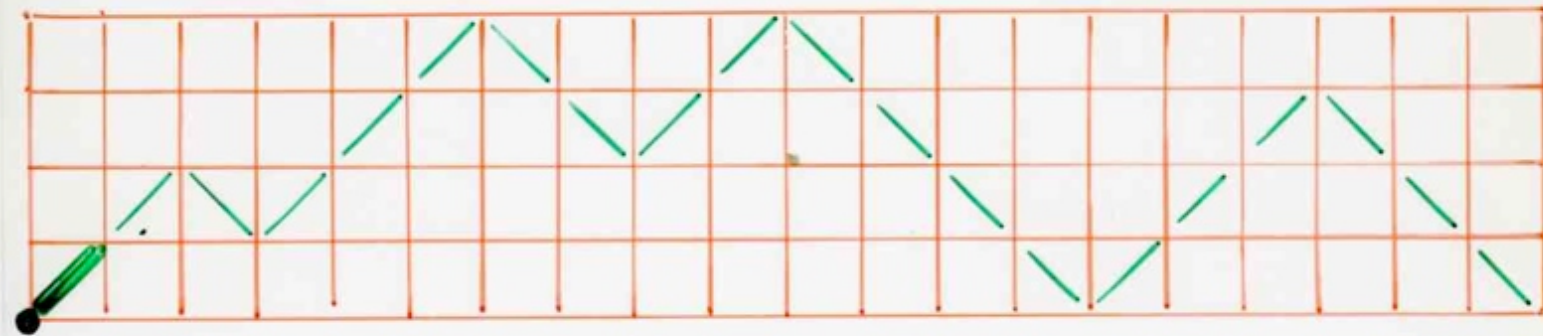


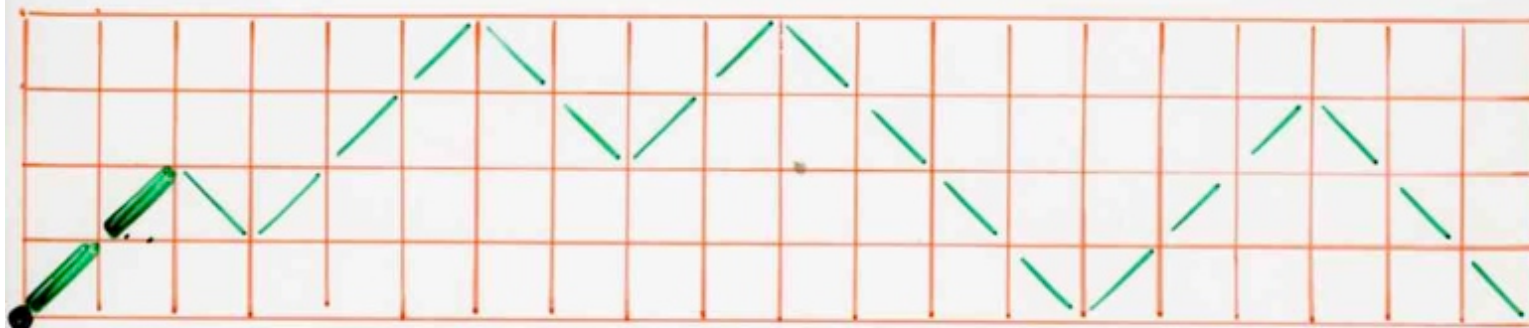
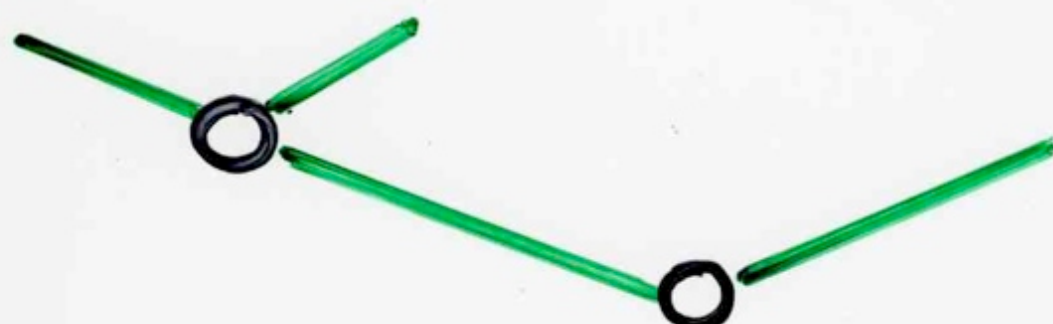


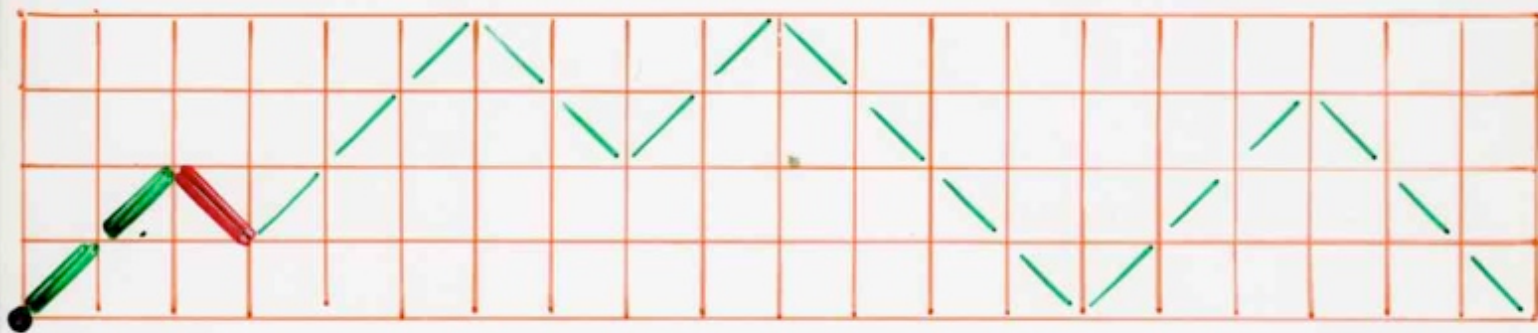
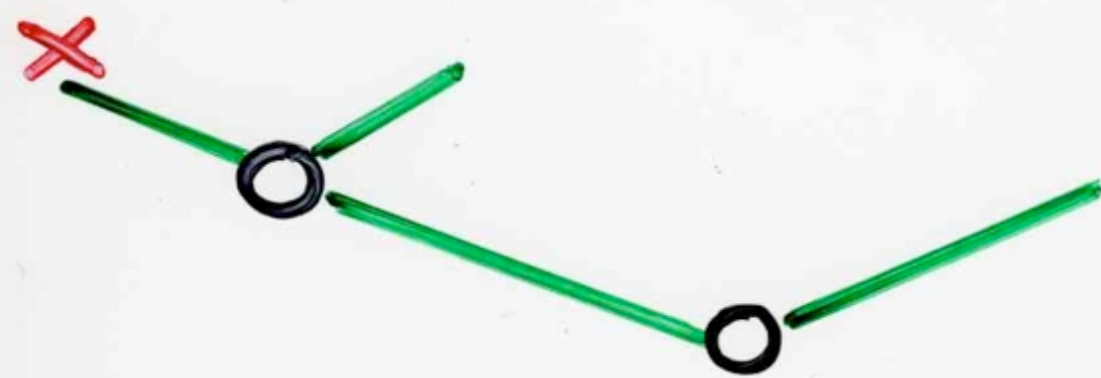


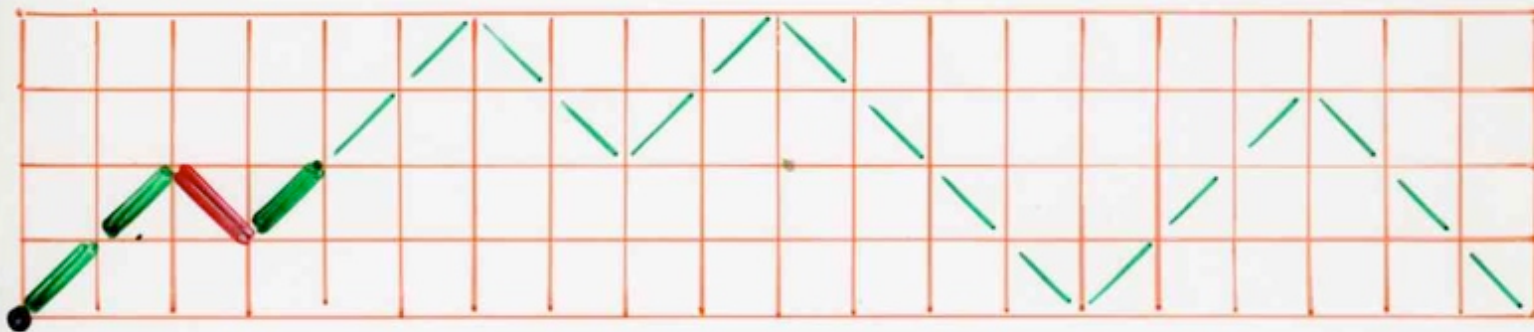
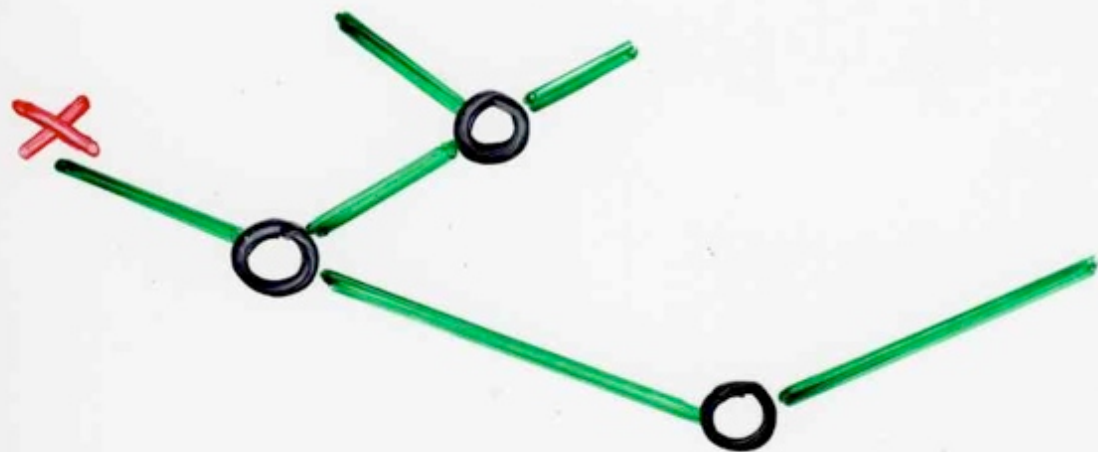
bijection inverse

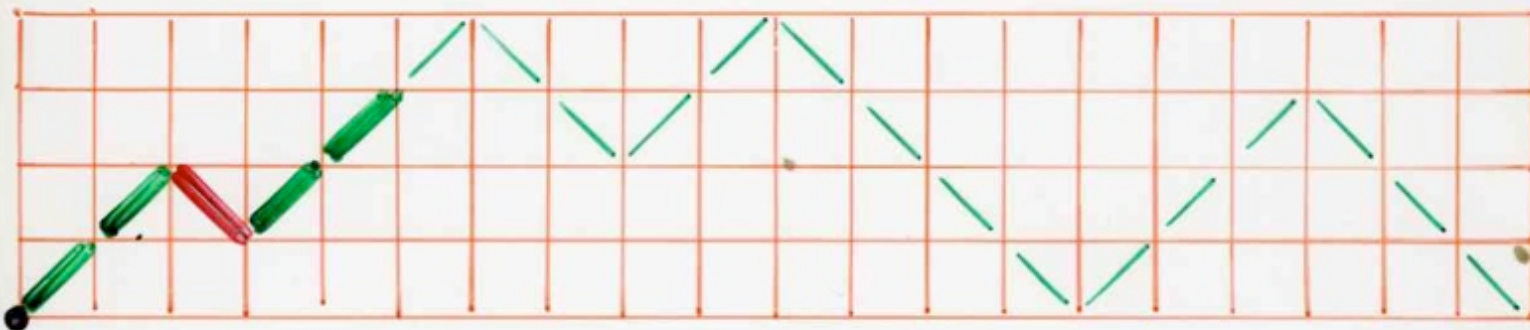
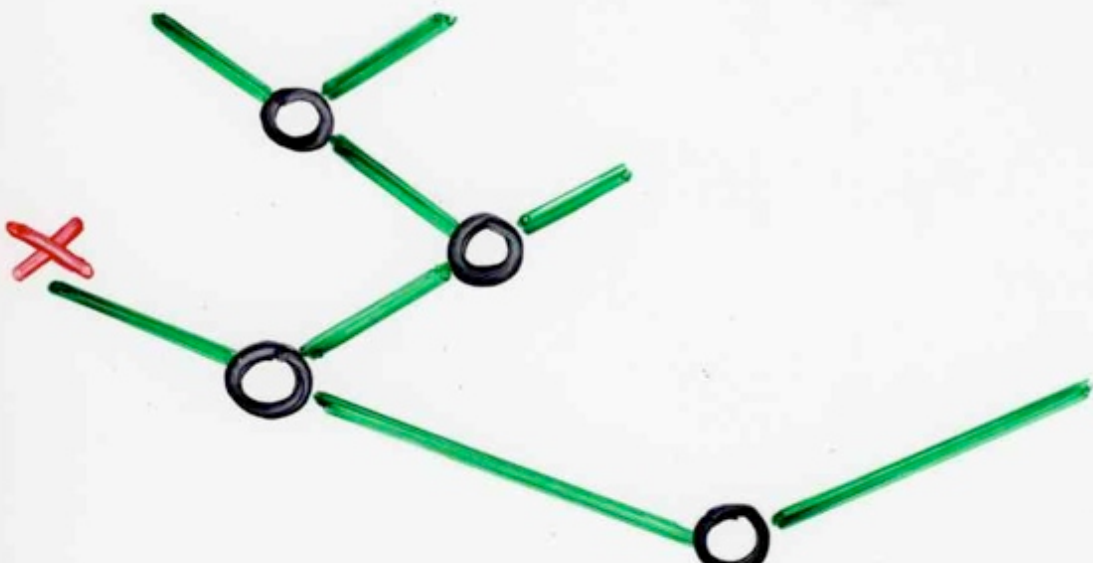


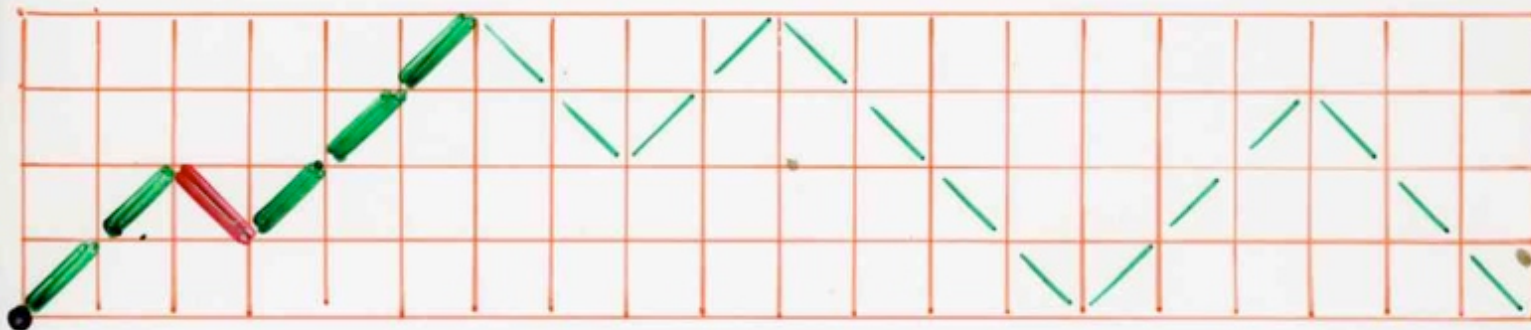
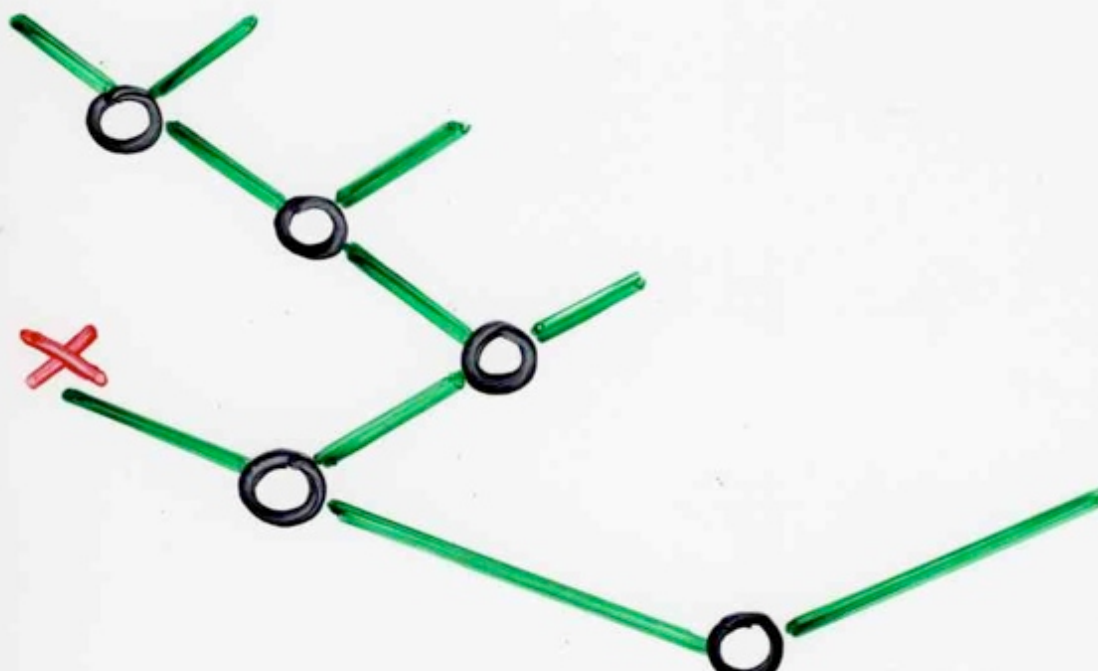


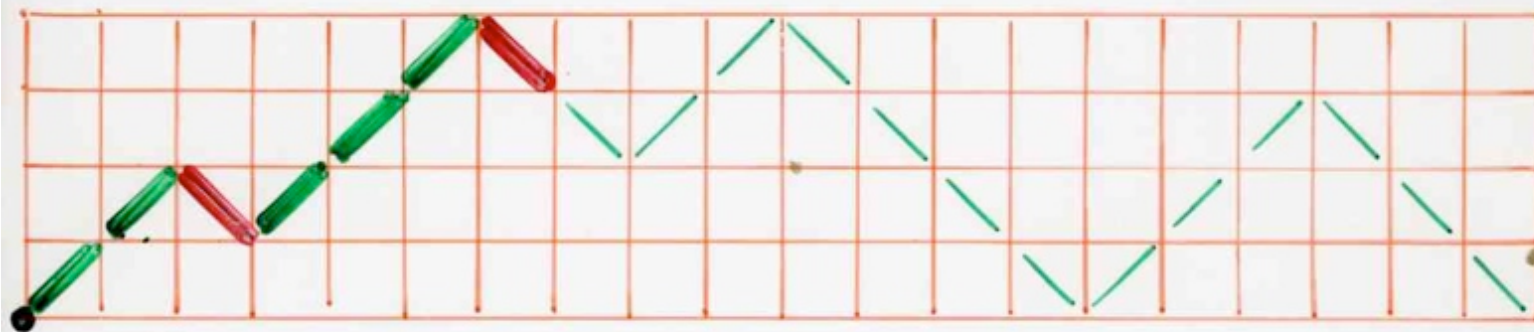
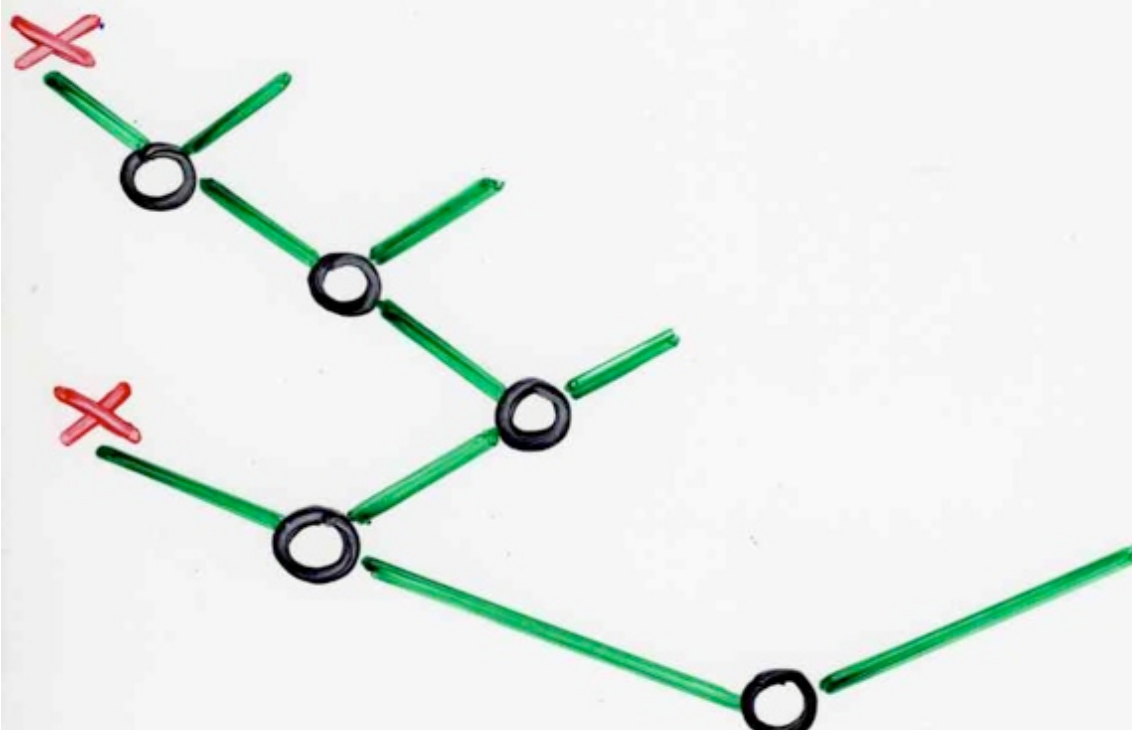


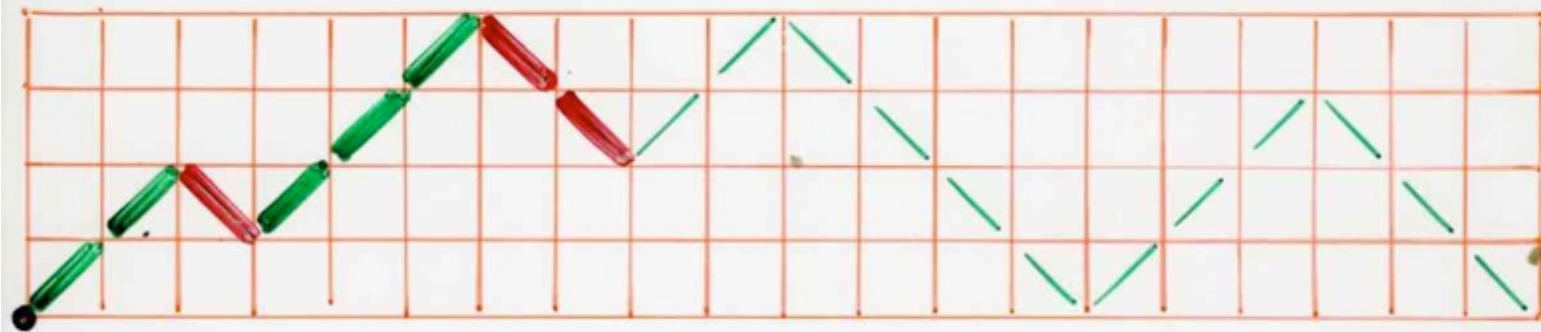
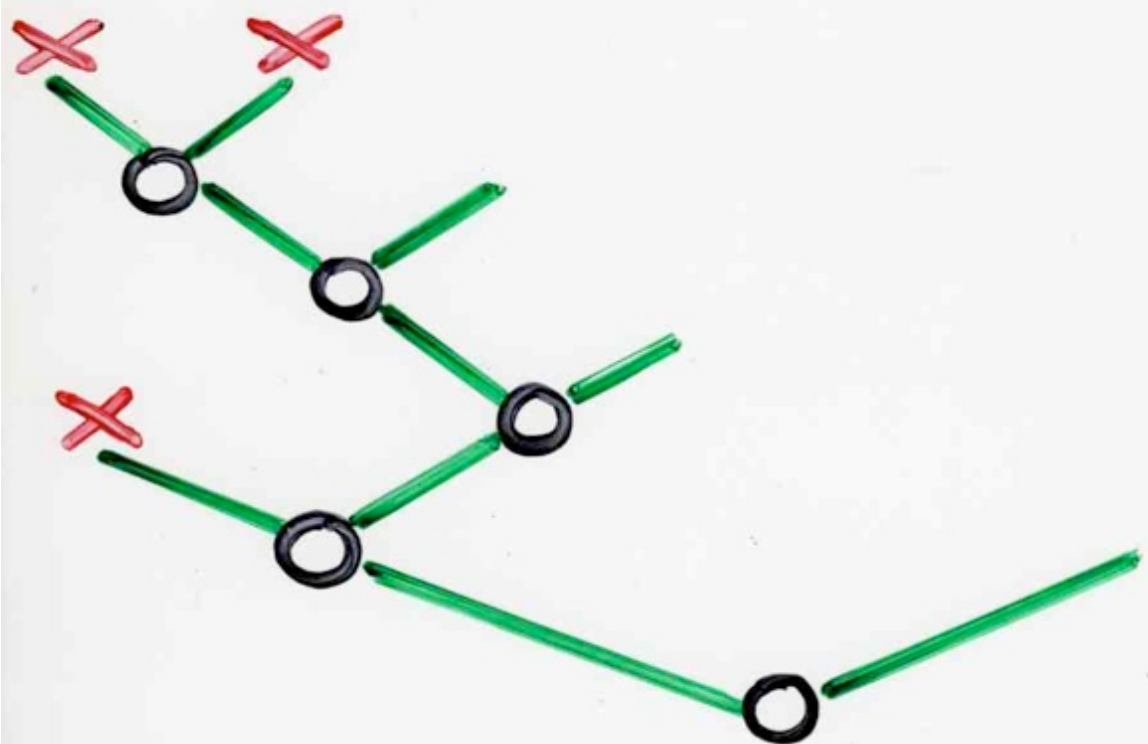


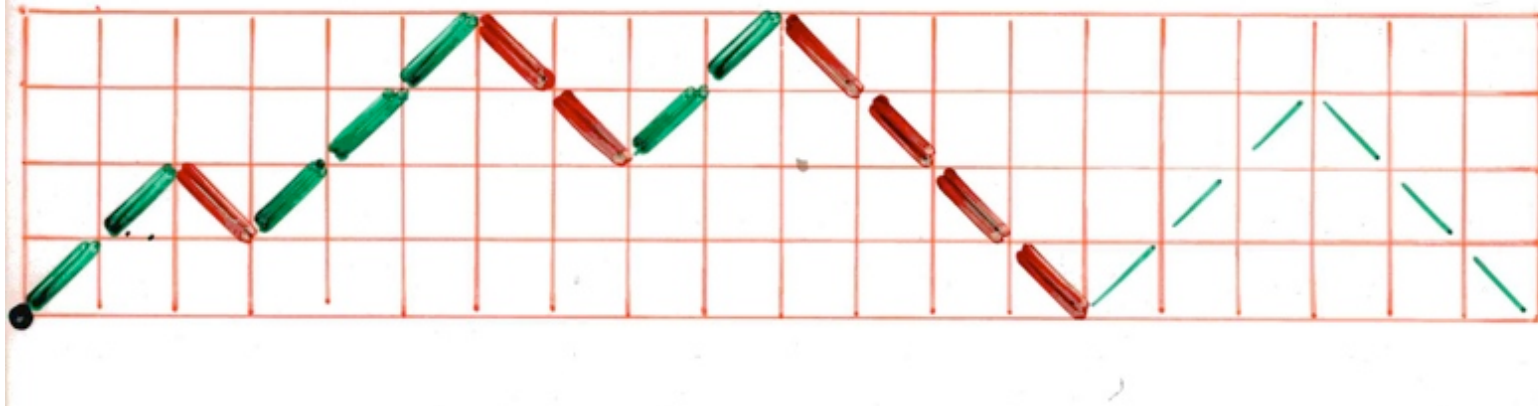
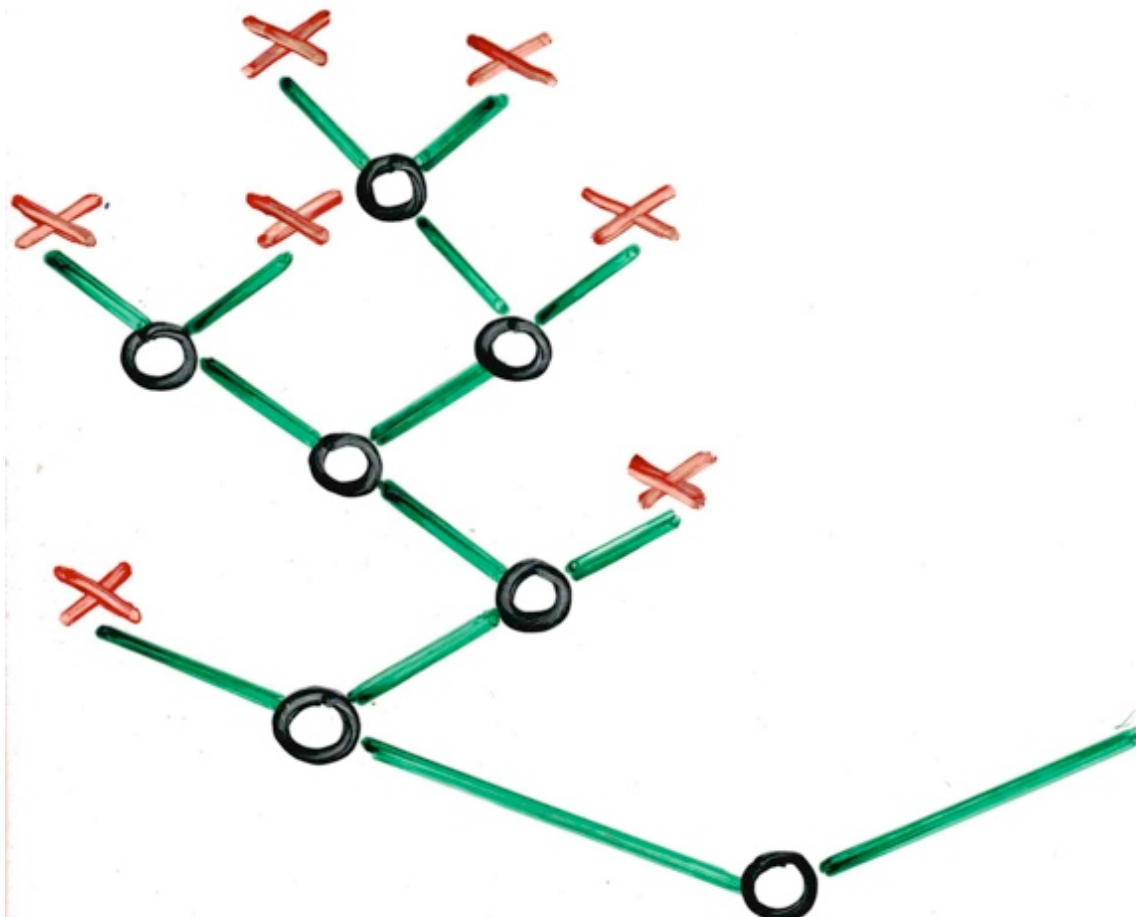


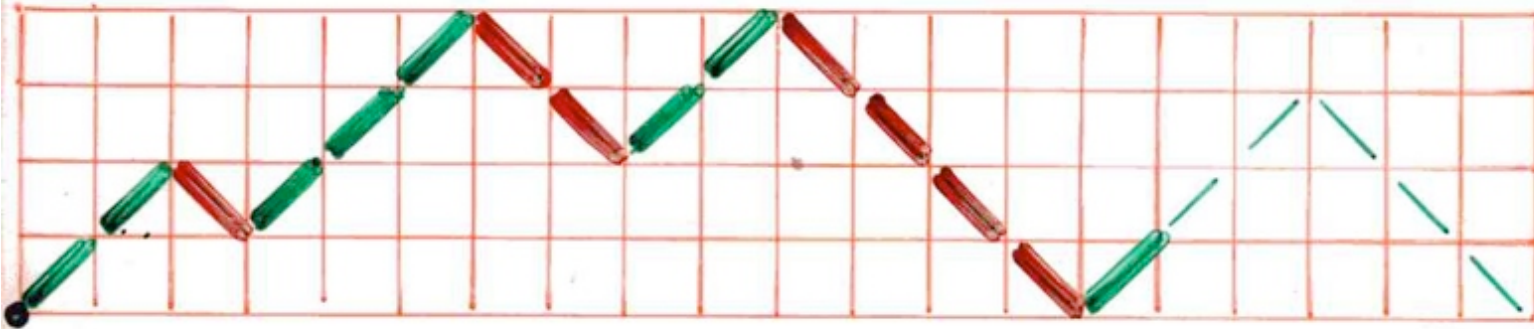
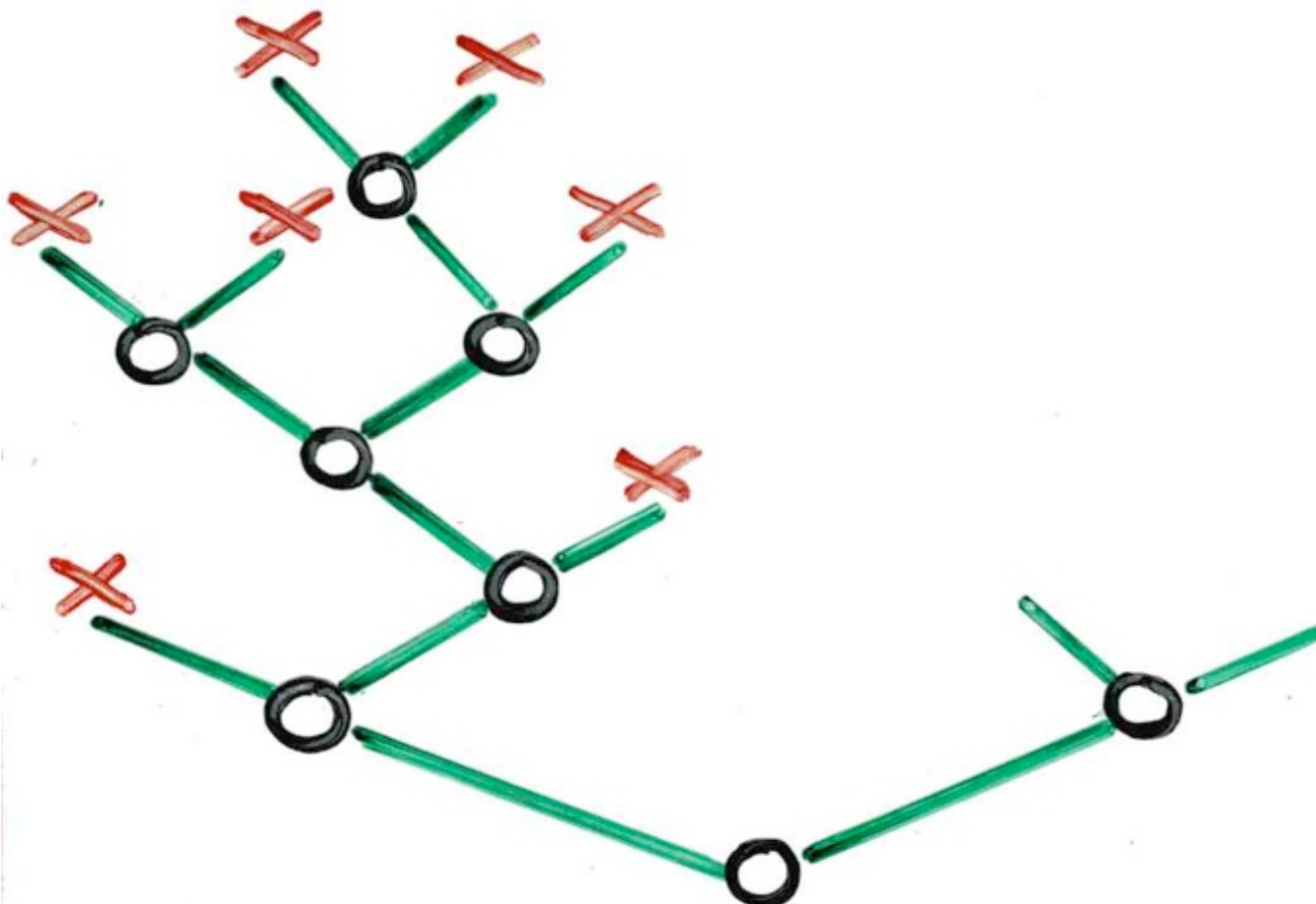


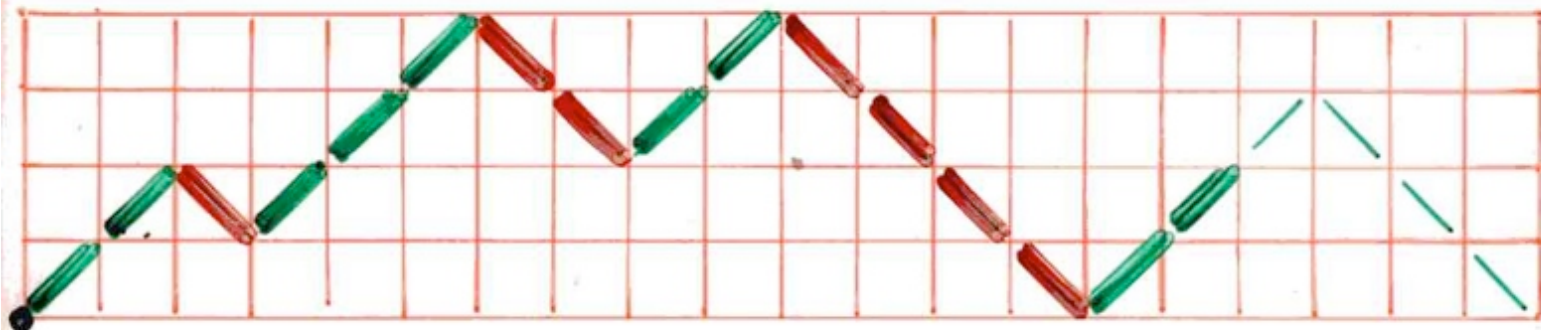
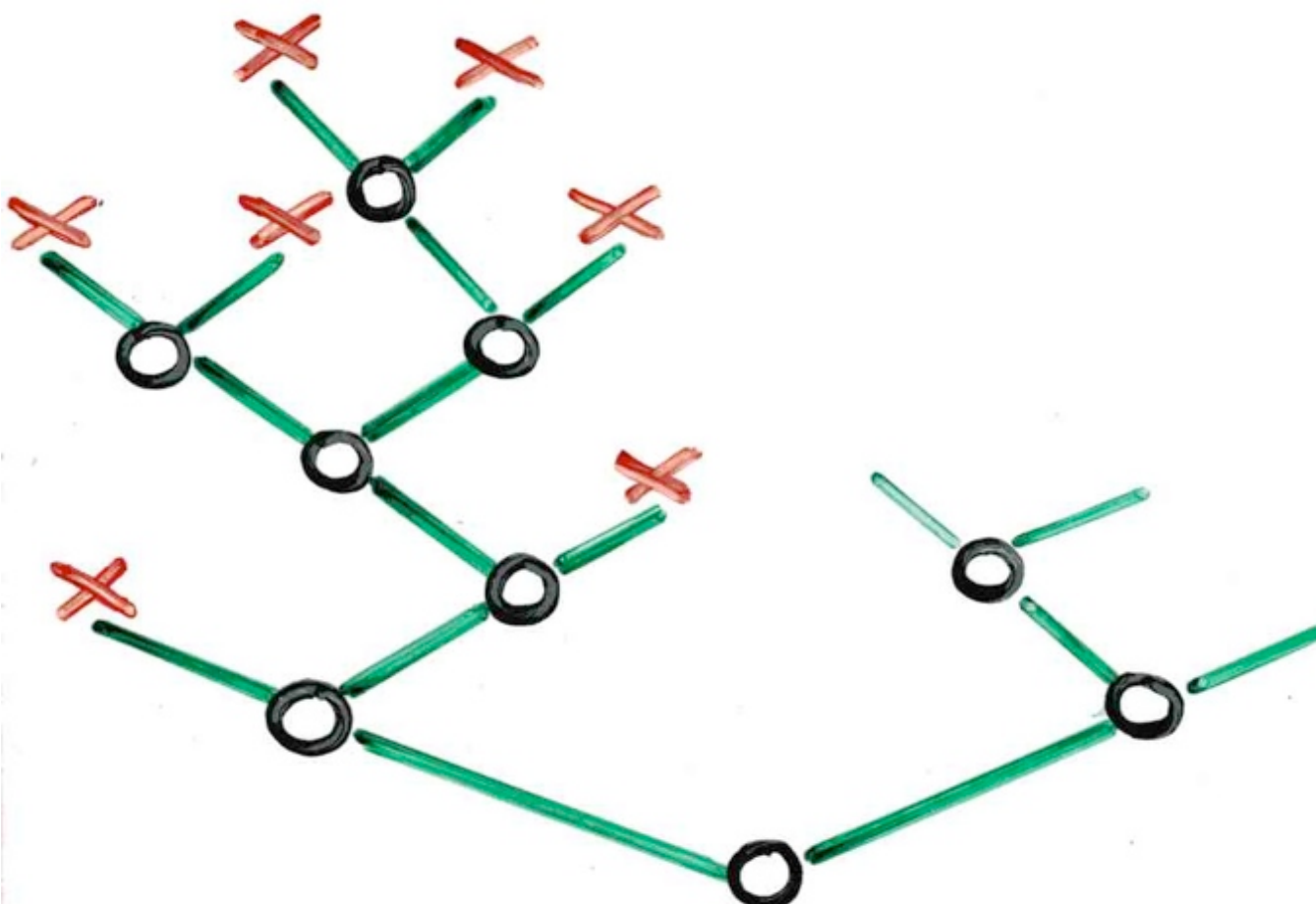


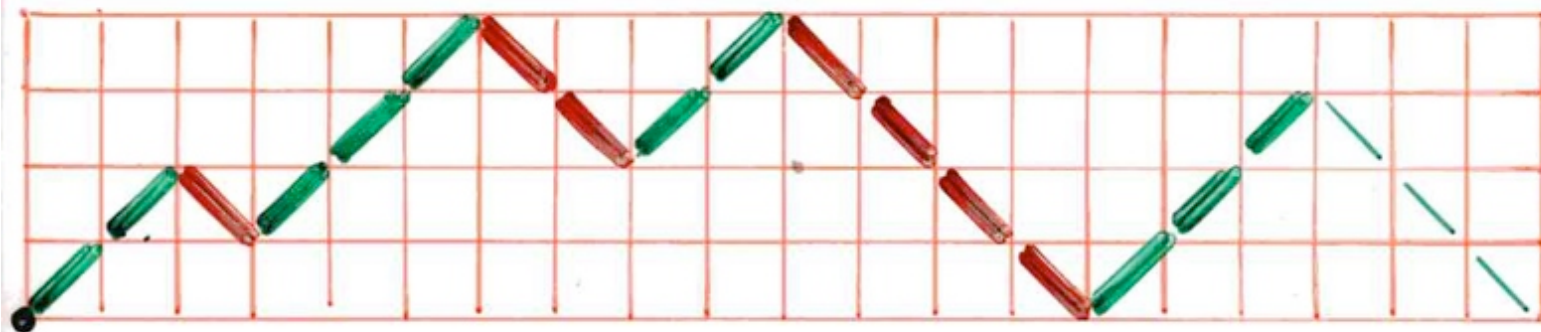
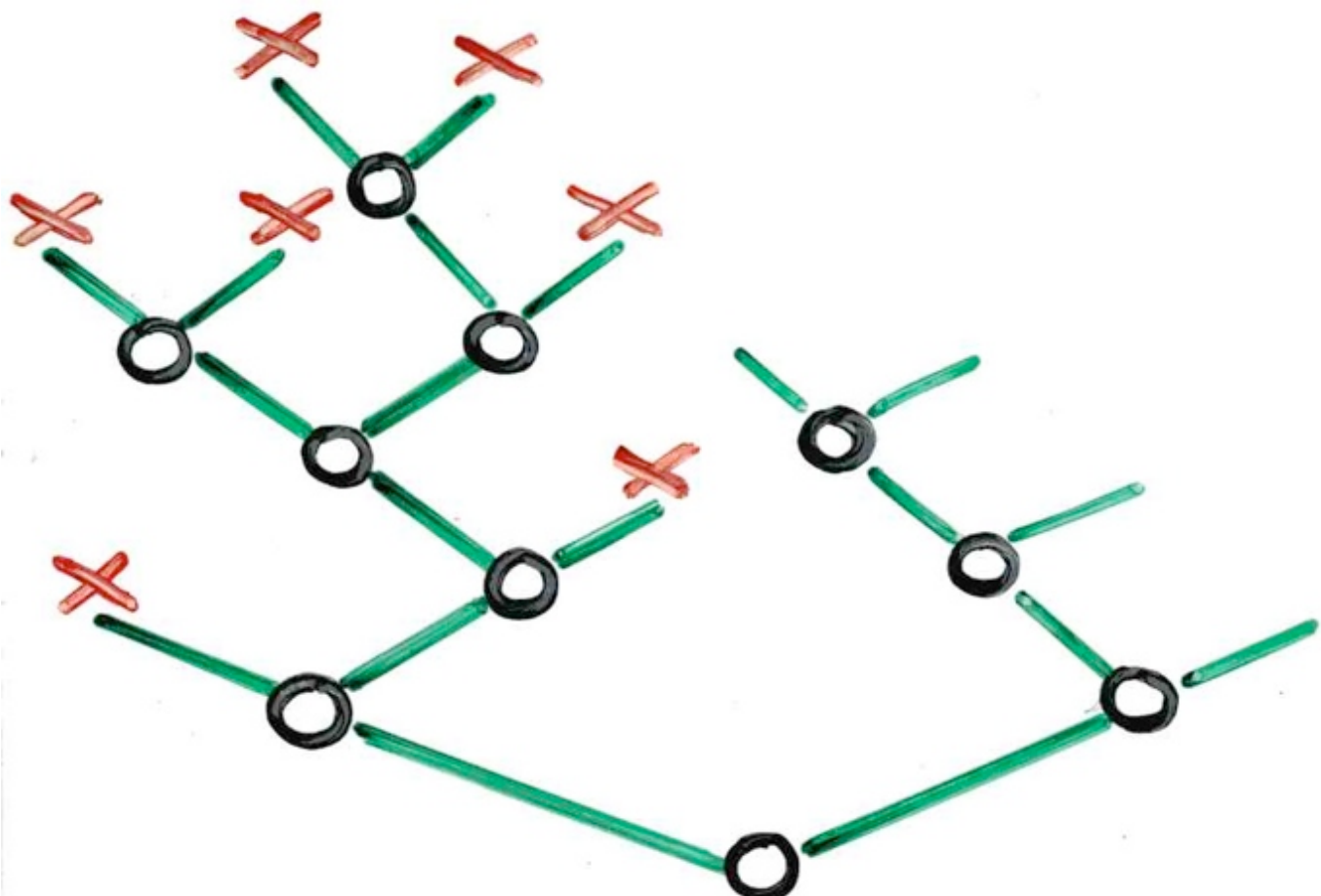


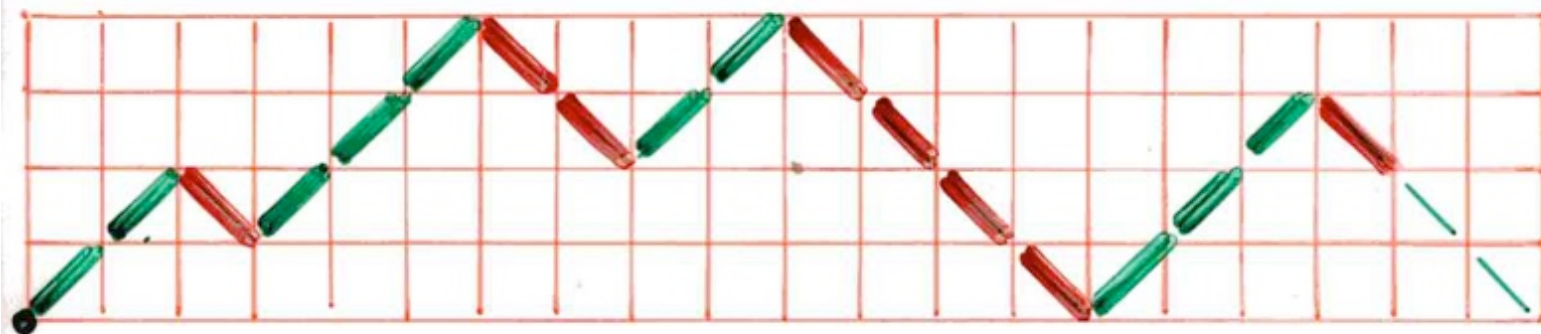
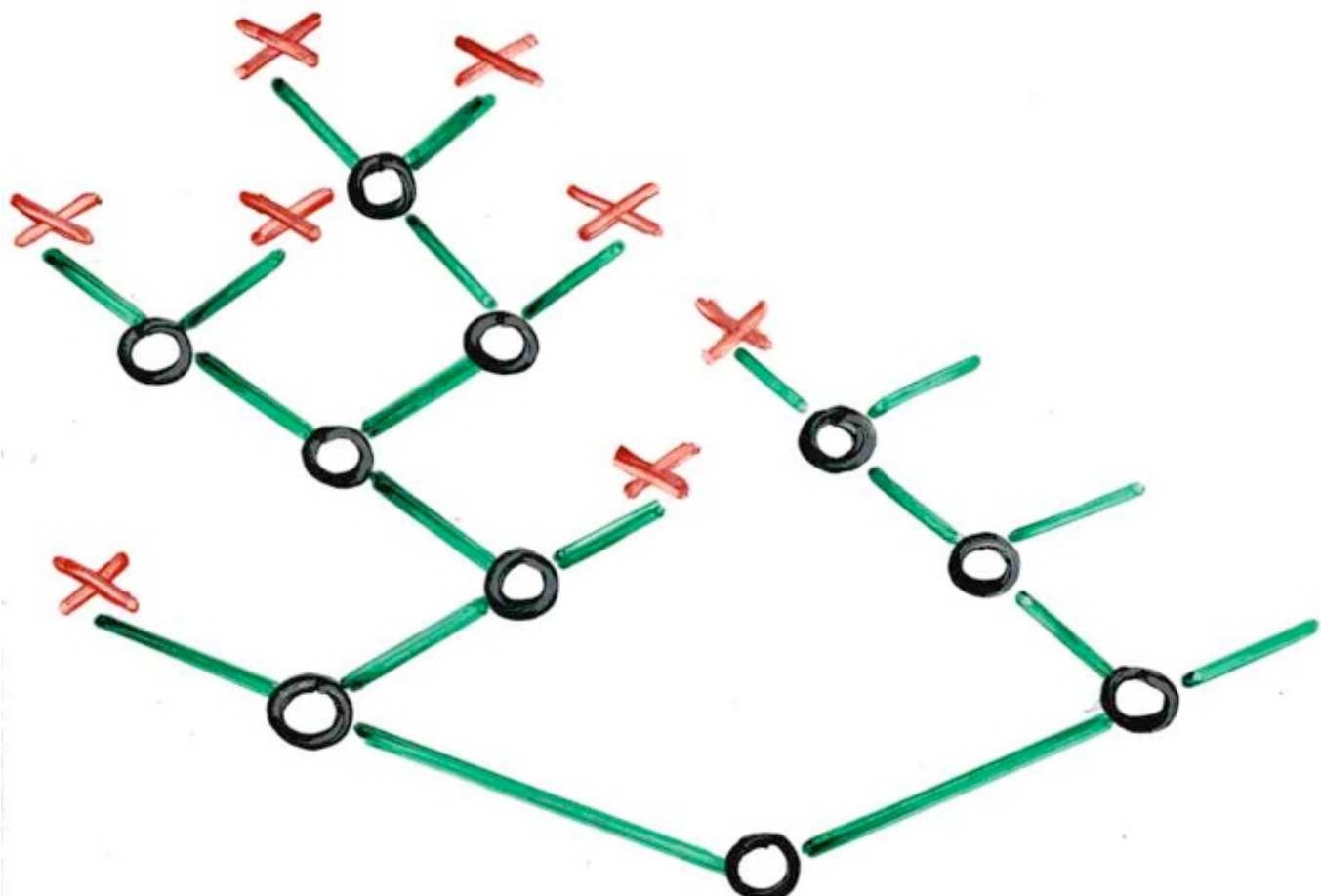


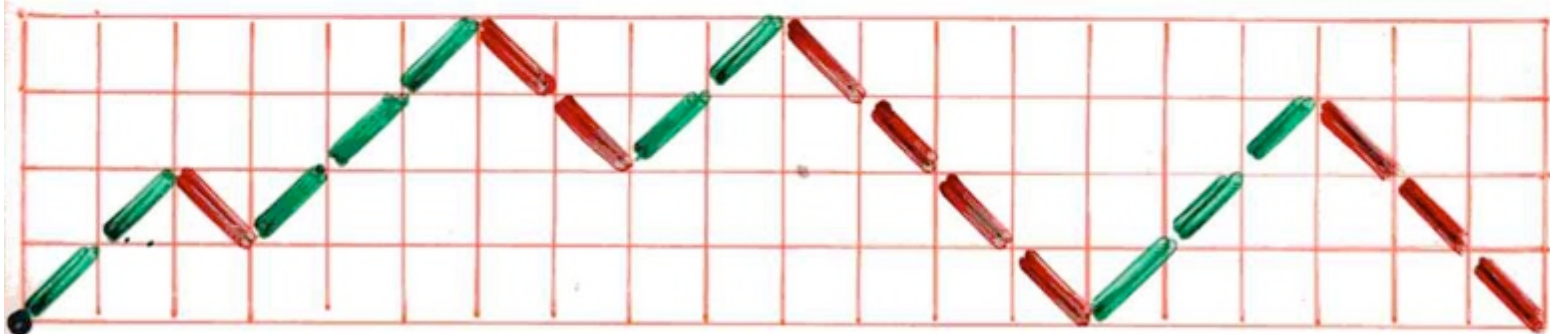
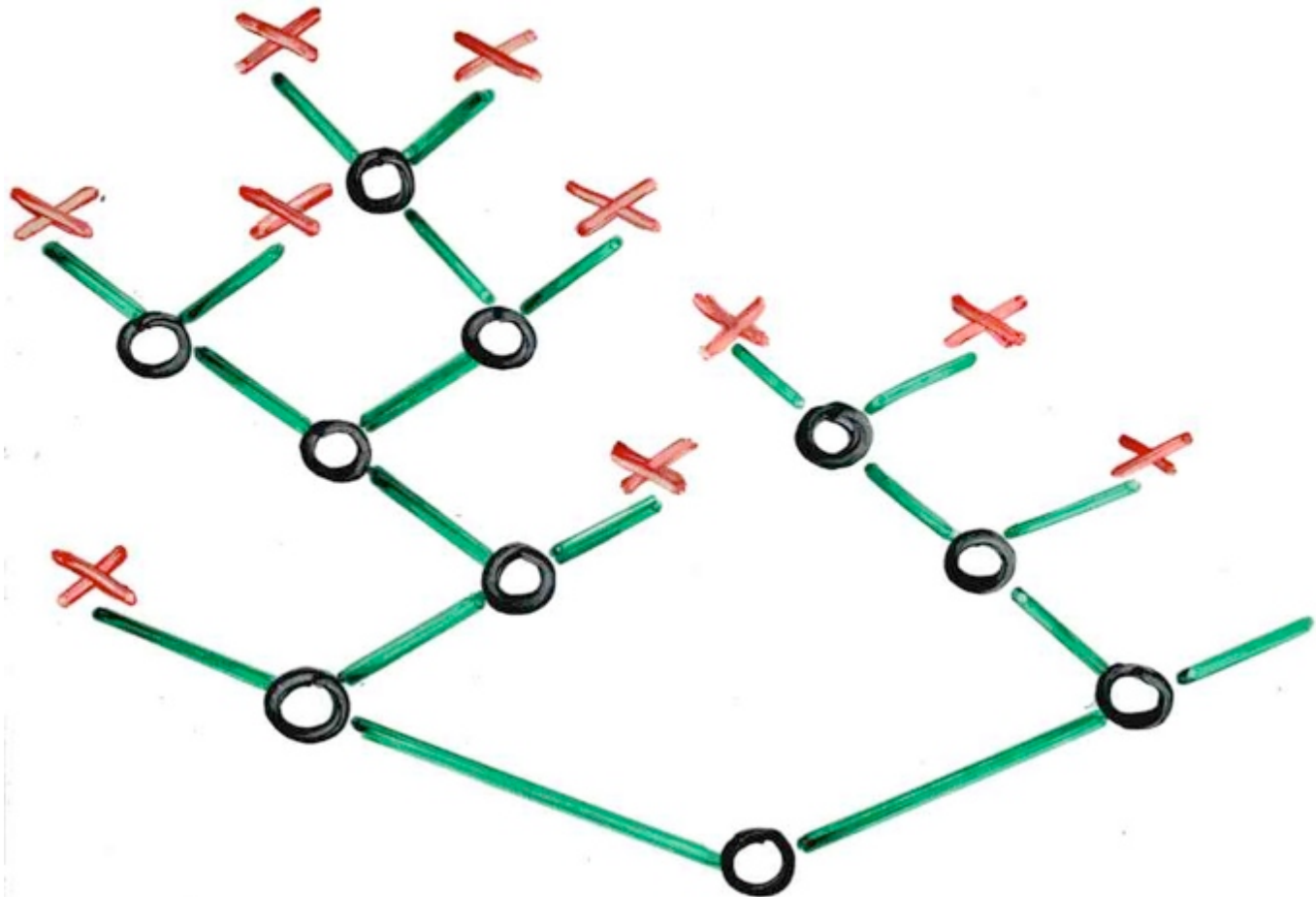


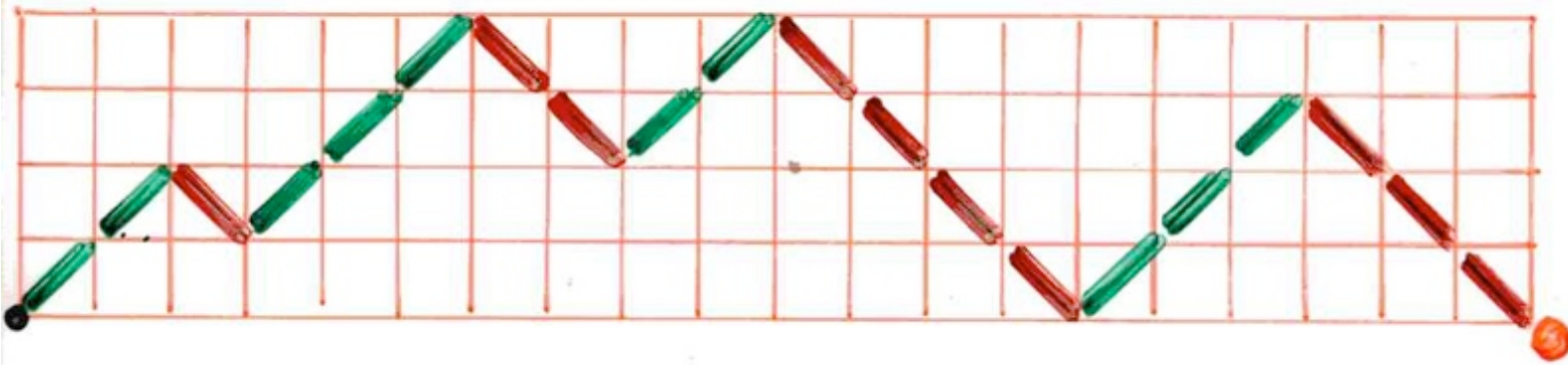
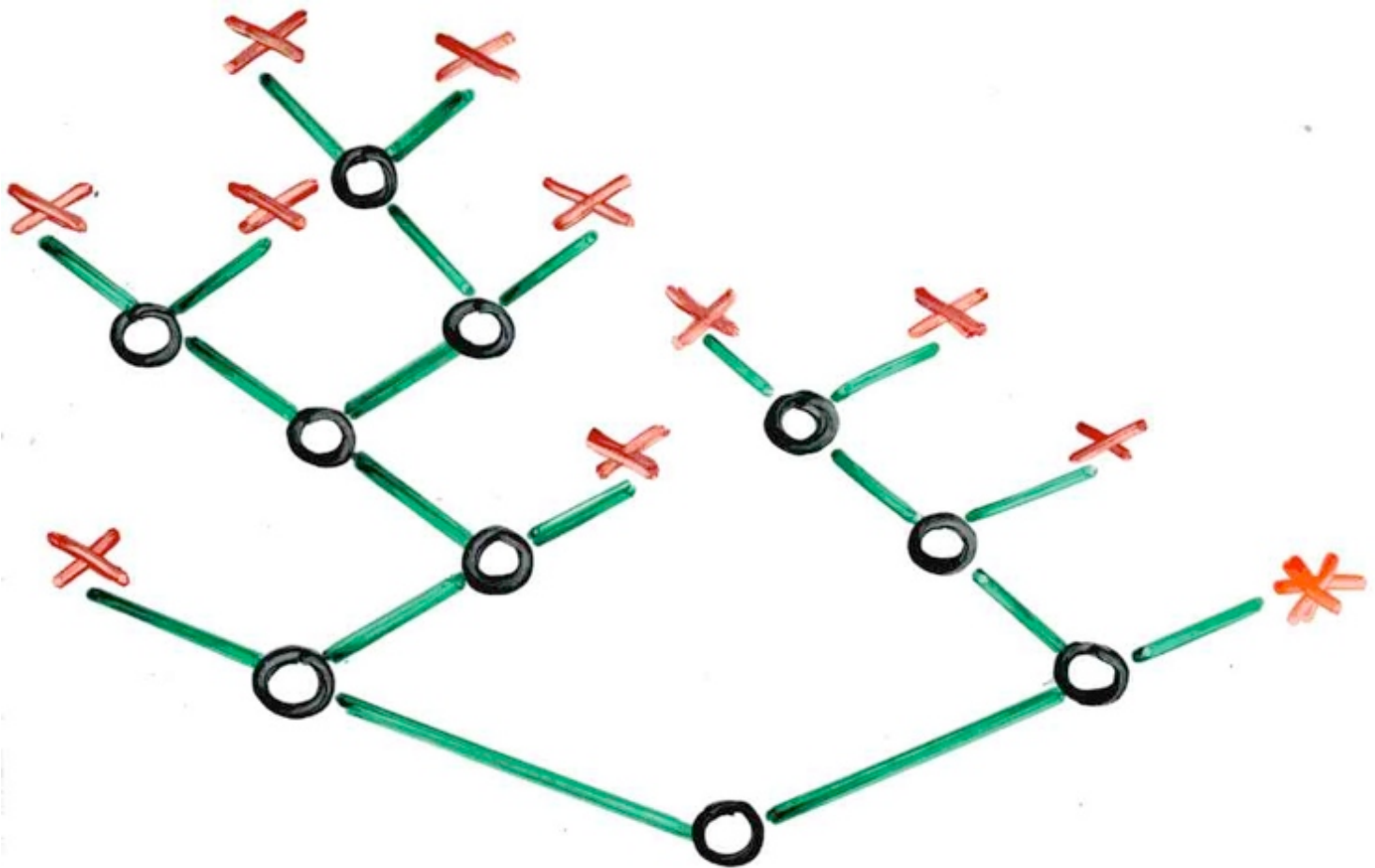








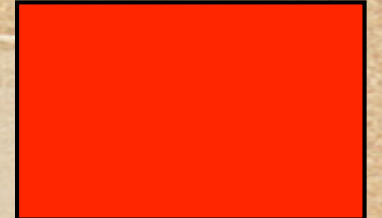




# Le majestueux noyer



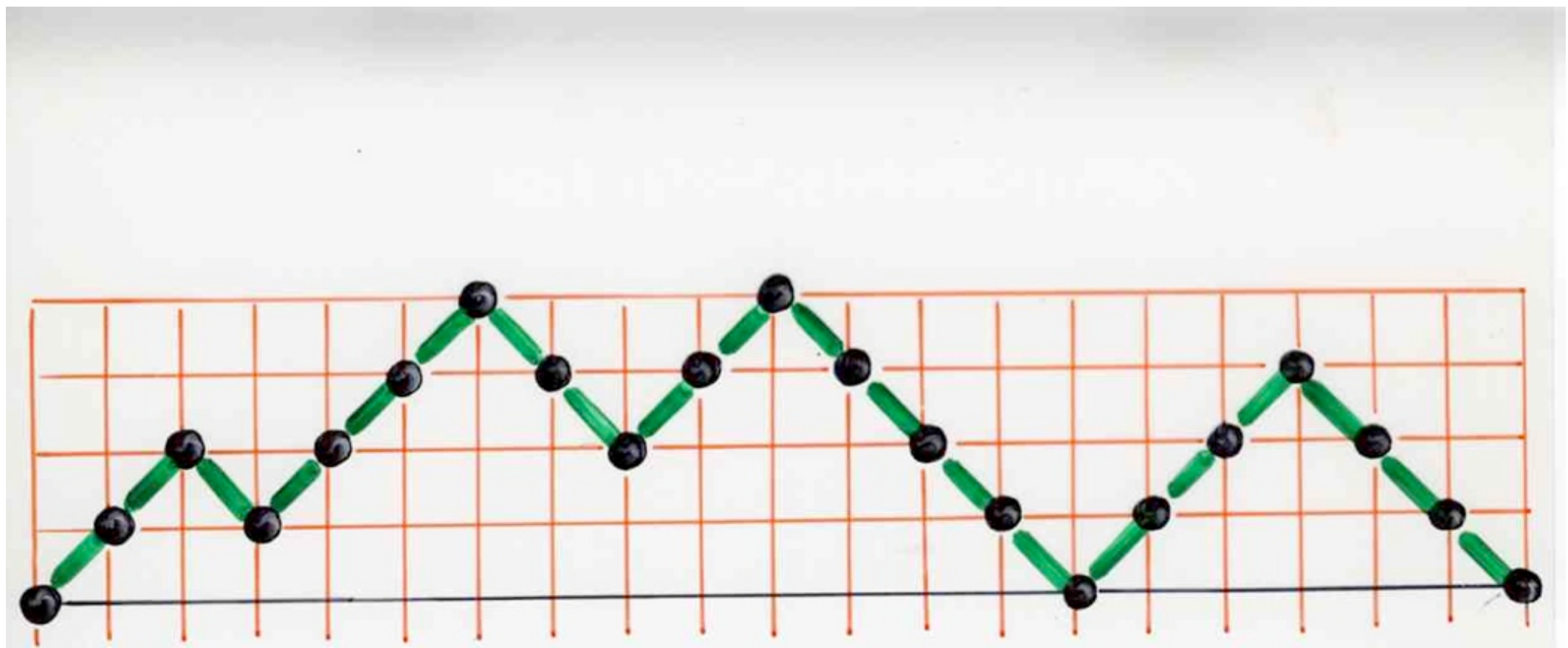
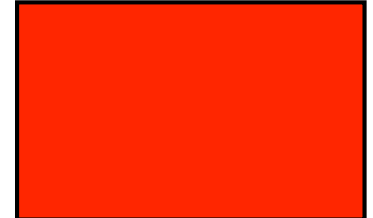
Marcia Pig Lagos  
auteur



# hauteur logarithmique

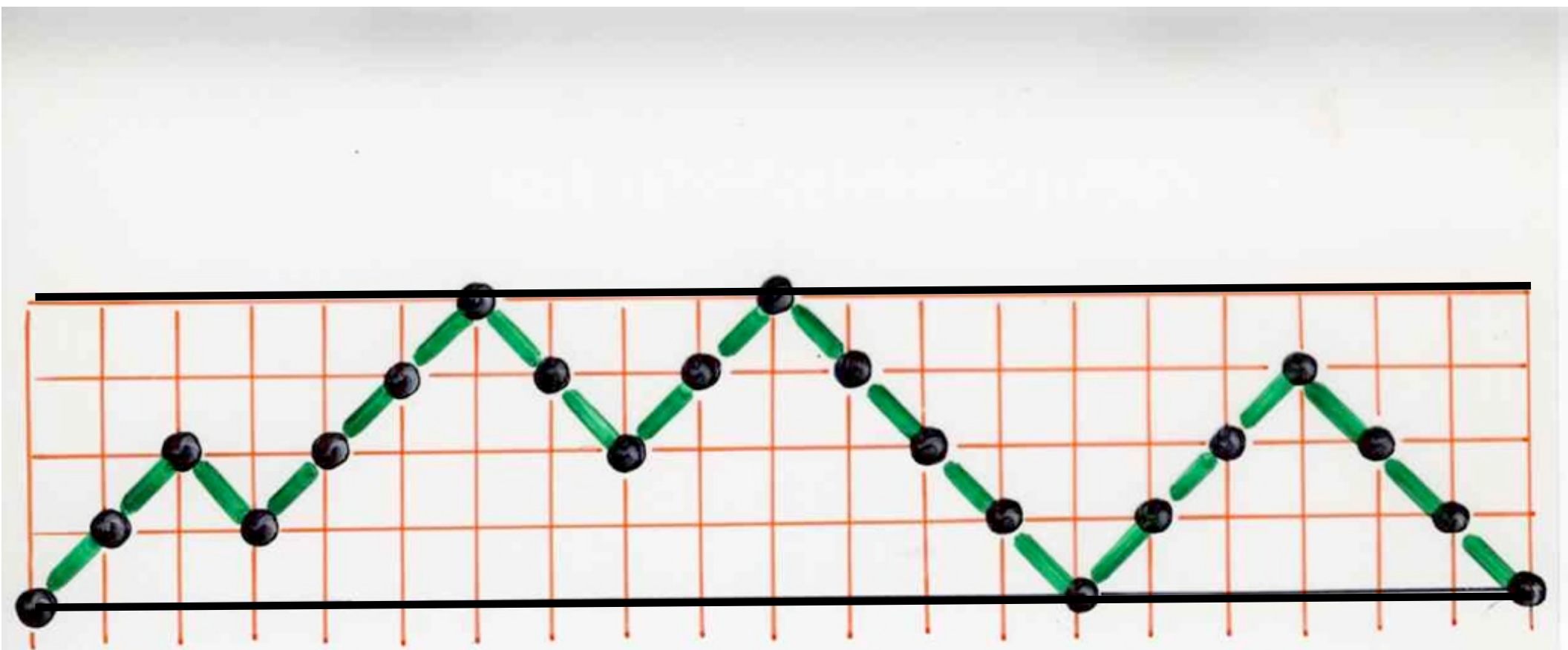
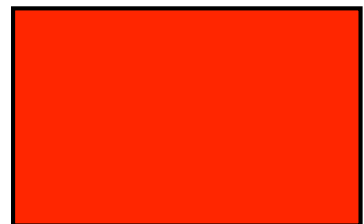


chemin de Dyck w



chemin de Dyck  $w$

hauteur  $h(w)$  = 4



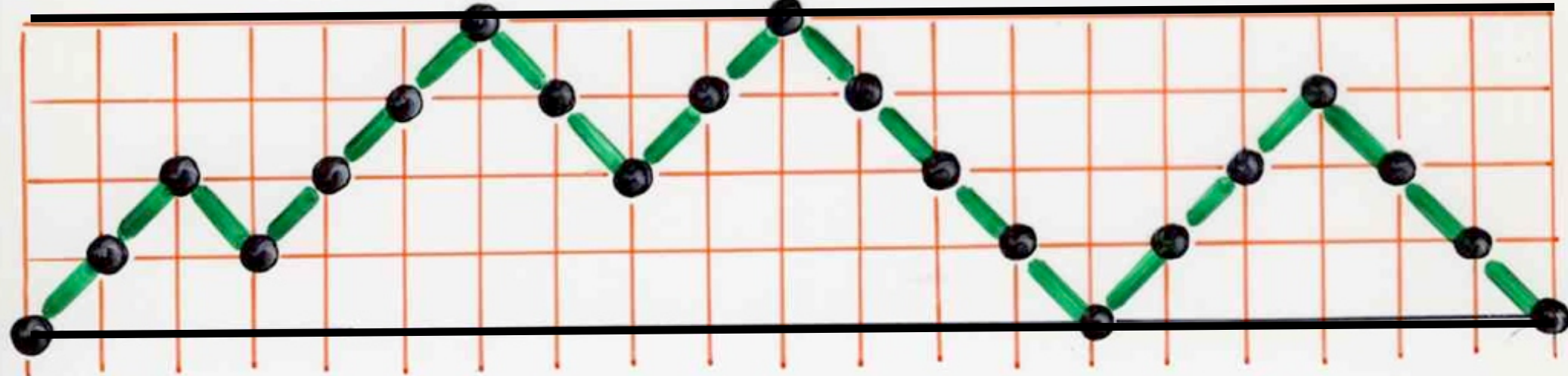
chemin de Dyck  $w$

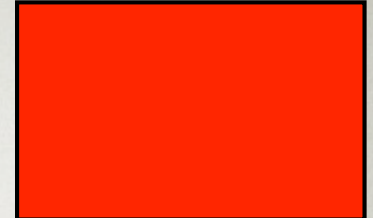
hauteur  $h(w)$  = 4

hauteur  
logarithmique  $lh(w)$

$$= \lfloor \log_2 (1 + h(w)) \rfloor$$

$\lfloor \cdot \rfloor$  partie entière





arbres binaires  $B$   
ayant  $n$  sommets  
nb de Strahler  
 $St(B) = k$

chemins de Dyck  
de longueur  $2n^w$   
hauteur log.  
 $lh(w) = k$

  
Frangon  
(1984)

même distribution !

## Nombre de Strahler moyen

parmi tous les arbres binaires  
ayant  $n$  sommets

$$St_n = \log_4 n + f(\log_4 n) + o(1)$$

Flajolet, Raoult, Vuillemin (1979)  
Kemp (1979)

$f$  fonction  
périodique

matrices de ramification  
comme  
une analyse mathématique de la forme  
des structures arborescentes

Comment «mesurer» la forme d'un arbre ?

BERNARD  
GANTNER





ARBRES AUX CORBEAUX

MUSÉE DU LOUVRE

Quantifier la forme d'un arbre binaire ...

arbre touffu

effilé

broussailleux

épineux

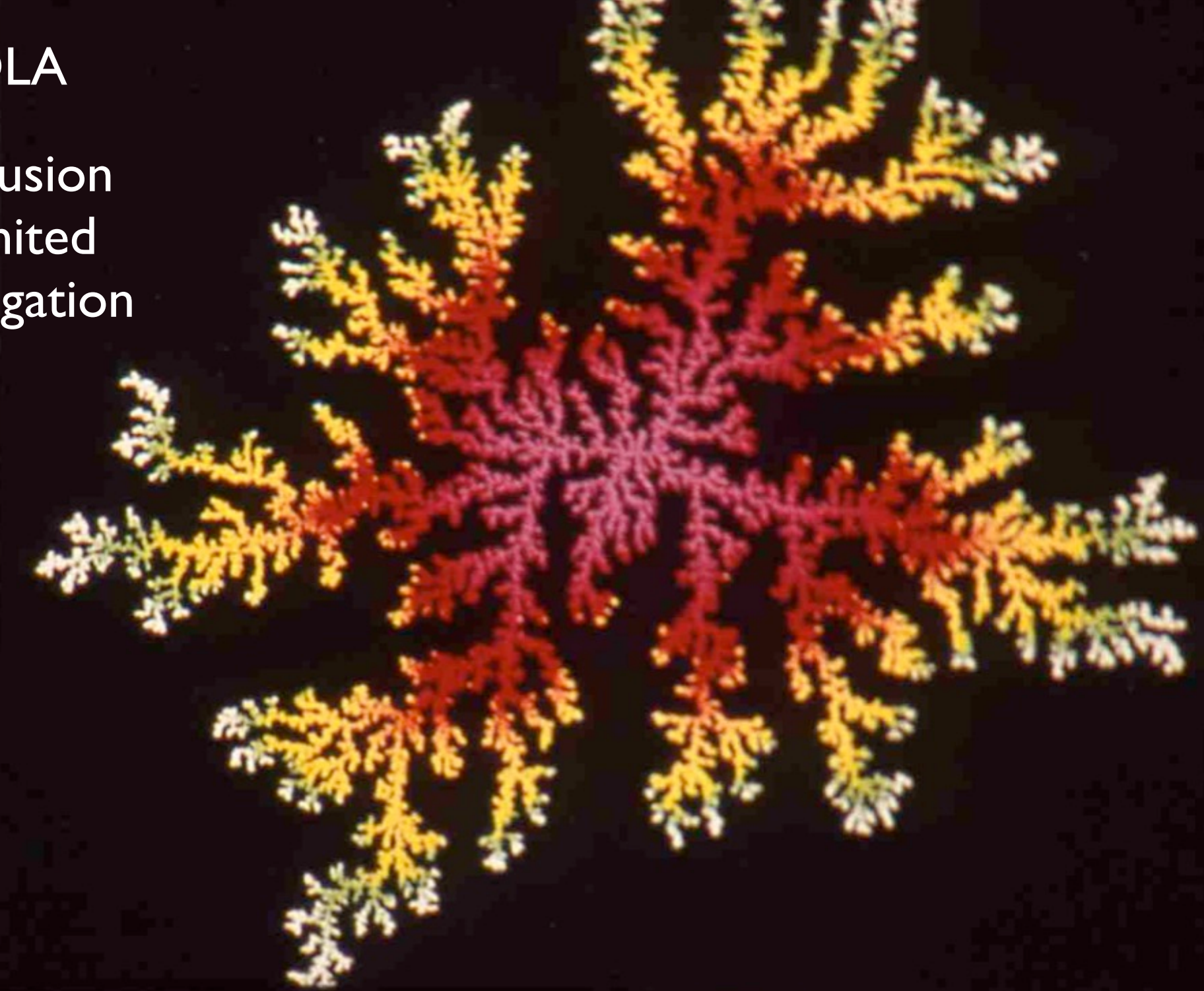
bien équilibré .....

matrices  
de ramification  
en physique

DIGITATION VISQUEUSE

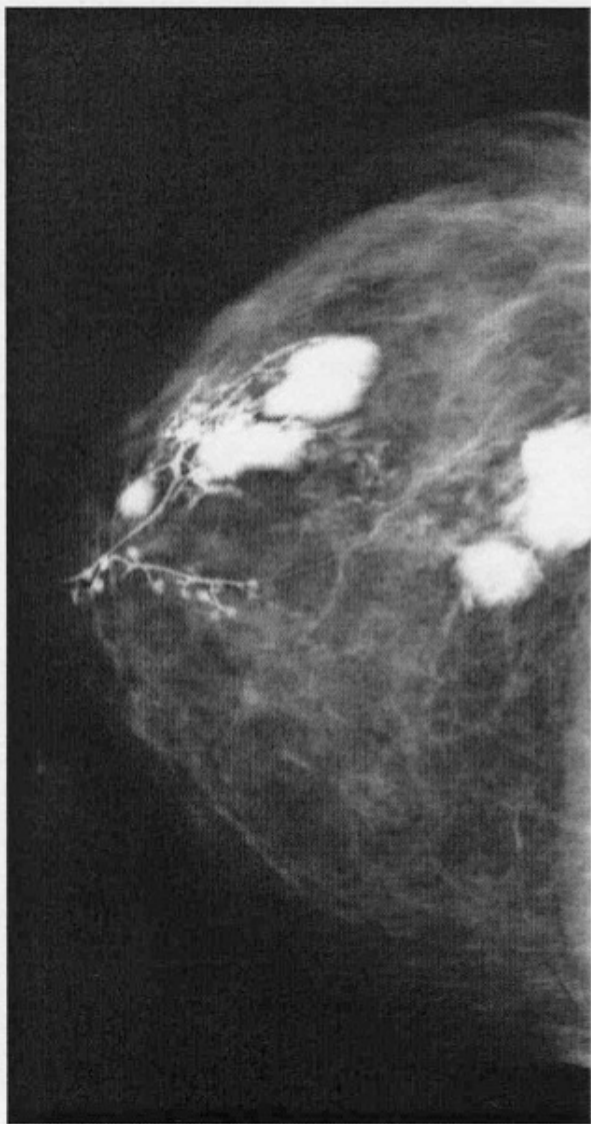
VISKOSE FLÜSSIGKEITSFORMEN

DLA  
Diffusion  
Limited  
Aggregation



classification des galactograms  
avec des matrices de ramification  
P. Bakic, M. Albert, A. Maidment (2003)

galactographie digitale  
mammographie



a.

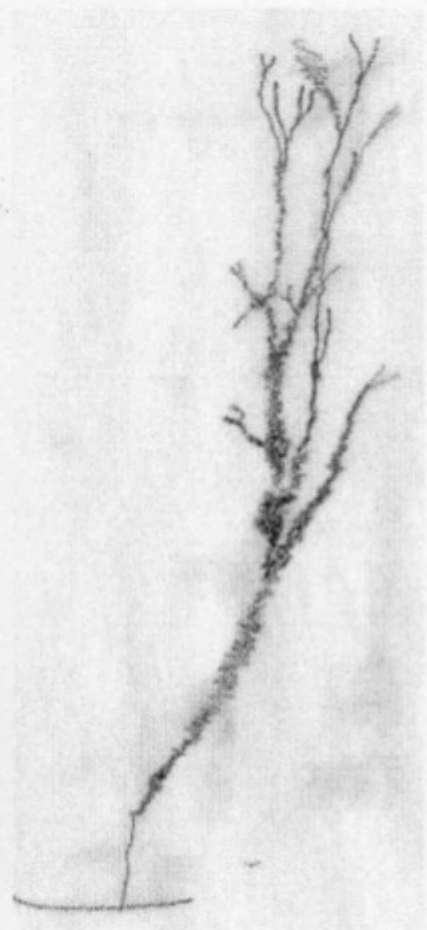


b.

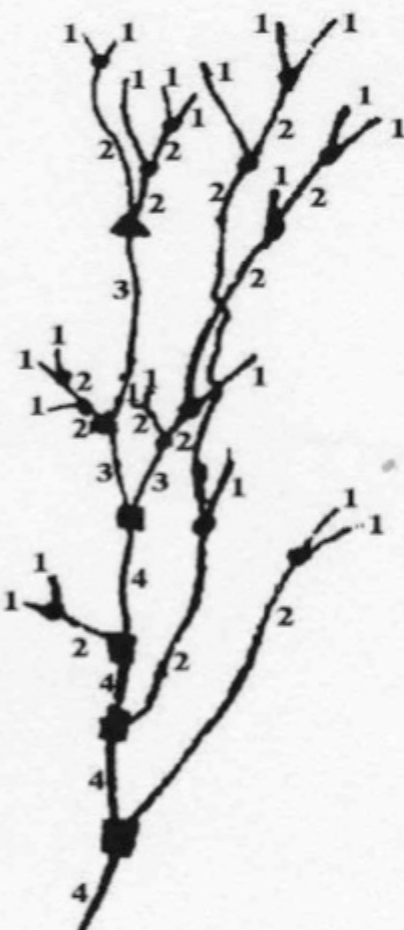
**Figure 4.** Two examples of galactograms that have been correctly classified by means of R matrices. **(a)** Galactogram with no reported findings (patient age, 45 years; right CC view;  $r_{3,2} = 0.5$  and  $r_{3,3} = 0.19$ ). (Large bright regions seen in this galactogram are due to extravasation, which did not affect the segmentation of the ductal tree.) **(b)** Galactogram with a reported finding of cysts (patient age, 55 years; right CC view;  $r_{3,2} = 0.33$  and  $r_{3,3} = 0.67$ ).



a.



b.



c.

$$R = \begin{bmatrix} r_{2,1} & r_{2,2} & . & . \\ r_{3,1} & r_{3,2} & r_{3,3} & . \\ r_{4,1} & r_{4,2} & r_{4,3} & r_{4,4} \end{bmatrix} = \begin{bmatrix} 0.43 & 0.57 & . & . \\ 0 & 0.33 & 0.67 & . \\ 0 & 0.75 & 0 & 0.25 \end{bmatrix}$$

d.

**Figure 1.** Segmentation of a ductal tree, showing (a) part of a galactogram with a contrast-enhanced ductal network, (b) the manually traced network of larger ducts from the contrast-enhanced portion of the galactogram, (c) numeric labeling of branches in the ductal network, and (d) the R matrix computed from the branching pattern. The dots, triangles, and squares denote branching points of different levels of the tree.

Ce que l'oeil humain ne peut pas voir à la radiographie,  
l'analyse mathématique de la forme de la structure  
arborescente,  
elle peut le voir ...

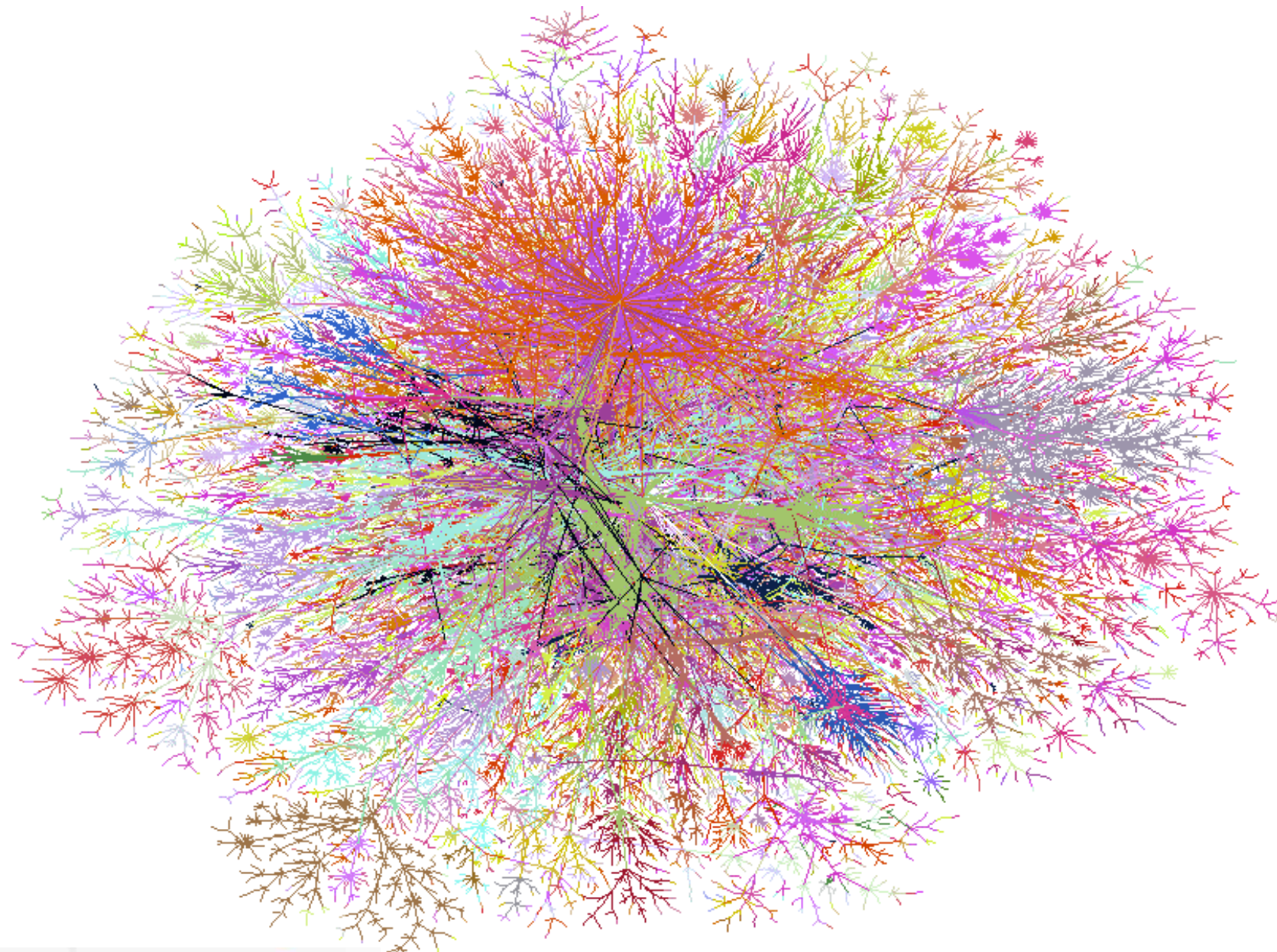
visualisation de l'information

- Visualisation de l'information  
très grands graphes

D. Auber, M. Delest

Y. Chuiesta, G. Melangon, J.M. Fedou

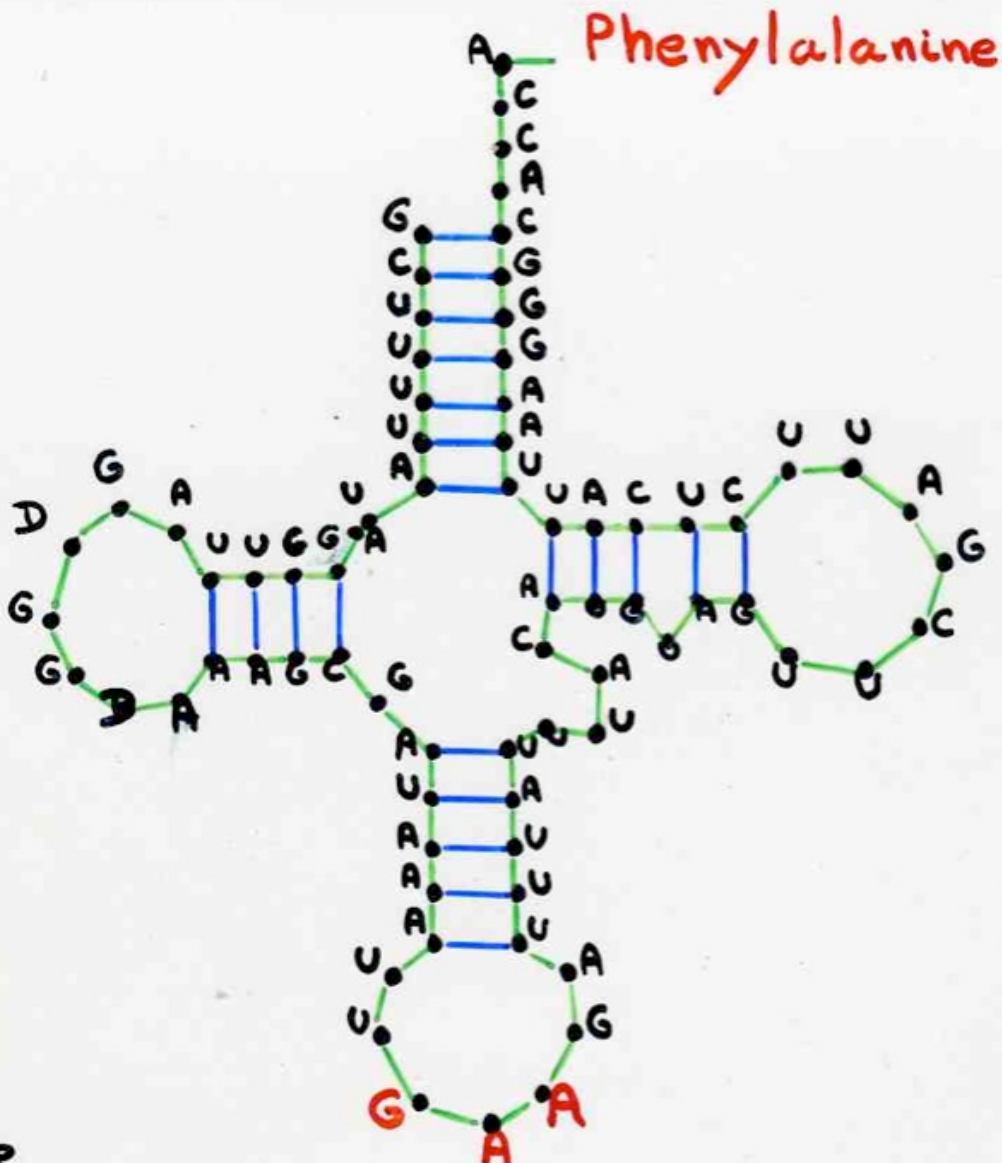
extension de l'analyse de Horton-Strahler  
des arbres aux graphes



Logiciel Tulip  
D. Auber

des arbres dans les molécules ...





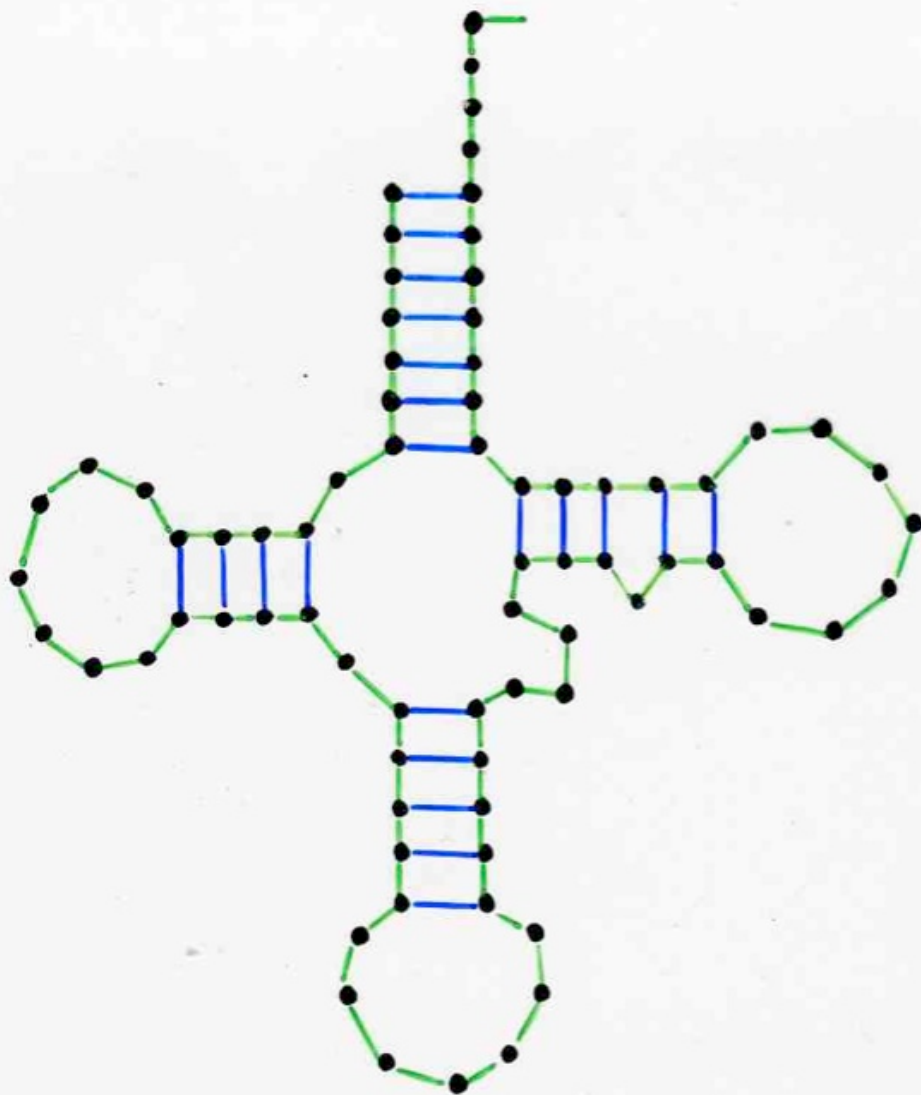
**A**dentine

**U**racyle

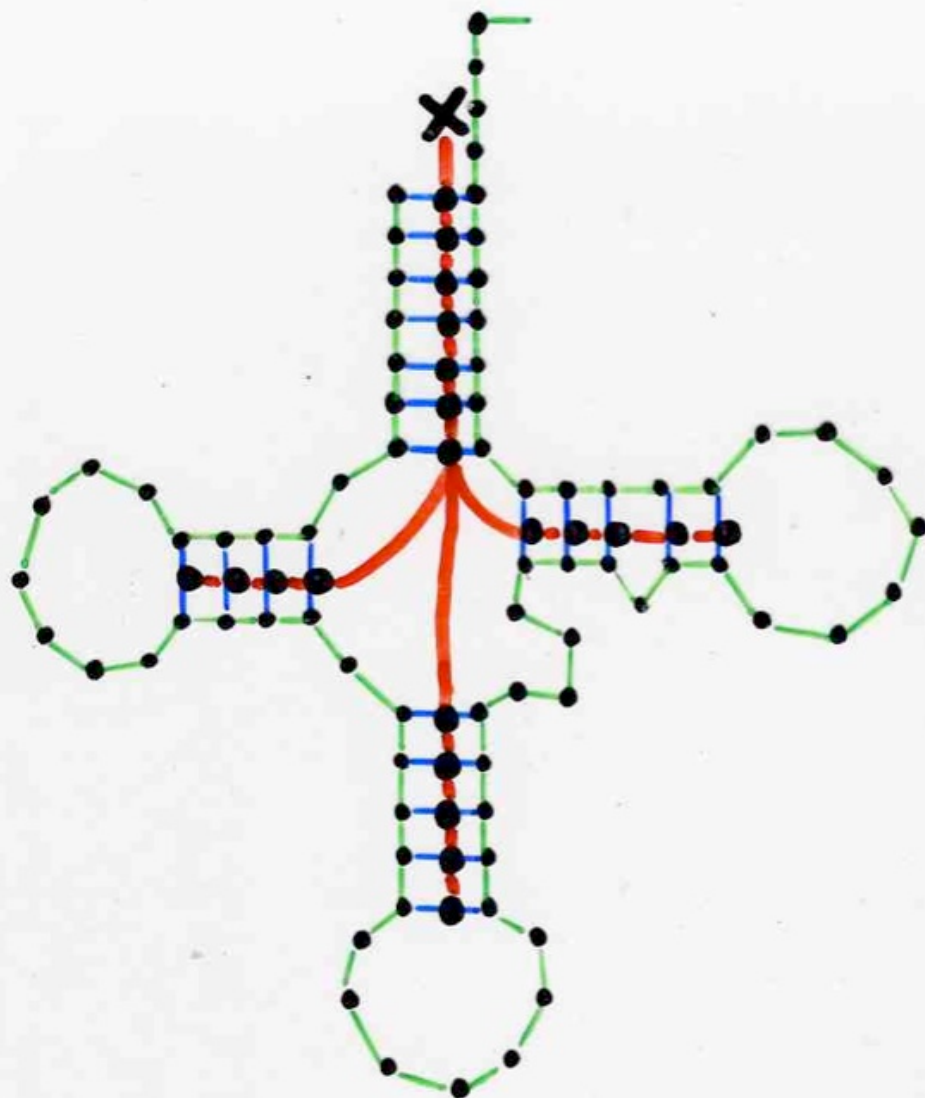
**G**uanine

**C**ytosine

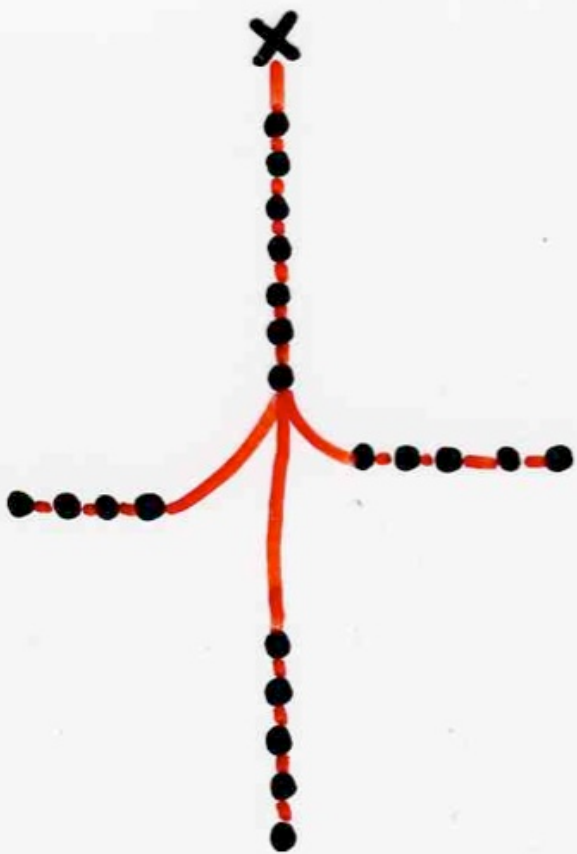
tARN<sup>Phe</sup>



tARN<sup>Phe</sup>



tARN<sup>Phe</sup>



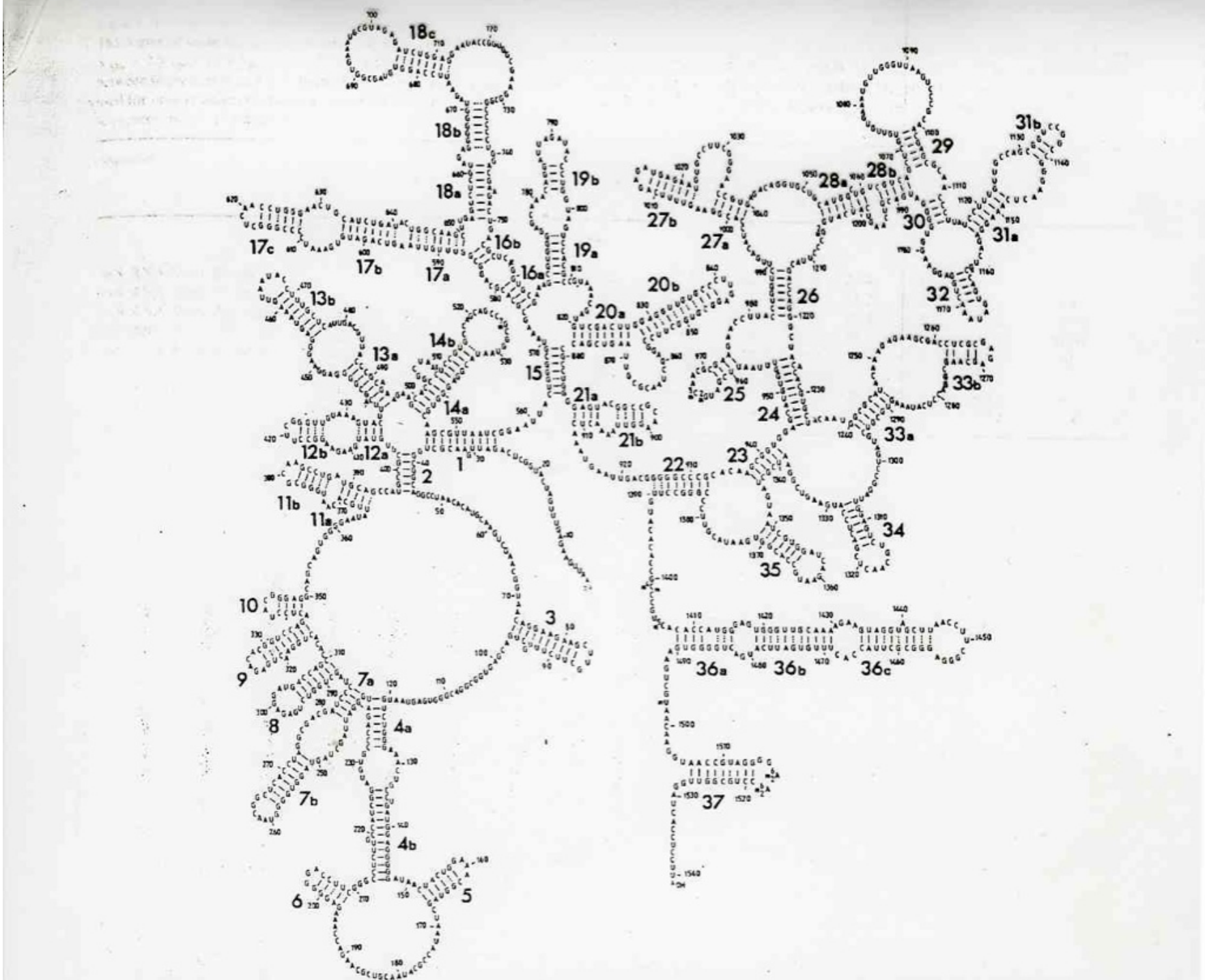


Fig. 1. Secondary structure model of the 16S rRNA from *E. coli*. This model has been fully described elsewhere [18]. The various secondary structure motifs are numbered for reference. Base-pairings 2 and 23 are included in this up-dated scheme and slight modifications have been introduced into helices 18b and 33b.

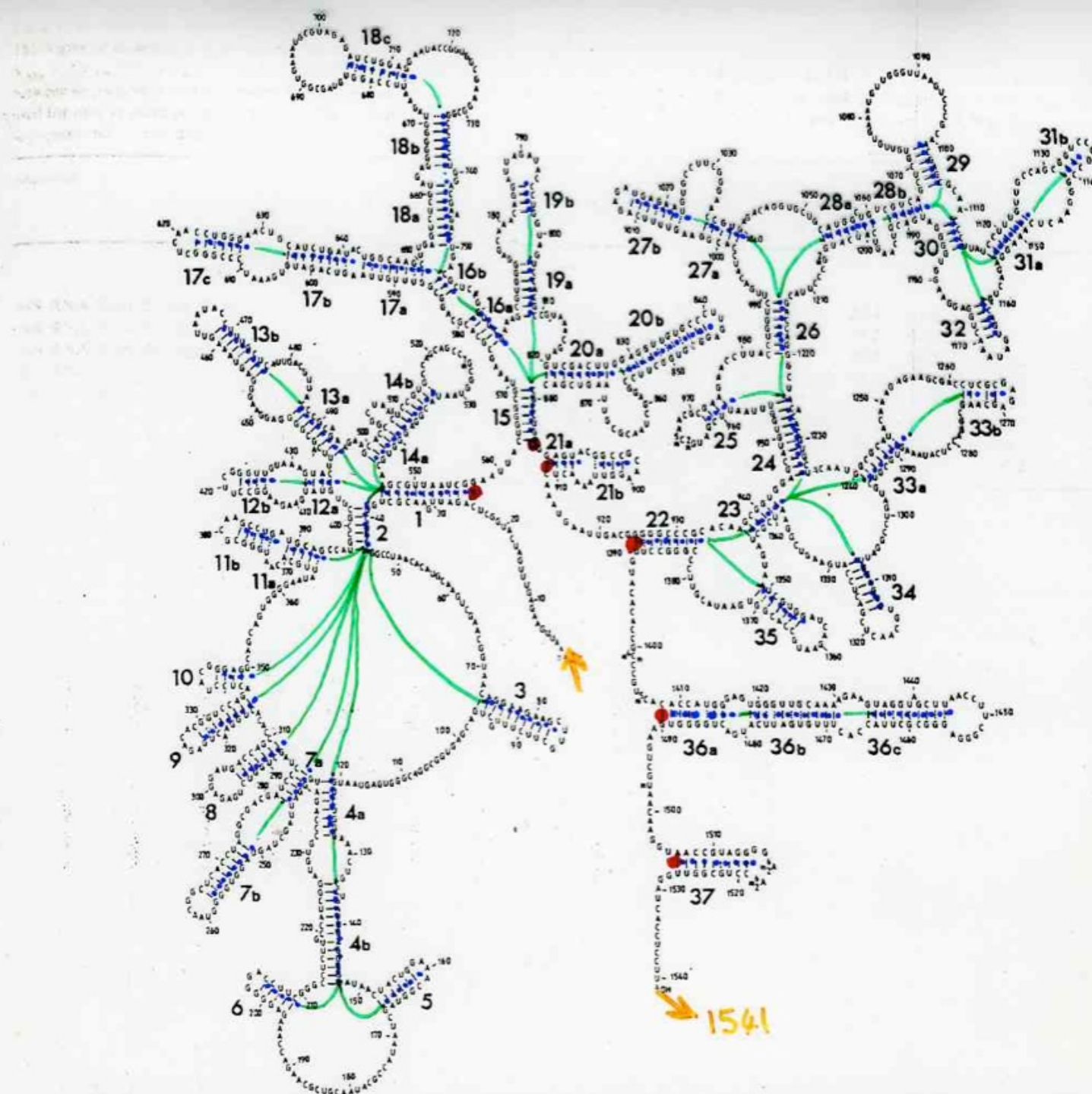
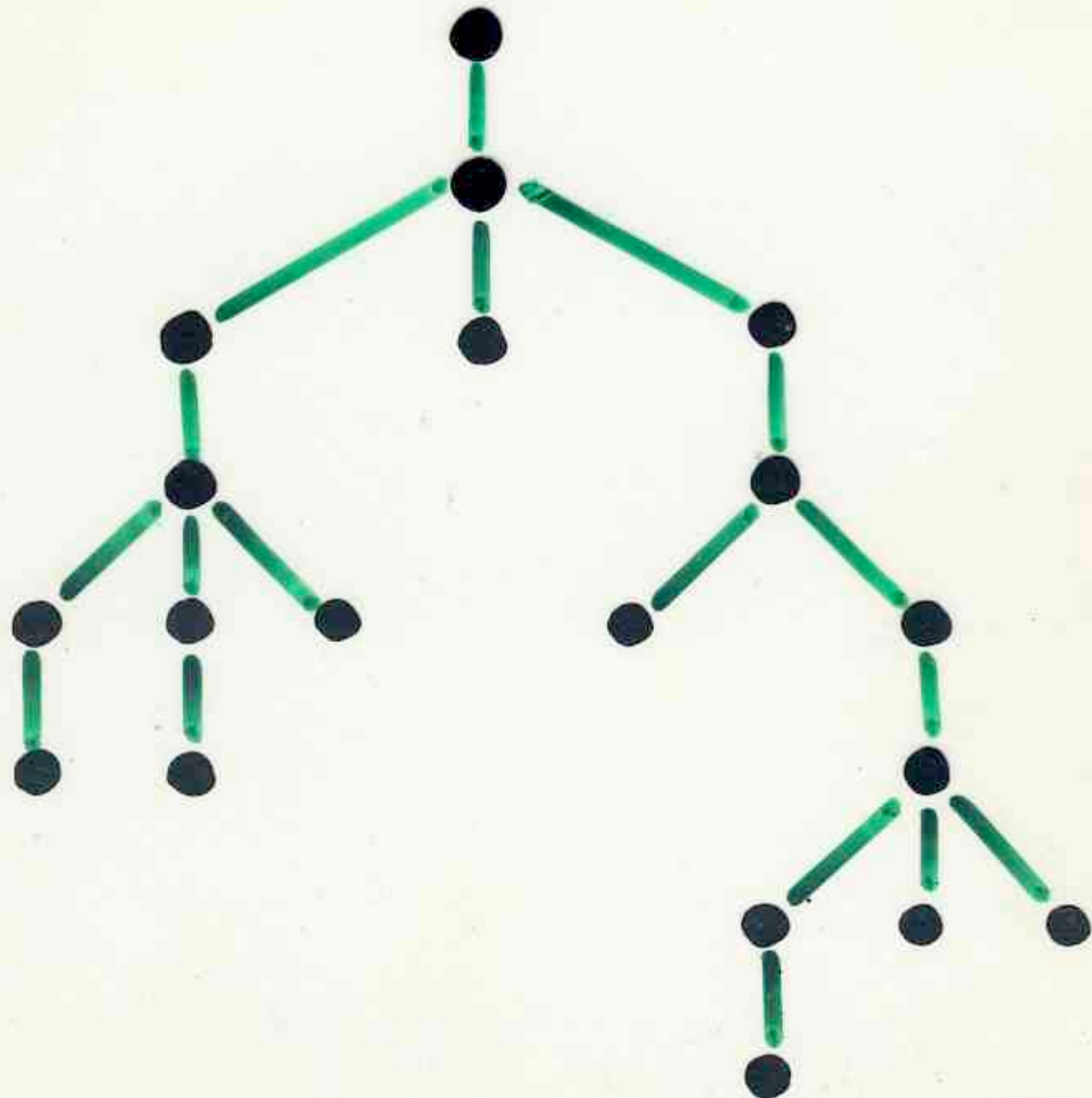
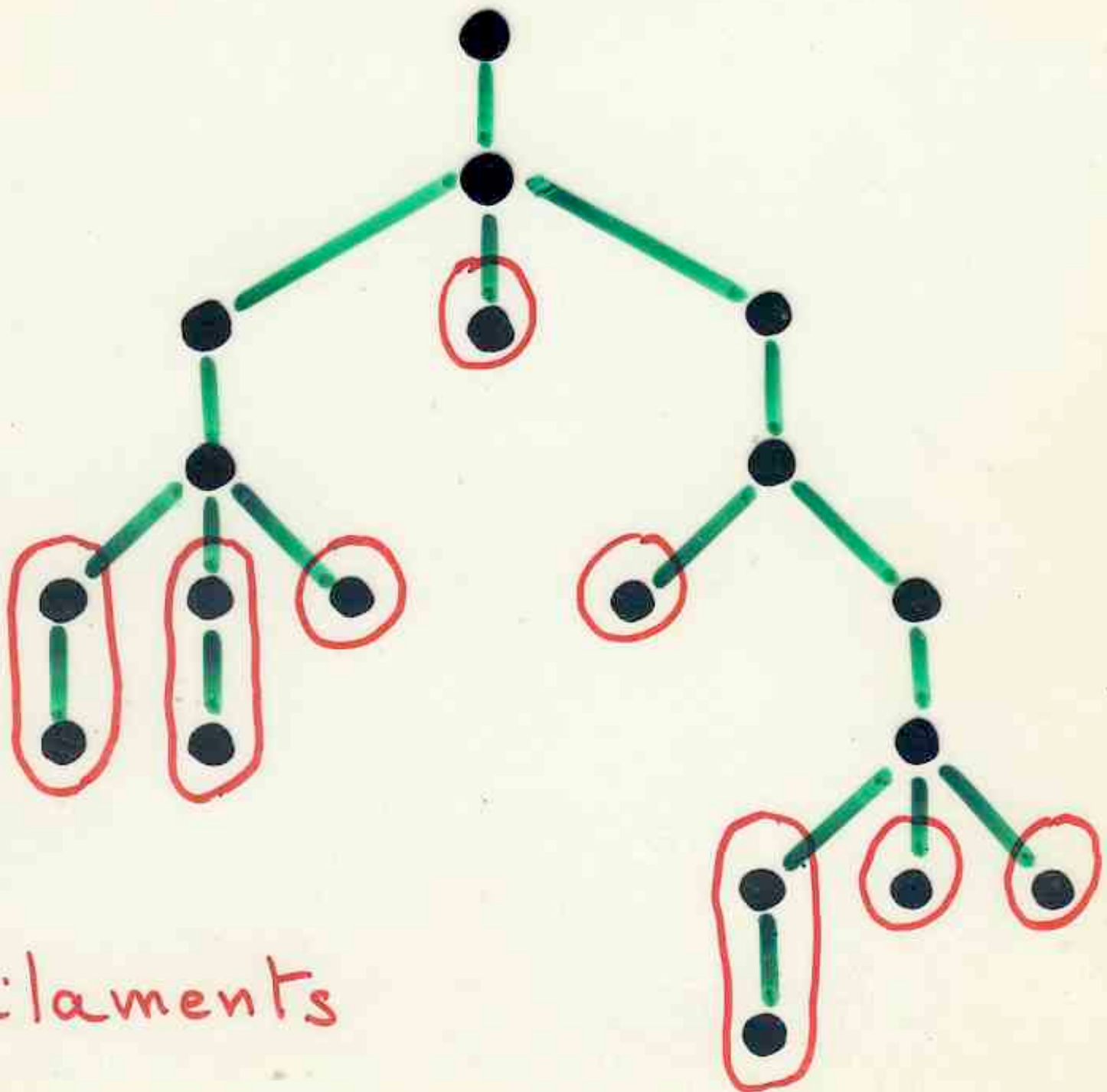


Fig. 1. Secondary structure model of the 16-S rRNA from *E. coli*. This model has been fully described elsewhere [18]. The various secondary structure motifs are numbered for reference. Base-pairings 2 and 23 are included in this up-dated scheme and slight modifications have been introduced into helices 18b and 33b

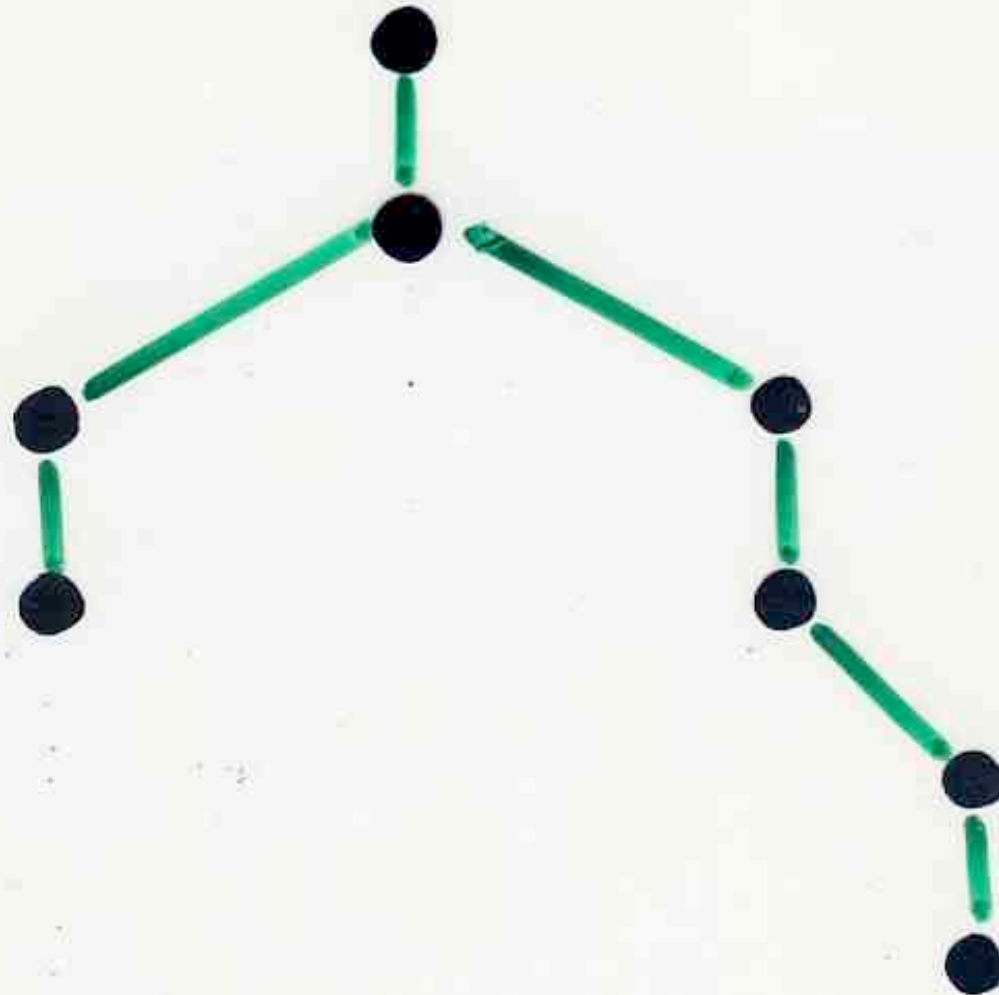
«complexité» ou «ordre»  
d'une molécule

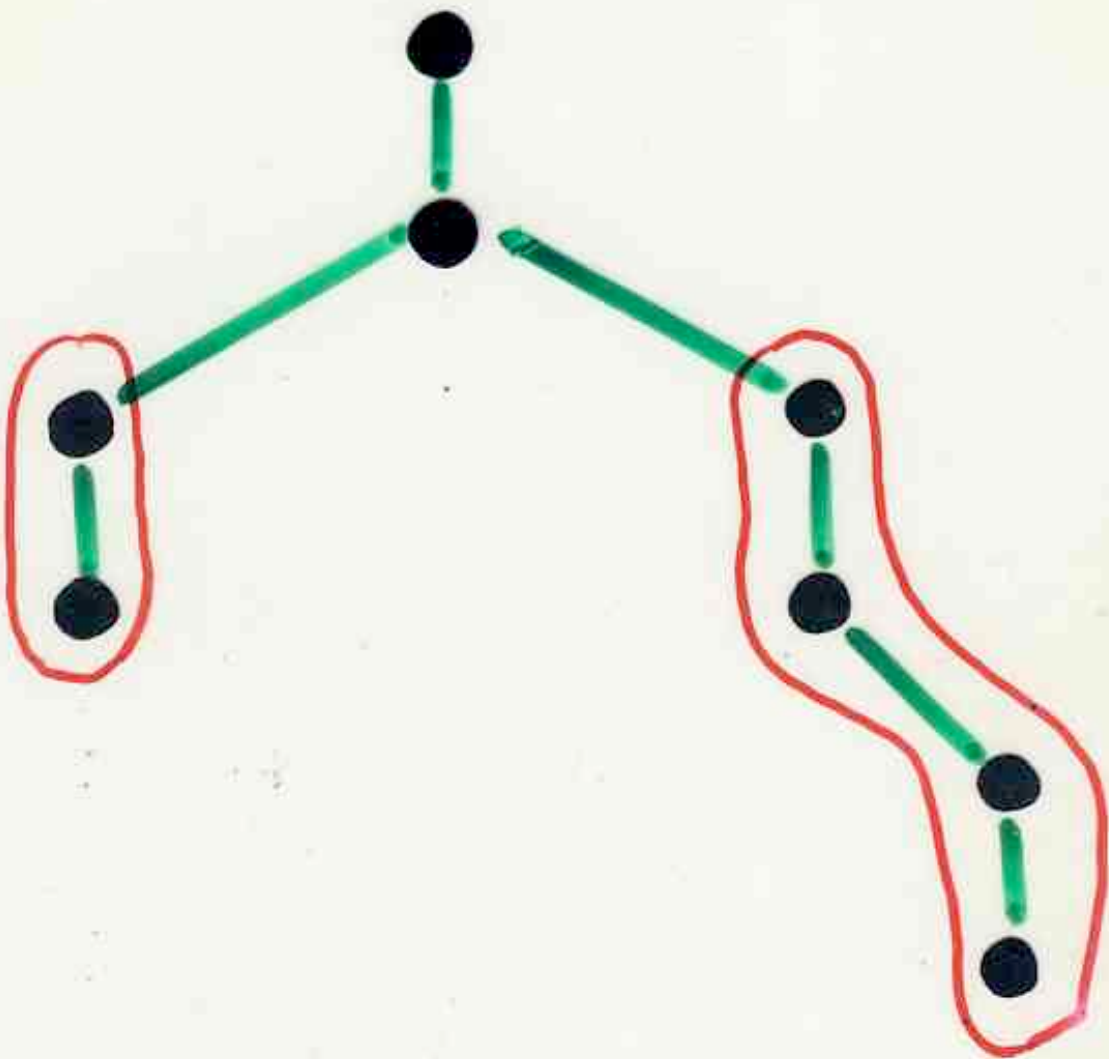
M. Waterman

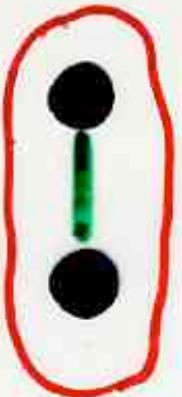




filaments











$F_{n,k} =$  nombre de  
forêts d'arbres  
ayant  $n$  sommets  
et d'ordre  $k$

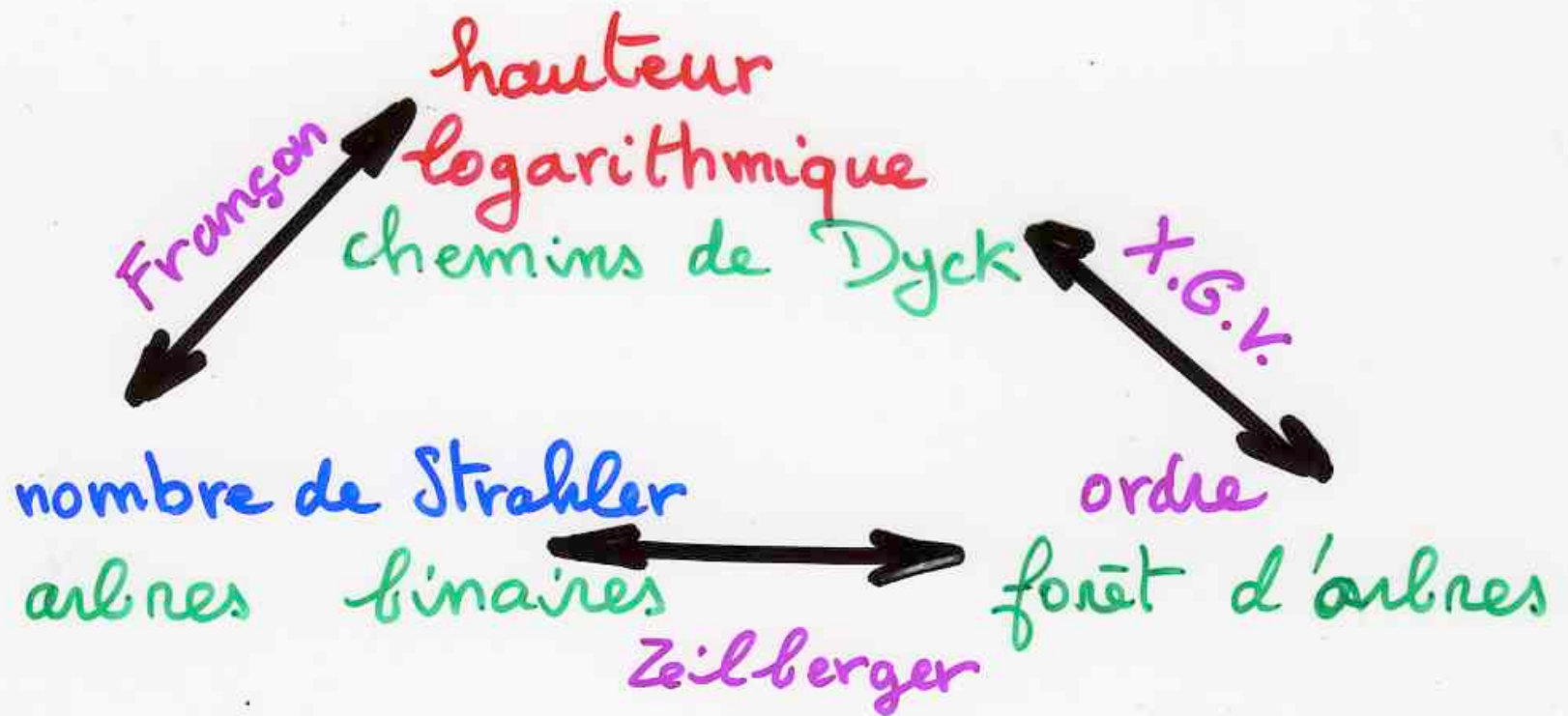
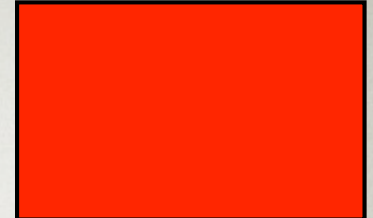
$F_{n,k}$  = nombre de  
forêts d'arbres  
ayant  $n$  sommets  
et d'ordre  $k$

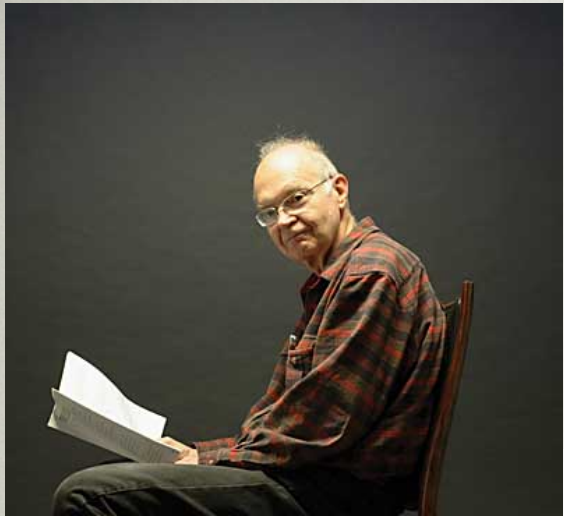
=  $S_{n,k}$

à nouveau  
même  
distribution !!

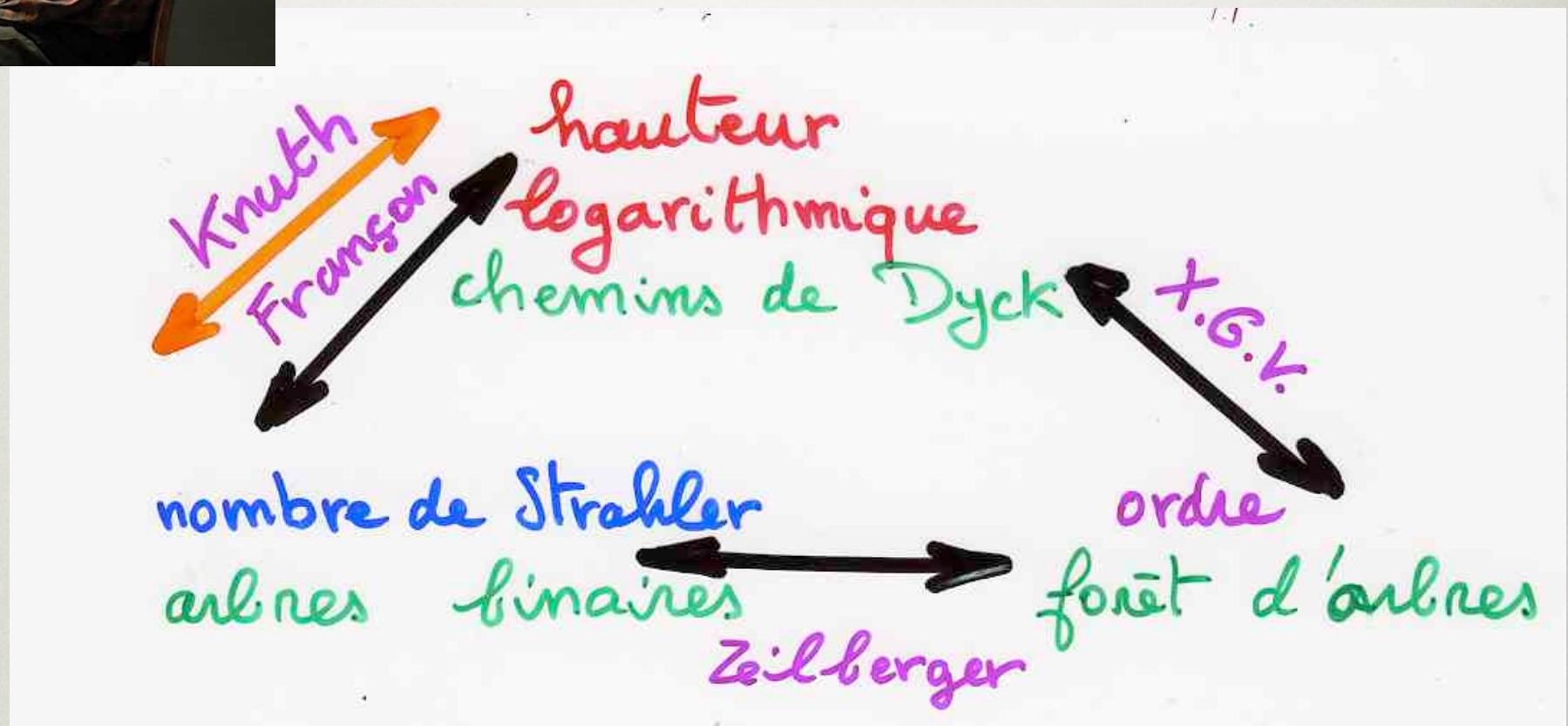
Vauchausade de Chaumont  
X. V. (1985) (2001)

D. Zeilberger (1985)





Donald Knuth



LE JARDIN ZEN

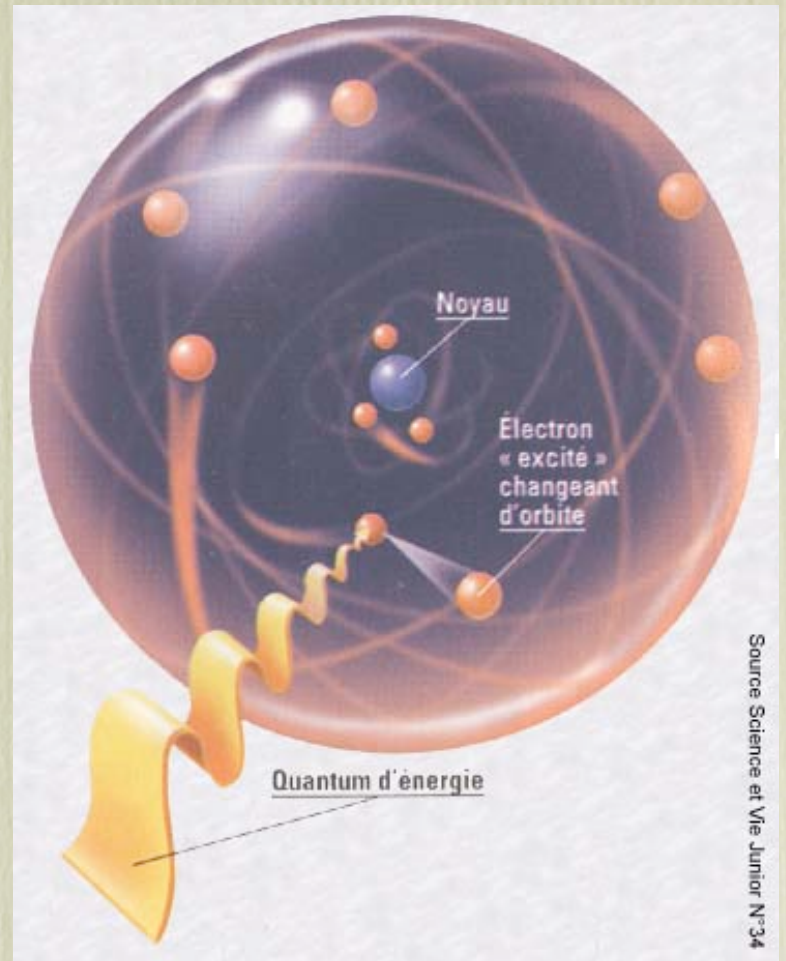
L'infiniment petit

Des arbres dans les grains de lumière ?

# le monde quantique

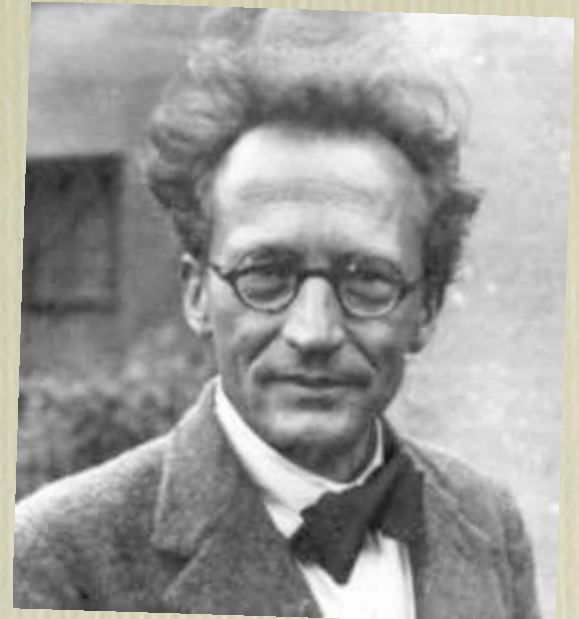


Serge Haroche  
Nobel de physique 2012



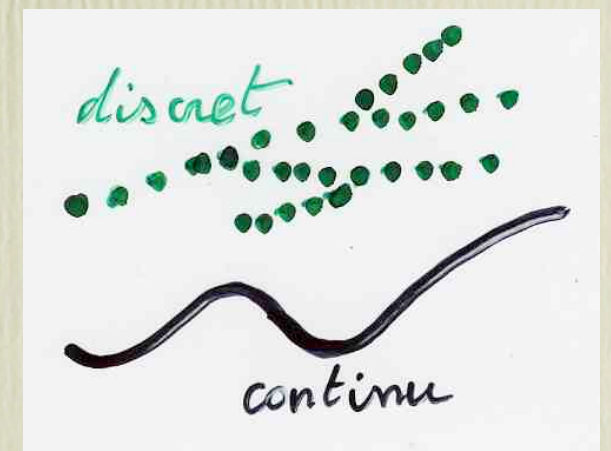
Source Science et Vie Junior N°34

mécanique quantique  
très loin du bon sens usuel



les particules ont une tendance à exister  
le fameux chat de Schrödinger, mort et vivant en même temps

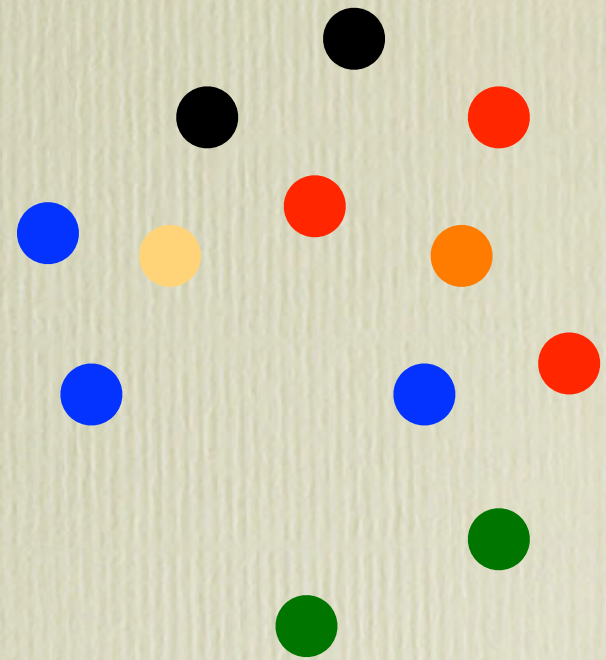
incertitude quantique  
espace, temps, matière, énergie:  
continu ou discret ?



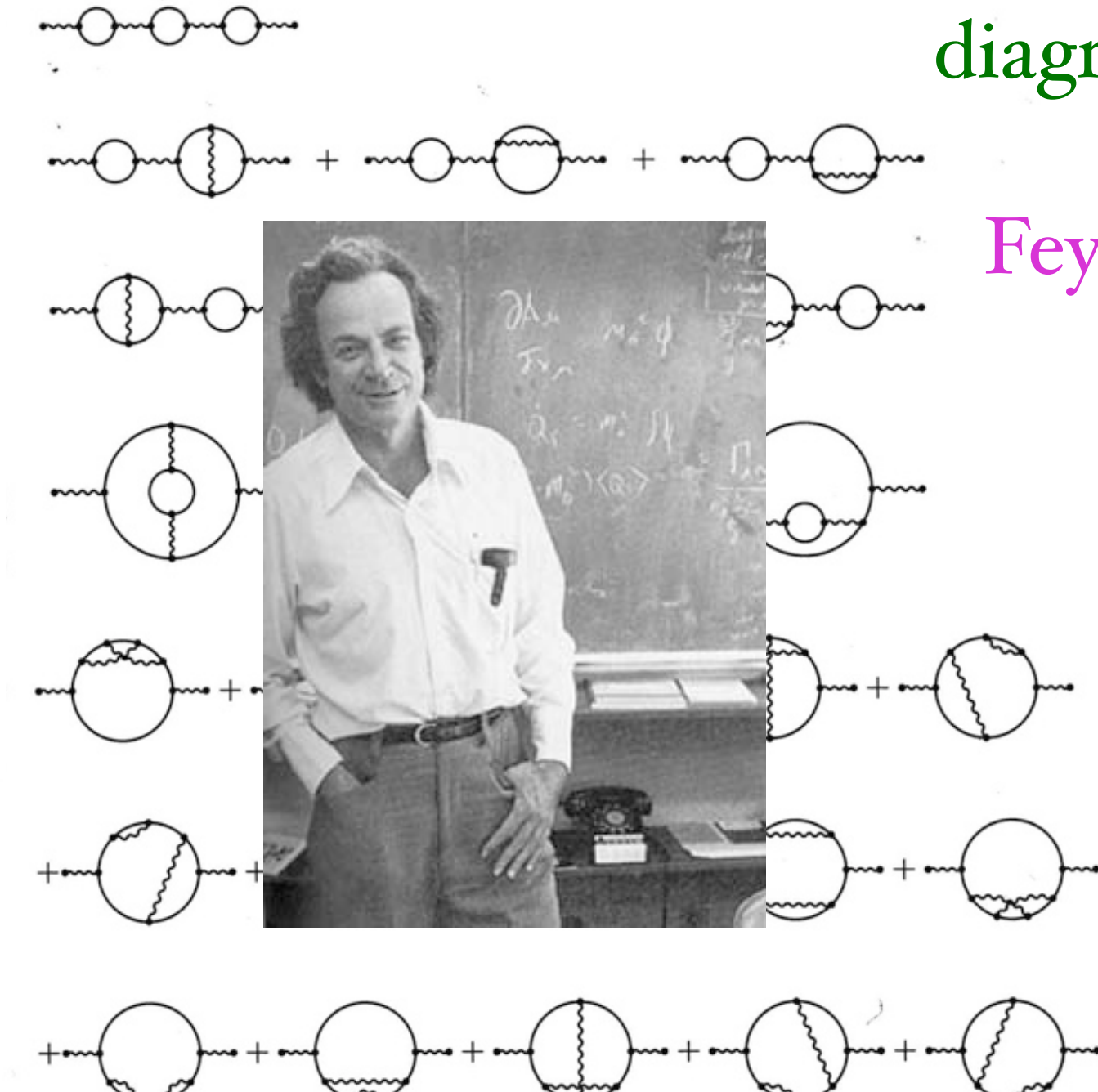
la lumière:

vibration ?

ou particules de matière ?



# diagrammes de Feynman



interactions entre particules, photons

somme infinie de quantités infinies ??

supprimer le double infini ...

renormalisation quantique

recette de cuisine

$$\sigma^\gamma(\text{Y}) =$$

$$\sigma^\gamma(\text{Y}) =$$

$$\sigma^\gamma(\text{Y}) =$$

$$\sigma^\gamma(\text{Y}) =$$

$$\sigma^\gamma(\text{Y}) =$$

$$+ \dots + \dots + \dots + \dots + \dots + \dots$$

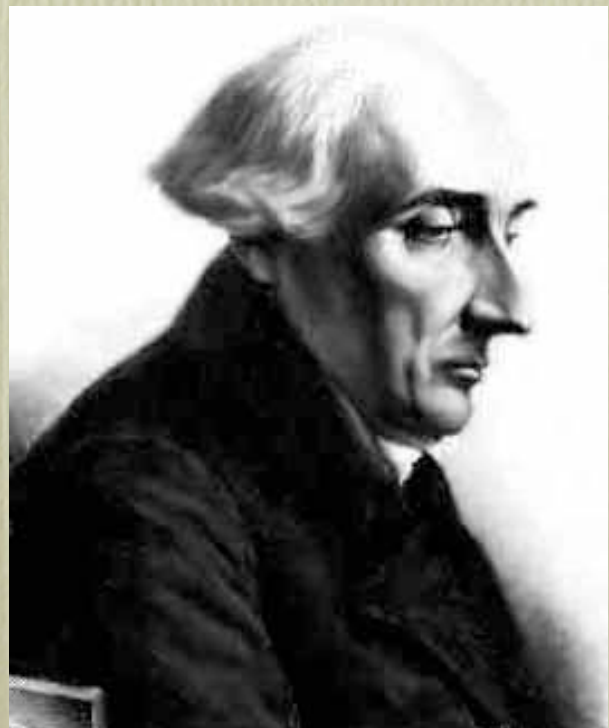
$$+ \dots + \dots + \dots + \dots + \dots + \dots$$

# Diagrammes de Feynman

explication avec les mathématiques des arbres

les mathématiques d'Euclide , beaucoup de figures  
jusqu'à Newton  
après, élimination des figures

Lagrange, traité de mécanique:  
pas une seule figure  
équations, identités, abstraction pure



Joseph-Louis Lagrange  
1736 - 1813

# AVERTISSEMENT

## DE LA DEUXIÈME ÉDITION.

---

On a déjà plusieurs Traité de Mécanique, mais le plan de celui-ci est entièrement neuf. Je me suis proposé de réduire la théorie de cette Science, et l'art de résoudre les problèmes qui s'y rapportent; à des formules générales, dont le simple développement donne toutes les équations nécessaires pour la solution de chaque problème.

Cet Ouvrage aura d'ailleurs une autre utilité : il réunira et présentera sous un même point de vue les différents principes trouvés jusqu'ici pour faciliter la solution des questions de Mécanique, en montrera la liaison et la dépendance mutuelle, et mettra à portée de juger de leur justesse et de leur étendue.

Je le divise en deux Parties : la Statique ou la Théorie de l'Équilibre, et la Dynamique ou la Théorie du Mouvement; et, dans chacune de ces Parties, je traite séparément des corps solides et des fluides.

On ne trouvera point de Figures dans cet Ouvrage. Les méthodes que j'y expose ne demandent ni constructions, ni raisonnements géométriques ou mécaniques, mais seulement des opérations algébriques, assujetties à une marche régulière et uniforme. Ceux qui aiment l'Analyse verront avec plaisir la Mécanique en devenir une nouvelle branche, et me sauront gré d'en avoir étendu ainsi le domaine.

aujourd’hui, apparition des «figures»,  
mais à un autre niveau

$$\sigma^\gamma(\text{Y}) = \text{---} \circlearrowleft \circlearrowright \text{---}$$

$$\sigma^\gamma(\text{Y}) = \text{---} \circlearrowleft \text{---} + \text{---} \circlearrowright \text{---} + \text{---} \circlearrowleft \text{---}$$

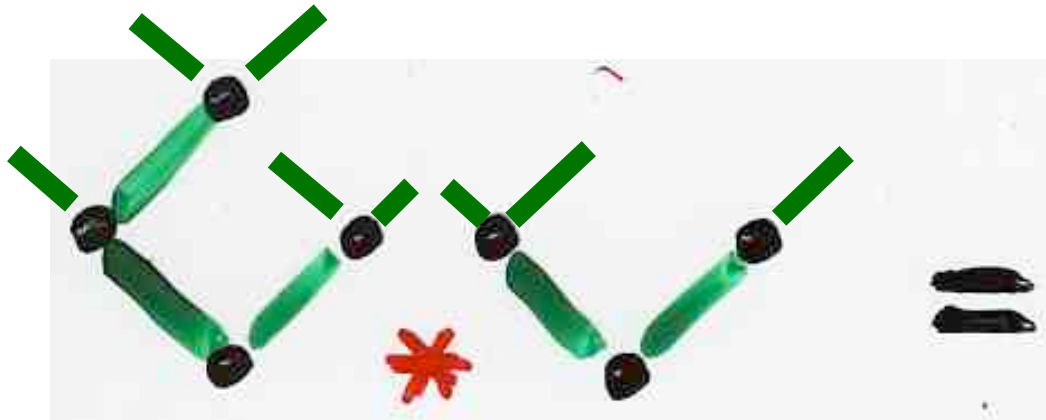
$$\sigma^\gamma(\text{Y}) = \text{---} \circlearrowleft \text{---} + \text{---} \circlearrowright \text{---} + \text{---} \circlearrowleft \text{---}$$

$$\sigma^\gamma(\text{Y}) = \text{---} \circlearrowleft \text{---} + \text{---} \circlearrowright \text{---} + \text{---} \circlearrowleft \text{---}$$

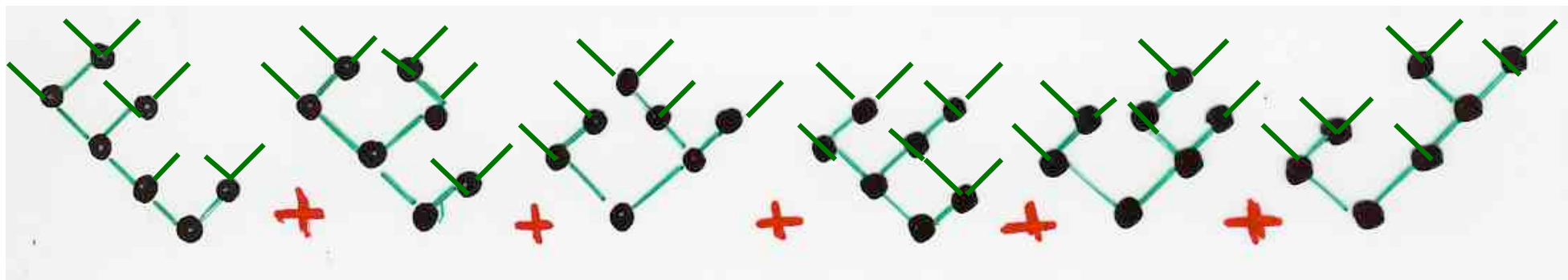
$$\sigma^\gamma(\text{Y}) = \text{---} \circlearrowleft \text{---} + \text{---} \circlearrowright \text{---} + \text{---} \circlearrowleft \text{---} + \text{---} \circlearrowright \text{---} + \text{---} \circlearrowleft \text{---}$$

$$+ \text{---} \circlearrowleft \text{---} + \text{---} \circlearrowright \text{---} + \text{---} \circlearrowleft \text{---} + \text{---} \circlearrowright \text{---} + \text{---} \circlearrowleft \text{---}$$

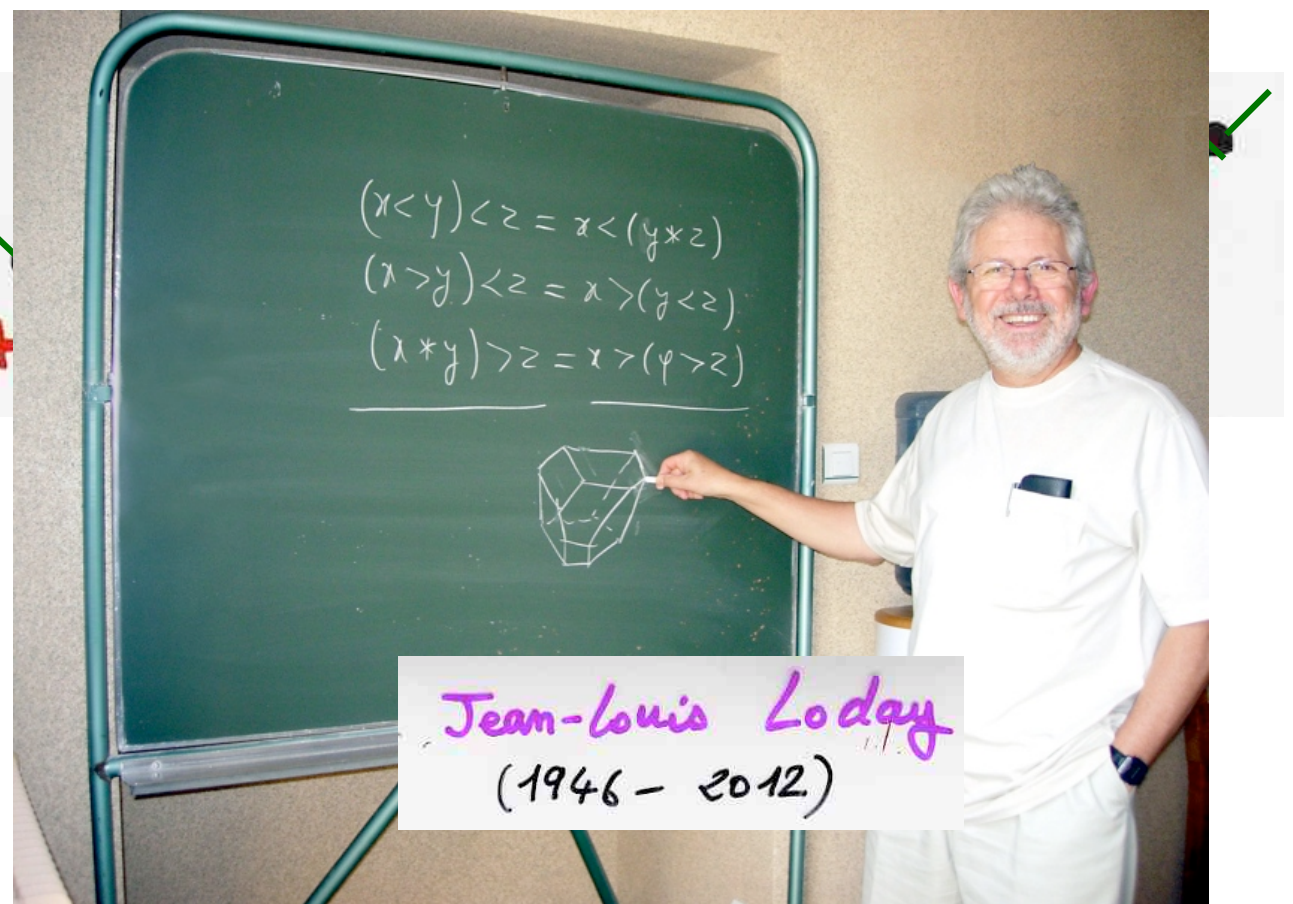
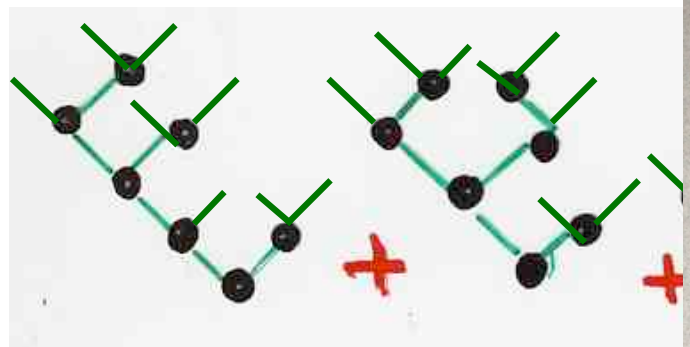
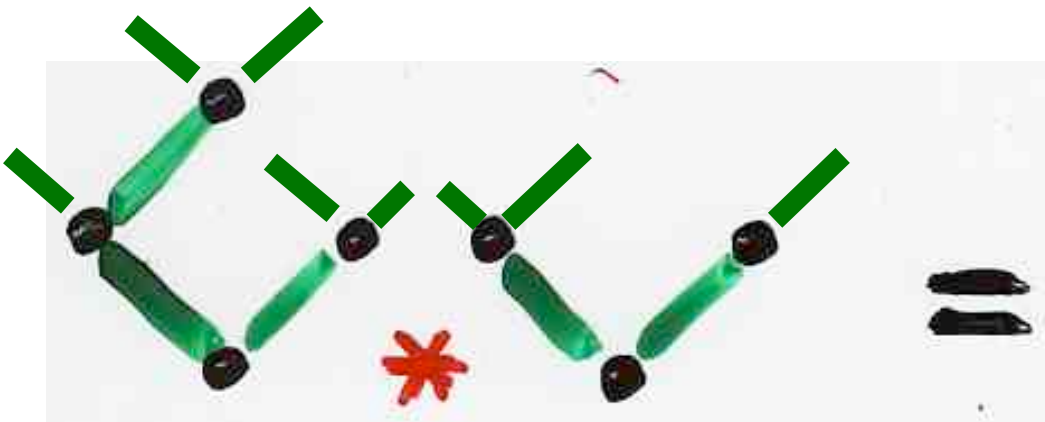
$$+ \text{---} \circlearrowleft \text{---} + \text{---} \circlearrowright \text{---} + \text{---} \circlearrowleft \text{---} + \text{---} \circlearrowright \text{---} + \text{---} \circlearrowleft \text{---}$$



produit de deux arbres binaires



physique  
combinatoire

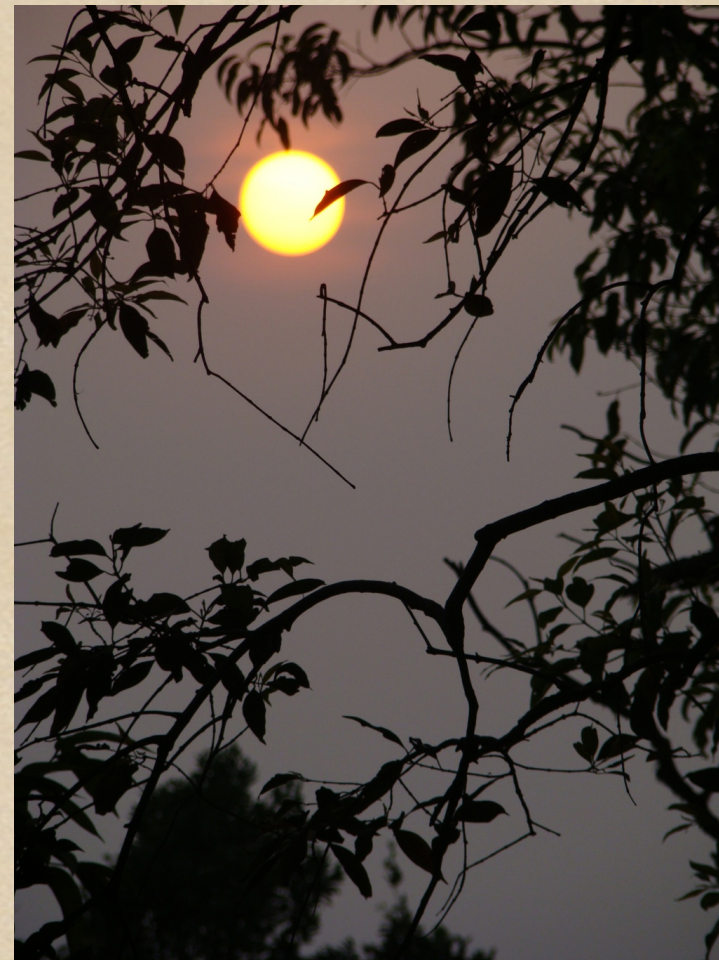


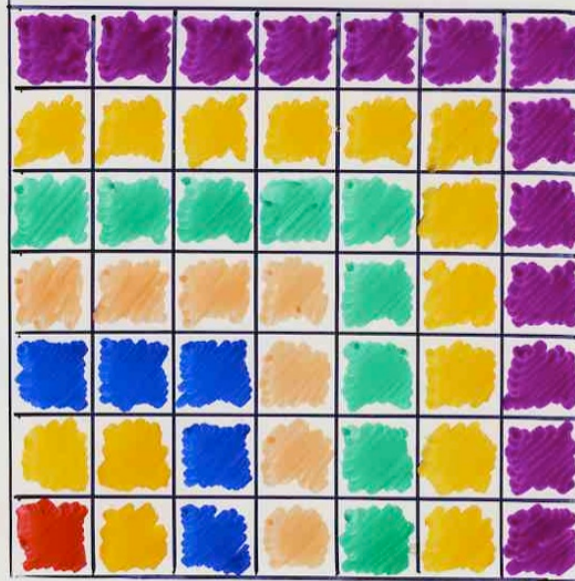


Alain Connes  
renormalisation quantique  
algèbre d'arbres

preuves avec des «figures»

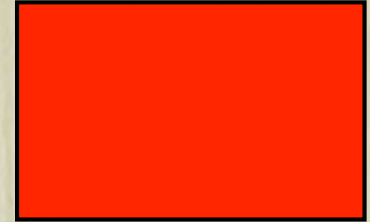
preuves  
combinatoires





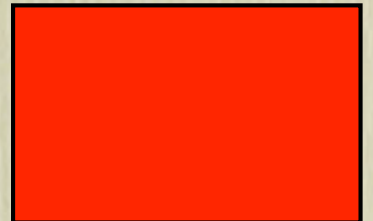
$$n^2 = 1 + 3 + \dots + (2n-1)$$

# interprétations combinatoires

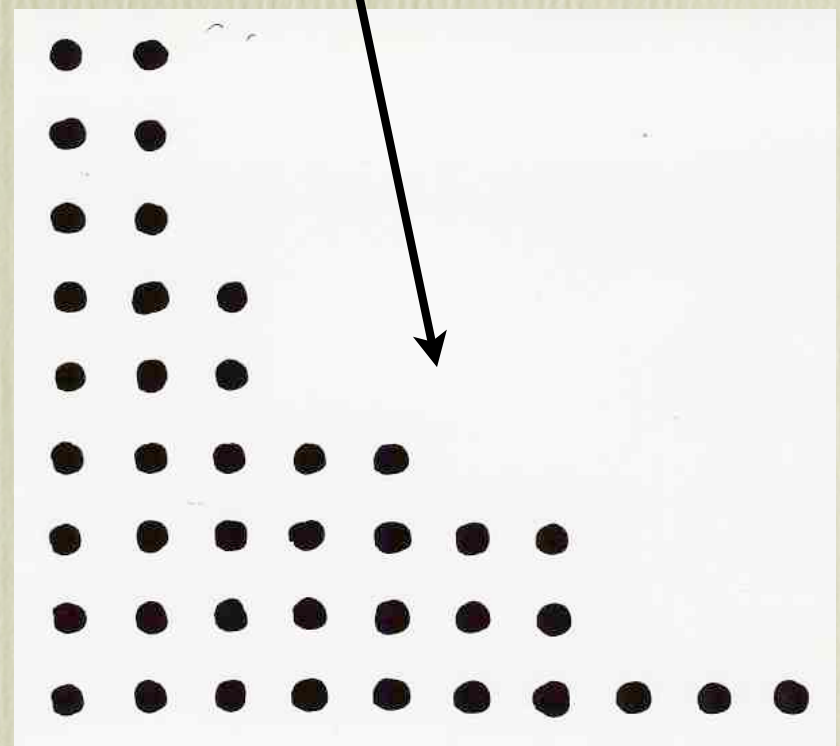
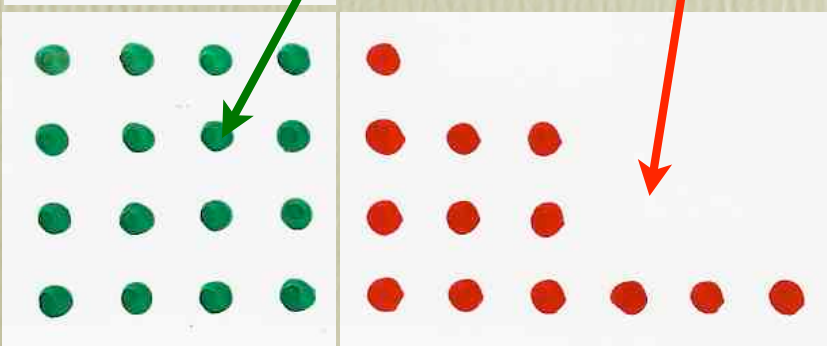
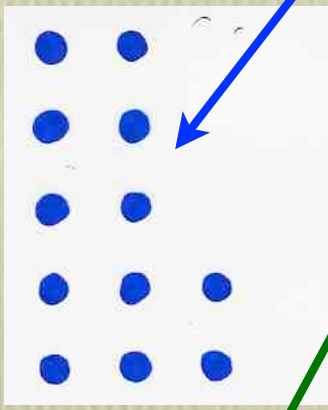


$$\sum_{m \geq 1} \frac{q^{m^2}}{[(1-q)(1-q^2) \dots (1-q^m)]^2} = \prod_{i \geq 1} \frac{1}{(1-q^i)}$$

preuves combinatoires de certaines identités  
avec des constructions  
de bijections, de correspondances



$$\sum_{m \geq 1} \frac{q^{m^2}}{(1-q)(1-q^2)\dots(1-q^m)^2} = \prod_{i \geq 1} \frac{1}{(1-q^i)}$$



# "dessiner des calculs"

à chaque "morceau" d'une identité

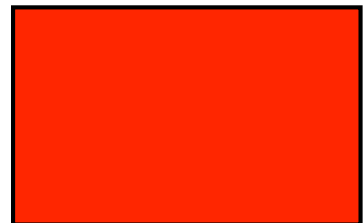


objet combinatoire

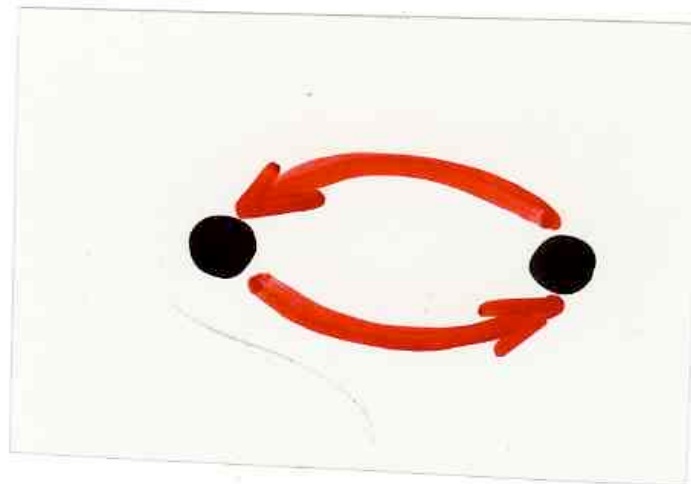
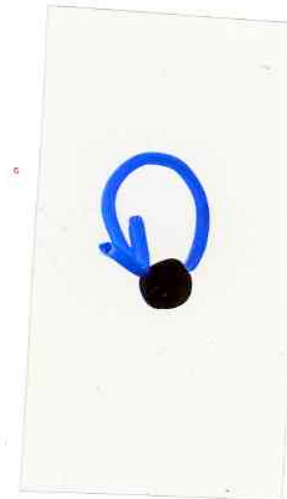
identité  $\longleftrightarrow$  correspondances  
constructions combinatoires  
bijections

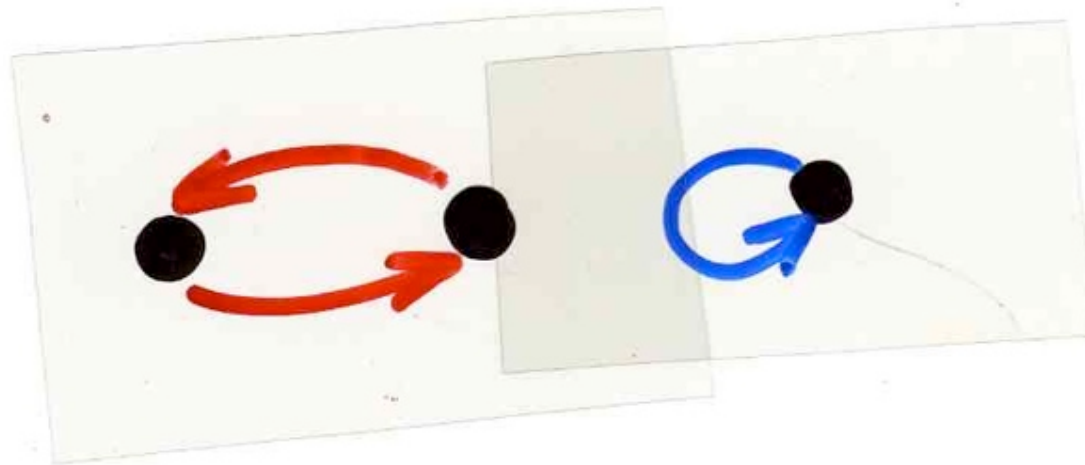
$$\sum_{n \geq 0} H_n(x) H_n(y) \frac{t^n}{n!} = (1 - 4t^2)^{-\frac{1}{2}} \exp \left[ \frac{4xyt - 4(x^2 + y^2)t^2}{1 - 4t^2} \right]$$

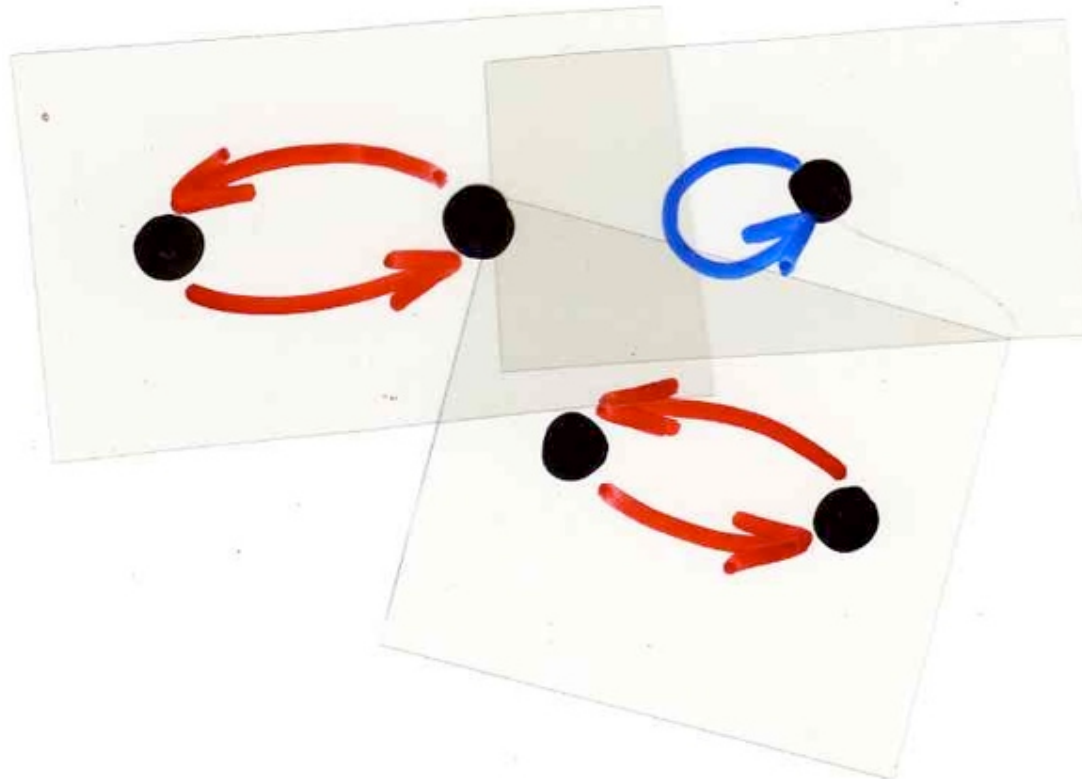
$$\exp\left(\underset{(x)}{\bullet} \textcolor{blue}{Q} + \underset{(-1)}{\bullet} \textcolor{red}{J}\right)$$

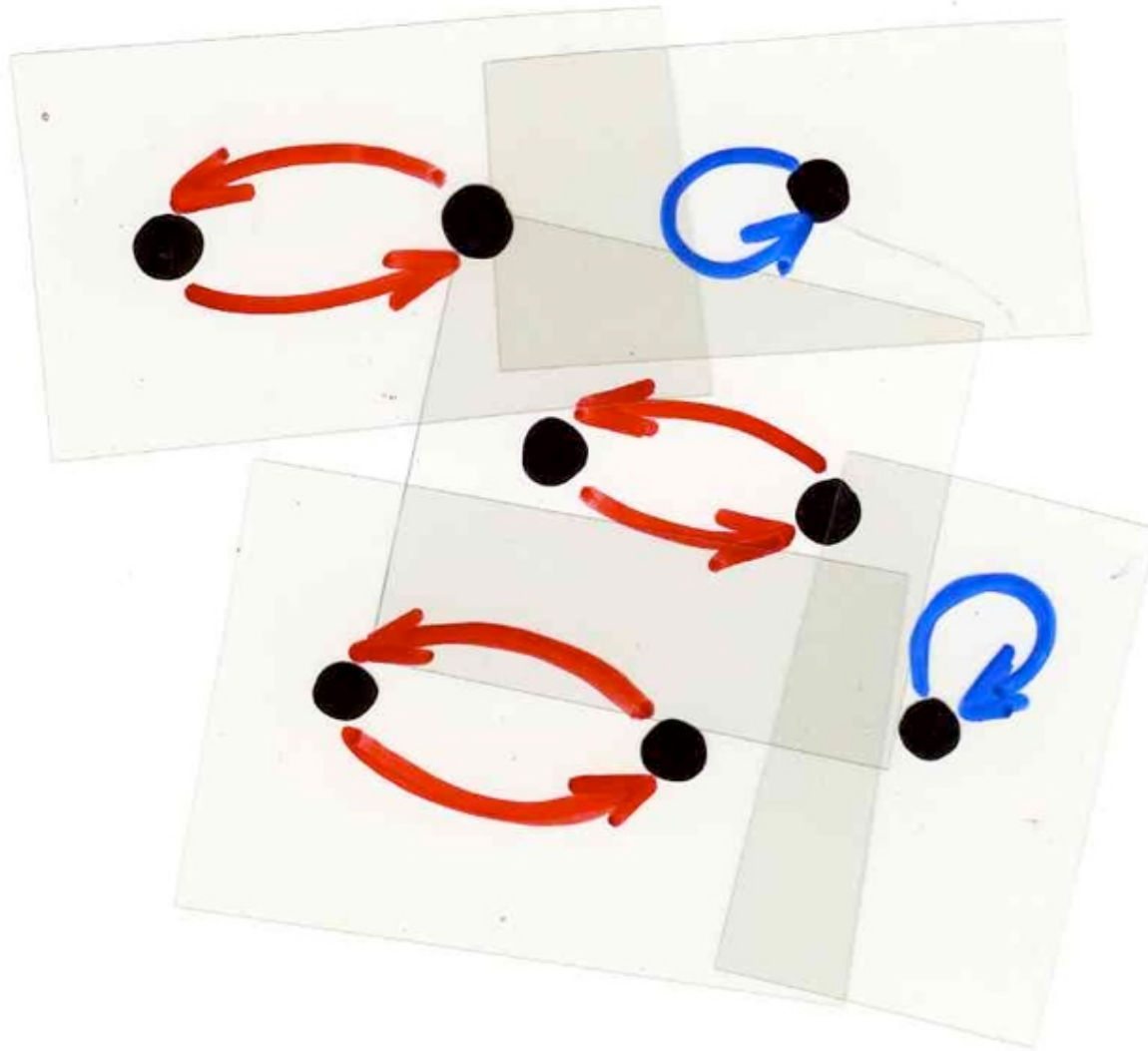


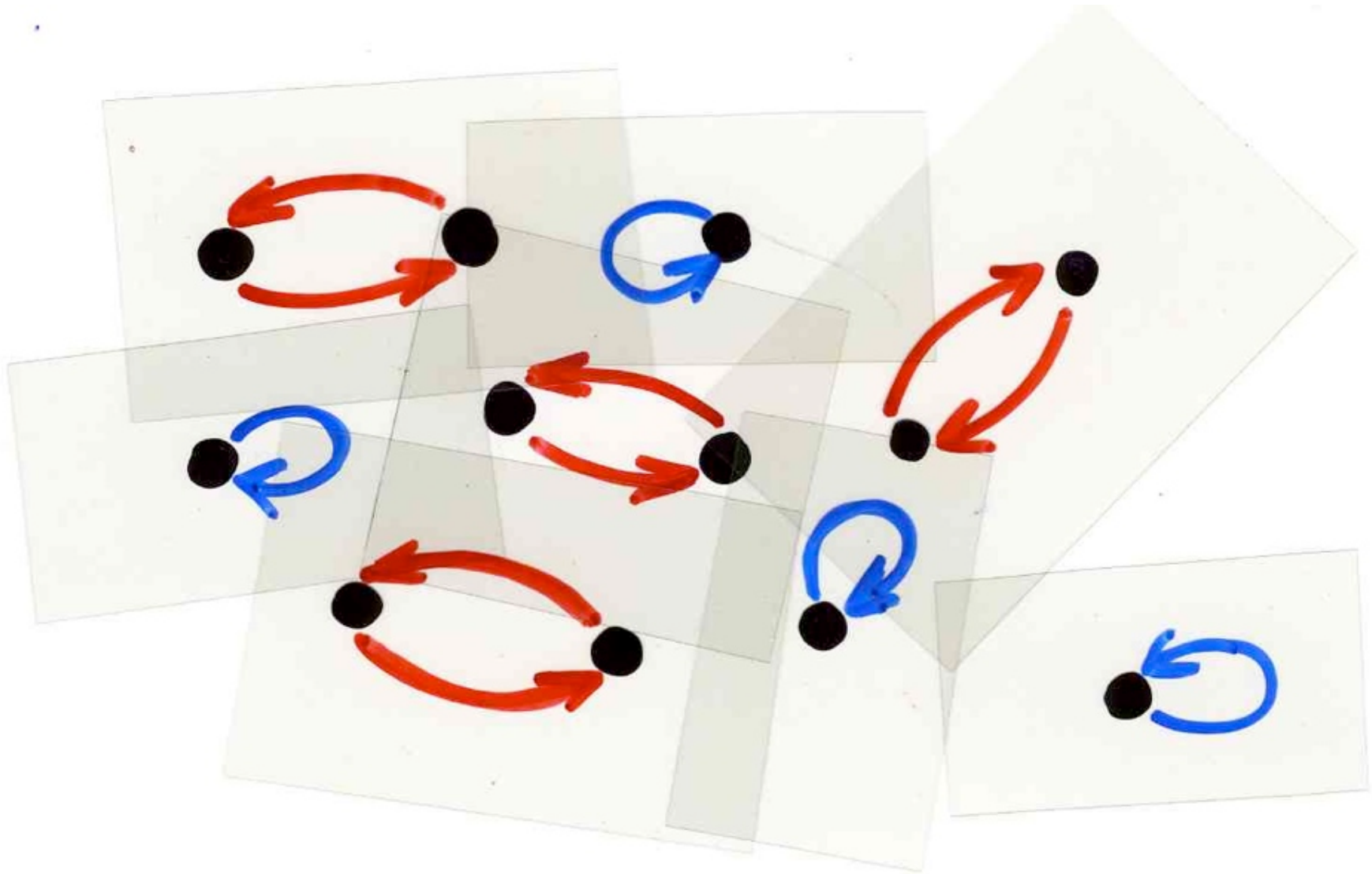
$$\sum_{n \geq 0} H_n(x) \frac{t^n}{n!} = \exp\left(xt - \frac{t^2}{2}\right)$$

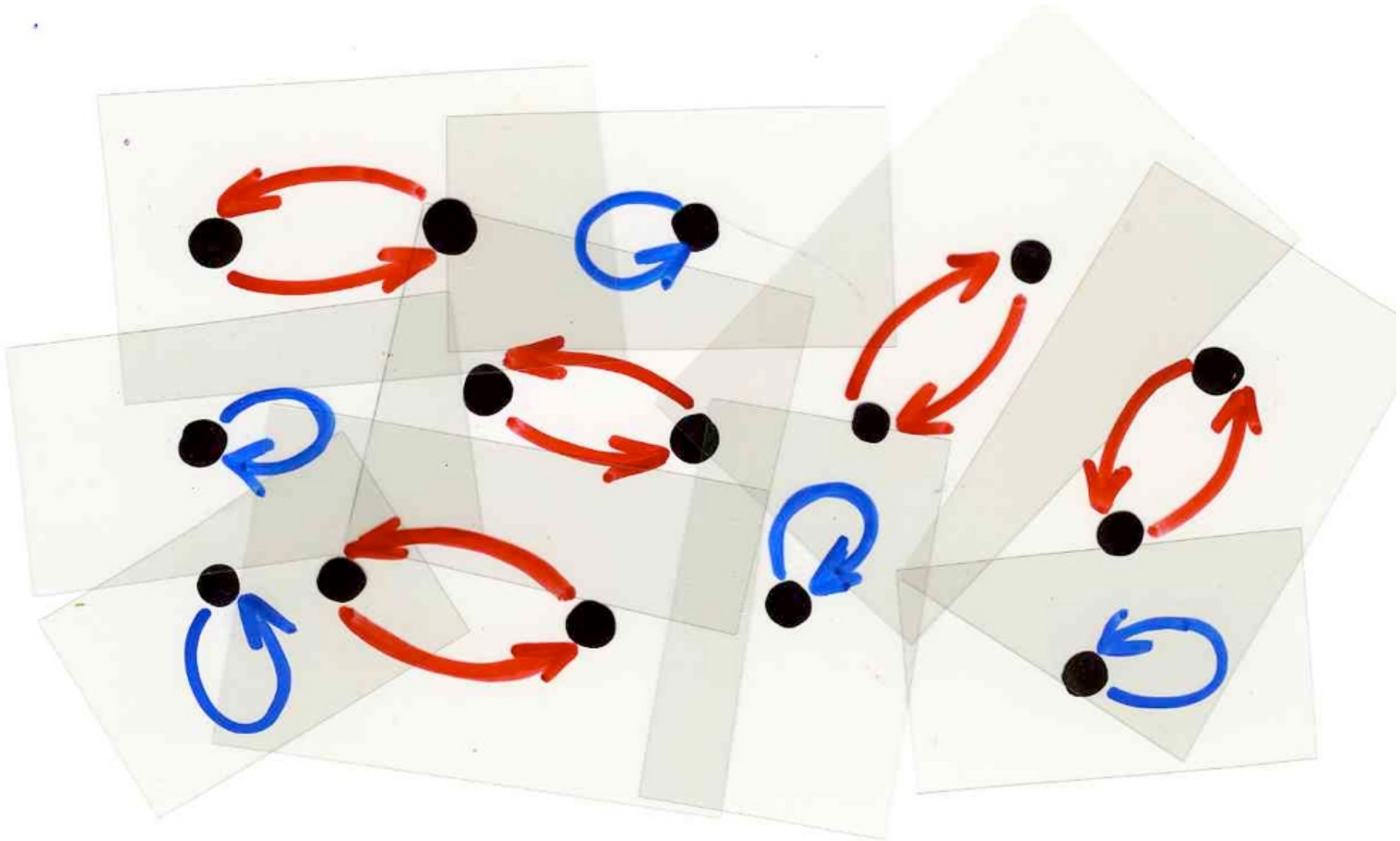






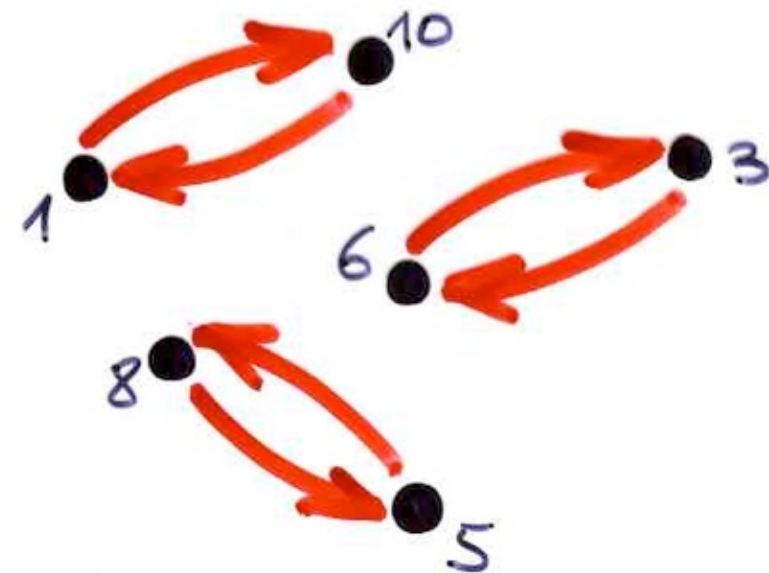
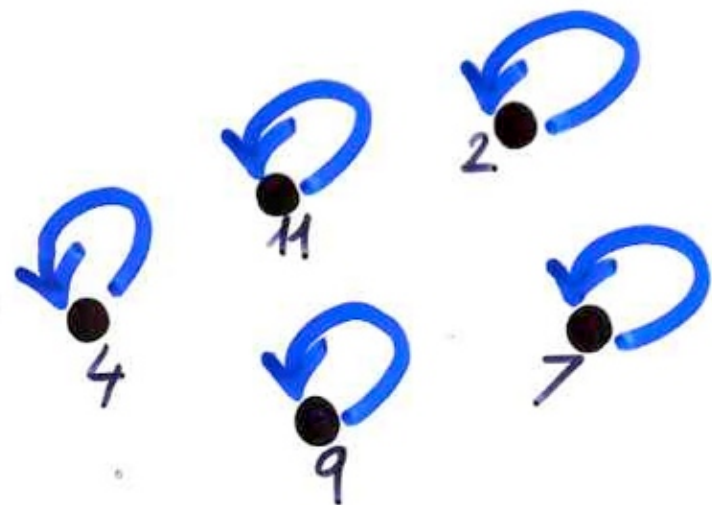






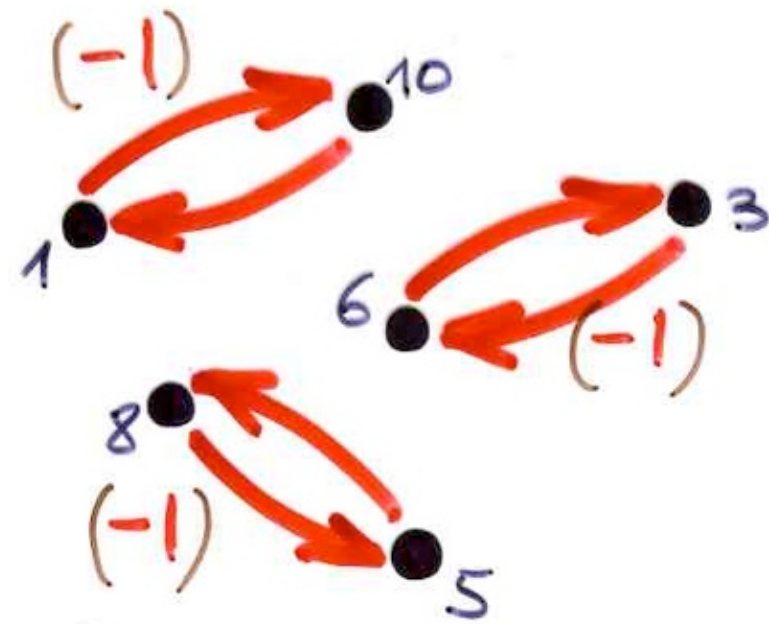
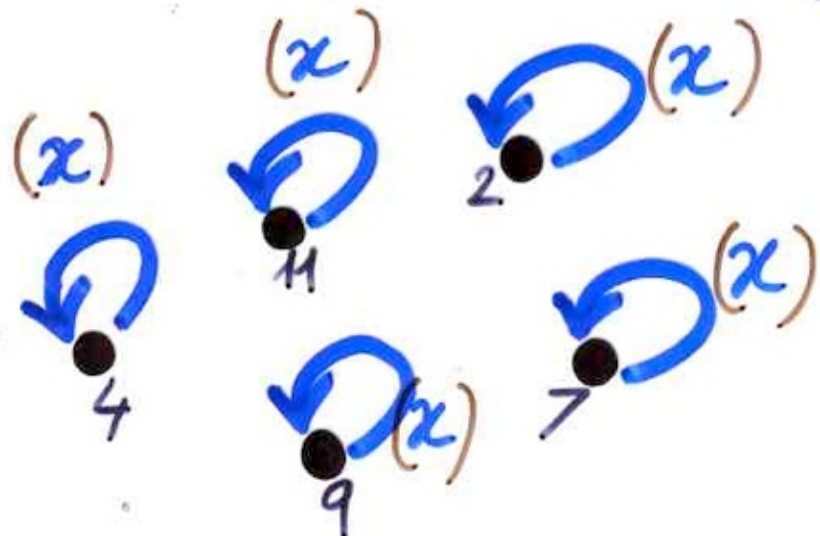
# Hermite

configurations



# Hermite

configurations



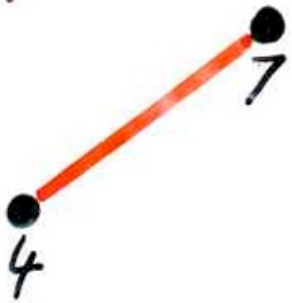
weight

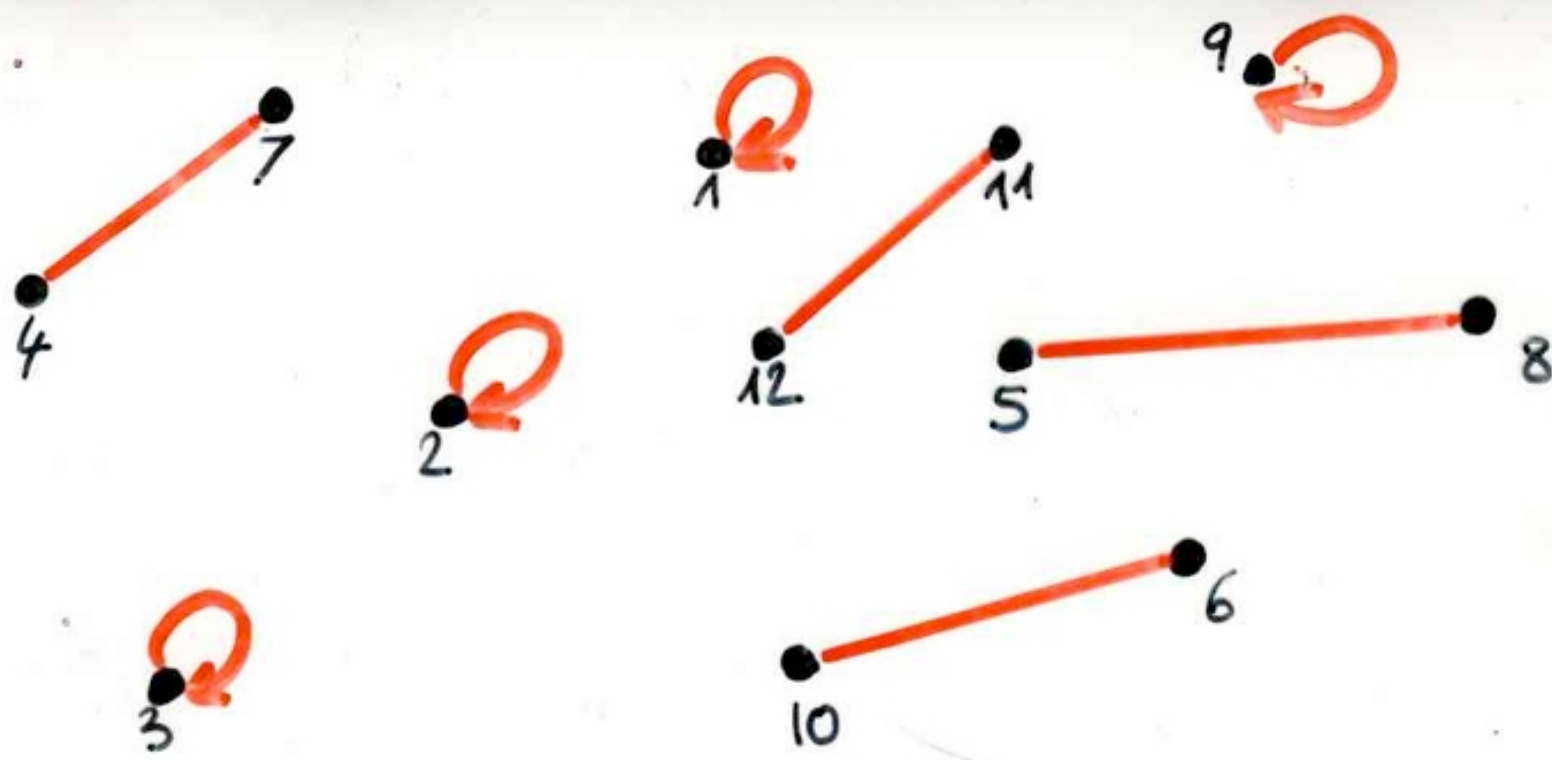
(x)  
(-1)

$$\sum_{n \geq 0} H_n(x) H_n(y) \frac{t^n}{n!} = (1 - 4t^2)^{-\frac{1}{2}} \exp \left[ \frac{4xyt - 4(x^2 + y^2)t^2}{1 - 4t^2} \right]$$

$$\sum_{n \geq 0} H_n(x) \frac{t^n}{n!} =$$

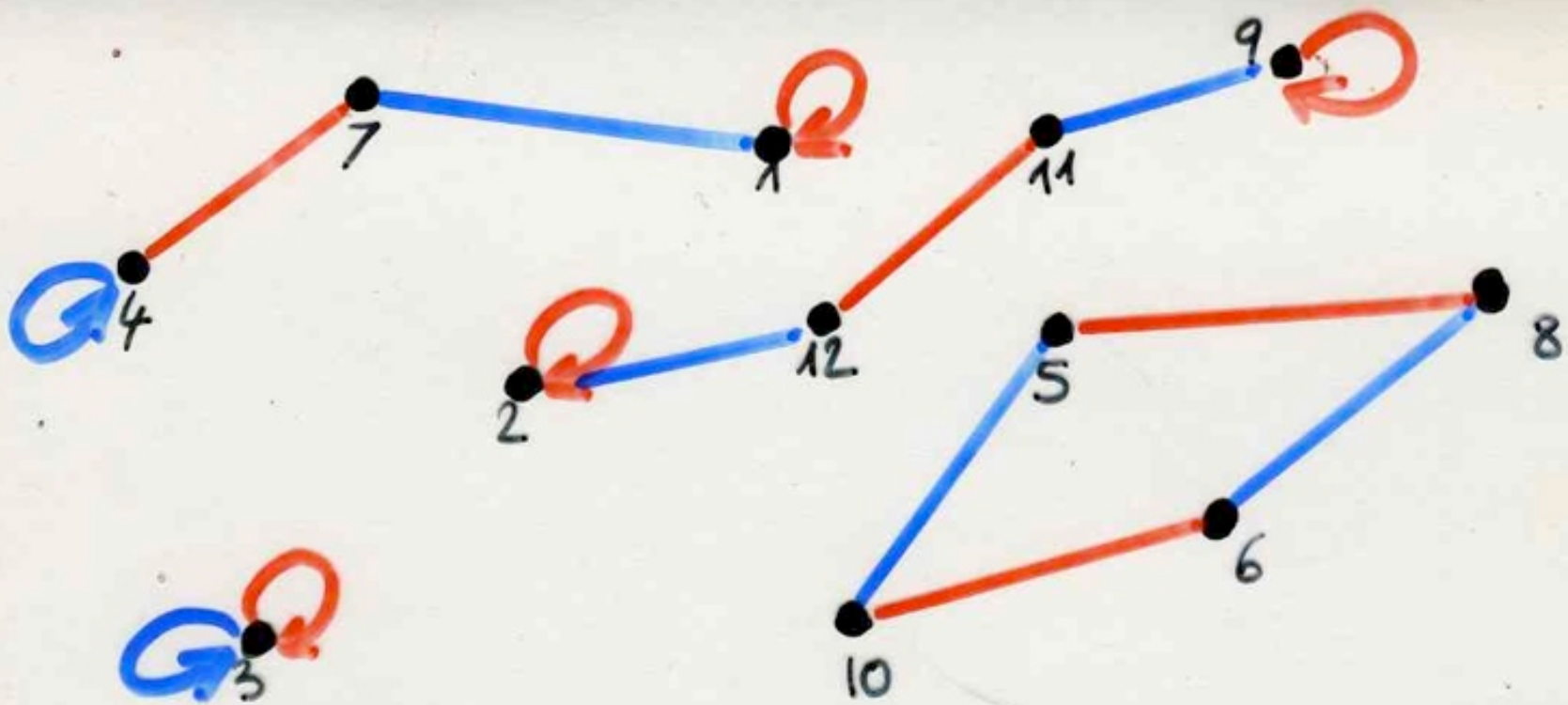
$$H_n(y)$$





$$\sum_{n \geq 0} H_n(x)$$

$$\frac{t^n}{n!} =$$



$$\sum_{n \geq 0} H_n(x) H_n(y) \frac{t^n}{n!} =$$

$$(1-4t^2)^{-\frac{1}{2}} \exp \left[ \frac{4xyt - 4(x^2 + y^2)t^2}{1-4t^2} \right]$$

$$\exp \left[ \frac{1}{2} \log \frac{1 + \frac{4xyt - 4(x^2 + y^2)t^2}{1-4t^2}}{1-4t^2} \right]$$

$$\exp \left[ \frac{1}{2} \log \frac{1 + \frac{4xyt - 4(x^2 + y^2)t^2}{1 - 4t^2}}{1 - 4t^2} \right]$$

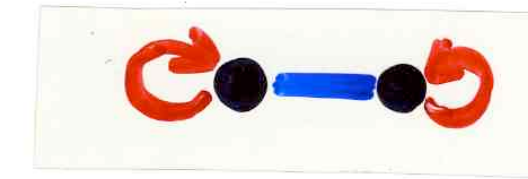
$$\frac{-4y^2 t^2}{1 - 4t^2}$$

$$\frac{-4x^2}{1 - 4t^2} t^2$$

$$\frac{1}{2} \log \frac{1}{(1 - 4t^2)}$$

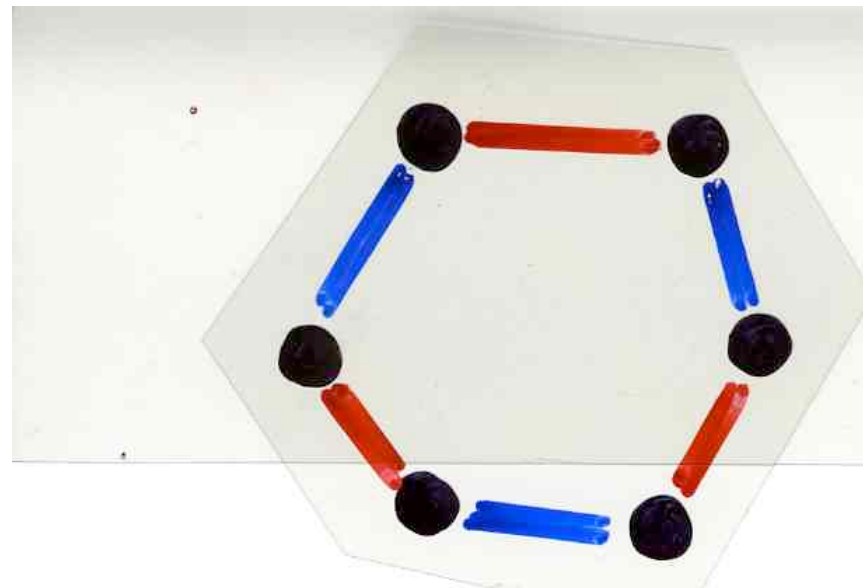
$$\frac{4xyt}{1 - 4t^2}$$

$$\frac{-4x^2}{1-4t^2} t^2$$

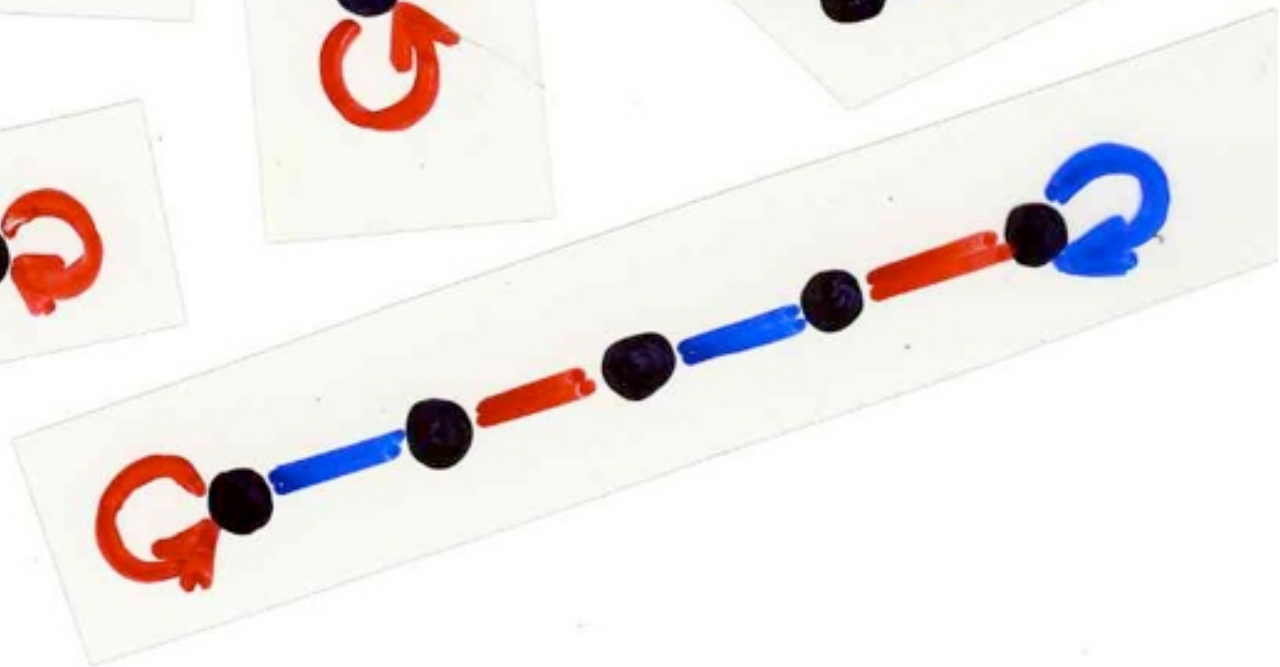
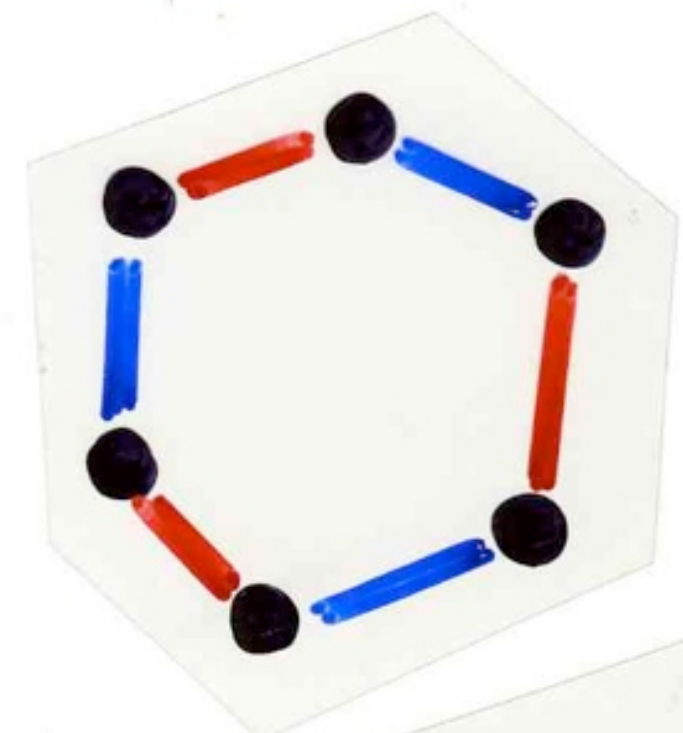
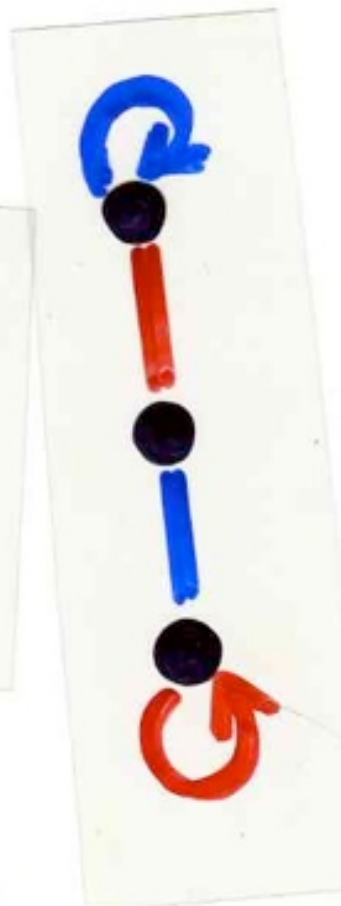
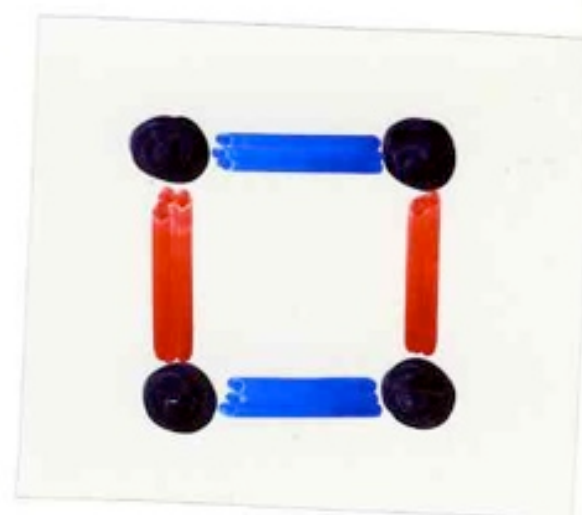
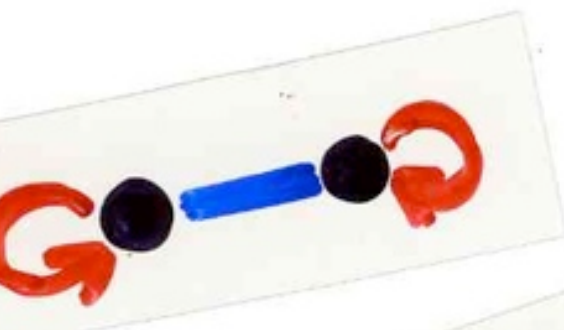
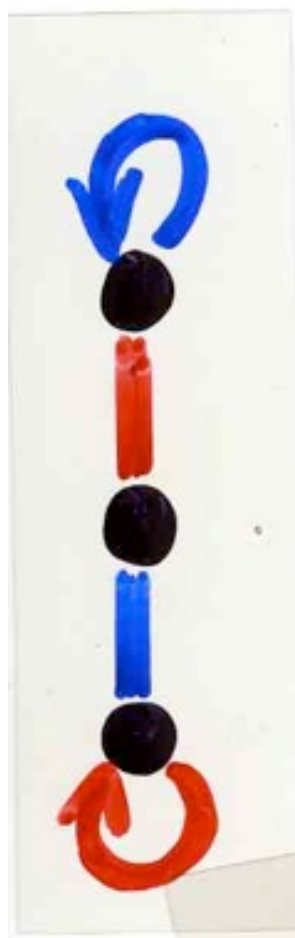


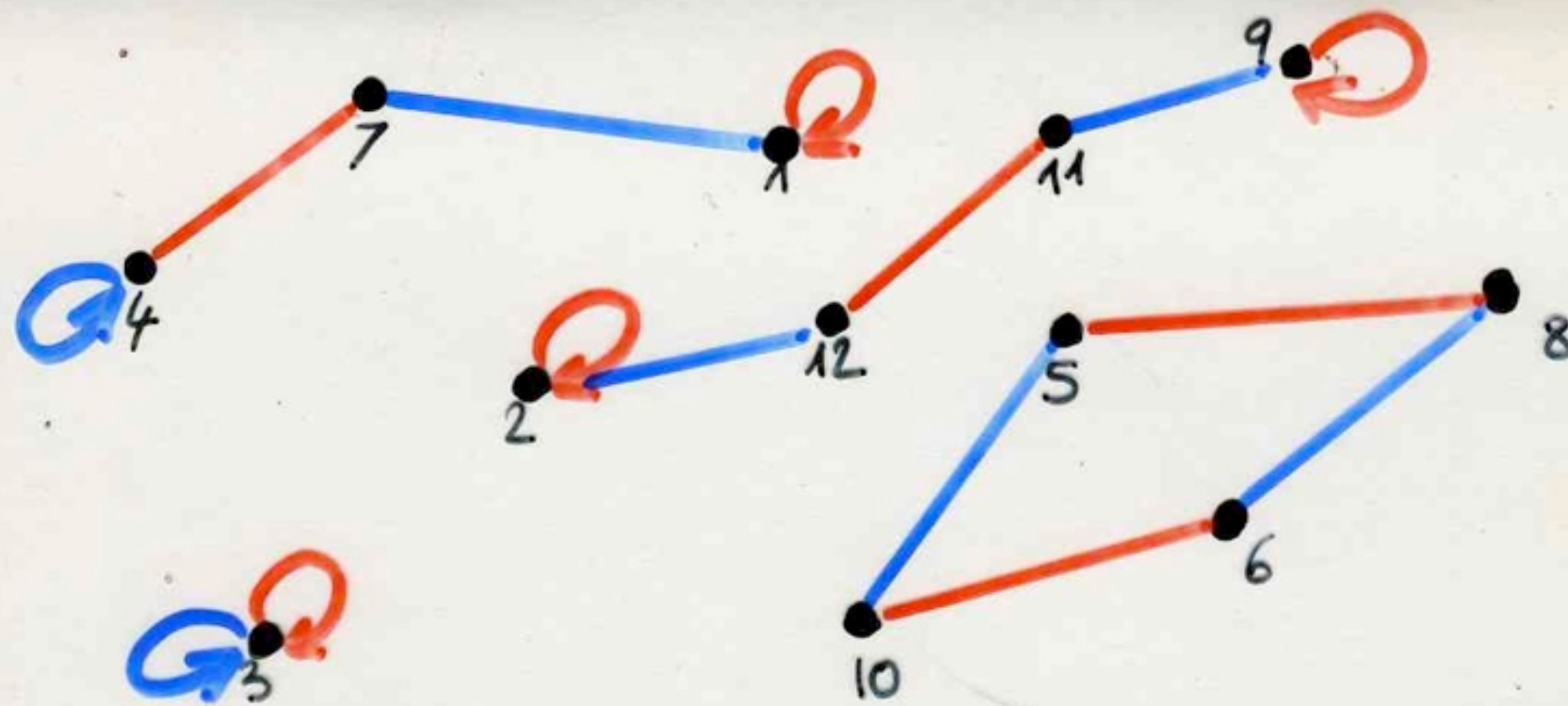
$$\frac{-4y^2}{1-4t^2} t^2$$

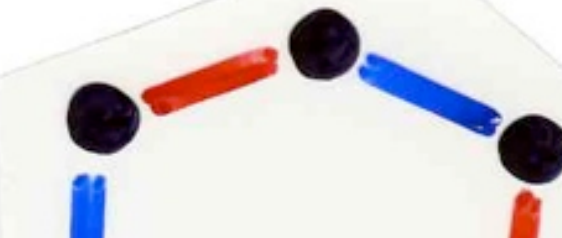
$$\frac{4xyt}{1-4t^2}$$



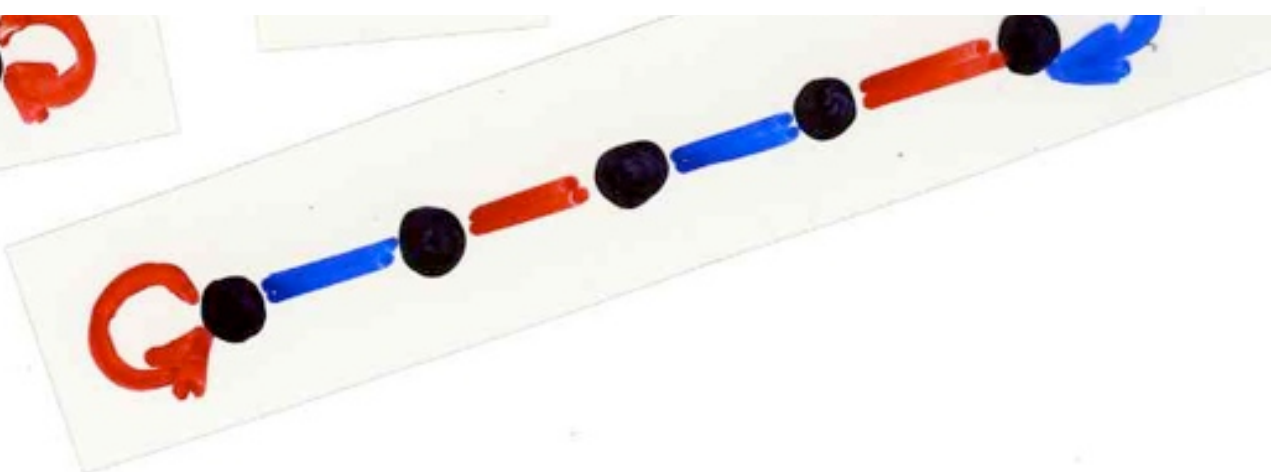
$$\frac{1}{2} \log \frac{1}{(1-4t^2)}$$

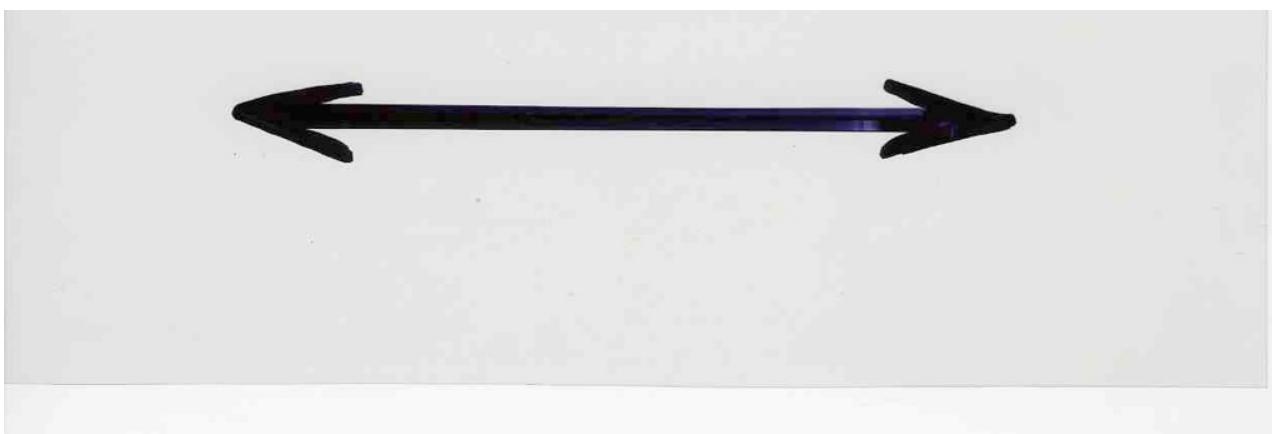
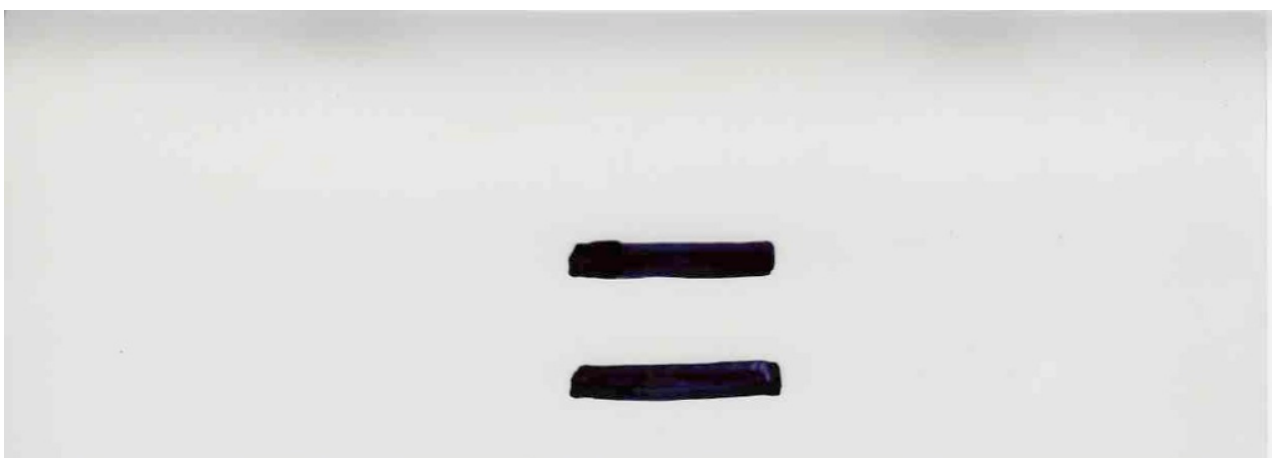






$$\sum_{n \geq 0} H_n(x) H_n(y) \frac{t^n}{n!} = (1 - 4t^2)^{-\frac{1}{2}} \exp \left[ \frac{4xyt - 4(x^2 + y^2)t^2}{1 - 4t^2} \right]$$





~~—~~  
~~—~~  
meilleure  
compréhension



# Le «paradigme bijectif»

# Rogers - Ramanujan identities

$$R_I \sum_{n \geq 0} \frac{q^{n^2}}{(1-q)(1-q^2) \cdots (1-q^n)} = \prod_{\substack{i=1,4 \\ \text{mod } 5}} \frac{1}{(1-q^i)}$$

$$R_{II} \sum_{n \geq 0} \frac{q^{n^2+n}}{(1-q)(1-q^2) \cdots (1-q^n)} = \prod_{\substack{i=2,3 \\ \text{mod } 5}} \frac{1}{(1-q^i)}$$

Srinivasan  
Ramanujan  
(1887-1920)



quelques formules ...

"La fraction continue" de Ramanujan

$$\frac{1}{1 + \frac{q}{1 + \frac{q^2}{1 + \frac{q^3}{\dots}}}} = \dots$$
$$\frac{1}{1 + \frac{q^k}{1 + \dots}}$$

$$\sum_{n \geq 0} \frac{q^{n^2+n}}{(1-q)(1-q^2) \dots (1-q^n)}$$
$$\sum_{n \geq 0} \frac{q^{n^2}}{(1-q)(1-q^2) \dots (1-q^n)}$$

$$R(q) = \prod_{n>0} \frac{(1-q^{5n+1})(1-q^{5n+4})}{(1-q^{5n+3})(1-q^{5n+2})} = \frac{R_{\text{II}}}{R_{\text{I}}}$$

$$R(q) = \prod_{n>0} \frac{(1-q^{5n+1})(1-q^{5n+4})}{(1-q^{5n+3})(1-q^{5n+2})} = \frac{R_{\text{II}}}{R_{\text{I}}}$$

$$t = -q [R(q)]^5$$

$$R(q) = \prod_{n \geq 0} \frac{(1-q^{5n+1})(1-q^{5n+4})}{(1-q^{5n+3})(1-q^{5n+2})} = \frac{R_{\text{II}}}{R_{\text{I}}}$$

$$t = -q [R(q)]^5$$

$$Y(q) = \prod_{n \geq 0} \frac{(1-q^{6n+2})(1-q^{6n+3})^2(1-q^{6n+4})(1-q^{5n+1})^2(1-q^{5n+4})^2(1-q^{5n})^2}{(1-q^{6n+1})(1-q^{6n+5})(1-q^{6n})^2(1-q^{5n+2})^3(1-q^{5n+3})^3}$$

$$R(q) = \prod_{n \geq 0} \frac{(1-q^{5n+1})(1-q^{5n+4})}{(1-q^{5n+3})(1-q^{5n+2})} = \frac{R_{\text{II}}}{R_{\text{I}}}$$

$$t = -q [R(q)]^5$$

$$Y(q) = \prod_{n \geq 0} \frac{(1-q^{6n+2})(1-q^{6n+3})^2(1-q^{6n+4})(1-q^{5n+1})^2(1-q^{5n+4})^2(1-q^{5n})^2}{(1-q^{6n+1})(1-q^{6n+5})(1-q^{6n})^2(1-q^{5n+2})^3(1-q^{5n+3})^3}.$$

$$Z(t) = Y(q(t))$$

$$y(1 + 14t + 97t^2 + 415t^3 + 1180t^4 + 2321t^5 + 3247t^6 + 3300t^7 + 2475t^8 + 1375t^9 + 550t^{10} + 143t^{11} + 18t^{12}) +$$

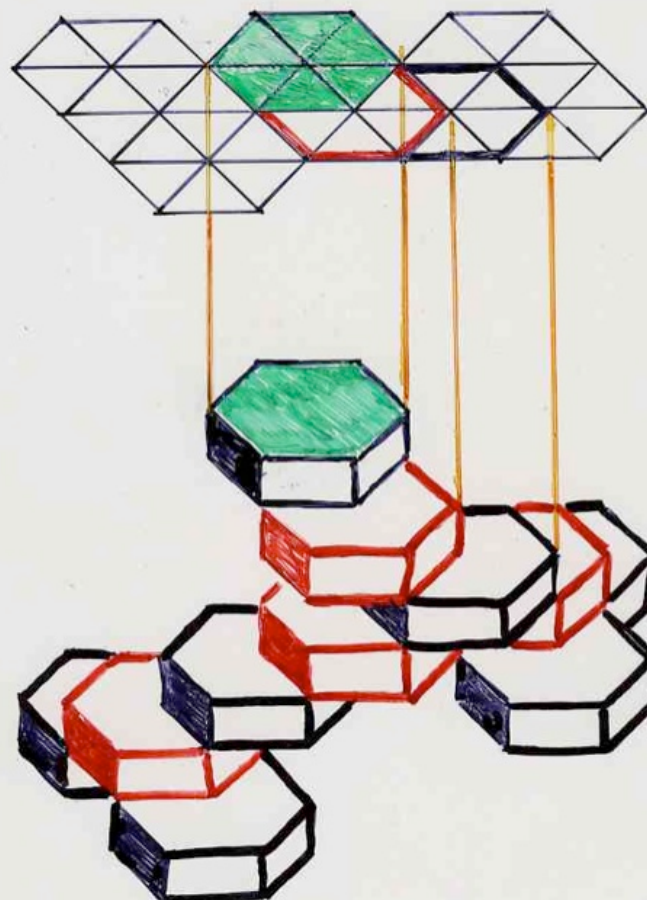
$$y^2(1 + 17t + 83t^2 + 601t^3 + 1647t^4 + 4606t^5 + 7809t^6 + 710t^7 + 124t^8 - 608t^9 - 440t^{10} - 92t^{11} - 36t^{12}) +$$

$$y^3(3 + 50t + 381t^2 + 1715t^3 + 5040t^4 + 10130t^5 + 14062t^6 + 13062t^7 + 6930t^8 + 715t^9 - 1595t^{10} - 488t^{11} - 198t^{12}) +$$

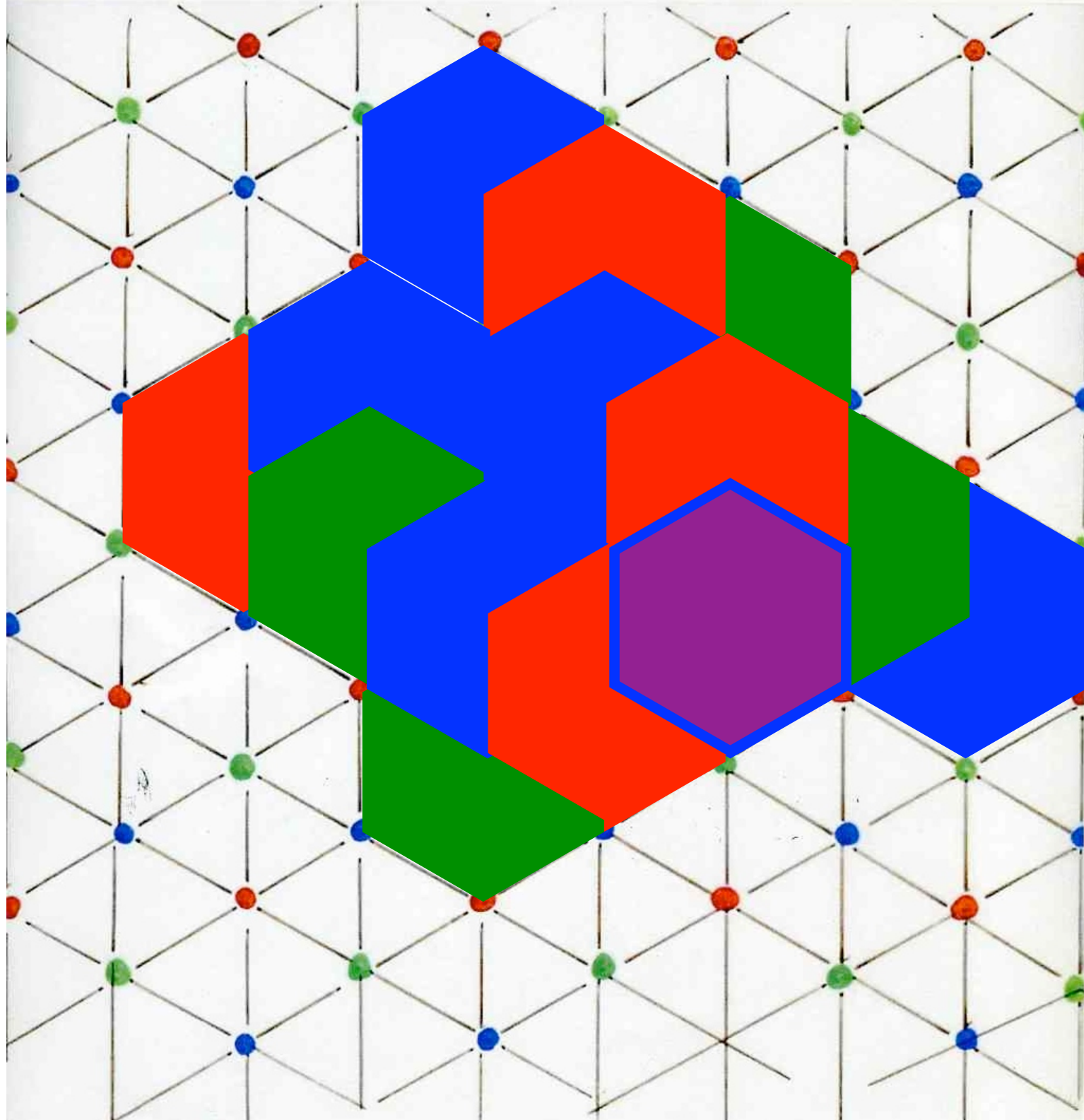
$$y^4(1 + 17t + 131t^2 + 595t^3 + 1765t^4 + 3574t^5 + 4939t^6 + 4356t^7 + 1815t^8 - 605t^9 - 1210t^{10} - 616t^{11} - 126t^{12})$$

$$= (t + 11t^2 + 55t^3 + 165t^4 + 330t^5 + 462t^6 + 462t^7 + 330t^8 + 165t^9 + 55t^{10} + 11t^{11} + t^{12})$$

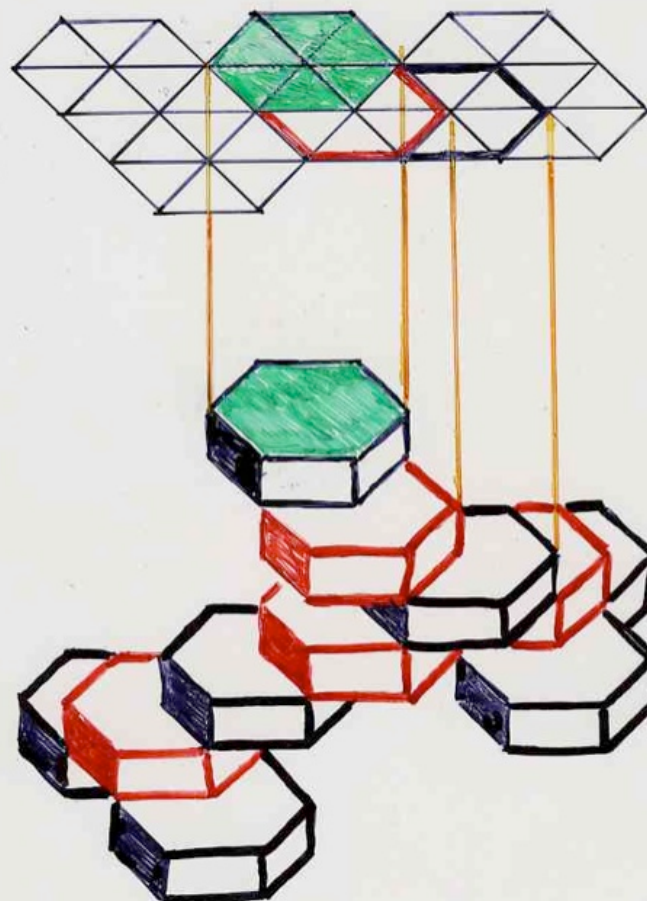
$$-p(-t) = y$$



Le concept d'empilements de pièces



$$-p(-t) = y$$



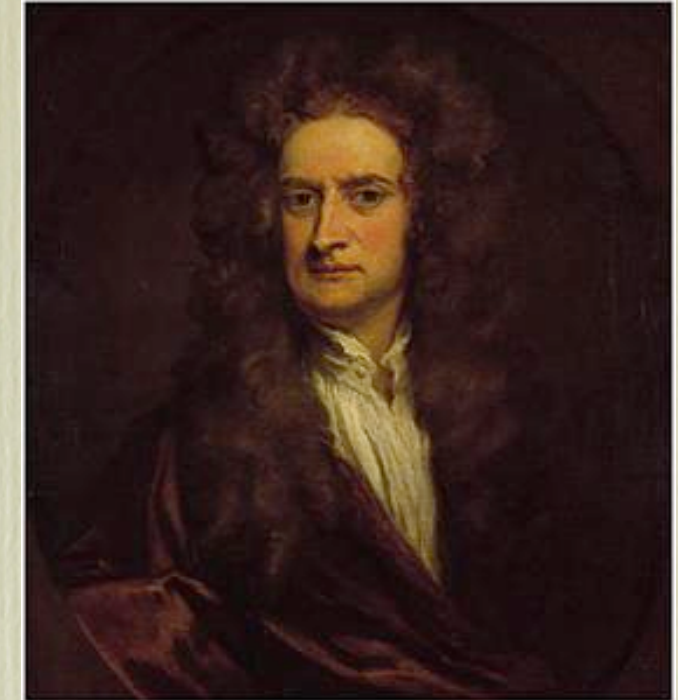
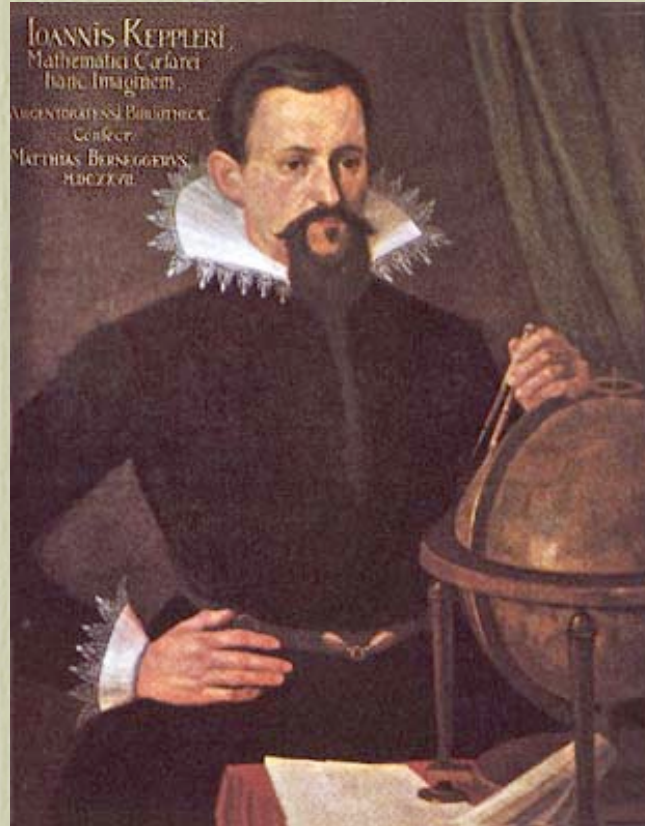
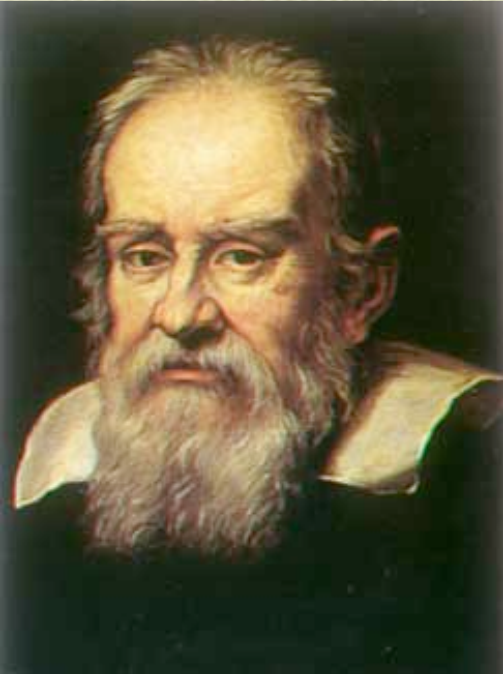
# Physique combinatoire

SAINt-EXUPÉRY

L'infiniment grand

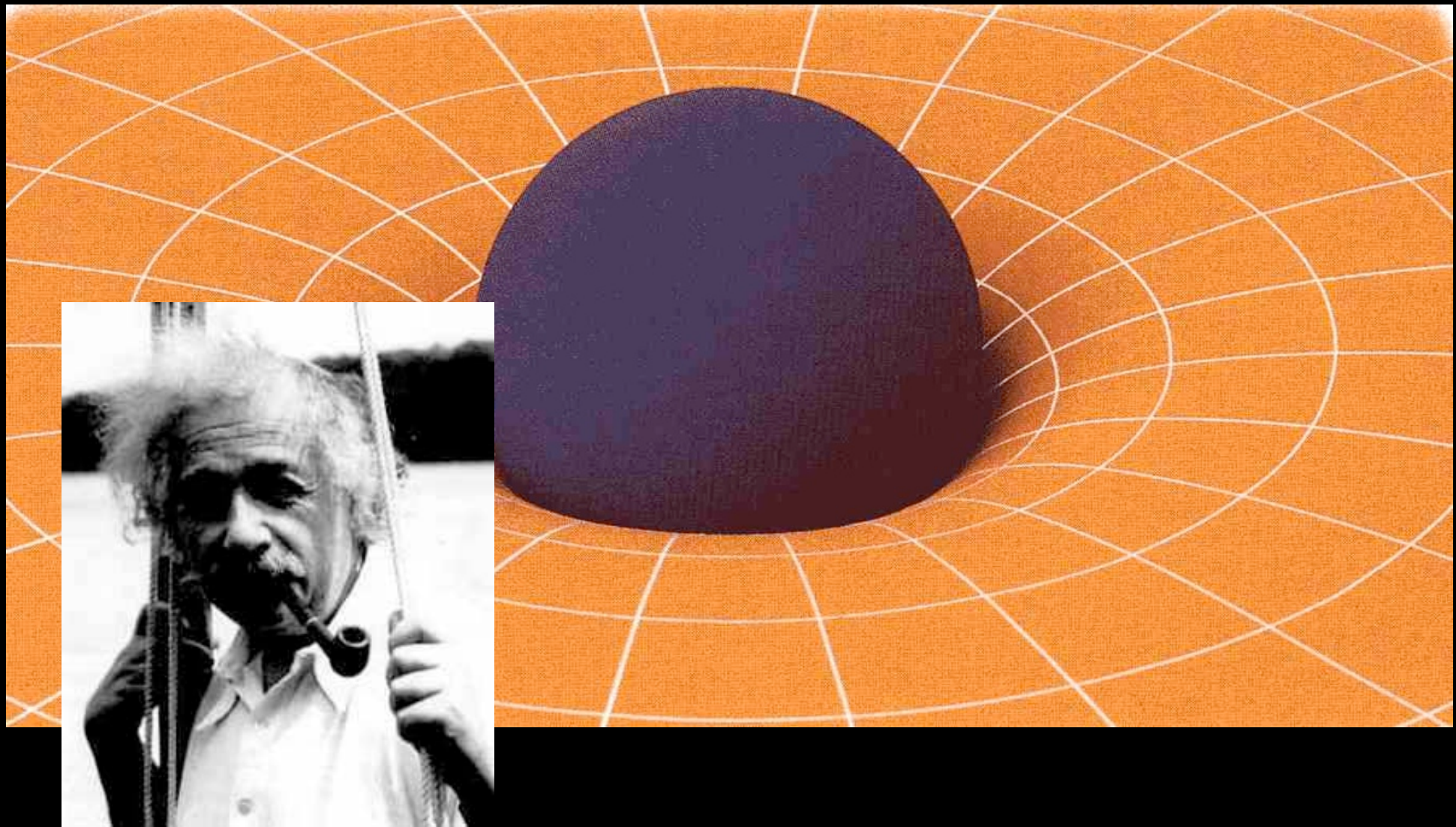
Des arbres dans les étoiles ?





géométrie et mécanique classique  
Galileo, Kepler, Newton,...

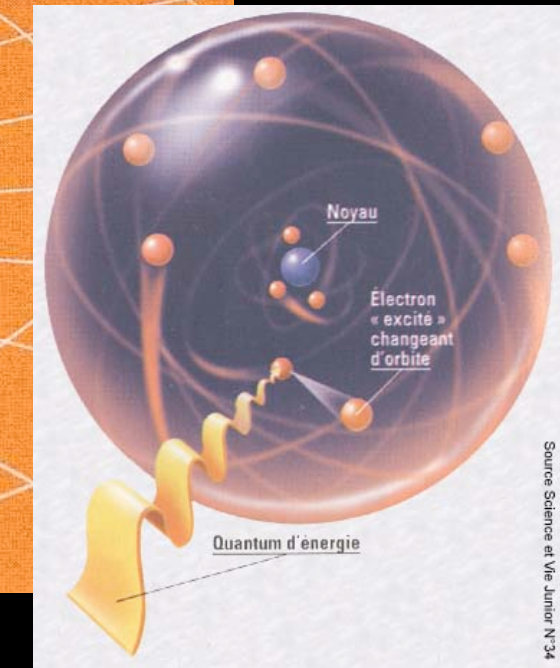
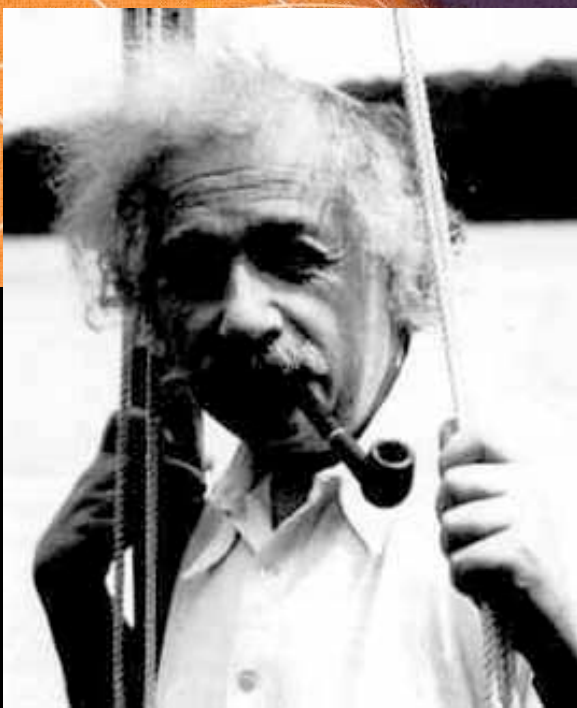
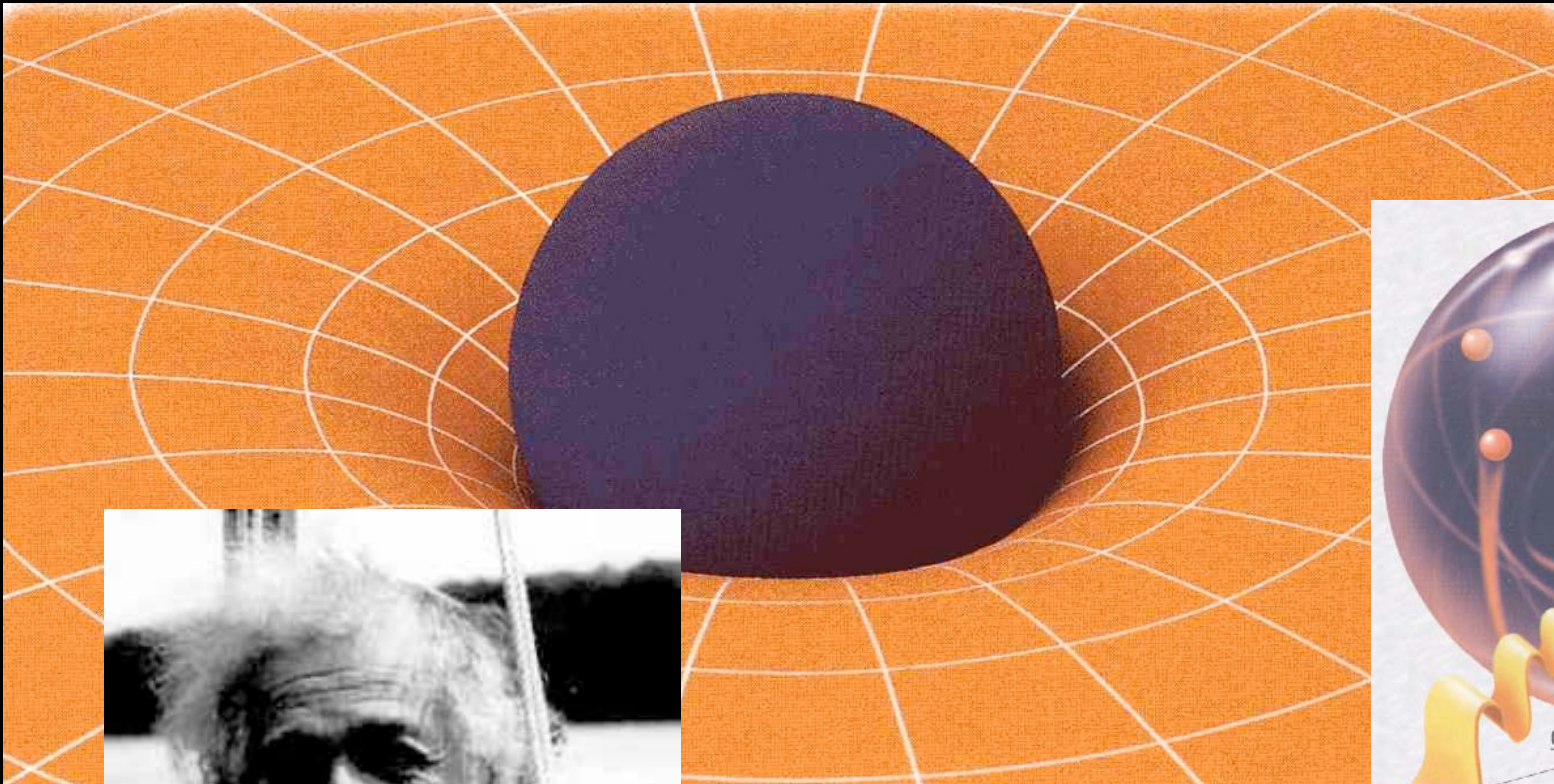
# relativité générale





## relativité générale

## mécanique quantique



Source : Science et Vie Junior N°34

## gravitation quantique

# théorie des cordes

particule comme une corde de violon ... ?

chaque fréquence correspond à une particule.... ?

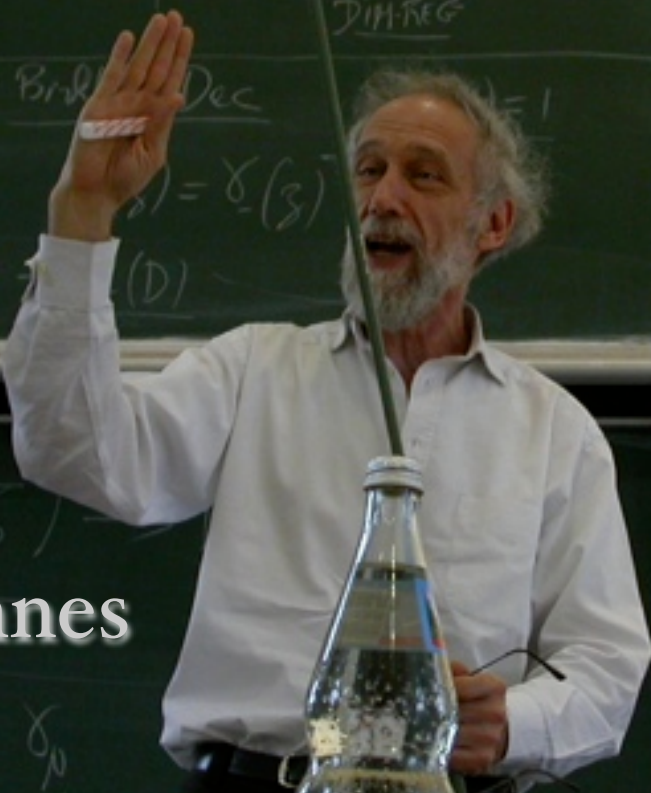
nombres de Catalan



# Alain Connes

M. MARCOLLI

$\chi_N$



$$\int e^{i \frac{S(A)}{\hbar}}$$
$$\frac{1}{\hbar^2} = \int_0^\infty e^{-\lambda R^2} d\lambda$$
$$\int e^{-\lambda R^2} dR = (\frac{\pi}{\lambda})^{\nu_2}$$

DIM-REG

D. KREIMER      Birkhoff Dec

$\gamma(x) \in G$

$\gamma(x) = \gamma(s)$

$x^D$

$\gamma(D) \sim$

Universal Singular Frac

$$\gamma_U(z, v) = T e^{-\frac{1}{z} \int_0^v u^Y(u) \frac{du}{u}}$$

$$\gamma_U(-z, v) = \sum_{n \geq 0} \sum_{k_j > 0}$$

$$\frac{e(-k_1)e(-k_2)\cdots e(-k_n)}{k_1(k_1+k_2)\cdots(k_1+k_2+\cdots+}$$

Same coefficients as

Local Index Formula in NCG

# géométrie non-commutative

$$\begin{array}{c} \text{X} \\ \text{D} \\ \text{X} \end{array}$$

D. KREIMER

Brakhoff Dec

$$\int e^{-xR^2} d^D R = \left(\frac{\pi}{\lambda}\right)^{D/2}$$

Di IREG

$$\gamma(D) = 1$$
$$\gamma(S) \in \mathbb{C}$$
$$\gamma(S) = \gamma(S^\dagger)$$
$$\rightarrow \gamma_+(D)$$

M. MARCOLLI

$$\underline{\gamma_N}$$



Universal Singular Fra

$$\gamma_U(z, v) = T e^{-\frac{1}{z} \int_0^v u^Y(u) \frac{du}{u}}$$

$$\gamma_U(-z, v) = \sum_{n \geq 0} \sum_{k_j > 0}$$

$$\frac{e(-k_1)e(-k_2)\cdots e(-k_n)}{k_1(k_1+k_2)\cdots(k_1+k_2+\cdots+k_n)}$$

Same coefficients as

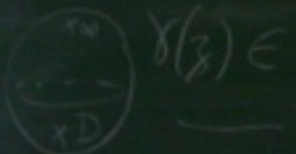
Local Index Formula in NC

# géométrie non-commutative

plus de points ...

D. KREIMER

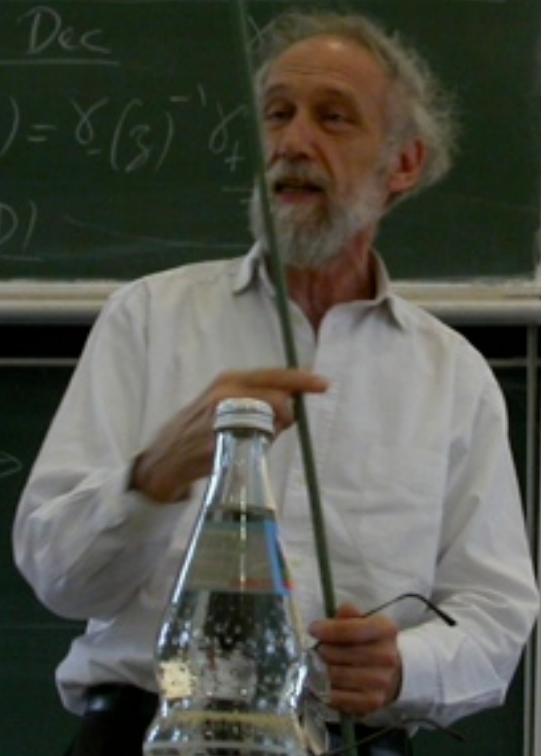
Brakhoff Dec



$$\gamma(s) \in G \quad \gamma(s) = \gamma(s)^{-1} \gamma_s \rightarrow \gamma_+(D)$$

M. MARCOLLI

$\delta_N$



$D_i \parallel (\bar{G}) \rightarrow$

Universal Singular Fra

$$\gamma_U(z, v) = T e^{-\frac{1}{z} \int_0^v u^Y(e) \frac{du}{e}}$$

$$\gamma_U(-z, v) = \sum_{n \geq 0} \sum_{k_j >}$$

$$\frac{e(-k_1)e(-k_2)\cdots e(-k_n)}{k_1(k_1+k_2)\cdots(k_1+k_2+\cdots+}$$

Same coefficients as

Local Index Formula in NC

# géométrie non-commutative

plus de droites ...

Universal Singular Frame

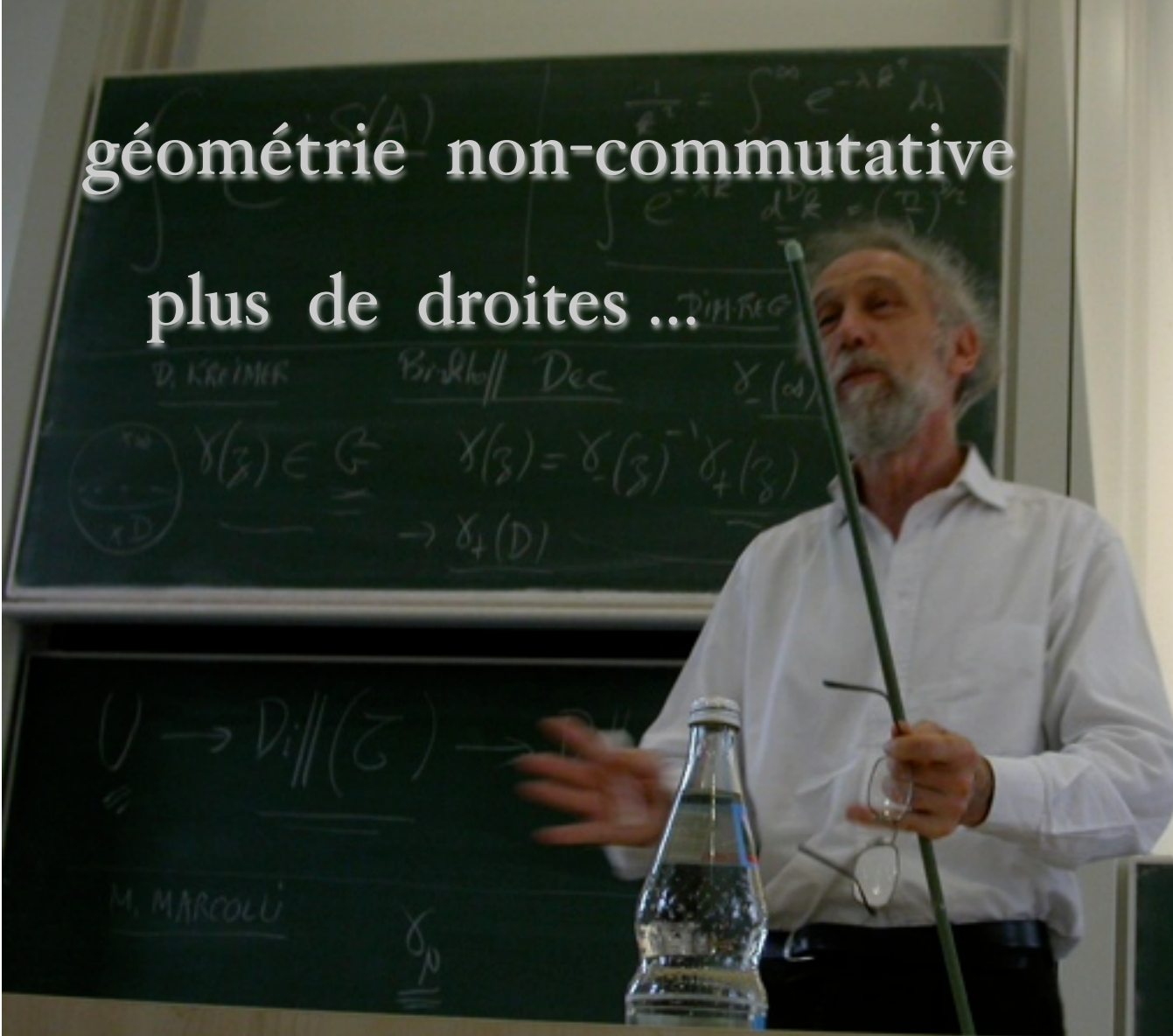
$$\gamma_U(z, v) = \tau e^{-\frac{1}{z} \int_0^v u^Y(u) \frac{du}{u}} \in U$$

$$\gamma_U(-z, v) = \sum_{n \geq 0} \sum_{k_j > 0}$$

$$\frac{e(-k_1)e(-k_2)\cdots e(-k_n)}{k_1(k_1+k_2)\cdots(k_1+k_2+\cdots+k_n)} v^{\sum k_j}$$

Same coefficients as in

Local Index Formula in NCG (ac + )



# géométrie non-commutative

ni d'espace ...

Universal Singular Frame

$$\gamma_U(z, v) = T e^{-\frac{1}{z} \int_0^v u^Y(u) \frac{du}{u}} \in U$$

$$\gamma_U(-z, v) = \sum_{n \geq 0} \sum_{k_j > 0}$$

$$\frac{e(-k_1)e(-k_2)\cdots e(-k_n)}{k_1(k_1+k_2)\cdots(k_1+k_2+\cdots+k_n)} v^{\sum k_j}$$

Same coefficients as in

Local Index Formula in NCG (ac + t)



# géométrie non-commutative

$AB \neq BA$

Universal Singular Frame

$$\gamma_U(z, v) = T e^{-\frac{1}{z} \int_0^v u^Y(e) \frac{du}{u}} \in U$$

$$\gamma_U(-z, v) = \sum_{n \geq 0} \sum_{k_j > 0}$$

$$\frac{e(-k_1)e(-k_2)\cdots e(-k_n)}{k_1(k_1+k_2)\cdots(k_1+k_2+\cdots+k_n)} v^\Sigma$$

Same coefficients as in

Local Index Formula in NCG (ac -



# géométrie non-commutative

$AB \neq BA$

et le temps ?

«Le théâtre quantique»

«L'incertitude quantique est le tic-tac de l'horloge divine»

Universal Singular Frame

$$\gamma_U(z, v) = \mathbb{T} e^{-\frac{1}{z} \int_0^v u^Y(e) \frac{du}{u}} \in U$$

$$\gamma_U(-z, v) = \sum_{n \geq 0} \sum_{k_j > 0}$$

$$\frac{e(-k_1)e(-k_2)\cdots e(-k_n)}{k_1(k_1+k_2)\cdots(k_1+k_2+\cdots+k_n)} v^{\sum}$$

Same coefficients as in

Local Index Formula in NCG (ac -)

# gravitation quantique à boucles



Carlo Rovelli

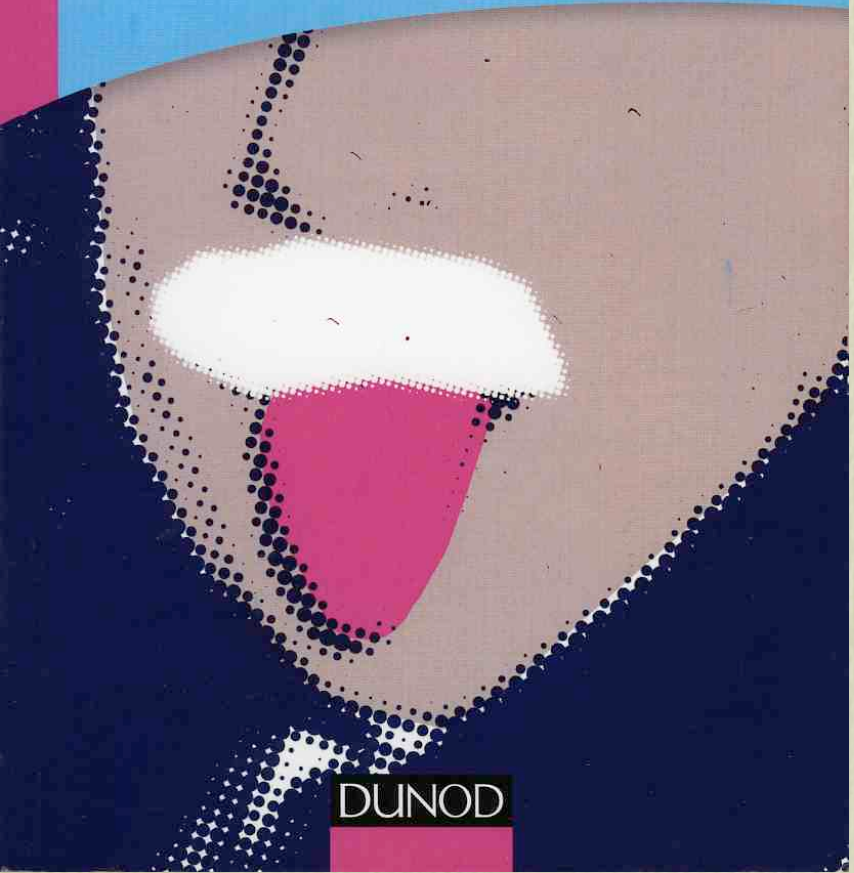
Et si le temps n'existait pas ?

QUAI DES SCIENCES

CARLO ROVELLI

# ET SI LE TEMPS N'EXISTAIT PAS ?

UN PEU DE SCIENCE  
SUBVERSIVE

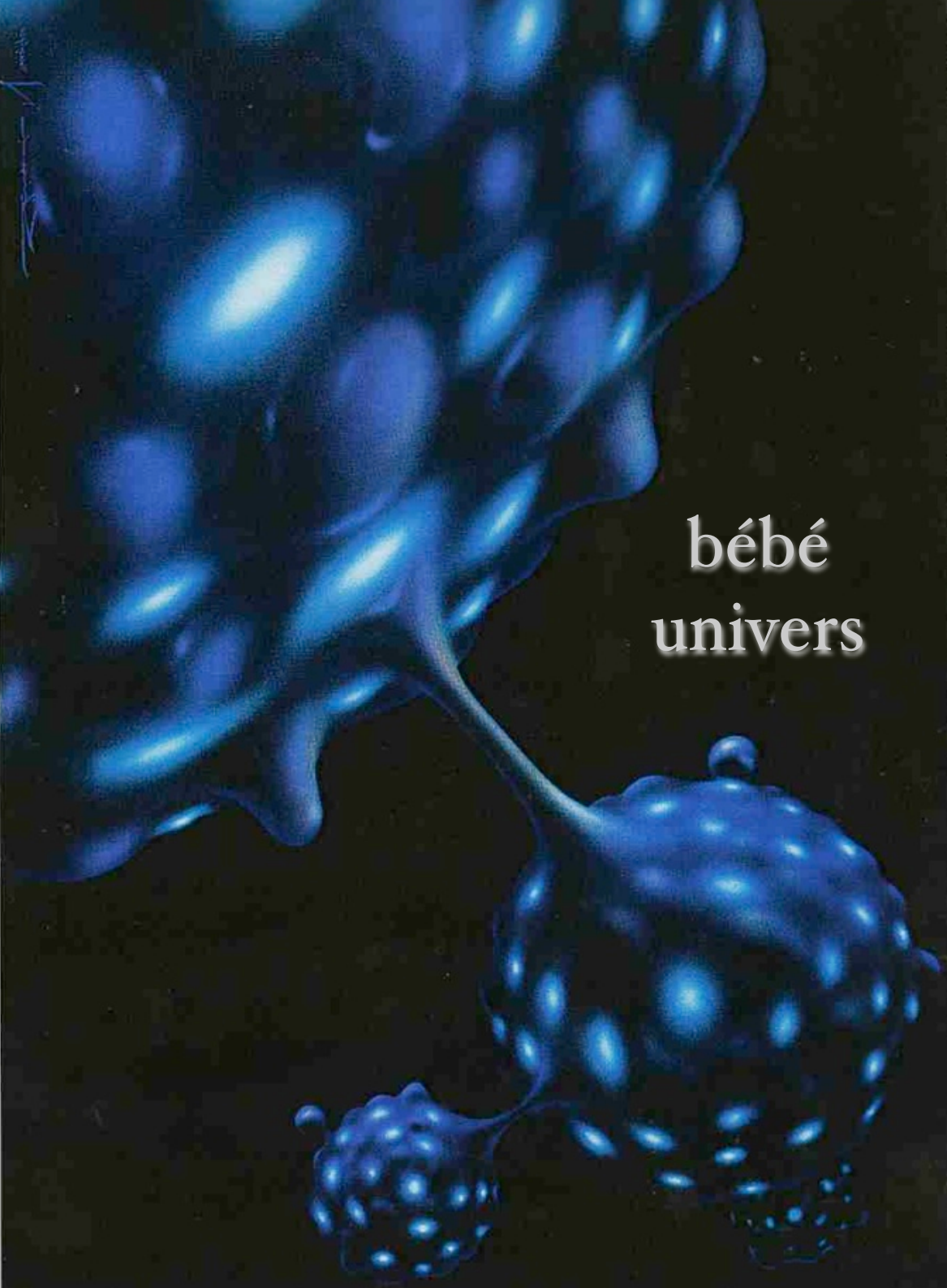


DUNOD

A dramatic photograph of a massive ocean wave crashing towards the viewer. The wave's face is a deep, translucent teal, while the spray and foam at the crest are a bright, frothy white. The background consists of more turbulent, foamy waves under a clear blue sky.

écume de  
l'espace-temps

particules  
d'espace-temps

A close-up photograph of a dark blue, glowing flower-like structure against a black background. The structure has several long, thin, curved petals or stamens that curve upwards and outwards, each ending in a bright, glowing blue light source. The overall effect is organic and celestial, resembling a baby universe.

bébé  
univers

Dessin  
S. Numazawa

Ciel & Espace

WILLIAM BLAKE

gravitation quantique

triangulations causales dynamiques



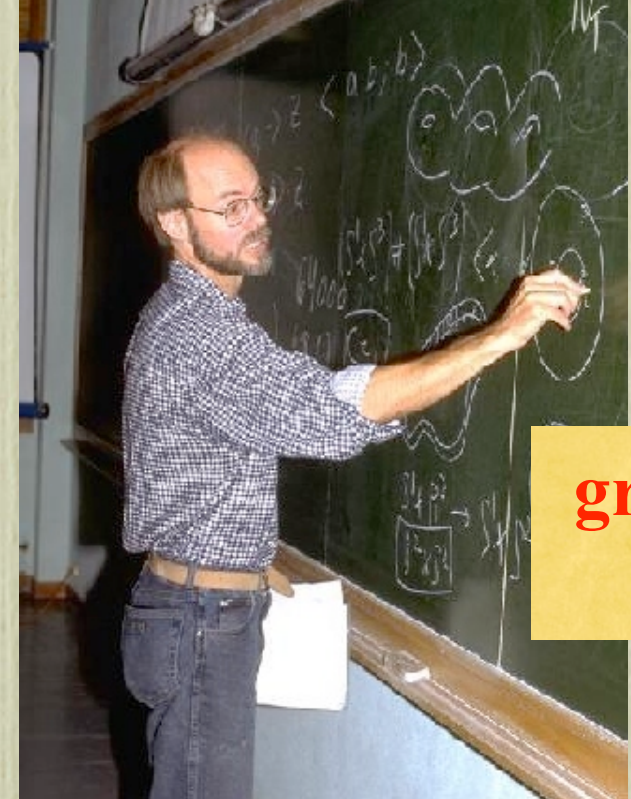


Deepak Dhar  
TIFR Bombay

Xavier, you should have  
a look at these papers:

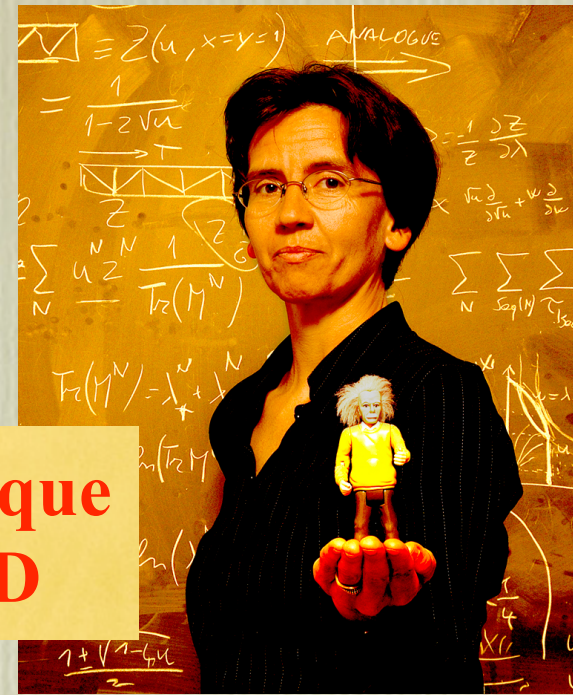
- J. Ambjørn , R. Loll , "Non-perturbative  
Lorentzian quantum gravity and topology  
change", Nucl. Phys. B 536 (1998) 407-436  
arXiv: hep-th / 9805108
- P. Di Francesco, E. Guitter , C. Kristjansen,  
"Integrable 2D Lorentzian gravity and random  
walks ", Nucl. Phys. B 567 (2000) 515-553  
arXiv: hep-th / 9907084

gravitation      quantique



J.Ambjørn

## gravitation quative Lorentzienne 2D



R. Loll



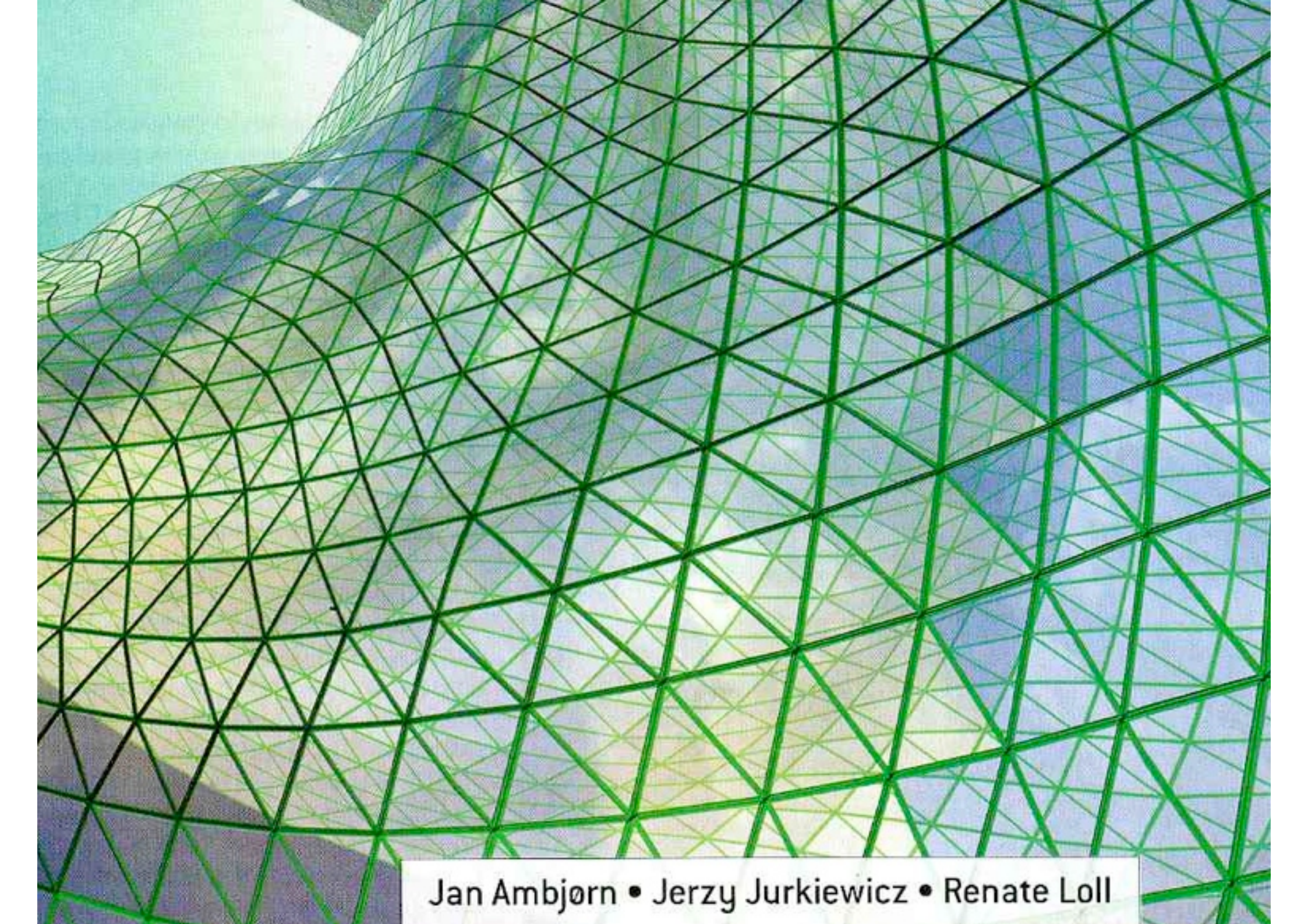
P. Di Francesco



E.Gitter



C. Kristjansen



Jan Ambjørn • Jerzy Jurkiewicz • Renate Loll

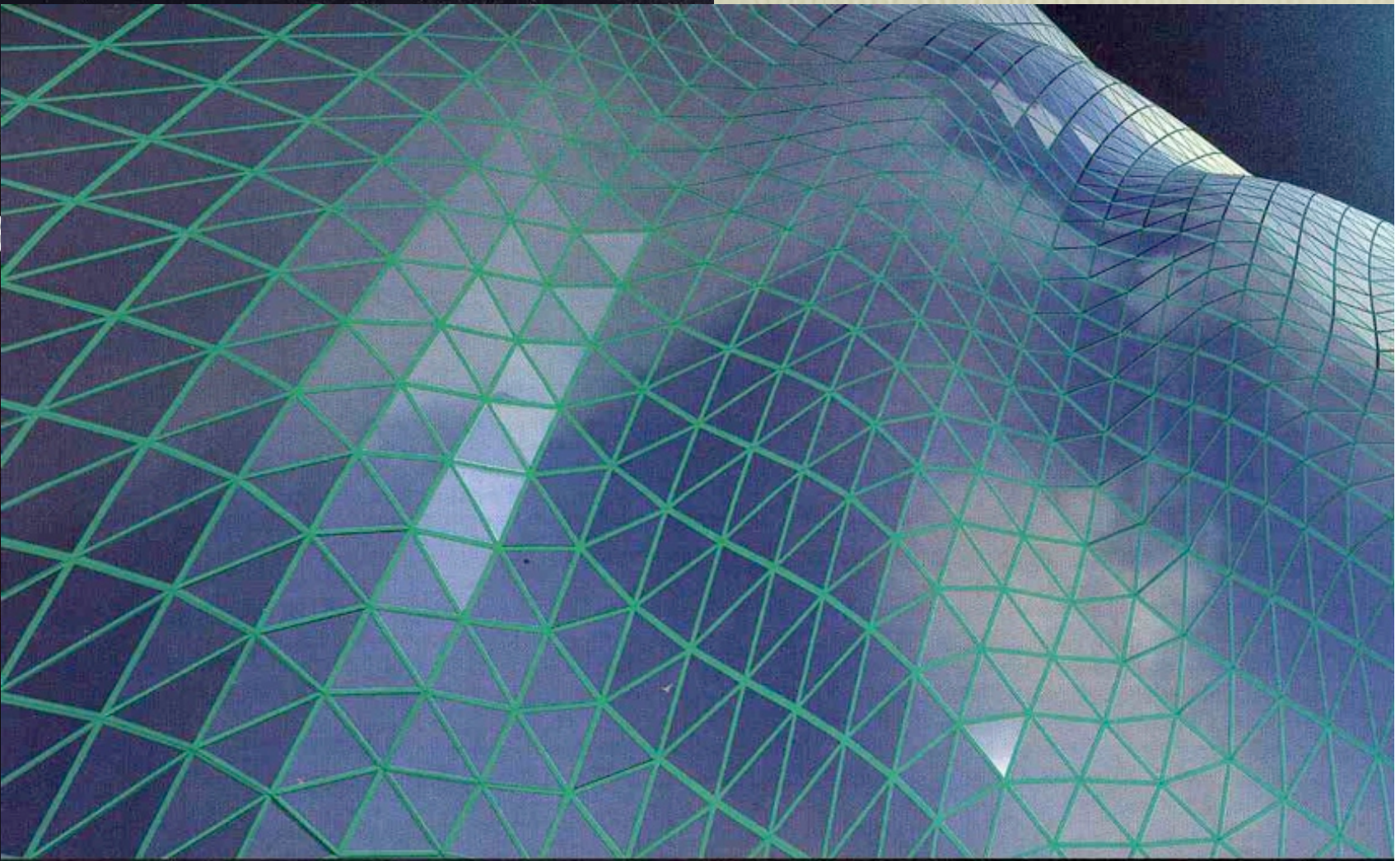
# POUR LA SCIENCE

Septembre 2008

Édition française de Scientific American

## Le ver... Des algues

- L'Univers quantique auto-organisé
- Que s'est-il passé à Toungouska il y a 100 ans ?
- Comment détecter les images truquées
- D'où viennent les larves ?



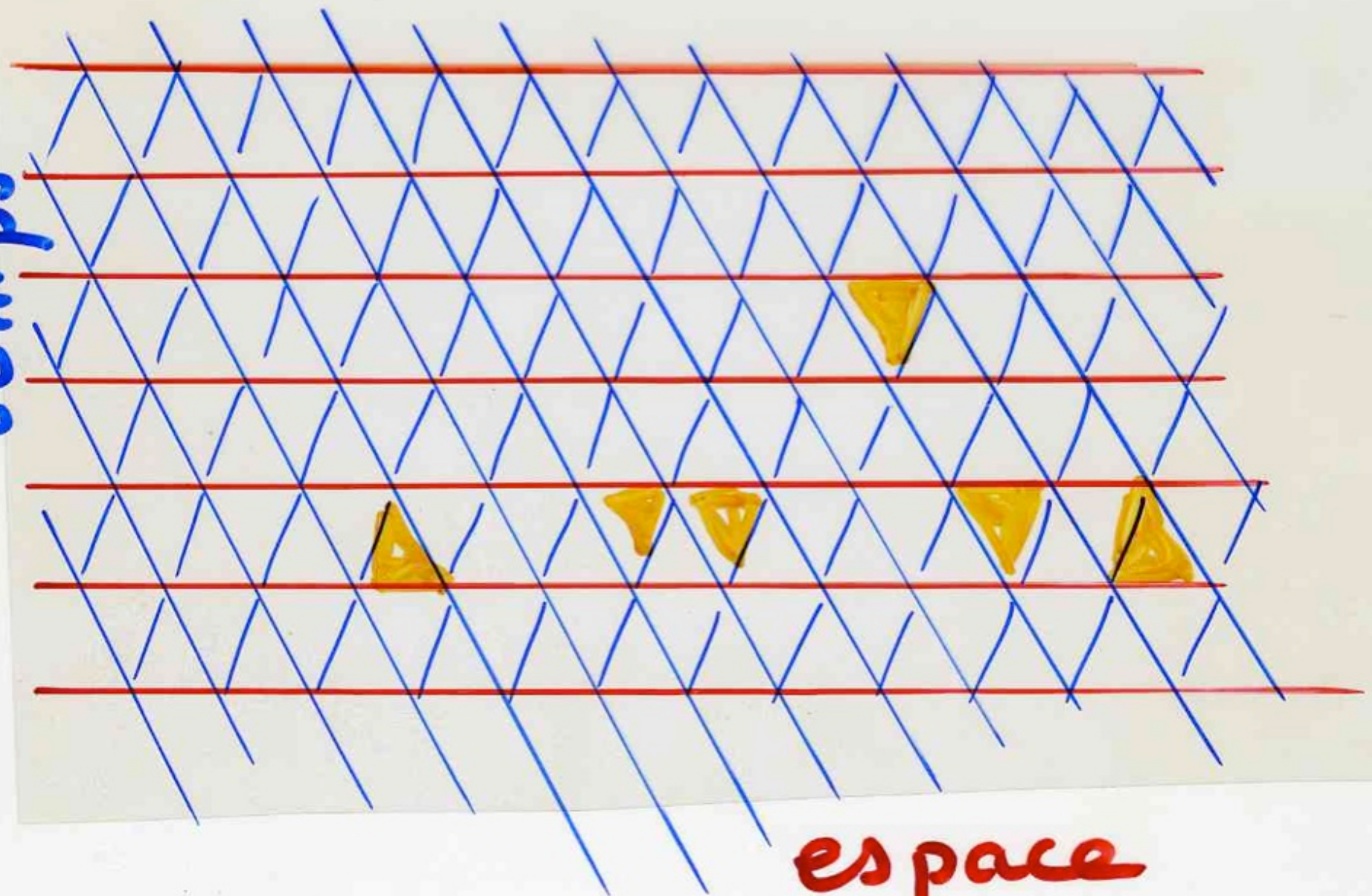
M 02687 - 371 - F: 5,95 €



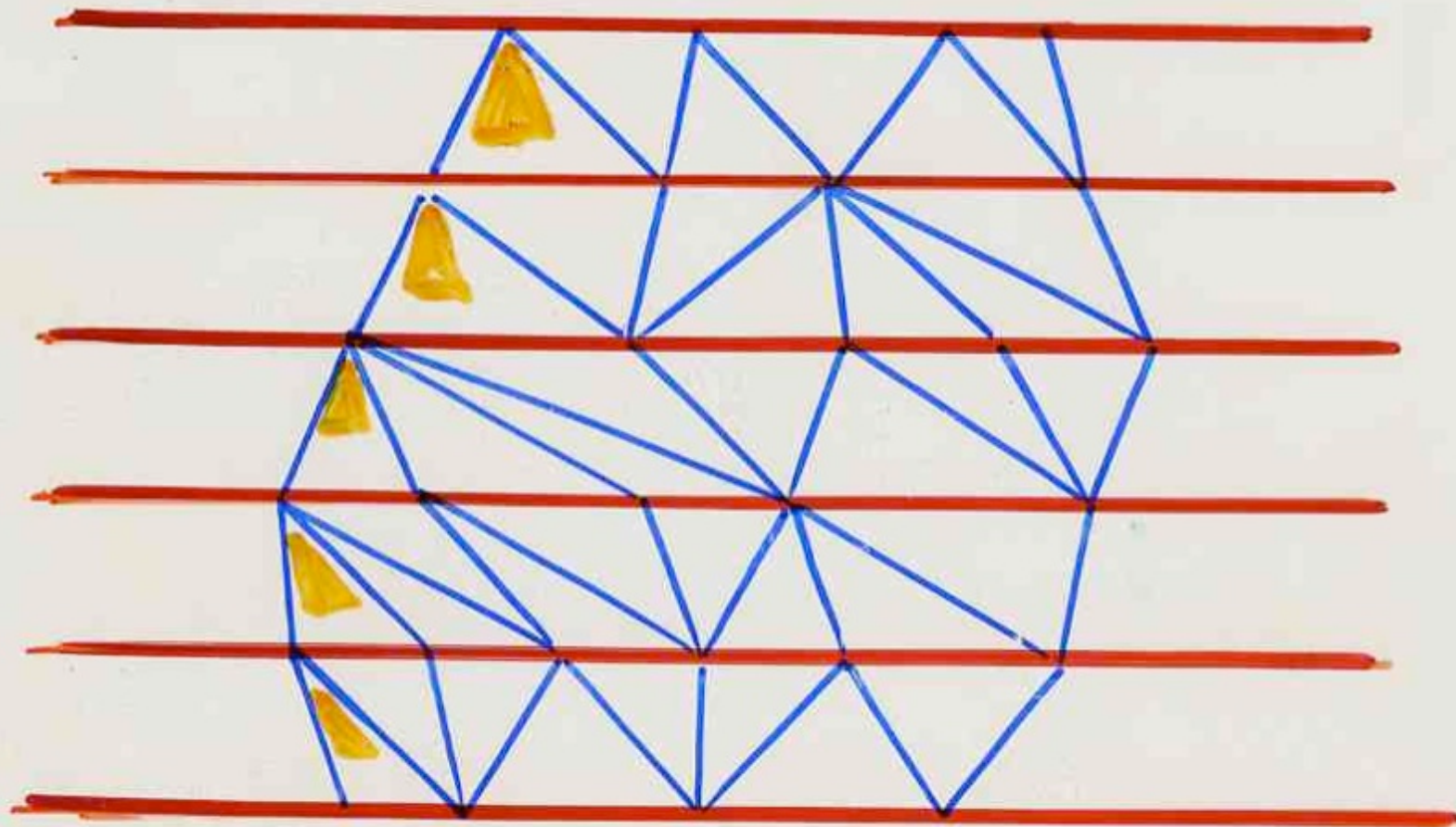
And : 5,95 € - Bel/Lux : 7,10 € - Ita/Port/Cont. : 7,10 € - D : 8,90 €  
- DOM surf : 7,15 € - DOM avion : 8,95 € - CH : 11,80 FS -  
CAN : 8,95 \$ CAN - TOM surf : 940 F CFP - TOM avion: 1780 F CFP  
- MAY : 8,95 € - MAR : 9,95 DH.

## L'univers quantique auto-organisé

temps



espace



triangulation Lorentzienne

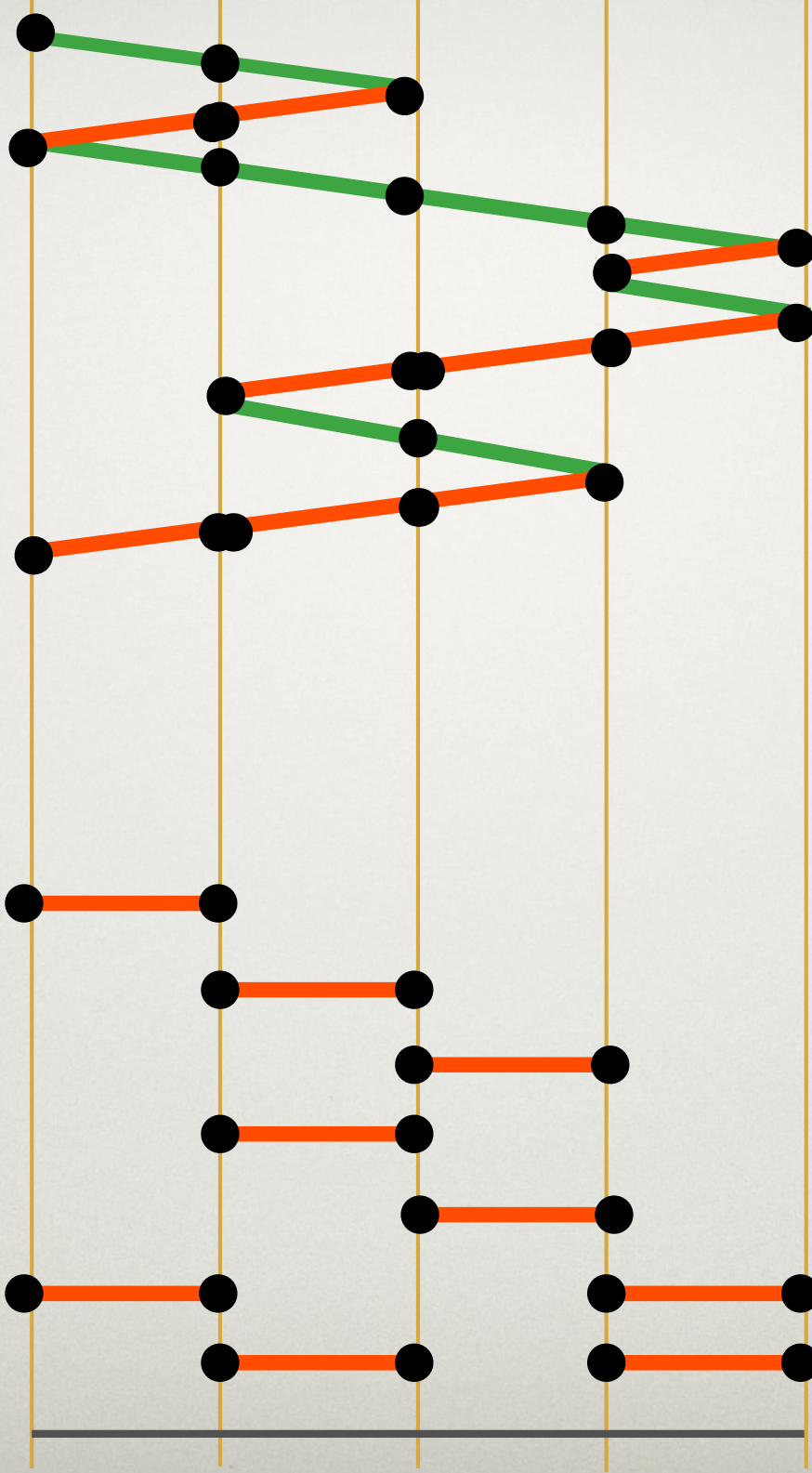
Catalan

number

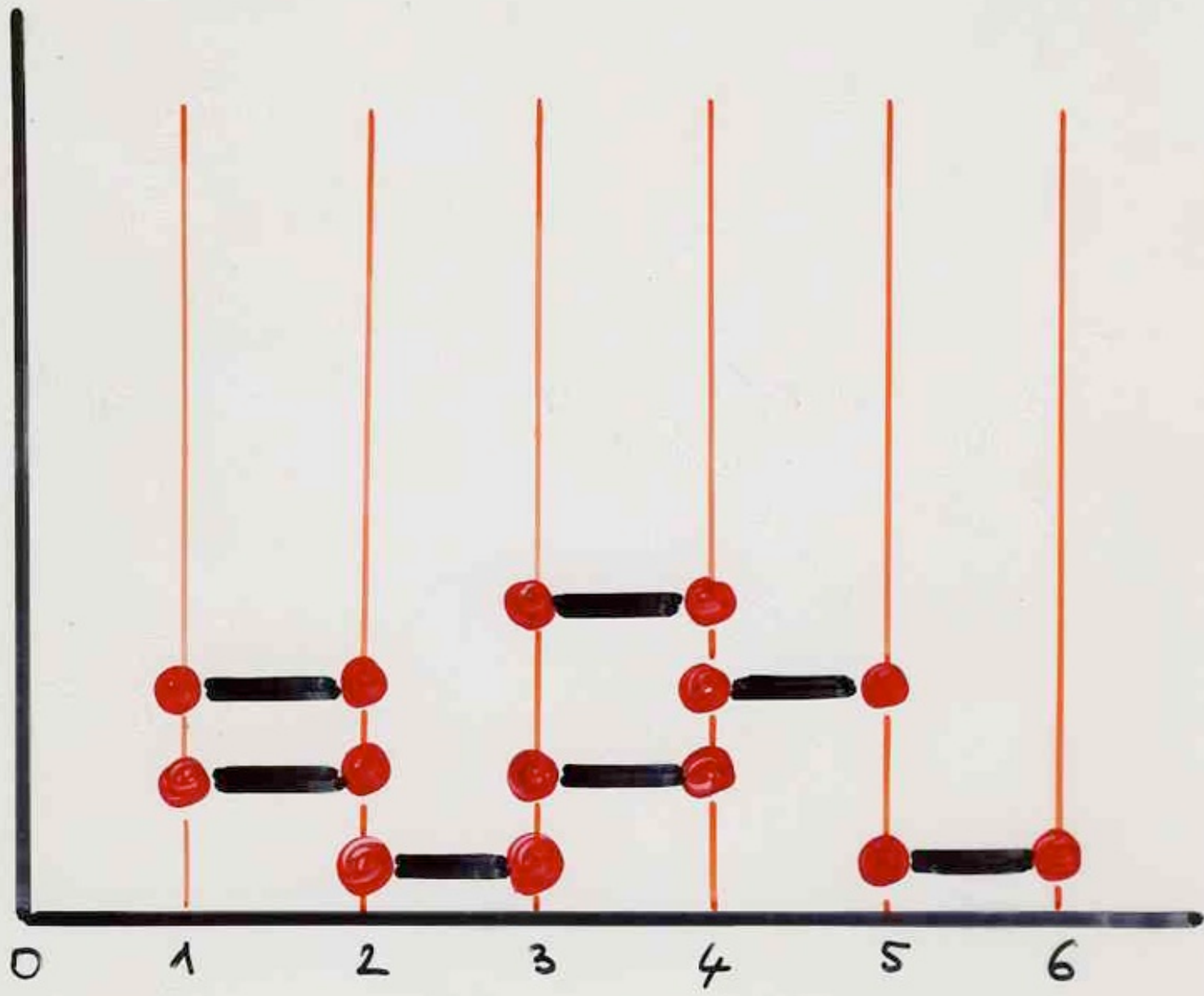
!

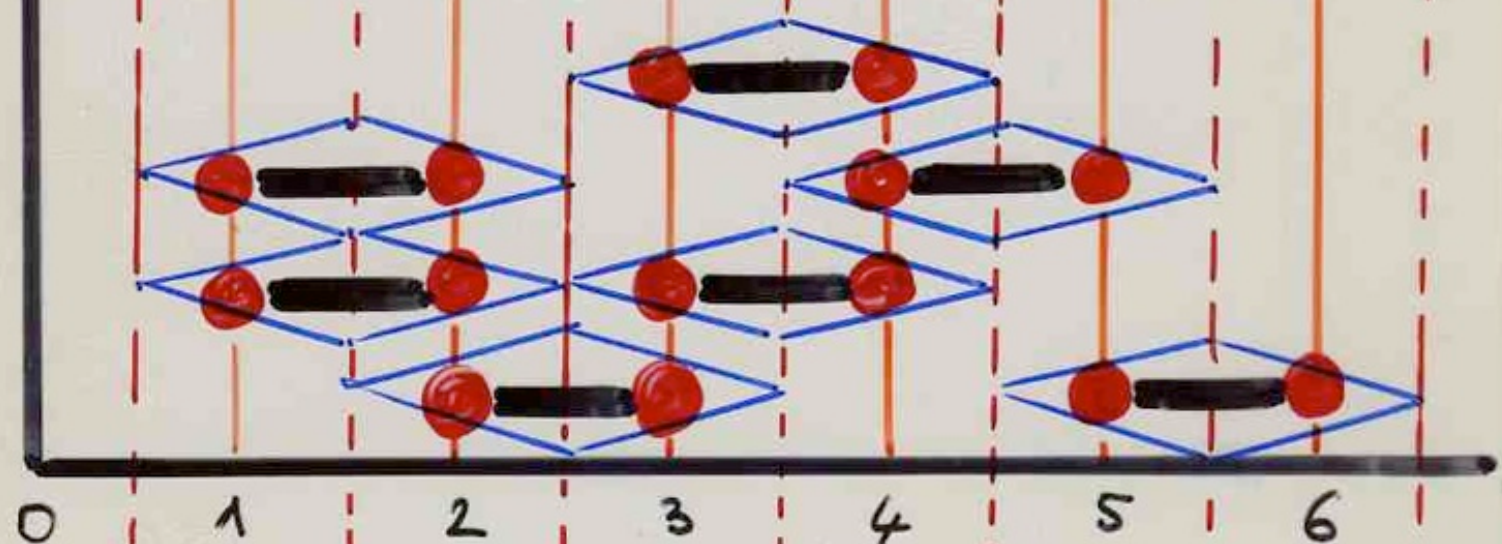
$$C_n = \frac{1}{(n+1)} \binom{2n}{n}$$

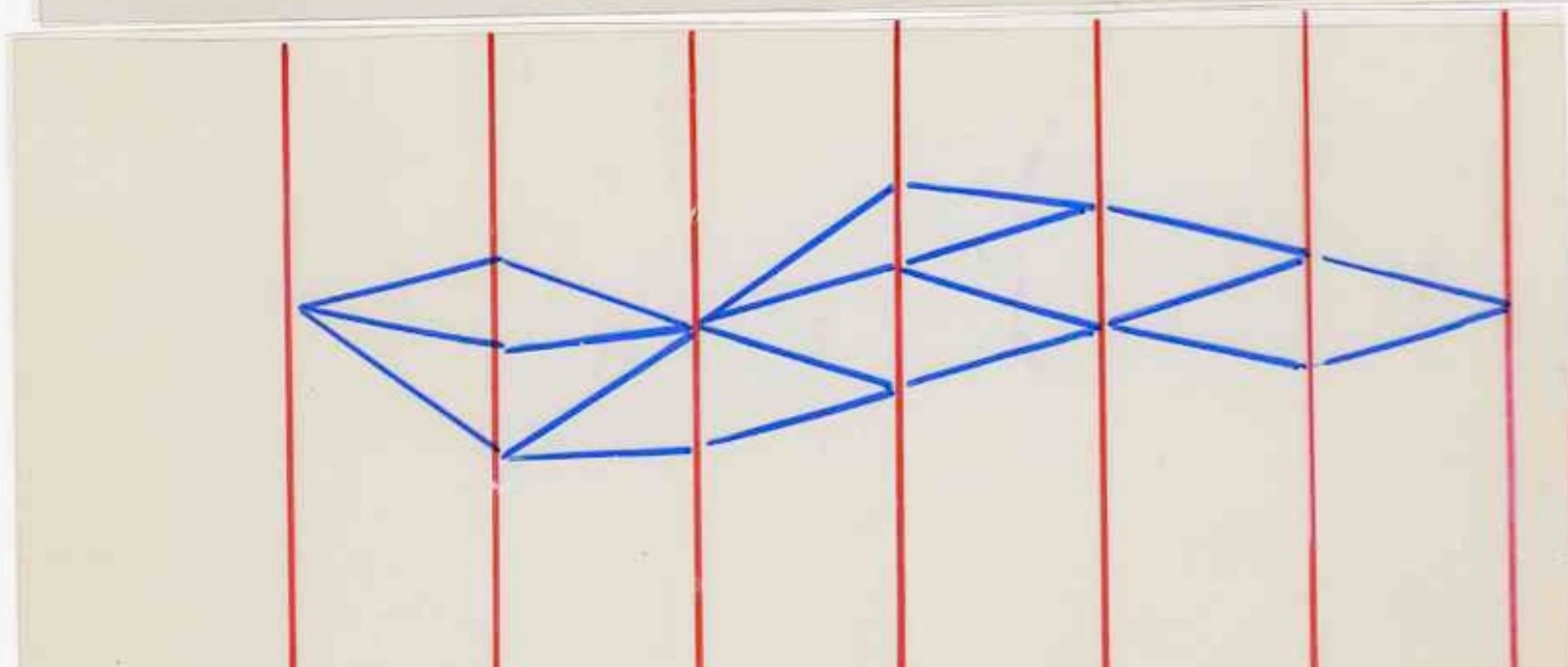
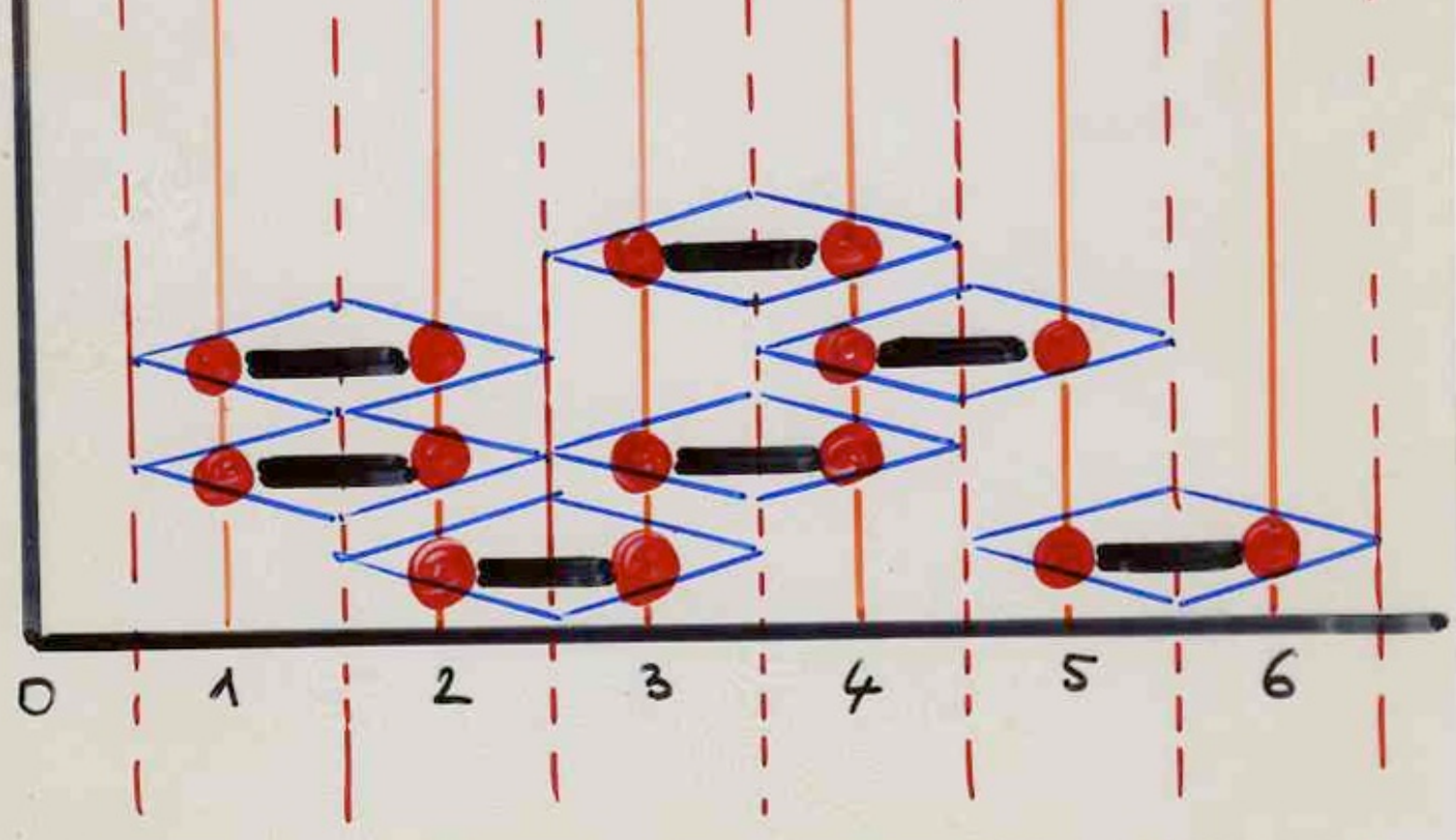
des chemins de Dyck  
aux empilements de dominos

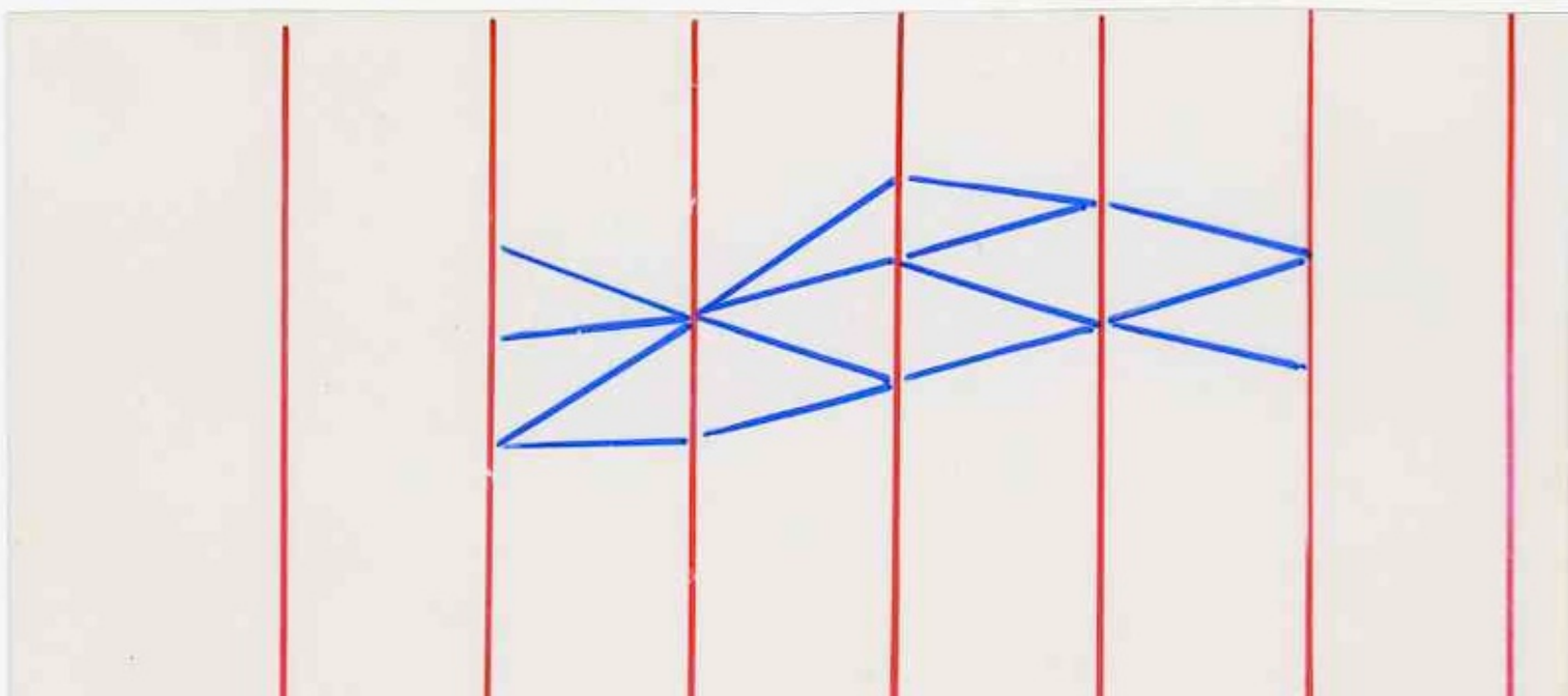
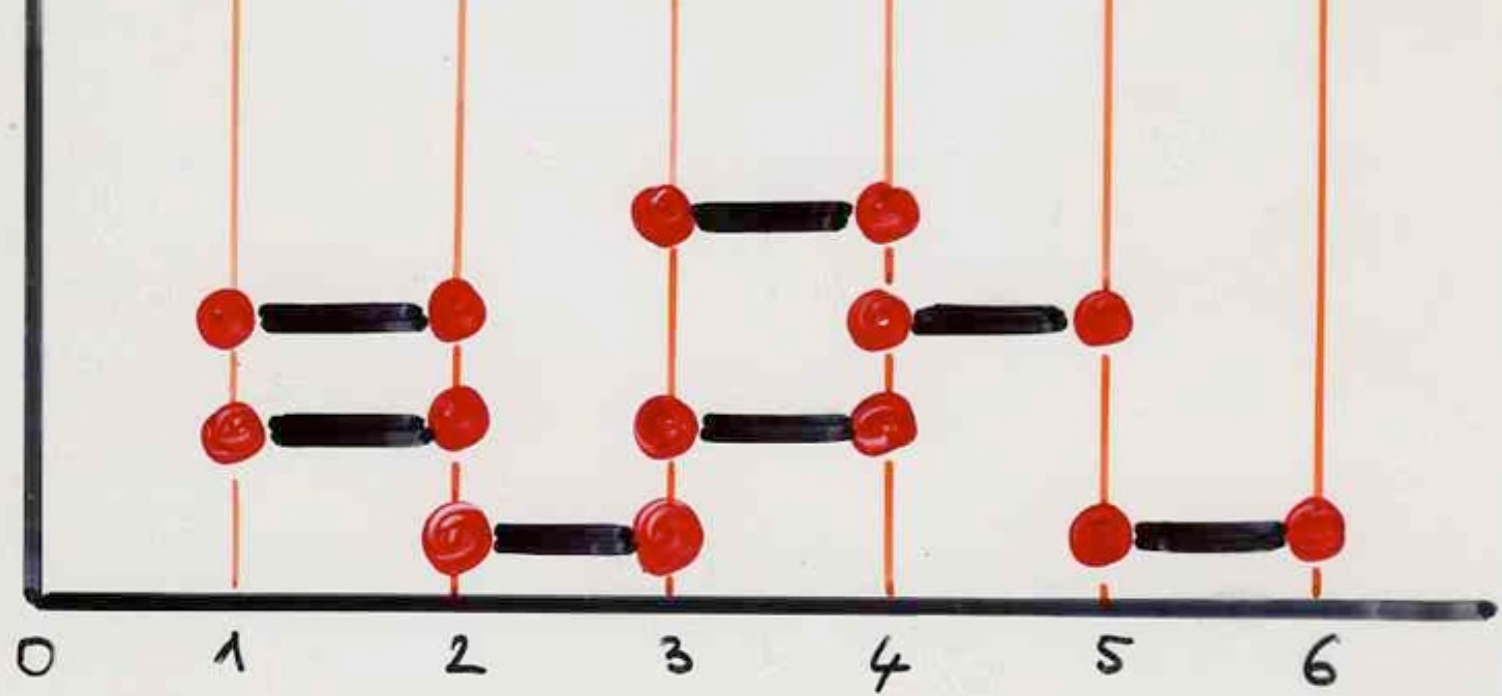


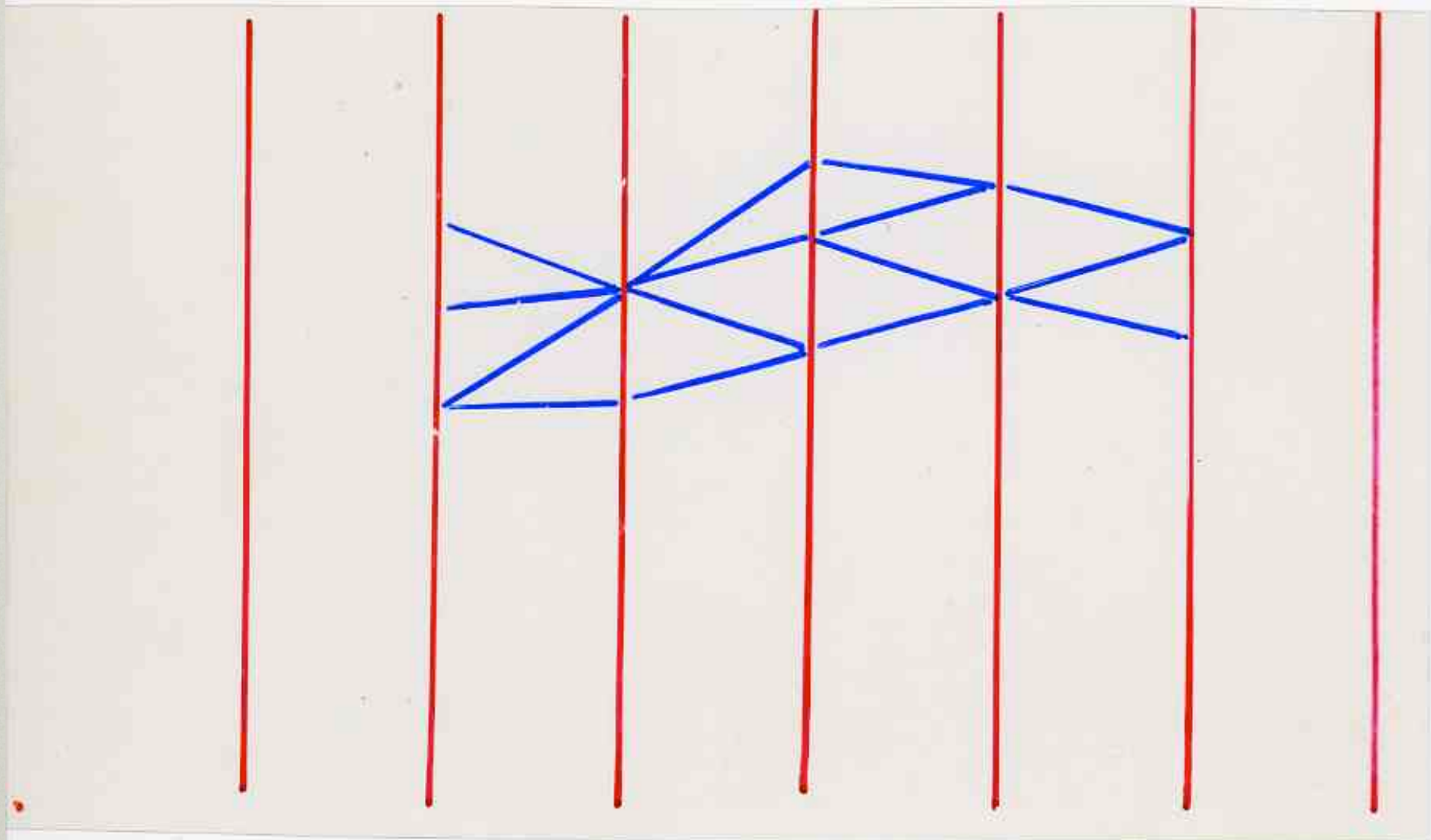
Des empilements de dominos  
aux triangulations Lorentziennes

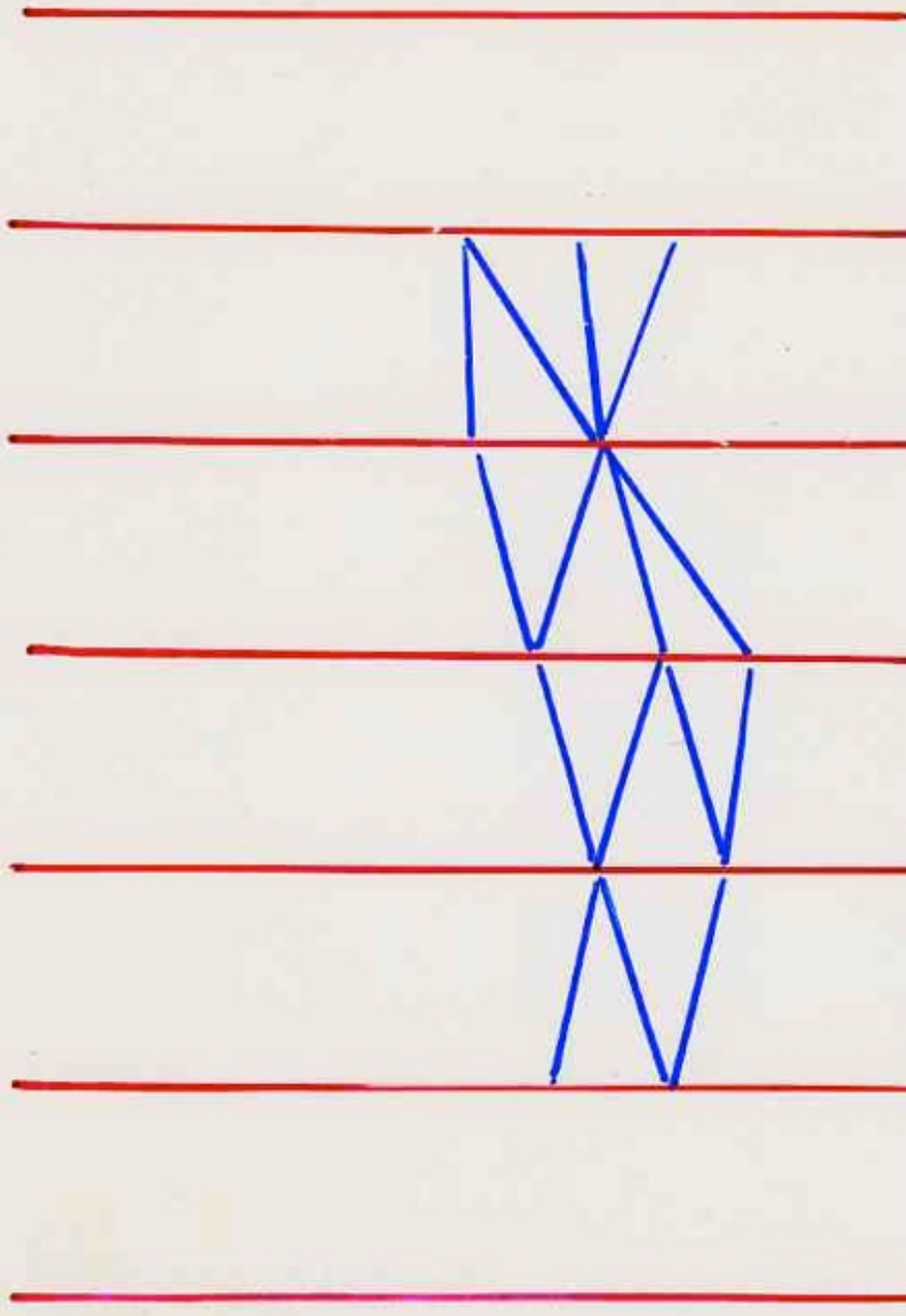




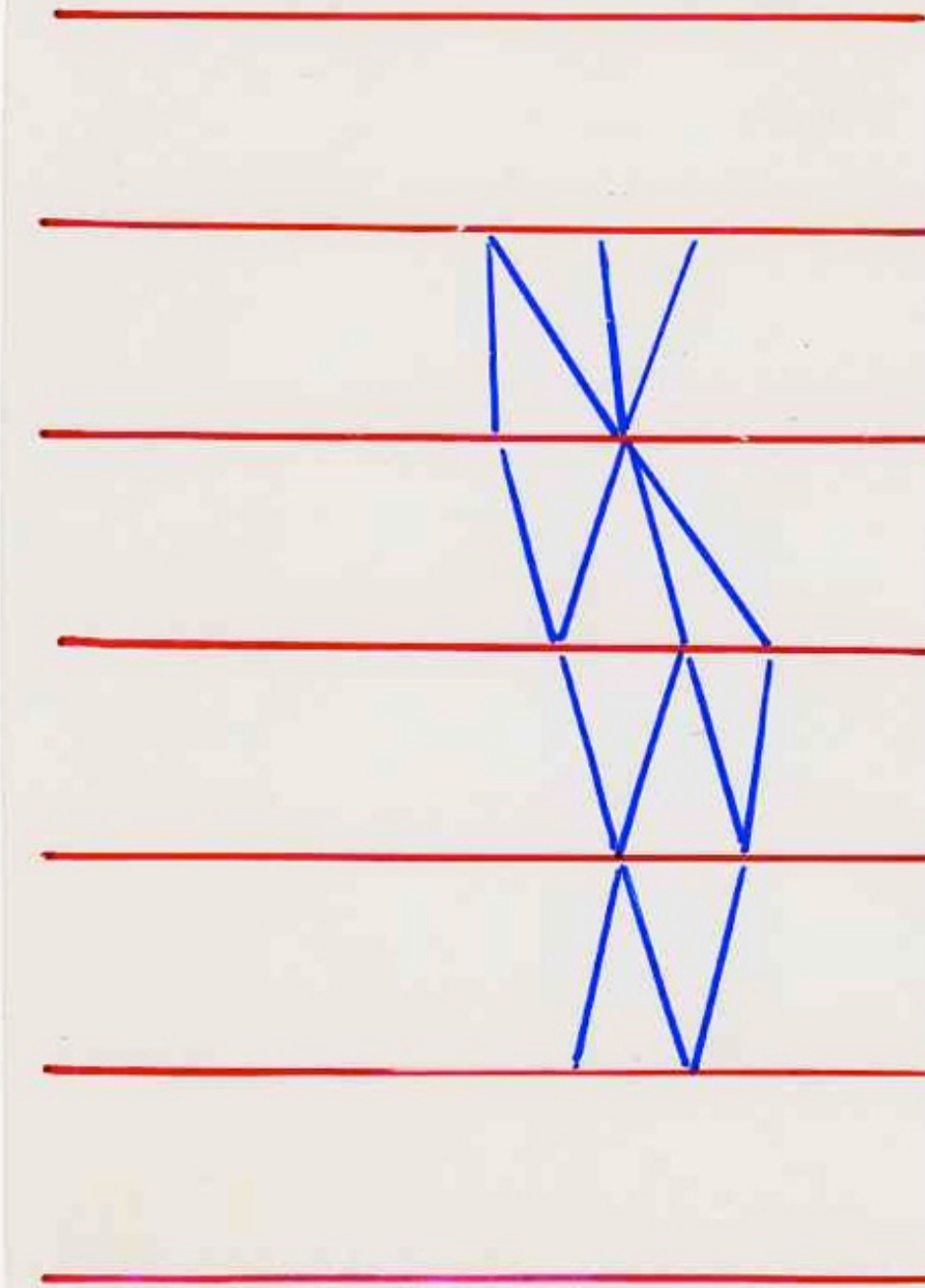


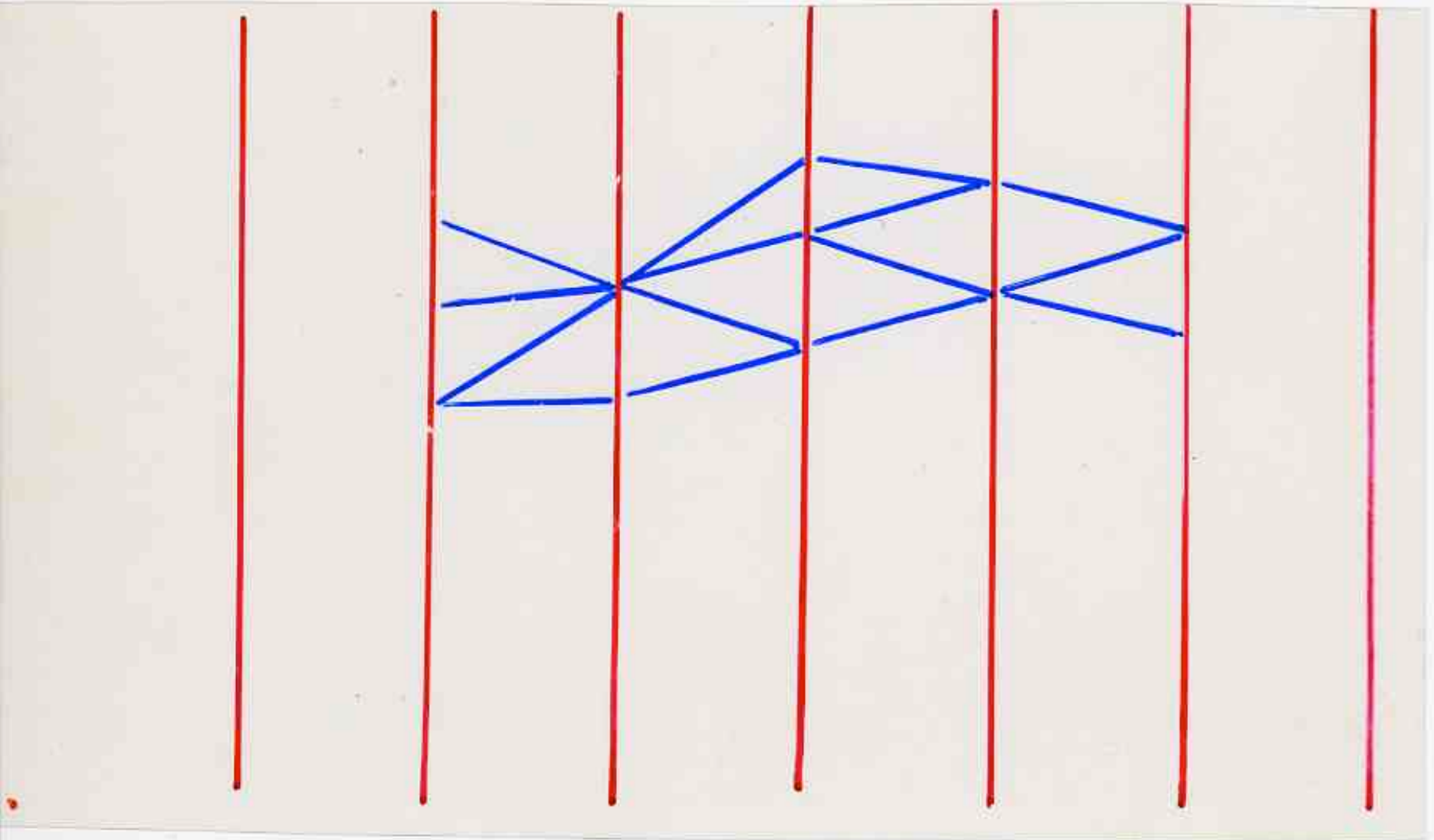


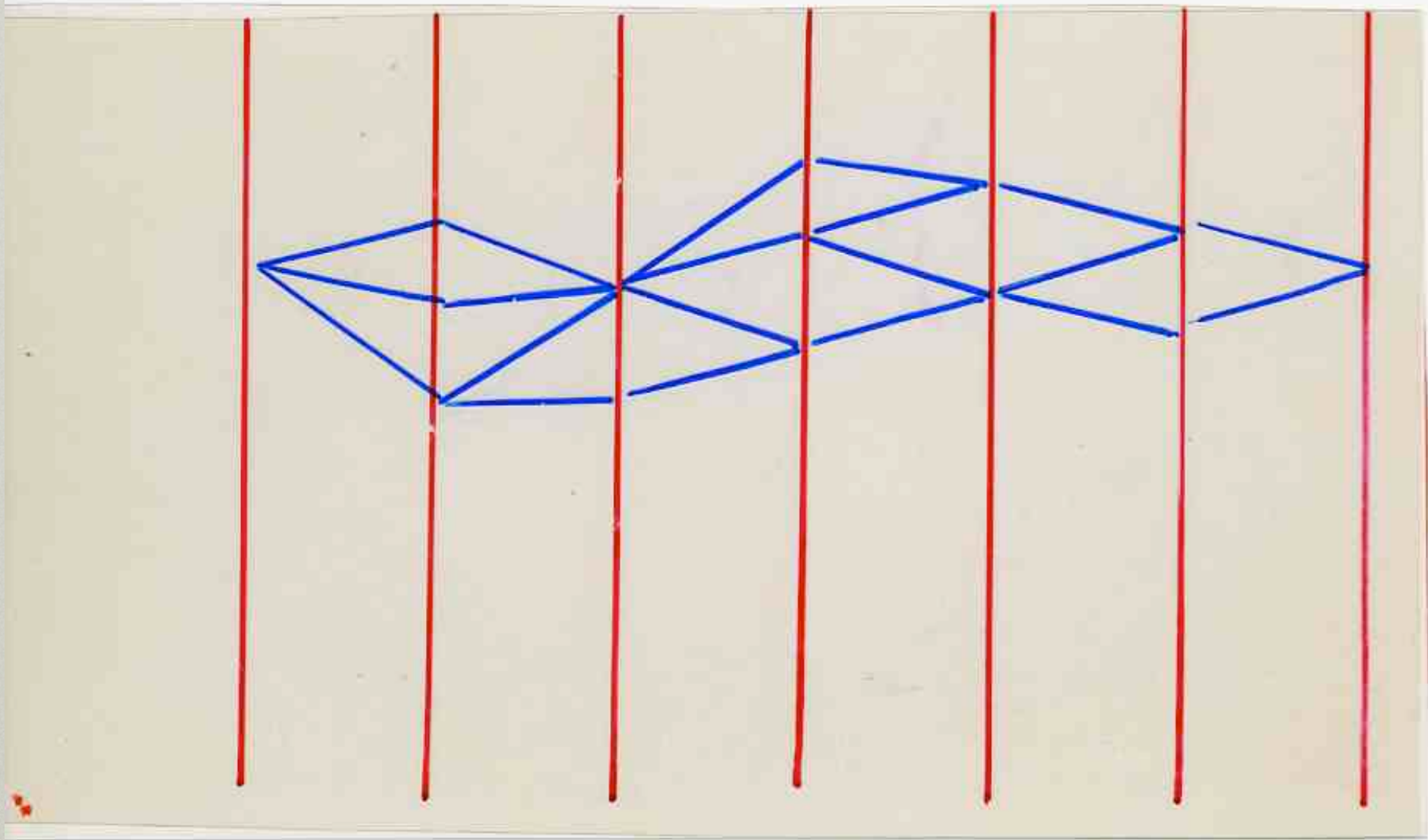


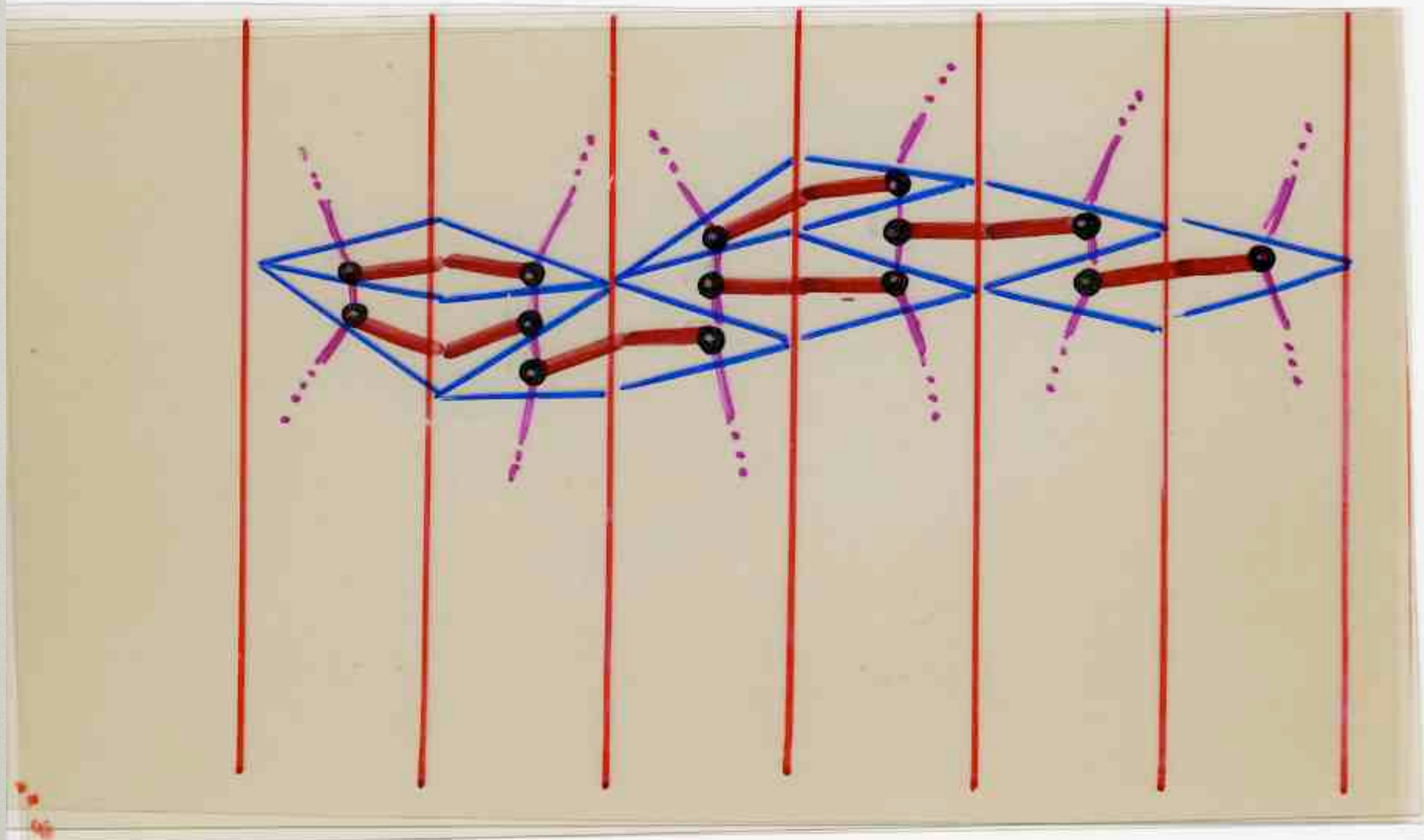


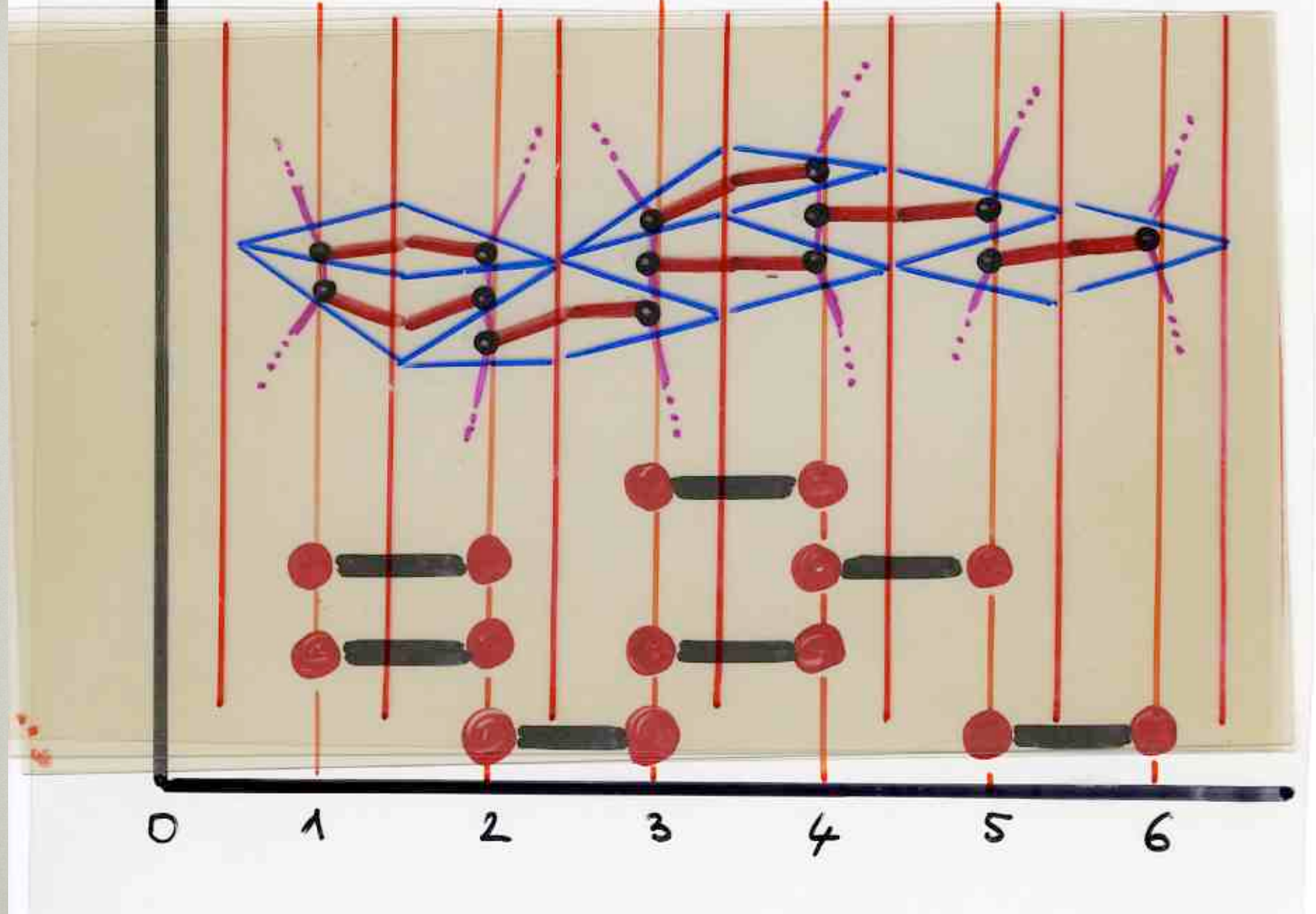
bijection réciproque

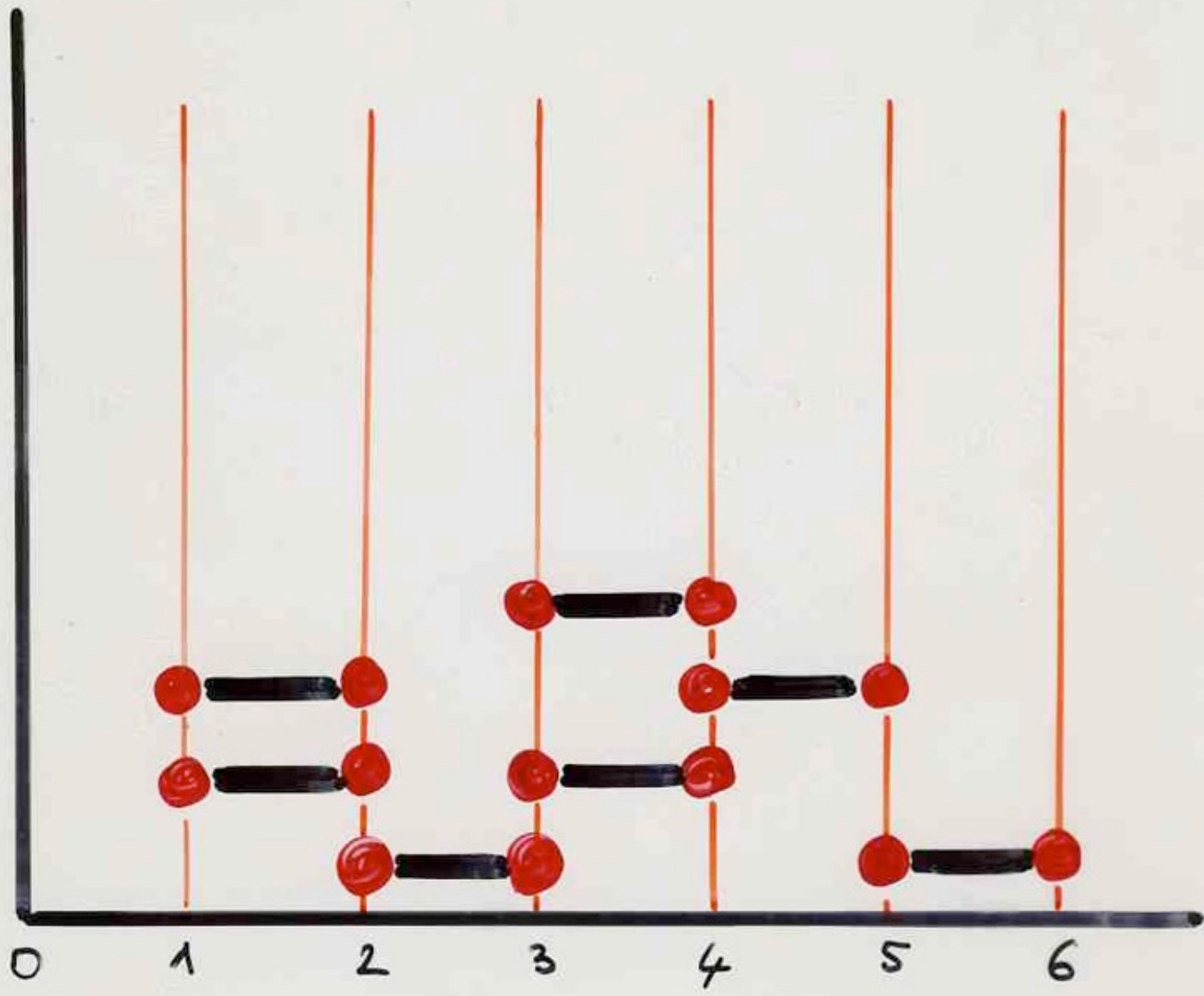












métamorphose:

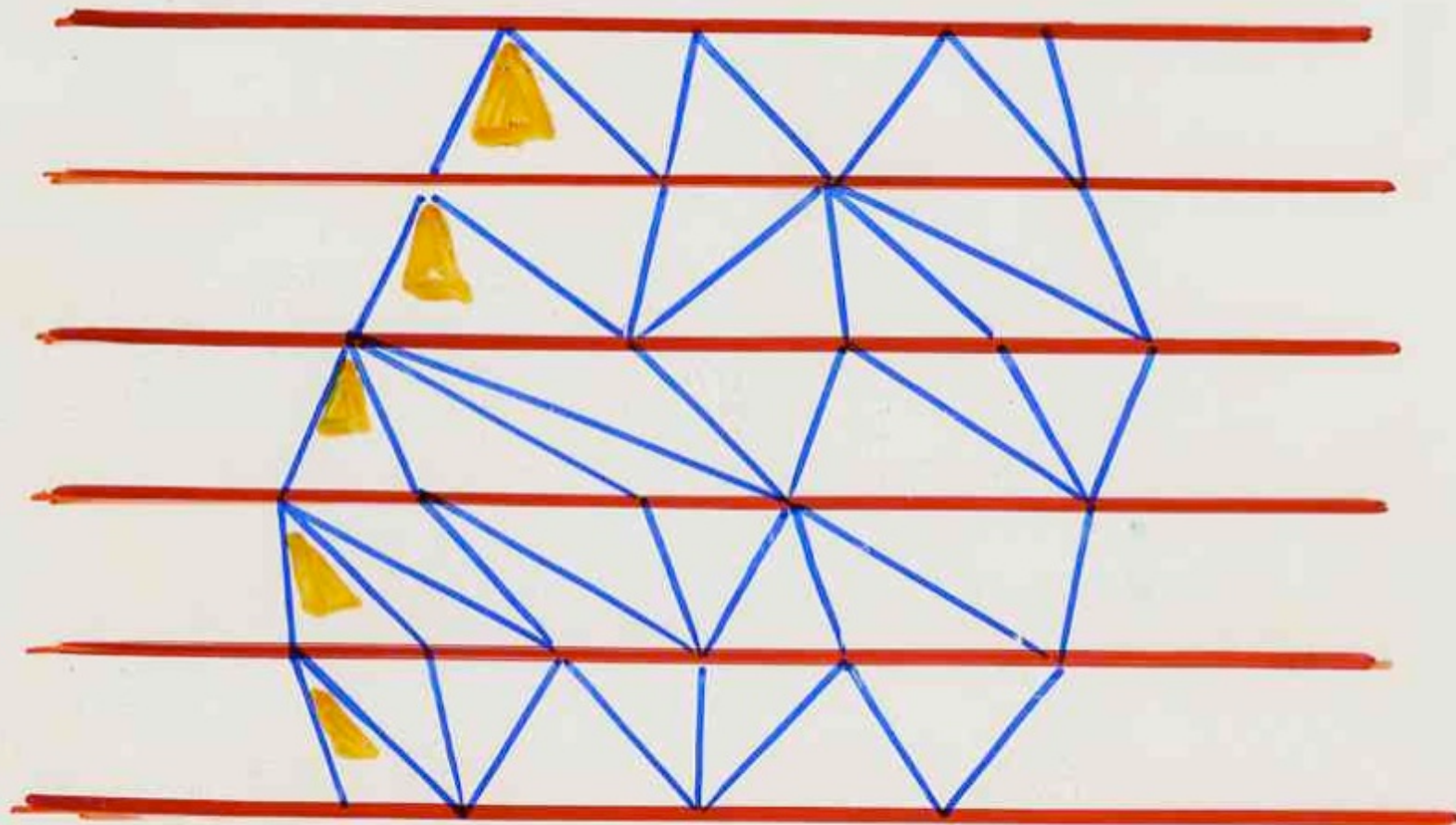
triangulation

arbres binaire

chemin de Dyck

pyramide de dominos

triangulation Lorentzienne



# L'ESPACE-TEMPS

MARCIA PIG LAGOS

AUTEUR





Es ist Sommer, die Nacht ist klar und ruhig.



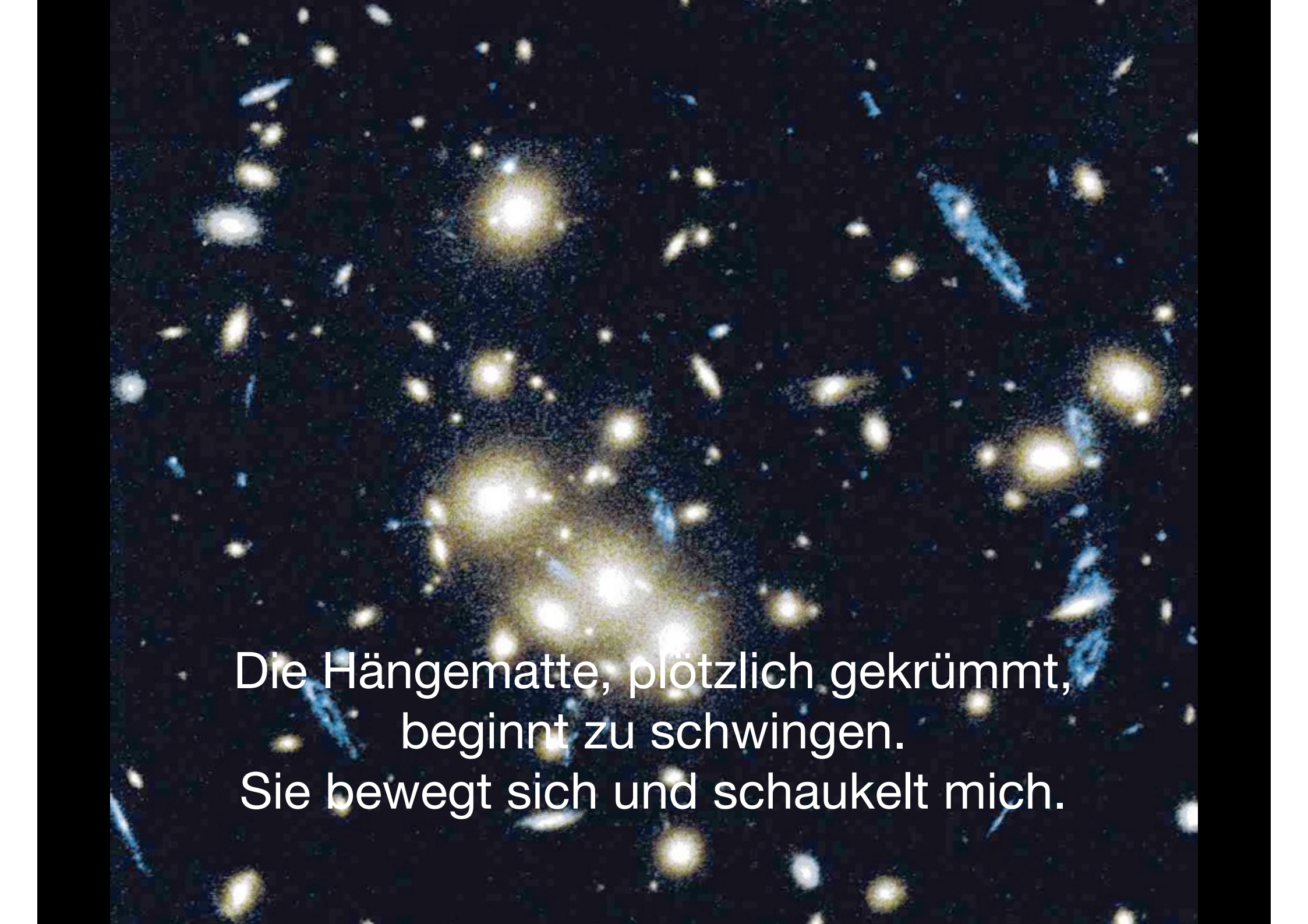
Die Hängematte aus in Dreiecken verknoteten  
Schnüren, aufgehängt zwischen den beiden  
Ahornbäumen, erwartet mich.



Ich lege mich hin in dem Raum,  
den mir das Netz gewährt.

A dense cluster of galaxies against a dark background, illustrating gravitational lensing.

Das Gewicht meines Körpers drückt darauf,  
verformt die Dreiecke.

A dense cluster of galaxies against a dark background. The galaxies vary in size and color, with many appearing as small white dots and others as larger, more luminous yellow and blue patches. Some galaxies show distinct spiral or elliptical shapes.

Die Hängematte, plötzlich gekrümmt,  
beginnt zu schwingen.  
Sie bewegt sich und schaukelt mich.

A dense cluster of galaxies against a dark background. The galaxies vary in size and color, with many appearing as bright yellow or white points, while others are larger and more diffuse, showing blue or green hues. Some galaxies have distinct spiral arms, while others are more compact.

In meinem Blick fangen sich Hummel und Sterne.



Ich schaue hindurch, um mich im Raum zu verlieren.



Ist er blau? Ist er schwarz?  
Bewegt er sich in der Zeit?



Immer stärker wird das Schaukeln des Netzes aus dreieckigen Schnüren, immer mehr ist es zu spüren.



Mein Körper beginnt, mitzuschaukeln.  
Jedes Organ, jede Zelle.



Das Gefühl, hier zu sein und gleichzeitig fort.





Plötzlich finde ich mich mit meinen vier  
Dimensionen in der unendlichen Raumzeit wieder.



Ich erkenne eine gekrümmte Linie und möchte  
am liebsten darüber springen.



Das Netz beschreibt nun wellenförmige Bewegungen,  
das Schaukeln wird immer stärker. Ich bin Drei !!!

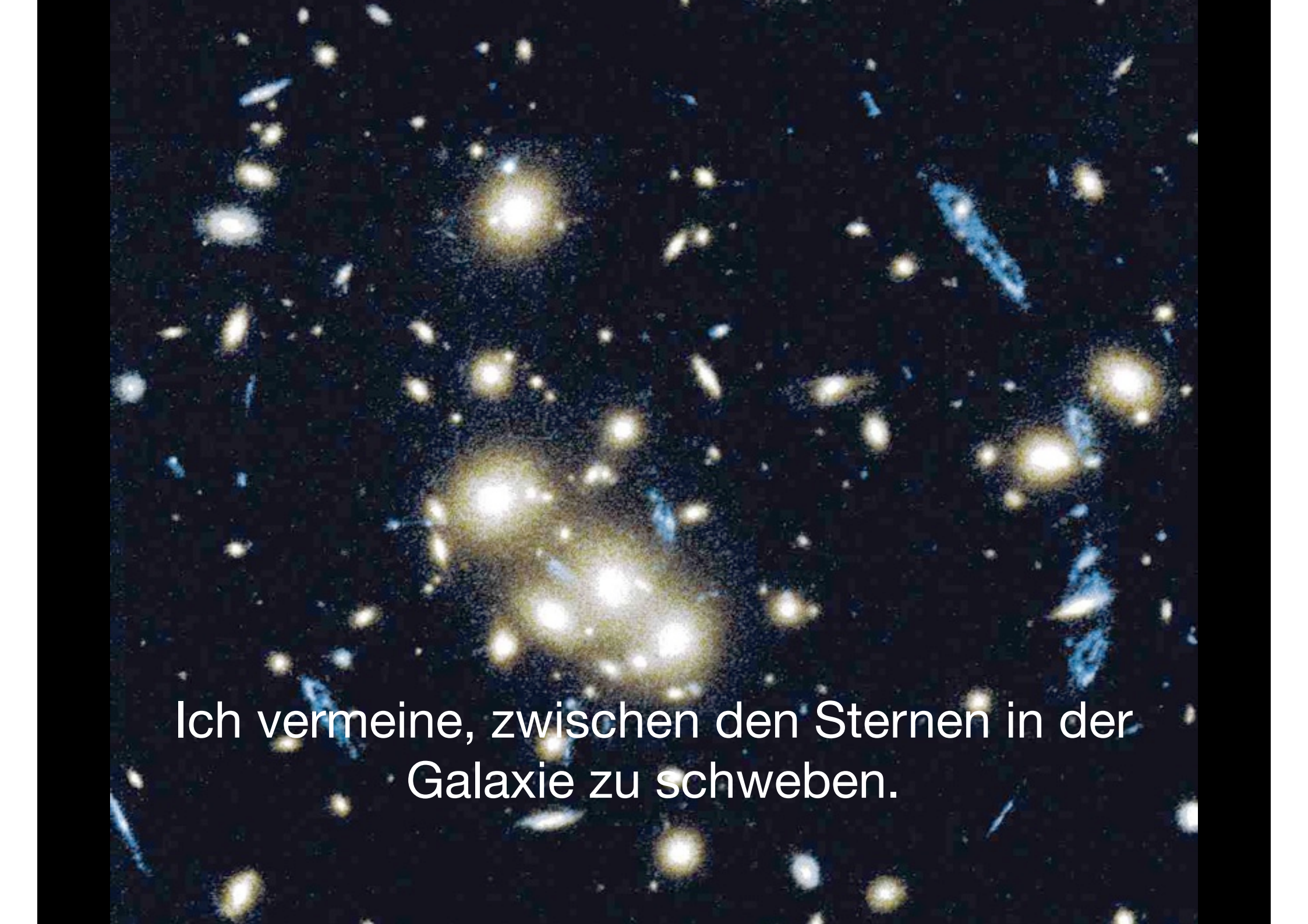


Ich frage mich: Wo ist die Zeit?  
Verbirgt sie sich im Raum?



Sie sind zwei. Auf in den himmlischen Schaum...



A dense field of galaxies against a dark background. The galaxies vary in size and color, with many appearing as bright yellow or white points, while others are larger and more diffuse, showing blue and green hues. Some galaxies have distinct spiral arms, while others are more compact.

Ich vermeine, zwischen den Sternen in der  
Galaxie zu schweben.



Ich bin überall gleichzeitig. In Ausdehnung  
und in völliger Einheit mit dem Universum.



Das, was vorher mein Körper war, besteht nun aus kleinen Teilchen, die stetig schaukeln.



Lichtpunkte heben sich ab, hier und dort.

A dense field of galaxies against a dark background. The galaxies vary in size and color, with many appearing as small white dots and others as larger, more luminous yellow and blue clusters. Some galaxies show distinct spiral or elliptical shapes.

Sie verschwinden jedoch gleich wieder,  
vom Vakuum aufgesogen.



Alles ist nämlich da: die Materie, das Licht, der Schaum, das Vakuum, die Raumzeit – alles ist Eins.



Den vibrierenden Atem des Universums spüren.



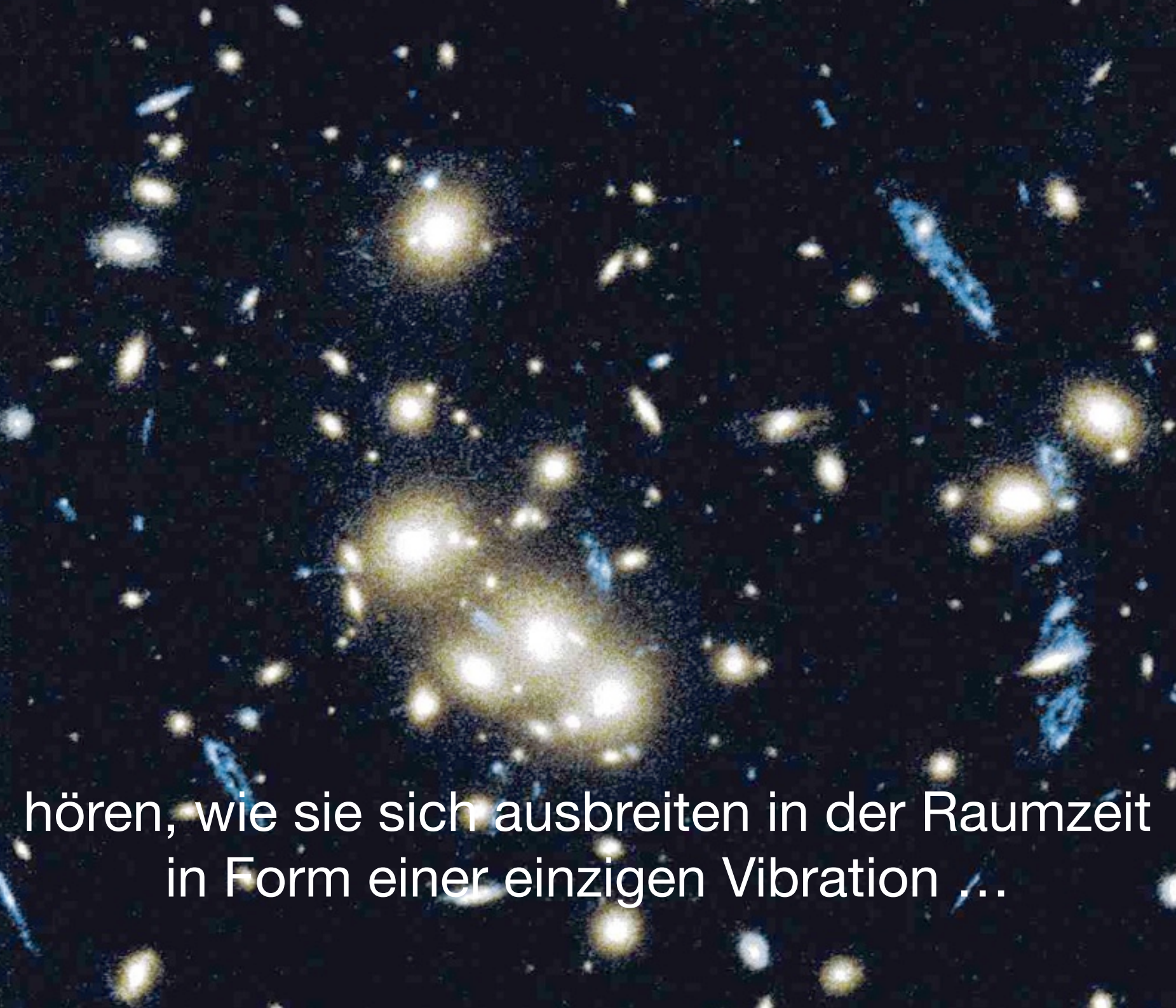
Bei der großartigen Geburt  
der Baby-Universen dabei sein.



Den Klang des Universums zu hören.



Diese harmonischen Wellen, erzeugt auf diesen  
so feinen, so mächtigen Saiten...



hören, wie sie sich ausbreiten in der Raumzeit  
in Form einer einzigen Vibration ...

A dense cluster of galaxies against a dark background.

Der Ur-Ton...





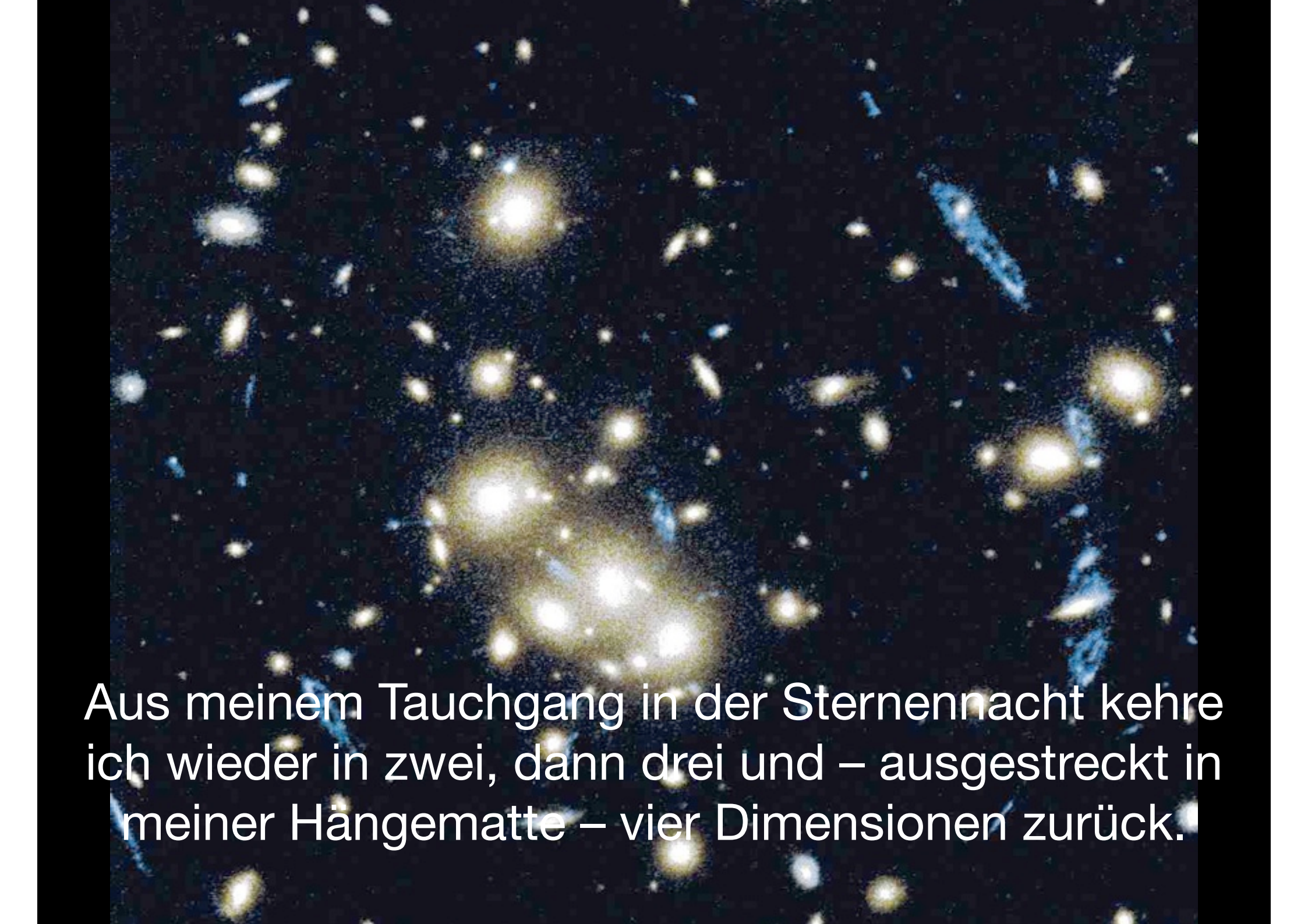
Auf welcher geheimnisvollen  
Gleichung gründet sein Wirken?



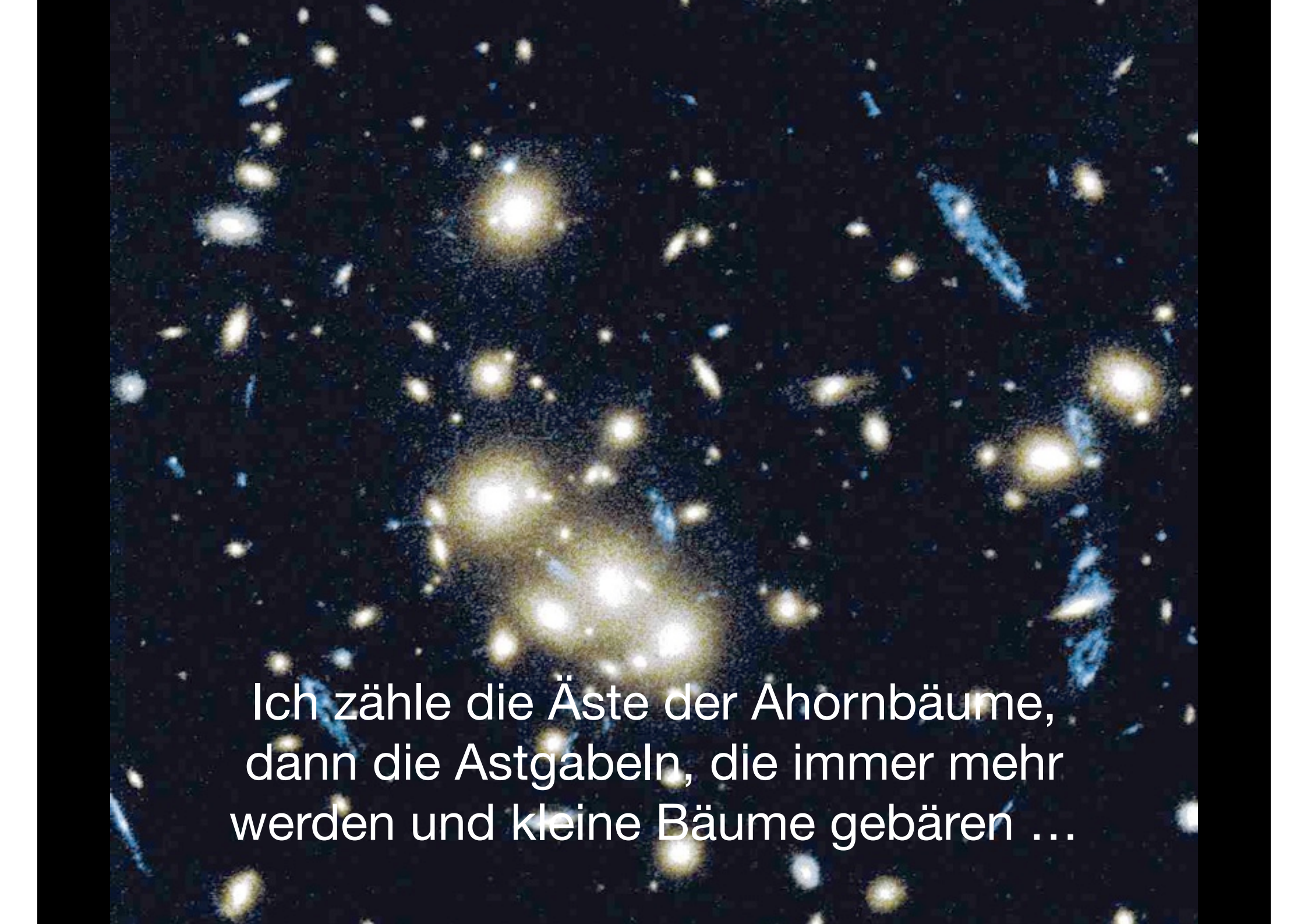
Mit welch schöner Geometrie  
zeichnet er die Schöpfung?



Wie genau verbinden sich die Elemente?



Aus meinem Tauchgang in der Sternennacht kehre  
ich wieder in zwei, dann drei und – ausgestreckt in  
meiner Hängematte – vier Dimensionen zurück.



Ich zähle die Äste der Ahornbäume,  
dann die Astgabeln, die immer mehr  
werden und kleine Bäume gebären ...



Mein Blick fängt Himmel und Sterne ein



Es ist Sommer, die Nacht ist klar und ruhig...



# Epilogue













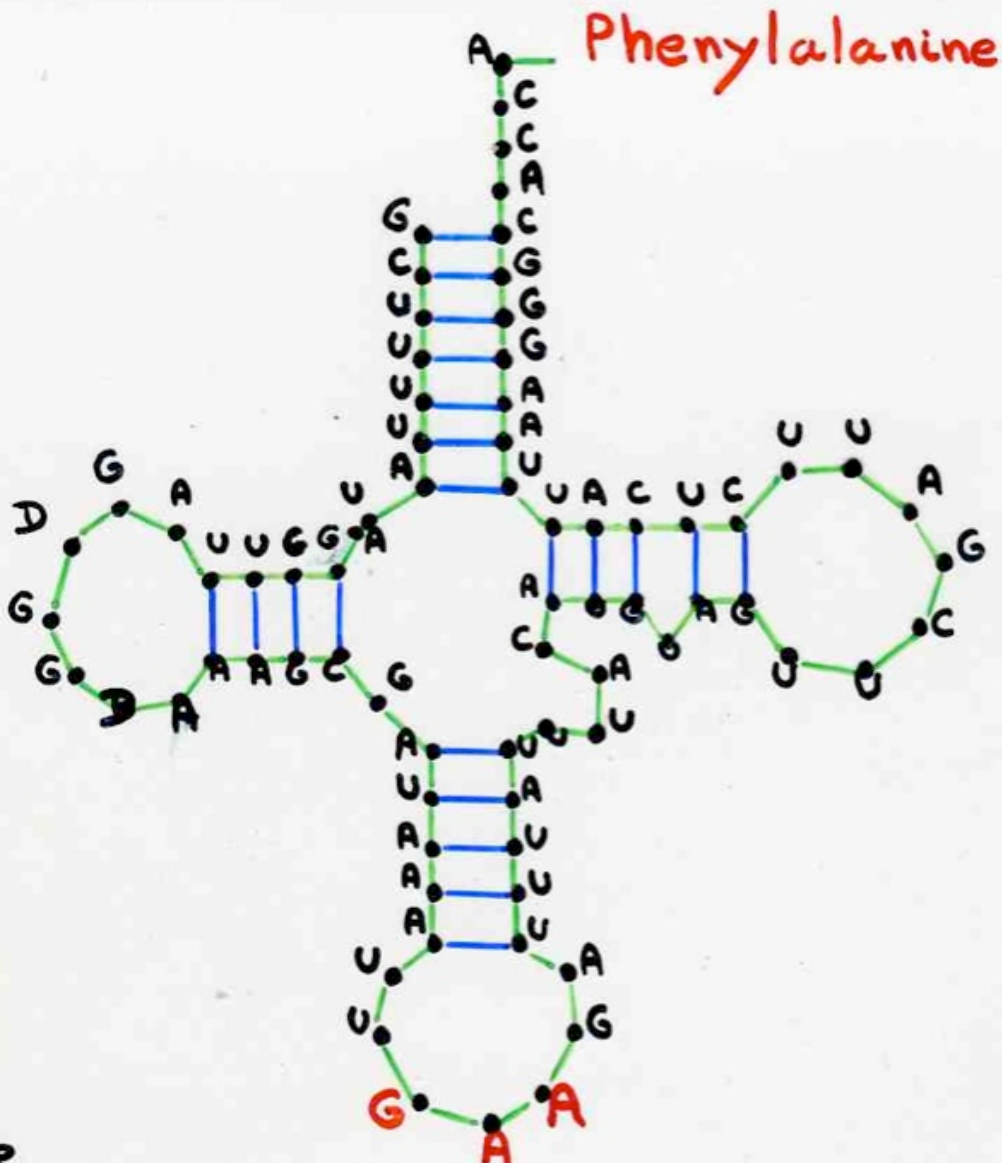
NATIONAL GEOGRAPHIC





BÄUME,  
BAUMSTRUKTUREN  
ÜBERALL ...

DES ARBRES ....  
DES ARBORESCENCES ..... PARTOUT



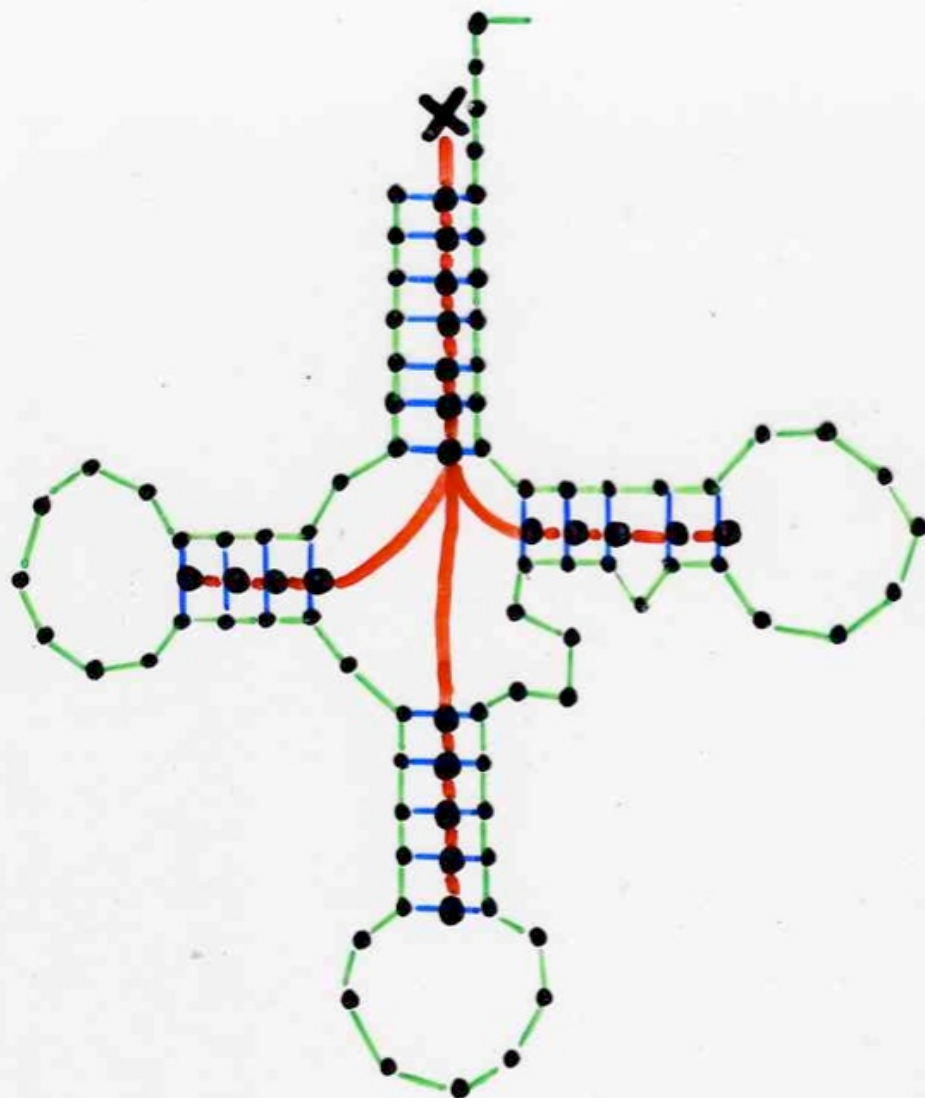
**A**dentine

**U**racyle

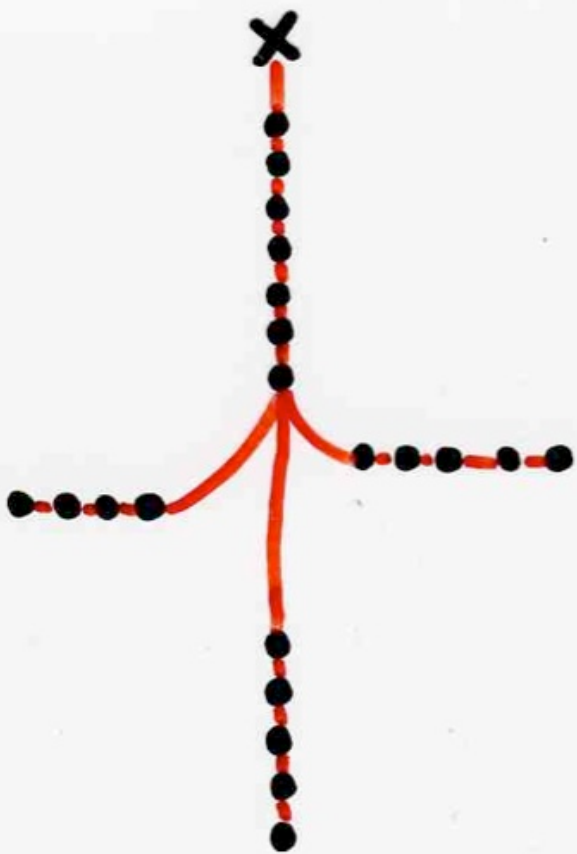
**G**uanine

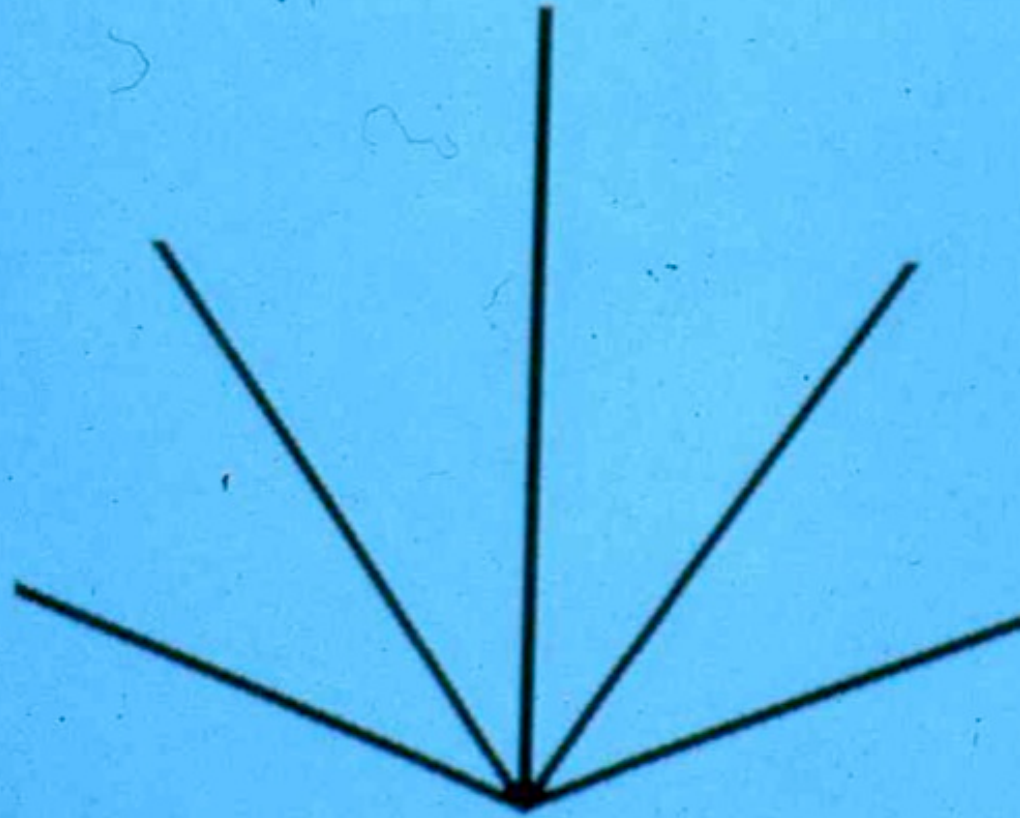
**C**ytosine

tARN<sup>Phe</sup>



tARN<sup>Phe</sup>















Il y a des arbres dans les étoiles,  
des arbres dans les grains de lumière.

Es gibt Bäume in den Sternen,  
Bäume in den Lichtpartikel

Les théories mathématiques s'interpellent,  
s'entrecroisent, renaissent, se fondent entre elles.

Mathematische Theorien prallen aufeinander,  
überschneiden sich, entstehen neu,  
verschmelzen miteinander.

Les grands Maîtres se parlent à travers les siècles  
dans le jardin merveilleux des Mathématiques.

Im Wundergarten der Mathematik sprechen  
die großen Geister miteinander über die  
Jahrhunderte hinweg



Merci beaucoup

Danke schön

textes:

Le majestueux noyer

L'espace-temps

Marcia Pig Lagos

violon:

Gérard H.E. Duchamp

réalisation:

Xavier Viennot

piano

Christian Krattenthaler

Association  
Cont'Science

Photo Gravitational Lens Galaxy cluster 0024+1654

credit: W.N.Colley, E.Turner (Princeton University),

J.A. Tyson (Bell Labs) and NASA

copyright: AURA Hubble Space Telescopoe Public Picture



